

COMMITTENTE:



DIREZIONE LAVORI:



APPALTATORE:



| | | |
|--|--|--|
| PROGETTAZIONE: RAGGRUPPAMENTO TEMPORANEO PROGETTISTI | PROGETTISTA: Prof. Ing. Marco PETRANGELI | DIRETTORE DELLA PROGETTAZIONE Ing. Piergiorgio GRASSO Responsabile integrazione fra le varie prestazioni specialistiche |
|--|--|--|

PROGETTO ESECUTIVO

ITINERARIO NAPOLI – BARI RADDOPPIO TRATTA CANCELLO-BENEVENTO II LOTTO FUNZIONALE FRASSO TELESINO – VITULANO 1° LOTTO FUNZIONALE FRASSO TELESINO – TELESE

VI02 – Ponte dal km 17+634 al km 17+656

Spalle: Relazione di calcolo

| | | |
|---|--|--------|
| APPALTATORE | | SCALA: |
| IMPRESA PIZZAROTTI & C. s.p.a. Dott. Ing. Sabino Del Balzo L. DIRETTORE TECNICO 24/02/2020 | | - |

| | | | | | | | |
|----------|-------|------|------|-----------|------------------|--------|------|
| COMMESSA | LOTTO | FASE | ENTE | TIPO DOC. | OPERA/DISCIPLINA | PROGR. | REV. |
| I F 2 6 | 1 2 | E | Z Z | CL | V I 0 2 0 4 | 0 0 1 | A |

| Rev. | Descrizione | Redatto | Data | Verificato | Data | Approvato | Data | Autorizzato Data |
|------|-------------|------------------|------------|-------------|------------|---------------|------------|---------------------------------|
| A | Emissione | F. Del Drago | 24/02/2020 | G. Usai | 24/02/2020 | P. Grasso | 24/02/2020 | M. Petrangeli 24/02/2020 |
| | | | | | | | | |
| | | | | | | | | |
| | | | | | | | | |

File: IF26.1.2.E.ZZ.CL.VI.02.0.4.001A.doc

n. Elab.:

|    | ITINERARIO NAPOLI – BARI RADDOPPIO TRATTA CANCELLO-BENEVENTO II LOTTO FUNZIONALE FRASSO TELESINO – VITULANO 1° LOTTO FUNZIONALE FRASSO TELESINO – TELESE PROGETTO ESECUTIVO | | | | | | | | | | | | |
|---|---|----------|------------|----------|-----------|------|--------|------|---------|----|------------|---|----------|
| Spalle: Relazione di calcolo | <table border="1"> <thead> <tr> <th>COMMESSA</th> <th>LOTTO</th> <th>CODIFICA</th> <th>DOCUMENTO</th> <th>REV.</th> <th>FOGLIO</th> </tr> </thead> <tbody> <tr> <td>IF26</td> <td>12 E ZZ</td> <td>CL</td> <td>VI0204 001</td> <td>A</td> <td>2 di 158</td> </tr> </tbody> </table> | COMMESSA | LOTTO | CODIFICA | DOCUMENTO | REV. | FOGLIO | IF26 | 12 E ZZ | CL | VI0204 001 | A | 2 di 158 |
| COMMESSA | LOTTO | CODIFICA | DOCUMENTO | REV. | FOGLIO | | | | | | | | |
| IF26 | 12 E ZZ | CL | VI0204 001 | A | 2 di 158 | | | | | | | | |

INDICE

| | |
|--|-----------|
| 1. GENERALITA' | 6 |
| 1.1 DESCRIZIONE DELL'OPERA..... | 6 |
| 1.2 UNITÀ DI MISURA | 8 |
| 2. NORMATIVA DI RIFERIMENTO..... | 9 |
| 2.1 ELABORATI DI RIFERIMENTO..... | 9 |
| 3. MATERIALI..... | 10 |
| 3.1 CLASSI DI ESPOSIZIONE E COPRIFERRI..... | 10 |
| 3.2 CALCESTRUZZO PER PALI DI FONDAZIONE (C 25/30)..... | 11 |
| 3.3 CALCESTRUZZO PER PLINTI DI FONDAZIONE (C 28/35) | 14 |
| 3.4 CALCESTRUZZO PER ELEVAZIONI (C 32/40)..... | 15 |
| 3.5 CALCESTRUZZO MAGRO PER GETTI DI LIVELLAMENTO/SOTTOFONDAZIONI (C12/15)..... | 16 |
| 3.6 ACCIAIO IN BARRE D'ARMATURA PER C.A. (B450C)..... | 17 |
| 4. CARATTERIZZAZIONE E CRITERI DI PROGETTAZIONE GEOTECNICA | 18 |
| 5. CARATTERIZZAZIONE SISMICA DEL SITO | 18 |
| 5.1 VITA NOMINALE E CLASSE D'USO DELL'OPERA | 20 |
| 5.2 PARAMETRI DI PERICOLOSITÀ SISMICA | 21 |
| 5.3 CATEGORIA DI SOTTOSUOLO E CATEGORIA TOPOGRAFICA | 27 |
| 6. ANALISI DEI CARICHI | 29 |
| 6.1 CARICHI PROVENIENTI DALL'IMPALCATO | 29 |
| 6.1.1 <i>Pesi permanenti strutturali e non strutturali</i> | 29 |
| 6.1.2 <i>Carichi variabili sui marciapiedi</i> | 31 |
| 6.1.3 <i>Carichi variabili da traffico</i> | 31 |
| 6.1.3.1 <i>Azioni da traffico ferroviario</i> | 31 |

|    | ITINERARIO NAPOLI – BARI RADDOPPIO TRATTA CANCELLO-BENEVENTO II LOTTO FUNZIONALE FRASSO TELESINO – VITULANO 1° LOTTO FUNZIONALE FRASSO TELESINO – TELESE PROGETTO ESECUTIVO | | | | | | | | | | | | |
|---|---|----------|------------|----------|-----------|------|--------|------|---------|----|------------|---|----------|
| Spalle: Relazione di calcolo | <table border="1"> <thead> <tr> <th>COMMESSA</th> <th>LOTTO</th> <th>CODIFICA</th> <th>DOCUMENTO</th> <th>REV.</th> <th>FOGLIO</th> </tr> </thead> <tbody> <tr> <td>IF26</td> <td>12 E ZZ</td> <td>CL</td> <td>VI0204 001</td> <td>A</td> <td>3 di 158</td> </tr> </tbody> </table> | COMMESSA | LOTTO | CODIFICA | DOCUMENTO | REV. | FOGLIO | IF26 | 12 E ZZ | CL | VI0204 001 | A | 3 di 158 |
| COMMESSA | LOTTO | CODIFICA | DOCUMENTO | REV. | FOGLIO | | | | | | | | |
| IF26 | 12 E ZZ | CL | VI0204 001 | A | 3 di 158 | | | | | | | | |

| | | |
|---------|---|----|
| 6.1.3.2 | <i>Incremento dinamico</i> | 33 |
| 6.1.3.3 | <i>Contemporaneità dei treni sui binari</i> | 35 |
| 6.1.4 | <i>Azioni orizzontali da avviamento / frenatura</i> | 35 |
| 6.1.5 | <i>Forza centrifuga</i> | 35 |
| 6.1.6 | <i>Serpeggio</i> | 36 |
| 6.1.7 | <i>Azioni parassite dei vincoli</i> | 36 |
| 6.1.8 | <i>Azioni da Vento</i> | 38 |
| 6.1.9 | <i>Azioni aerodinamiche indotte dal transito dei convogli</i> | 44 |
| 6.1.10 | <i>Tabelle riepilogo Scarichi impalcato</i> | 46 |
| 6.2 | SPINTA DEL TERRENO DEL RILEVATO IN CONDIZIONI STATICHE | 48 |
| 6.3 | SPINTA DEL SOVRACCARICO ACCIDENTALE CONDIZIONI STATICHE | 49 |
| 6.4 | AZIONE SISMICA | 50 |
| 6.4.1 | <i>Azioni sismiche sulle Spalle</i> | 50 |
| 6.4.2 | <i>Sovraspinta sismica del terreno</i> | 53 |
| 7. | COMBINAZIONI DI CARICO | 54 |
| 8. | CRITERI GENERALI PER LE VERIFICHE STRUTTURALI | 59 |
| 8.1 | VERIFICHE ALLO SLU | 59 |
| 8.1.1 | <i>Pressoflessione</i> | 59 |
| 8.1.2 | <i>Taglio</i> | 61 |
| 8.2 | VERIFICA SLE..... | 63 |
| 8.2.1 | <i>Verifiche alle tensioni</i> | 63 |
| 8.2.2 | <i>Verifiche a fessurazione</i> | 64 |
| 9. | MODELLI DI CALCOLO | 65 |
| 9.1 | MODELLO FEM | 65 |

|    | ITINERARIO NAPOLI – BARI RADDOPPIO TRATTA CANCELLO-BENEVENTO II LOTTO FUNZIONALE FRASSO TELESINO – VITULANO 1° LOTTO FUNZIONALE FRASSO TELESINO – TELESE PROGETTO ESECUTIVO | | | | | | | | | | | | |
|---|---|----------|------------|----------|-----------|------|--------|------|---------|----|------------|---|----------|
| Spalle: Relazione di calcolo | <table border="1"> <thead> <tr> <th>COMMESSA</th> <th>LOTTO</th> <th>CODIFICA</th> <th>DOCUMENTO</th> <th>REV.</th> <th>FOGLIO</th> </tr> </thead> <tbody> <tr> <td>IF26</td> <td>12 E ZZ</td> <td>CL</td> <td>VI0204 001</td> <td>A</td> <td>4 di 158</td> </tr> </tbody> </table> | COMMESSA | LOTTO | CODIFICA | DOCUMENTO | REV. | FOGLIO | IF26 | 12 E ZZ | CL | VI0204 001 | A | 4 di 158 |
| COMMESSA | LOTTO | CODIFICA | DOCUMENTO | REV. | FOGLIO | | | | | | | | |
| IF26 | 12 E ZZ | CL | VI0204 001 | A | 4 di 158 | | | | | | | | |

| | | |
|-------------|--|---------------------------|
| 9.2 | MODELLO FEM FASI COSTRUTTIVE..... | 69 |
| 10. | ANALISI E VERIFICA SPALLA MOBILE (S1)..... | 70 |
| 10.1 | REAZIONI GLOBALI FASE FINALE..... | 70 |
| 10.2 | REAZIONI GLOBALI MODELLO DI PRIMA FASE..... | 72 |
| 10.3 | DIAGRAMMI DI SOLLECITAZIONE FASE FINALE..... | 74 |
| 10.4 | DIAGRAMMI DI SOLLECITAZIONE MODELLO DI PRIMA FASE..... | 75 |
| 10.5 | VERIFICHE A FLESSIONE E TAGLIO DEI MURI E DELLA FONDAZIONE..... | 76 |
| | <i>10.5.1 Muro frontale.....</i> | <i>77</i> |
| | <i>10.5.2 Paraghiaia.....</i> | <i>82</i> |
| | <i>10.5.3 Muri andatori.....</i> | <i>87</i> |
| | <i>10.5.4 Muri andatori interni.....</i> | <i>90</i> |
| | <i>10.5.5 Muri andatori alti.....</i> | <i>94</i> |
| | <i>10.5.6 Muri andatori interni alti.....</i> | <i>98</i> |
| | <i>10.5.7 Plinto.....</i> | <i>102</i> |
| 10.6 | PALIFICATA..... | 107 |
| | <i>10.6.1 Reazioni globali fase finale.....</i> | <i>107</i> |
| | <i>10.6.2 Reazioni globali modello di prima fase.....</i> | <i>108</i> |
| | <i>10.6.3 Verifiche strutturali pali di fondazione.....</i> | <i>109</i> |
| | <i>10.6.3.1.....</i> | <i>Verifiche allo SLU</i> |
| | <i>109</i> | |
| | <i>10.6.3.2.....</i> | <i>Verifiche allo SLE</i> |
| | <i>112</i> | |
| 11. | ANALISI E VERIFICA SPALLA FISSA (S2)..... | 114 |
| 11.1 | REAZIONI GLOBALI FASE FINALE..... | 114 |
| 11.2 | REAZIONI GLOBALI MODELLO DI PRIMA FASE..... | 116 |

|    | ITINERARIO NAPOLI – BARI RADDOPPIO TRATTA CANCELLO-BENEVENTO II LOTTO FUNZIONALE FRASSO TELESINO – VITULANO 1° LOTTO FUNZIONALE FRASSO TELESINO – TELESE PROGETTO ESECUTIVO | | | | | | | | | | | | |
|---|---|----------|------------|----------|-----------|------|--------|------|---------|----|------------|---|----------|
| Spalle: Relazione di calcolo | <table border="1"> <thead> <tr> <th>COMMESSA</th> <th>LOTTO</th> <th>CODIFICA</th> <th>DOCUMENTO</th> <th>REV.</th> <th>FOGLIO</th> </tr> </thead> <tbody> <tr> <td>IF26</td> <td>12 E ZZ</td> <td>CL</td> <td>VI0204 001</td> <td>A</td> <td>5 di 158</td> </tr> </tbody> </table> | COMMESSA | LOTTO | CODIFICA | DOCUMENTO | REV. | FOGLIO | IF26 | 12 E ZZ | CL | VI0204 001 | A | 5 di 158 |
| COMMESSA | LOTTO | CODIFICA | DOCUMENTO | REV. | FOGLIO | | | | | | | | |
| IF26 | 12 E ZZ | CL | VI0204 001 | A | 5 di 158 | | | | | | | | |

| | | |
|-------------|---|---------------------------|
| 11.3 | DIAGRAMMI DI SOLLECITAZIONE FASE FINALE..... | 118 |
| 11.4 | DIAGRAMMI DI SOLLECITAZIONE MODELLO DI PRIMA FASE..... | 119 |
| 11.5 | VERIFICHE A FLESSIONE E TAGLIO DEI MURI E DELLA FONDAZIONE | 120 |
| | <i>11.5.1 Muro frontale.....</i> | <i>121</i> |
| | <i>11.5.2 Paragliaia</i> | <i>126</i> |
| | <i>11.5.3 Muri andatori.....</i> | <i>131</i> |
| | <i>11.5.4 Muri andatori interni.....</i> | <i>134</i> |
| | <i>11.5.5 Muri andatori alti.....</i> | <i>138</i> |
| | <i>11.5.6 Muri andatori interni alti.....</i> | <i>142</i> |
| | <i>11.5.7 Plinto</i> | <i>146</i> |
| 11.6 | PALIFICATA..... | 151 |
| | <i>11.6.1 Reazioni globali fase finale.....</i> | <i>151</i> |
| | <i>11.6.2 Reazioni globali modello di prima fase.....</i> | <i>152</i> |
| | <i>11.6.3 Verifiche strutturali pali di fondazione.....</i> | <i>153</i> |
| | <i>11.6.3.1.....</i> | <i>Verifiche allo SLU</i> |
| | <i>154</i> | |
| | <i>11.6.3.2.....</i> | <i>Verifiche allo SLE</i> |
| | <i>156</i> | |
| 12. | INCIDENZE..... | 158 |

| | | | | | | |
|---|--|------------------|----------------|-------------------------|-----------|--------------------|
|  | ITINERARIO NAPOLI – BARI RADDOPPIO TRATTA CANCELLO-BENEVENTO II LOTTO FUNZIONALE FRASSO TELESINO – VITULANO 1° LOTTO FUNZIONALE FRASSO TELESINO – TELESE PROGETTO ESECUTIVO | | | | | |
| Spalle: Relazione di calcolo | COMMESSA IF26 | LOTTO 12 E ZZ | CODIFICA CL | DOCUMENTO VI0204 001 | REV. A | FOGLIO 6 di 158 |

1. GENERALITA'

Il presente documento si inserisce nell'ambito della redazione degli elaborati tecnici di progetto esecutivo del Raddoppio dell'Itinerario Ferroviario Napoli-Bari nella Tratta Canello-Benevento/ 2° Lotto Funzionale Frasso Telesino – Vitulano.

Le Analisi e Verifiche nel seguito esposte fanno in particolare riferimento alle sottostrutture (Spalla mobile e fissa) del Ponte VI02, previsto sull'asse principale del tracciato di progetto, tra le pk 17+638.32 – 17+627.32.

1.1 Descrizione dell'opera

Il viadotto in esame è costituito da un'unica campata di luce pari a 22.00 m.

L'impalcato è costituito da travi metalliche incorporate da un getto di completamento in c.a. che realizza anche gli aggetti laterali. La larghezza complessiva dell'impalcato è pari a 13.70 m su cui gravano 2 binari posti ad interasse pari a 4.00 m, in maniera simmetrica rispetto alla mezzeria del viadotto. Per maggiori dettagli riguardanti l'impalcato si rinvia alla relazione specifica.

Le sottostrutture consistono in due spalle con fondazioni di tipo profondo su pali. La spalla indicata con "S2" è la spalla fissa mentre quella indicata con "S1" è la spalla mobile.

L'opera in oggetto è progettato per una vita nominale VN pari a 75 anni. Gli si attribuisce inoltre una classe d'uso III ("Ponti e reti ferroviarie la cui interruzione provochi situazioni di emergenza.") ai sensi del D. Min. 14/01/2008, da cui scaturisce un coefficiente d'uso CU = 1.5.

Di seguitosi riportano alcune sezioni rappresentative delle sottostrutture:

Spalle: Relazione di calcolo

| COMMESSA | LOTTO | CODIFICA | DOCUMENTO | REV. | FOGLIO |
|----------|---------|----------|------------|------|----------|
| IF26 | 12 E ZZ | CL | VI0204 001 | A | 7 di 158 |

SEZIONE TRASVERSALE SPALLA S1-Scala 1:100

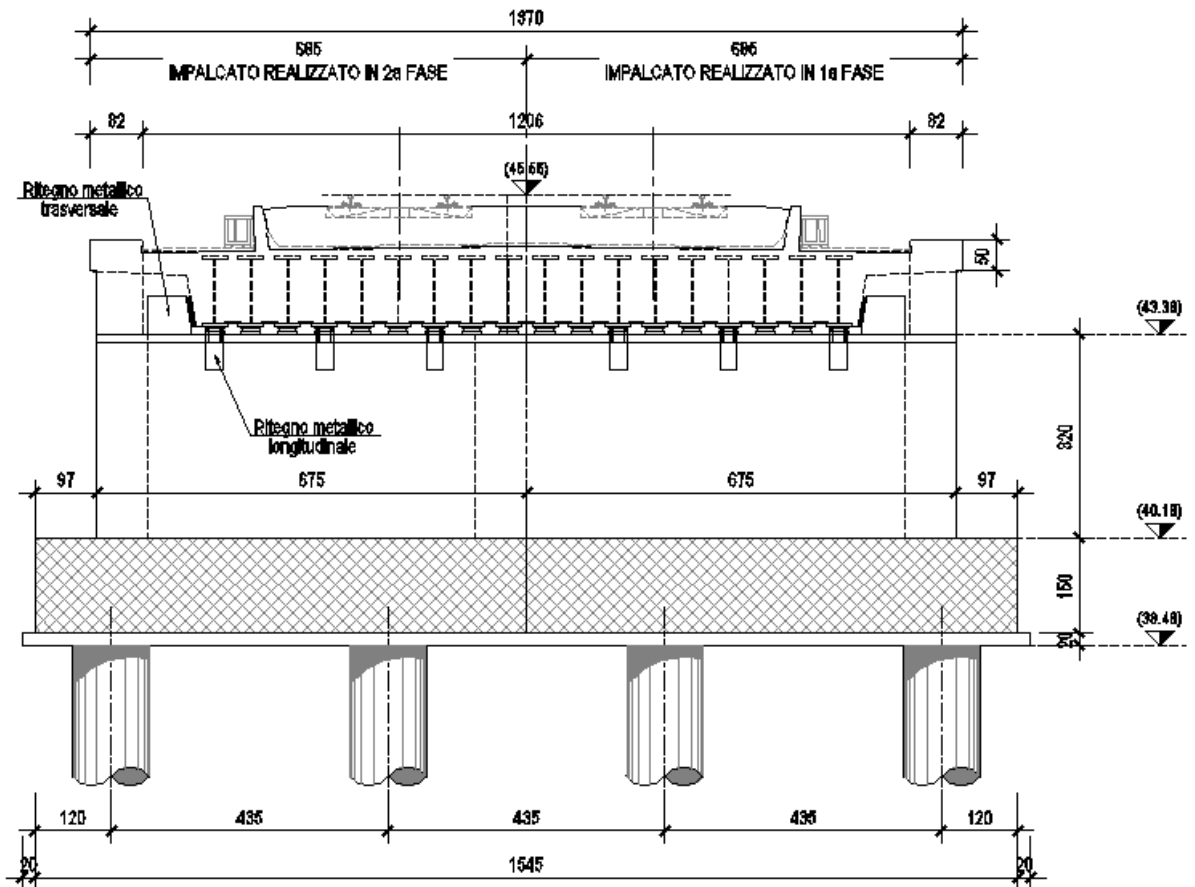


Figura 1 – Spalla S1

SEZIONE TRASVERSALE SPALLA S2-Scala 1:100

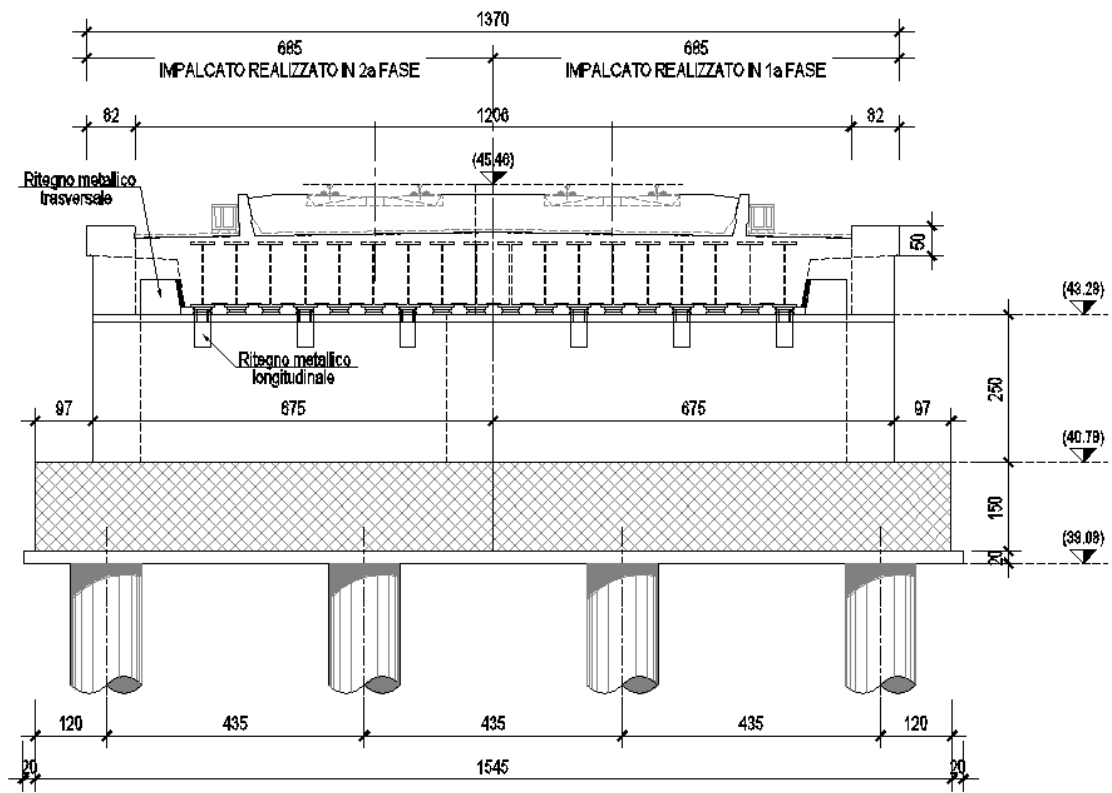


Figura 2 – Spalla S2

1.2 Unità di misura

Nel seguito si adotteranno le seguenti unità di misura:

- per le lunghezze \Rightarrow m, mm
- per i carichi \Rightarrow kN, kN/m², kN/m³
- per le azioni di calcolo \Rightarrow kN, kNm
- per le tensioni \Rightarrow MPa

| | | | | | | |
|---|--|------------------|----------------|-------------------------|-----------|--------------------|
|  | ITINERARIO NAPOLI – BARI RADDOPPIO TRATTA CANCELLO-BENEVENTO II LOTTO FUNZIONALE FRASSO TELESINO – VITULANO 1° LOTTO FUNZIONALE FRASSO TELESINO – TELESE PROGETTO ESECUTIVO | | | | | |
| Spalle: Relazione di calcolo | COMMESSA IF26 | LOTTO 12 E ZZ | CODIFICA CL | DOCUMENTO VI0204 001 | REV. A | FOGLIO 9 di 158 |

2. **NORMATIVA DI RIFERIMENTO**

Di seguito si riporta l'elenco generale delle Normative Nazionali ed internazionali vigenti alla data di redazione del presente documento, quale riferimento per la redazione degli elaborati tecnici e/o di calcolo dell'intero progetto nell'ambito della quale si inserisce l'opera oggetto della presente relazione:

- Rif. [1] Ministero delle Infrastrutture, DM 14 gennaio 2008, «Nuove Norme Tecniche per le Costruzioni»
- Rif. [2] Ministero delle Infrastrutture e Trasporti, circolare 2 febbraio 2009, n. 617 C.S.LL.PP., «Istruzioni per l'applicazione delle Nuove norme tecniche per le costruzioni di cui al decreto ministeriale 14 gennaio 2008»
- Rif. [3] Manuale di Progettazione delle Opere Civili: PARTE I / Aspetti Generali (RFI DTC SI MA IFS 001 A)
- Rif. [4] Manuale di Progettazione delle Opere Civili: PARTE II – Sezione 1 / Ambiente e Geologia (RFI DTC SI AG MA IFS 001 A – rev 30/12/2016)
- Rif. [5] Manuale di Progettazione delle Opere Civili: PARTE II – Sezione 2 / Ponti e Strutture (RFI DTC SI PS MA IFS 001 A– rev 30/12/2016)
- Rif. [6] Manuale di Progettazione delle Opere Civili: PARTE II – Sezione 3 / Corpo Stradale (RFI DTC SI CS MA IFS 001 A– rev 30/12/2016)
- Rif. [7] Manuale di Progettazione delle Opere Civili: PARTE II – Sezione 4 / Gallerie (RFI DTC SI GA MA IFS 001 A– rev 30/12/2016)
- Rif. [8] Manuale di Progettazione delle Opere Civili: PARTE II – Sezione 5 / Prescrizioni per i Marciapiedi e le Pensiline delle Stazioni Ferroviarie a servizio dei Viaggiatori (RFI DTC SI CS MA IFS 002 A– rev 30/12/2016)
- Rif. [9] Manuale di Progettazione delle Opere Civili: PARTE II – Sezione 6 / Sagome e Profilo minimo degli ostacoli (RFI DTC SI CS MA IFS 003 A– rev 30/12/2016)
- Rif. [10] Regolamento (UE) N.1299/2014 della Commissione del 18 Novembre 2014 relativo alle specifiche tecniche di interoperabilità per il sottosistema “infrastruttura” del sistema ferroviario dell’Unione europea
- Rif. [11] Eurocodice 1 – Azioni sulle strutture, Parte 1-4: Azioni in generale – Azioni del vento (UNI EN 1991-1-4)
- Rif. [12] UNI 11104: Calcestruzzo : Specificazione, prestazione, produzione e conformità - Istruzioni complementari per l'applicazione della EN 206-1

2.1 **Elaborati di riferimento**

Costituiscono parte integrante di quanto esposto nel presente documento, l'insieme degli elaborati di progetto specifici relativi all'opera in esame e riportati in elenco elaborati.

ITINERARIO NAPOLI – BARI
RADDOPPIO TRATTA CANCELLO-BENEVENTO
II LOTTO FUNZIONALE FRASSO TELESINO – VITULANO
1° LOTTO FUNZIONALE FRASSO TELESINO – TELESE
PROGETTO ESECUTIVO

Spalle: Relazione di calcolo

COMMESSA LOTTO CODIFICA DOCUMENTO REV. FOGLIO
IF26 12 E ZZ CL VI0204 001 A 10 di 158

3. MATERIALI

Di seguito si riportano le caratteristiche dei materiali previsti per la realizzazione delle strutture oggetto di calcolo nell'ambito del presente documento :

3.1 CLASSI DI ESPOSIZIONE E COPRIFERRI

Con riferimento alle specifiche di cui alla norma UNI 11104, si definiscono di seguito le classi di esposizione del calcestruzzo delle diverse parti della struttura oggetto dei dimensionamenti di cui al presente documento:

- Elevazioni spalle: XC4;
- Plinti e pali di fondazione: XC2;

| Classe esposizione norma UNI 9958 | Classe esposizione norma UNI 11104 UNI EN 206-1 | Descrizione dell'ambiente | Esempio | Massimo rapporto a/c | Minima Classe di resistenza | Contenuto minimo in aria (%) |
|---|---|--|--|----------------------|-----------------------------|------------------------------|
| 1 Assenza di rischio di corrosione o attacco | | | | | | |
| 1 | X0 | Per calcestruzzo privo di armatura o inserti metallici: tutte le esposizioni eccetto dove c'è gelo/disgelo, o attacco chimico. Calcestruzzo con armatura o inserti metallici in ambiente molto asciutto. | Interno di edifici con umidità relativa molto bassa. Calcestruzzo non armato all'interno di edifici. Calcestruzzo non armato immerso in suolo non aggressivo o in acqua non aggressiva. Calcestruzzo non armato soggetto a cicli di bagnato asciutto ma non soggetto ad abrasione, gelo o attacco chimico. | - | C 12/15 | |
| 2 Corrosione indotta da carbonatazione Nota: Le condizioni di umidità si riferiscono a quelle presenti nel coperto o nell'isolamento di inserti metallici, ma in molti casi si può considerare che tali condizioni riflettono quelle dell'ambiente circostante. In questi casi la classificazione dell'ambiente circostante può essere adeguata. Questo può non essere il caso se c'è una barriera tra il calcestruzzo e il suo ambiente. | | | | | | |
| 2 a | XC1 | Asciutto o permanentemente bagnato. | Interni di edifici con umidità relativa bassa. Calcestruzzo armato ordinario o precompresso con le superfici all'interno di strutture con eccezione delle parti esposte a condensa, o immerse in acqua. | 0,60 | C 25/30 | |
| 2 a | XC2 | Bagnato, raramente asciutto. | Parti di strutture di contenimento liquidi/fondazioni. Calcestruzzo armato ordinario o precompresso prevalentemente immerso in acqua o terreno non aggressivo. | 0,60 | C 25/30 | |
| 5 a | XC3 | Umidità moderata. | Calcestruzzo armato ordinario o precompresso in esterni con superfici esterne riparate dalla pioggia, o in interni con umidità da moderata ad alta. | 0,55 | C 28/35 | |
| 4 a 5 b | XC4 | Ciclicamente asciutto e bagnato. | Calcestruzzo armato ordinario o precompresso in esterni con superfici soggette a alternanze di asciutto ed umido. Calcestruzzi a vista in ambienti urbani. Superfici a contatto con l'acqua non comprese nella classe XC2. | 0,50 | C 32/40 | |
| 3 Corrosione indotta da cloruri esclusi quelli provenienti dall'acqua di mare | | | | | | |
| 5 a | XD1 | Umidità moderata. | Calcestruzzo armato ordinario o precompresso in superfici o parti di ponti e viadotti esposti a spruzzi d'acqua contenenti cloruri. | 0,55 | C 28/35 | |
| 4 a 5 b | XD2 | Bagnato, raramente asciutto. | Calcestruzzo armato ordinario o precompresso in elementi strutturali totalmente immersi in acqua anche industriale contenente cloruri (Piscine). | 0,50 | C 32/40 | |
| 5 c | XD3 | Ciclicamente bagnato e asciutto. | Calcestruzzo armato ordinario o precompresso, di elementi strutturali direttamente soggetti agli agenti disgelanti o agli spruzzi contenenti agenti disgelanti. Calcestruzzo armato ordinario o precompresso, elementi con una superficie immersa in acqua contenente cloruri e l'altra esposta all'aria. Parti di ponti, pavimentazioni e parcheggi per auto. | 0,45 | C 35/45 | |

| Classe esposizione norma UNI 9958 | Classe esposizione norma UNI 11104 UNI EN 206-1 | Descrizione dell'ambiente | Esempio | Massimo rapporto a/c | Minima Classe di resistenza | Contenuto minimo in aria (%) |
|---|---|--|---|----------------------|-----------------------------|------------------------------|
| 4 Corrosione indotta da cloruri presenti nell'acqua di mare | | | | | | |
| 4 a 5 b | XS1 | Esposto alla salsedine marina ma non direttamente in contatto con l'acqua di mare. | Calcestruzzo armato ordinario o precompresso con elementi strutturali sulle coste o in prossimità. | 0,50 | C 32/40 | |
| | XS2 | Permanentemente sommerso. | Calcestruzzo armato ordinario o precompresso di strutture marine completamente immerse in acqua. | 0,45 | C 35/45 | |
| | XS3 | Zone esposte agli spruzzi o alle maree. | Calcestruzzo armato ordinario o precompresso con elementi strutturali esposti alla battigia o alle zone soggette agli spruzzi ed ondate del mare. | 0,45 | C 35/45 | |
| 5 Attacco dei cicli di gelo/disgelo con o senza disgelanti * | | | | | | |
| 2 b | XF1 | Moderata saturazione d'acqua, in assenza di agente disgelante. | Superfici verticali di calcestruzzo come facciate e colonne esposte alla pioggia ed al gelo. Superfici non verticali e non soggette alla completa saturazione ma esposte al gelo, alla pioggia o all'acqua. | 0,50 | C 32/40 | |
| 3 | XF2 | Moderata saturazione d'acqua, in presenza di agente disgelante. | Elementi come parti di ponti che in altro modo sarebbero classificati come XF1 ma che sono esposti direttamente o indirettamente agli agenti disgelanti. | 0,50 | C 25/30 | 3,0 |
| 2 b | XF3 | Elevata saturazione d'acqua, in assenza di agente disgelante. | Superfici orizzontali in edifici dove l'acqua può accumularsi e che possono essere soggetti ai fenomeni di gelo, elementi soggetti a frequenti bagnature ed esposti al gelo. | 0,50 | C 25/30 | 3,0 |
| 3 | XF4 | Elevata saturazione d'acqua, con presenza di agente antigelo oppure acqua di mare. | Superfici orizzontali quali strade o pavimentazioni esposte al gelo ed ai sali disgelanti in modo diretto o indiretto, elementi esposti al gelo e soggetti a frequenti bagnature in presenza di agenti disgelanti o di acqua di mare. | 0,45 | C 28/35 | 3,0 |
| 6 Attacco chimico** | | | | | | |
| 5 a | XA1 | Ambiente chimicamente debolmente aggressivo secondo il prospetto 2 della UNI EN 206-1 | Contentori di fanghi e vasche di decantazione. Contentori e vasche per acque reflue. | 0,55 | C 28/35 | |
| 4 a 5 b | XA2 | Ambiente chimicamente moderatamente aggressivo secondo il prospetto 2 della UNI EN 206-1 | Elementi strutturali o pareti a contatto di terreni aggressivi. | 0,50 | C 32/40 | |
| 5 c | XA3 | Ambiente chimicamente fortemente aggressivo secondo il prospetto 2 della UNI EN 206-1 | Elementi strutturali o pareti a contatto di acque industriali fortemente aggressive. Contentori di foraggi, mangimi e liquame provenienti dall'allevamento animale. Torri di raffreddamento di fumi di gas di scarico industriali. | 0,45 | C 35/45 | |

*) Il grado di saturazione della seconda colonna riflette la relativa frequenza con cui si verifica il gelo in condizioni di saturazione:
- moderato: occasionalmente gelato in condizioni di saturazione;
- elevato: alta frequenza di gelo in condizioni di saturazione.
**) Da parte di acque del terreno e acque fluenti.

Classi di esposizione secondo norma UNI - 11104

| | | | | | | |
|---|--|-------------------------|-------------------------|-----------------------|--------------------------------|------------------|
|    | ITINERARIO NAPOLI – BARI RADDOPPIO TRATTA CANCELLO-BENEVENTO II LOTTO FUNZIONALE FRASSO TELESINO – VITULANO 1° LOTTO FUNZIONALE FRASSO TELESINO – TELESE PROGETTO ESECUTIVO | | | | | |
| | Spalle: Relazione di calcolo | COMMESSA IF26 | LOTTO 12 E ZZ | CODIFICA CL | DOCUMENTO VI0204 001 | REV. A |

La determinazione delle classi di resistenza dei conglomerati dei conglomerati, di cui ai successivi paragrafi, sono state inoltre determinate tenendo conto delle classi minime stabilite dalla stessa norma UNI-EN 11104, di cui alla successiva tabella:

prospetto 4 Valori limiti per la composizione e le proprietà del calcestruzzo

| | Classi di esposizione | | | | | | | | | | | | | | | | | |
|--|--|--|--------|--------|------------------------------------|--|--------|--------|--------|-------|-------|----------------------------------|-------|-------------------|---|--|------|------|
| | Nessun rischio di corrosione dell'armatura | Corrosione delle armature indotta dalla carbonatazione | | | | Corrosione delle armature indotta da cloruri | | | | | | Attacco da cicli di gelo/disgelo | | | | Ambiente aggressivo per attacco chimico | | |
| | | Acqua di mare | | | Cloruri provenienti da altre fonti | | | | | | | | | | | | | |
| | X0 | XC1 | XC2 | XC3 | XC4 | XS1 | XS2 | XS3 | XD1 | XD2 | XD3 | XF1 | XF2 | XF3 | XF4 | XA1 | XA2 | XA3 |
| Massimo rapporto <i>a/c</i> | - | 0,60 | 0,55 | 0,50 | 0,50 | 0,45 | 0,55 | 0,50 | 0,45 | 0,50 | 0,50 | 0,45 | 0,50 | 0,50 | 0,45 | 0,55 | 0,50 | 0,45 |
| Minima classe di resistenza ¹⁾ | C12/15 | C25/30 | C28/35 | C32/40 | C32/40 | C35/45 | C28/35 | C32/40 | C35/45 | 32/40 | 25/30 | 28/35 | 28,35 | 32/40 | 35/45 | | | |
| Minimo contenuto in cemento (kg/m ³) | - | 300 | 320 | 340 | 340 | 360 | 320 | 340 | 360 | 320 | 340 | 360 | 320 | 340 | 360 | 320 | 340 | 360 |
| Contenuto minimo in aria (%) | | | | | | | | | | | | | | 3,0 ^{a)} | | | | |
| Altri requisiti | | | | | | | | | | | | | | | Aggregati conformi alla UNI EN 12620 di adeguata resistenza al gelo/disgelo | È richiesto l'impiego di cementi resistenti ai solfati ^{b)} | | |

¹⁾ Nel prospetto 7 della UNI EN 206-1 viene riportata la classe C8/10 che corrisponde a specifici calcestruzzi destinati a sottofondazioni e ricoprimenti. Per tale classe dovrebbero essere definite le prescrizioni di durabilità nei riguardi di acque o terreni aggressivi.
^{a)} Quando il calcestruzzo non contiene aria aggiunta, le sue prestazioni devono essere verificate rispetto ad un calcestruzzo aerato per il quale è provata la resistenza al gelo/disgelo, da determinarsi secondo UNI 7087, per la relativa classe di esposizione.
^{b)} Qualora la presenza di solfati comporti le classi di esposizione XA2 e XA3 è essenziale utilizzare un cemento resistente ai solfati secondo UNI 9156.

Classi di resistenza minima del calcestruzzo secondo UNI – 11104

I copriferri di progetto adottati per le barre di armatura, tengono infine conto inoltre delle prescrizioni di cui alla Tabella C4.1.IV della Circolare n617 del 02-02-09; si è in particolare previsto di adottare i seguenti Copriferri minimi espressi in mm

- Elevazioni spalle: 40 mm
- Plinti di fondazione: 40 mm
- Pali di fondazione: 60 mm

3.2 Calcestruzzo per Pali di Fondazione (C 25/30)

Valore caratteristico della resistenza a compressione cubica a 28 gg:

$$R_{ck} = \boxed{30} \text{ MPa}$$

Valore caratteristico della resistenza a compressione cilindrica a 28 gg:

$$f_{ck} = \boxed{24.9} \text{ MPa} \quad (0,83 \cdot R_{ck})$$

Resistenza a compressione cilindrica media:

$$f_{cm} = 32.9 \text{ MPa} \quad (f_{ck} + 8)$$

Resistenza a trazione assiale:

Spalle: Relazione di calcolo

| COMMESSA | LOTTO | CODIFICA | DOCUMENTO | REV. | FOGLIO |
|----------|---------|----------|------------|------|-----------|
| IF26 | 12 E ZZ | CL | VI0204 001 | A | 12 di 158 |

$f_{ctm} = 2.56$ MPa Valore medio

$f_{ctk,0,05} = 1.79$ MPa Valore caratteristico frattile 5%

Resistenza a trazione per flessione:

$f_{ctm} = 3.1$ MPa Valore medio

$f_{ctk,0,05} = 2.1$ MPa Valore caratteristico frattile 5%

Coefficiente parziale per le verifiche agli SLU:

$\gamma_c = 1.5$

Per situazioni di carico eccezionali, tale valore va considerato pari ad 1,0

Resistenza di calcolo a compressione allo SLU:

$f_{cd} = 14.1$ MPa $(0,85 \cdot f_{ck} / \gamma_s)$

Resistenza di calcolo a trazione diretta allo SLU:

$f_{ctd} = 1.19$ MPa $(f_{ctk,0,05} / \gamma_s)$

Resistenza di calcolo a trazione per flessione SLU:

$f_{ctd\ f} = 1.43$ MPa $1,2 \cdot f_{ctd}$

Per spessori minori di 50mm e calcestruzzi ordinari, tale valore va ridotto del 20%

Modulo di elasticità normale :

$E_{cm} = 31447$ MPa

Modulo di elasticità tangenziale:

$G_{cm} = 13103$ MPa

Modulo di Poisson:

$\nu = 0.2$

□

Coefficiente di dilatazione lineare

$\alpha = 0.00001$ °C⁻¹

Tensione di aderenza di calcolo acciaio-calcestruzzo

$\eta = 1.00$

$f_{bd} = 2.69$ MPa $(2,25 \cdot f_{ctk} \cdot \eta / \gamma_s)$

Nel caso di armature molto addensate, o ancoraggi in zona tesa tale valore va diviso per 1,5

Tensioni massime per la verifica agli SLE (Prescrizioni Manuale RFI Parte 2-Sezione 2)

$\sigma_{cmax\ QP} = (0,40 f_{ck}) = 9.96$ MPa (Combinazione di Carico Quasi Permanente)

$\sigma_{cmax\ R} = (0,55 f_{ck}) = 13.70$ MPa (Combinazione di Carico Caratteristica - Rara)

ITINERARIO NAPOLI – BARI
RADDOPPIO TRATTA CANCELLO-BENEVENTO
II LOTTO FUNZIONALE FRASSO TELESINO – VITULANO
1° LOTTO FUNZIONALE FRASSO TELESINO – TELESE
PROGETTO ESECUTIVO

Spalle: Relazione di calcolo

| COMMESSA | LOTTO | CODIFICA | DOCUMENTO | REV. | FOGLIO |
|----------|---------|----------|------------|------|-----------|
| IF26 | 12 E ZZ | CL | VI0204 001 | A | 13 di 158 |

Per spessori minori di 50mm e calcestruzzi ordinari, tale valori vanno ridotti del 20%

| | | | | | | |
|---|--|------------------|------------------|----------------|-------------------------|-----------|
|    | ITINERARIO NAPOLI – BARI RADDOPPIO TRATTA CANCELLO-BENEVENTO II LOTTO FUNZIONALE FRASSO TELESINO – VITULANO 1° LOTTO FUNZIONALE FRASSO TELESINO – TELESE PROGETTO ESECUTIVO | | | | | |
| | Spalle: Relazione di calcolo | COMMESSA IF26 | LOTTO 12 E ZZ | CODIFICA CL | DOCUMENTO VI0204 001 | REV. A |

3.3 Calcestruzzo per Plinti di Fondazione (C 28/35)

Valore caratteristico della resistenza a compressione cubica a 28 gg: - -

$$R_{ck} = \boxed{35} \text{ MPa}$$

Valore caratteristico della resistenza a compressione cilindrica a 28 gg:

$$f_{ck} = \boxed{29.1} \text{ MPa} \quad (0,83 \cdot R_{ck})$$

Resistenza a compressione cilindrica media:

$$f_{cm} = 37.1 \text{ MPa} \quad (f_{ck} + 8)$$

Resistenza a trazione assiale:

$$f_{ctm} = \boxed{2.83} \text{ MPa} \quad \text{Valore medio}$$

$$f_{ctk,0,05} = \boxed{1.98} \text{ MPa} \quad \text{Valore caratteristico frattile 5\%}$$

Resistenza a trazione per flessione:

$$f_{ctf} = \boxed{3.4} \text{ MPa} \quad \text{Valore medio}$$

$$f_{ctk,0,05} = \boxed{2.4} \text{ MPa} \quad \text{Valore caratteristico frattile 5\%}$$

Coefficiente parziale per le verifiche agli SLU:

$$\gamma_c = \mathbf{1.5}$$

Per situazioni di carico eccezionali, tale valore va considerato pari ad 1,0

Resistenza di calcolo a compressione allo SLU:

$$f_{cd} = \boxed{16.5} \text{ MPa} \quad (0,85 \cdot f_{ck} / \gamma_s)$$

Resistenza di calcolo a trazione diretta allo SLU:

$$f_{ctd} = \boxed{1.32} \text{ MPa} \quad (f_{ctk,0,05} / \gamma_s)$$

Resistenza di calcolo a trazione per flessione SLU:

$$f_{ctd f} = \boxed{1.59} \text{ MPa} \quad 1,2 \cdot f_{ctd}$$

Per spessori minori di 50mm e calcestruzzi ordinari, tale valore va ridotto del 20%

Modulo di elasticità normale :

$$E_{cm} = \boxed{32588} \text{ MPa}$$

Modulo di elasticità tangenziale:

$$G_{cm} = \boxed{13578} \text{ MPa}$$

Modulo di Poisson:

$$\nu = \boxed{0.2}$$

□

Coefficiente di dilatazione lineare

$$\alpha = \boxed{0.00001} \text{ } ^\circ\text{C}^{-1}$$

Tensione di aderenza di calcolo acciaio-calcestruzzo

$$\eta = 1.00$$

Spalle: Relazione di calcolo

| COMMESSA | LOTTO | CODIFICA | DOCUMENTO | REV. | FOGLIO |
|----------|---------|----------|------------|------|-----------|
| IF26 | 12 E ZZ | CL | VI0204 001 | A | 15 di 158 |

$$f_{bd} = \boxed{2.98} \text{ MPa} \quad (2,25 \cdot f_{ctk} \cdot \eta / \gamma_s)$$

Nel caso di armature molto addensate, o ancoraggi in zona tesa tale valore va diviso per 1,5

Tensioni massime per la verifica agli SLE (Prescrizioni Manuale RFI Parte 2- Sezione 2)

$$\sigma_{cmax \text{ QP}} = (0,40 f_{ck}) = \boxed{11.62} \text{ MPa} \quad (\text{Combinazione di Carico Quasi Permanente})$$

$$\sigma_{cmax \text{ R}} = (0,55 f_{ck}) = \boxed{15.98} \text{ MPa} \quad (\text{Combinazione di Carico Caratteristica - Rara})$$

Per spessori minori di 50mm e calcestruzzi ordinari, tale valori vanno ridotti del 20%

3.4 Calcestruzzo per Elevazioni (C 32/40)

Valore caratteristico della resistenza a compressione cubica a 28 gg:

$$R_{ck} = \boxed{40} \text{ MPa}$$

Valore caratteristico della resistenza a compressione cilindrica a 28 gg:

$$f_{ck} = \boxed{33.2} \text{ MPa} \quad (0,83 \cdot R_{ck})$$

Resistenza a compressione cilindrica media:

$$f_{cm} = 41.2 \text{ MPa} \quad (f_{ck} + 8)$$

Resistenza a trazione assiale:

$$f_{ctm} = \boxed{3.10} \text{ MPa} \quad \text{Valore medio}$$

$$f_{ctk,0,05} = \boxed{2.17} \text{ MPa} \quad \text{Valore caratteristico frattile 5\%}$$

Resistenza a trazione per flessione:

$$f_{ctf} = \boxed{3.7} \text{ MPa} \quad \text{Valore medio}$$

$$f_{ctk,0,05} = \boxed{2.6} \text{ MPa} \quad \text{Valore caratteristico frattile 5\%}$$

Coefficiente parziale per le verifiche agli SLU:

$$\gamma_c = \mathbf{1.5}$$

Per situazioni di carico eccezionali, tale valore va considerato pari ad 1,0

Resistenza di calcolo a compressione allo SLU:

$$f_{cd} = \boxed{18.8} \text{ MPa} \quad (0,85 \cdot f_{ck} / \gamma_s)$$

Resistenza di calcolo a trazione diretta allo SLU:

$$f_{ctd} = \boxed{1.45} \text{ MPa} \quad (f_{ctk,0,05} / \gamma_s)$$

Resistenza di calcolo a trazione per flessione SLU:

$$f_{ctd f} = \boxed{1.74} \text{ MPa} \quad 1,2 \cdot f_{ctd}$$

| | | | | | | |
|---|--|------------------|------------------|----------------|-------------------------|-----------|
|    | ITINERARIO NAPOLI – BARI RADDOPPIO TRATTA CANCELLO-BENEVENTO II LOTTO FUNZIONALE FRASSO TELESINO – VITULANO 1° LOTTO FUNZIONALE FRASSO TELESINO – TELESE PROGETTO ESECUTIVO | | | | | |
| | Spalle: Relazione di calcolo | COMMESSA IF26 | LOTTO 12 E ZZ | CODIFICA CL | DOCUMENTO VI0204 001 | REV. A |

Per spessori minori di 50mm e calcestruzzi ordinari, tale valore va ridotto del 20%

Modulo di elasticità normale : $E_{cm} =$ MPa
Modulo di elasticità tangenziale: $G_{cm} =$ MPa

Modulo di Poisson:
 $\nu =$

Coefficiente di dilatazione lineare
 $\alpha =$ °C⁻¹

Tensione di aderenza di calcolo acciaio-calcestruzzo
 $\eta =$ 1.00

$f_{bd} =$ MPa $(2,25 \cdot f_{ctk} \cdot \eta / \gamma_s)$

Nel caso di armature molto addensate, o ancoraggi in zona tesa tale valore va diviso per 1,5

Tensioni massime per la verifica agli SLE (Prescrizioni Manuale RFI Parte 2-Sezione 2)

$\sigma_{\max QP} = (0,40 f_{ck}) =$ MPa (Combinazione di Carico Quasi Permanente)

$\sigma_{\max R} = (0,55 f_{ck}) =$ MPa (Combinazione di Carico Caratteristica - Rara)

Per spessori minori di 50mm e calcestruzzi ordinari, tale valori vanno ridotti del 20%

3.5 Calcestruzzo magro per Getti di livellamento/sottofondazioni (C12/15)

Valore caratteristico della resistenza a compressione cubica a 28 gg:

$R_{ck} =$ MPa

Valore caratteristico della resistenza a compressione cilindrica a 28 gg:

$f_{ck} =$ MPa $(0,83 \cdot R_{ck})$

Resistenza a compressione cilindrica media:

$f_{cm} =$ 20.5 MPa $(f_{ck} + 8)$

Si omettono resistenze e/o tensioni di calcolo, essendo tale conglomerato previsto per parti d'opera senza funzioni strutturali.

Spalle: Relazione di calcolo

| COMMESSA | LOTTO | CODIFICA | DOCUMENTO | REV. | FOGLIO |
|----------|---------|----------|------------|------|-----------|
| IF26 | 12 E ZZ | CL | VI0204 001 | A | 17 di 158 |

3.6 Acciaio in barre d'armatura per c.a. (B450C)

Tensione caratteristica di rottura:

$$f_{tk} = \boxed{540} \text{ MPa (frattile al 5\%)}$$

Tensione caratteristica allo snervamento:

$$f_{yk} = \boxed{450} \text{ MPa (frattile al 5\%)}$$

Fattore di sovraresistenza (nel caso di impiego di legame costitutivo tipo bilineare con incrudimento)

$$k = f_{tk}/f_{yk} = \boxed{1.20} \text{ MPa}$$

Allungamento a rottura (nel caso di impiego di legame costitutivo tipo bilineare con incrudimento)

$$(A_{gt})_k = \quad \varepsilon_{uk} = \boxed{7.5} \%$$

$$\varepsilon_{ud} = \quad 0,9 \varepsilon_{uk} = \boxed{6.75} \%$$

Coefficiente parziale per le verifiche agli SLU:

$$\gamma_c = \mathbf{1.15}$$

Per situazioni di carico eccezionali, tale valore va considerato pari ad 1,0

Resistenza di calcolo allo SLU:

$$f_{yd} = \boxed{391.3} \text{ MPa } (f_{yk}/\gamma_s)$$

Modulo di elasticità :

$$E_f = \boxed{210000} \text{ MPa}$$

Tensione massima per la verifica agli SLE (Prescrizioni Manuale RFI Parte 2-Sezione 2)

$$\sigma_{s \max} = (0,75 f_{yk}) = \boxed{360} \text{ MPa} \quad \text{Combinazione di Carico Caratteristica(Rara)}$$

|    | ITINERARIO NAPOLI – BARI RADDOPPIO TRATTA CANCELLO-BENEVENTO II LOTTO FUNZIONALE FRASSO TELESINO – VITULANO 1° LOTTO FUNZIONALE FRASSO TELESINO – TELESE PROGETTO ESECUTIVO | | | | | | | | | | | | |
|---|--|----------|------------|----------|-----------|------|--------|------|---------|----|------------|---|-----------|
| Spalle: Relazione di calcolo | <table border="1"> <thead> <tr> <th>COMMESSA</th> <th>LOTTO</th> <th>CODIFICA</th> <th>DOCUMENTO</th> <th>REV.</th> <th>FOGLIO</th> </tr> </thead> <tbody> <tr> <td>IF26</td> <td>12 E ZZ</td> <td>CL</td> <td>VI0204 001</td> <td>A</td> <td>18 di 158</td> </tr> </tbody> </table> | COMMESSA | LOTTO | CODIFICA | DOCUMENTO | REV. | FOGLIO | IF26 | 12 E ZZ | CL | VI0204 001 | A | 18 di 158 |
| COMMESSA | LOTTO | CODIFICA | DOCUMENTO | REV. | FOGLIO | | | | | | | | |
| IF26 | 12 E ZZ | CL | VI0204 001 | A | 18 di 158 | | | | | | | | |

4. CARATTERIZZAZIONE E CRITERI DI PROGETTAZIONE GEOTECNICA

Il ponte ricade alle chilometriche 17+638.32 – 17+627.32 del tracciato di progetto dell'Asse Principale, nell'ambito del 1° Lotto Funzionale Frasso-Telese, individuato dalle pk 16+500 – 27+700.

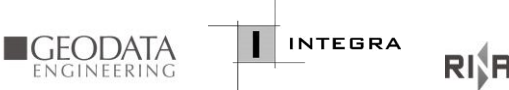
La definizione del modello geotecnico di sottosuolo di riferimento per il dimensionamento delle strutture di fondazione dell'opera, è trattata diffusamente nella specifica sezione dedicata all'opera in esame nell'ambito del seguente documento di progetto:

| | | | | | | | | | | | | | | | | | | | | | |
|--|---|---|---|---|---|---|---|---|---|---|---|---|---|---|---|---|---|---|---|---|---|
| Ponte km 17+638 - Relazione geotecnica di calcolo delle fondazioni | I | F | 2 | 6 | 1 | 2 | E | Z | Z | C | L | V | I | 0 | 2 | 0 | 3 | 0 | 0 | 2 | A |
|--|---|---|---|---|---|---|---|---|---|---|---|---|---|---|---|---|---|---|---|---|---|

5. CARATTERIZZAZIONE SISMICA DEL SITO

Nel seguente paragrafo è riportata la valutazione dei parametri di pericolosità sismica utili alla determinazione delle azioni sismiche di progetto dell'opera cui si riferisce il presente documento, in accordo a quanto specificato a riguardo dal D.M. 14 gennaio 2008 e relativa circolare applicativa.

L'opera in questione rientra in particolare nell'ambito del Progetto di Raddoppio della tratta Ferroviaria Frasso Telesino – Vitulano, che si sviluppa per circa 30Km, da ovest verso est, attraversando il territorio di diverse località tra cui Dugenta/Frasso (BN), Amorosi (BN), Telese(BN), Solopaca(BN), San Lorenzo Maggiore(BN), Ponte(BN), Torrecuso(BN), Vitulano (BN) , Benevento – Località Roseto (BN).

|  | <p>ITINERARIO NAPOLI – BARI RADDOPPIO TRATTA CANCELLO-BENEVENTO II LOTTO FUNZIONALE FRASSO TELESINO – VITULANO 1° LOTTO FUNZIONALE FRASSO TELESINO – TELESE</p> <p>PROGETTO ESECUTIVO</p> | | | | | | | | | | | | |
|---|--|----------|------------|----------|-----------|------|--------|------|---------|----|------------|---|-----------|
| <p>Spalle: Relazione di calcolo</p> | <table border="1"> <thead> <tr> <th>COMMESSA</th> <th>LOTTO</th> <th>CODIFICA</th> <th>DOCUMENTO</th> <th>REV.</th> <th>FOGLIO</th> </tr> </thead> <tbody> <tr> <td>IF26</td> <td>12 E ZZ</td> <td>CL</td> <td>VI0204 001</td> <td>A</td> <td>19 di 158</td> </tr> </tbody> </table> | COMMESSA | LOTTO | CODIFICA | DOCUMENTO | REV. | FOGLIO | IF26 | 12 E ZZ | CL | VI0204 001 | A | 19 di 158 |
| COMMESSA | LOTTO | CODIFICA | DOCUMENTO | REV. | FOGLIO | | | | | | | | |
| IF26 | 12 E ZZ | CL | VI0204 001 | A | 19 di 158 | | | | | | | | |

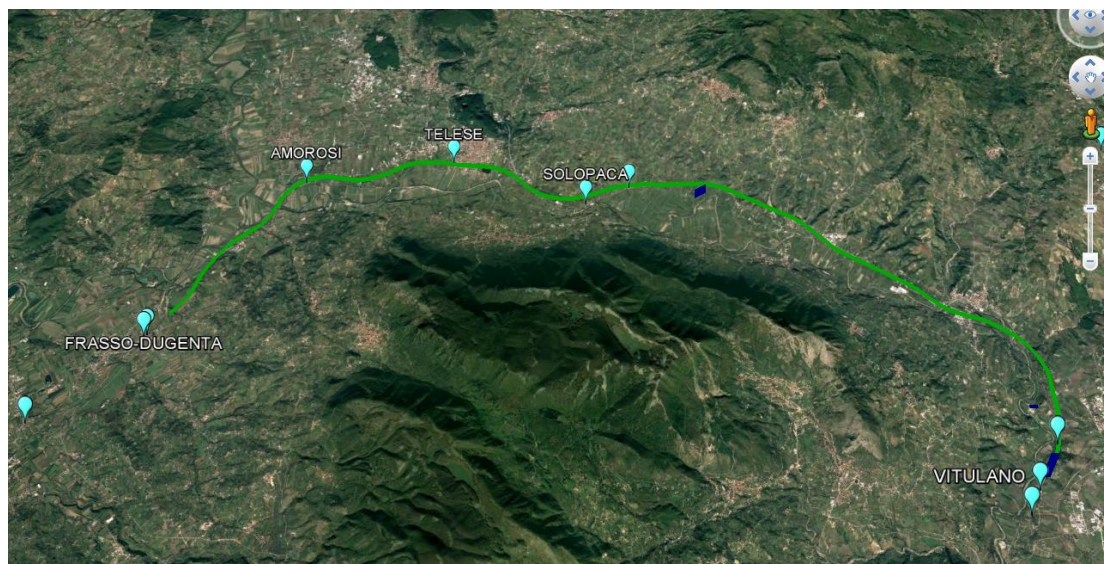


Figura 3 – Configurazione planimetrica tracciato

In considerazione della variabilità dei parametri di pericolosità sismica con la localizzazione geografica del sito, ed allo scopo di individuare dei tratti omogenei nell'ambito dei quali assumere costanti detti parametri, si è provveduto a suddividere il tracciato in tre sottozone simiche, a seguito di un esame generale del livello pericolosità sismica dell'area che evidenzia un graduale incremento dell'intensità sismica da ovest verso est; nella fattispecie le zone sismiche "omogenee" individuate, sono quelle di seguito elencate:

Zona S1 : da pk 16+500 a pk 22+500 (Dugenta/Frasso – Amorosi)

Zona S2 : da pk 22+500 a pk 30+000 (Amorosi – Solopaca)

Zona S3 : da pk 30+000 a pk 46+577 (Solopaca-Ponte-Vitulano)

Per ciascuna zona, sono stati dunque individuati, in funzione del periodo di riferimento dell'azione sismica (VR), i parametri di pericolosità sismica (ag/g, F0 e Tc*) rappresentativi delle più severe condizioni di pericolosità riscontrabili lungo il tratto di riferimento, assumendo in particolare come riferimento le seguenti Località

Zona S1 : Amorosi (BN)

Zona S2 : Solopaca (BN)

Zona S3 : Ponte (BN)

| | | | | | | | | | | | | | |
|---|--|----------|------------|----------|-----------|------|--------|------|---------|----|------------|---|-----------|
|    | ITINERARIO NAPOLI – BARI RADDOPPIO TRATTA CANCELLO-BENEVENTO II LOTTO FUNZIONALE FRASSO TELESINO – VITULANO 1° LOTTO FUNZIONALE FRASSO TELESINO – TELESE PROGETTO ESECUTIVO | | | | | | | | | | | | |
| Spalle: Relazione di calcolo | <table border="1"> <tr> <td>COMMESSA</td> <td>LOTTO</td> <td>CODIFICA</td> <td>DOCUMENTO</td> <td>REV.</td> <td>FOGLIO</td> </tr> <tr> <td>IF26</td> <td>12 E ZZ</td> <td>CL</td> <td>VI0204 001</td> <td>A</td> <td>20 di 158</td> </tr> </table> | COMMESSA | LOTTO | CODIFICA | DOCUMENTO | REV. | FOGLIO | IF26 | 12 E ZZ | CL | VI0204 001 | A | 20 di 158 |
| COMMESSA | LOTTO | CODIFICA | DOCUMENTO | REV. | FOGLIO | | | | | | | | |
| IF26 | 12 E ZZ | CL | VI0204 001 | A | 20 di 158 | | | | | | | | |

Nei paragrafi seguenti è riportata la valutazione dei parametri di pericolosità sismica per ciascuna delle località di riferimento.

L'opera in esame ricade nella zona sismica denominata Zona S1

5.1 Vita Nominale e Classe d'uso dell'Opera

Per la valutazione dei parametri di pericolosità sismica è necessario definire, oltre alla localizzazione geografica del sito, la Vita nominale dell'opera strutturale (VN), intesa come il numero di anni nel quale la struttura, purchè soggetta alla manutenzione ordinaria, deve potere essere usata per lo scopo al quale è destinata, e la Classe d'Uso a cui è associato un coefficiente d'uso (CU)

La vita nominale delle infrastrutture ferroviarie può, di norma, assumersi come indicato nella seguente tabella.

| TIPI DI COSTRUZIONE | | Vita Nominale V _N [anni] |
|---------------------|---|--|
| 1 | Opere nuove su infrastrutture ferroviarie progettate con le norme vigenti prima del DM14/1/2008 a velocità convenzionale V<250 Km/h | 50 |
| 2 | Altre opere nuove a velocità V<250 Km/h | 75 |
| 3 | Altre opere nuove a velocità V>250 Km/h | 100 |
| 4 | Opere di grandi dimensioni: ponti e viadotti con campate di luce maggiore di 150 m | ≥100 |

Per l'opera in oggetto si considera una vita nominale VN = 75 anni (categoria 2)

Riguardo invece la Classe d'Uso, il Decreto Ministeriale del 14 gennaio 2008, individua le seguenti quattro categorie

- Classe I: costruzioni con presenza solo occasionale di persone, edifici agricoli.
- Classe II: costruzioni il cui uso preveda normali affollamenti, senza contenuti pericolosi per l'ambiente e senza funzioni pubbliche e sociali essenziali. Industrie con attività non pericolose per l'ambiente. Ponti, opere infrastrutturali, reti viarie non ricadenti in Classe III o in Classe IV, reti ferroviarie la cui interruzione non provochi situazioni di emergenza. Dighe il cui collasso non provochi conseguenze rilevanti.
- Classe III: costruzioni il cui uso preveda affollamenti significativi. Industrie con attività pericolose per l'ambiente. Reti viarie extraurbane non ricadenti in Classe IV. Ponti e reti ferroviarie la cui interruzione provochi situazioni di emergenza. Dighe rilevanti per le conseguenze di un loro eventuale collasso.

| | | | | | | |
|---|--|------------------|----------------|-------------------------|-----------|---------------------|
|  | ITINERARIO NAPOLI – BARI RADDOPPIO TRATTA CANCELLO-BENEVENTO II LOTTO FUNZIONALE FRASSO TELESINO – VITULANO 1° LOTTO FUNZIONALE FRASSO TELESINO – TELESE PROGETTO ESECUTIVO | | | | | |
| Spalle: Relazione di calcolo | COMMESSA IF26 | LOTTO 12 E ZZ | CODIFICA CL | DOCUMENTO VI0204 001 | REV. A | FOGLIO 21 di 158 |

- Classe IV: costruzioni con funzioni pubbliche o strategiche importanti, anche con riferimento alla gestione della protezione civile in caso di calamità. Industrie particolarmente pericolose per l'ambiente. Reti viarie di tipo A o B, di cui al D.M. 5 novembre 2001, n. 6792, "Norme funzionali e geometriche per la costruzione di strade", e di tipo quando appartenenti ad itinerari di collegamento tra capoluoghi di provincia non altresì serviti da strade di tipo A o B. Ponti o reti ferroviarie di importanza critica per il mantenimento delle vie di comunicazione, particolarmente dopo un evento sismico Dighe connesse al funzionamento di acquedotti e a impianti di produzione di energia elettrica.

All' opera in oggetto corrisponde pertanto una Classe III a cui è associato un coefficiente d'uso pari a (NTC – Tabella 2.4.II):

$$C_u = 1.5$$

I parametri di pericolosità sismica vengono quindi valutate in relazione ad un periodo di riferimento V_R che si ricava per ciascun tipo di costruzione, moltiplicando la vita nominale V_n per il coefficiente d'uso C_u , ovvero:

$$V_R = V_n \cdot C_u$$

Pertanto, per l'opera in oggetto, il periodo di riferimento è pari a $V_R = 75 \times 1.5 = 112.5$ anni.

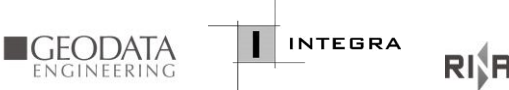
5.2 Parametri di pericolosità sismica

La valutazione dei parametri di pericolosità sismica, che ai sensi del D.M. 14-01-2008, costituiscono il dato base per la determinazione delle azioni sismiche di progetto su una costruzione (forme spettrali e/o forze inerziali) dipendono, come già in parte anticipato in precedenza, dalla localizzazione geografica del sito, dalle caratteristiche della costruzione (Periodo di riferimento per valutazione azione sismica / V_R) oltre che dallo Stato Limite di riferimento/Periodo di ritorno dell'azione sismica.

Il DM 14.01.08 definisce in particolare la pericolosità sismica di un sito attraverso i seguenti parametri::

- ag/g**: accelerazione orizzontale relativa massima al suolo, su sito di riferimento rigido;
- Fo**: valore massimo del fattore di amplificazione dello spettro in accelerazione orizzontale;
- T^{*}c**: periodo di inizio del tratto a velocità costante dello spettro in accelerazione orizzontale.

Per quanto detto al precedente paragrafo, risulta:

| | | | | | | | | | | | | | |
|---|--|----------|------------|----------|-----------|------|--------|------|---------|----|------------|---|-----------|
|  | ITINERARIO NAPOLI – BARI RADDOPPIO TRATTA CANCELLO-BENEVENTO II LOTTO FUNZIONALE FRASSO TELESINO – VITULANO 1° LOTTO FUNZIONALE FRASSO TELESINO – TELESE PROGETTO ESECUTIVO | | | | | | | | | | | | |
| Spalle: Relazione di calcolo | <table border="1"> <tr> <td>COMMESSA</td> <td>LOTTO</td> <td>CODIFICA</td> <td>DOCUMENTO</td> <td>REV.</td> <td>FOGLIO</td> </tr> <tr> <td>IF26</td> <td>12 E ZZ</td> <td>CL</td> <td>VI0204 001</td> <td>A</td> <td>22 di 158</td> </tr> </table> | COMMESSA | LOTTO | CODIFICA | DOCUMENTO | REV. | FOGLIO | IF26 | 12 E ZZ | CL | VI0204 001 | A | 22 di 158 |
| COMMESSA | LOTTO | CODIFICA | DOCUMENTO | REV. | FOGLIO | | | | | | | | |
| IF26 | 12 E ZZ | CL | VI0204 001 | A | 22 di 158 | | | | | | | | |

Localizzazione Geografica : Amorosi (BN), Solopaca (BN), Ponte (BN)

Periodo di riferimento Azione sismica $V_R = 112.5$ anni,

Riguardo, infine gli stati limite di verifica/periodo di ritorno dell'azione sismica, la normativa individua in particolare 4 situazioni tipiche riferendosi alle prestazioni che la costruzione nel suo complesso deve poter espletare, riferendosi sia agli elementi strutturali, che a quelli non strutturali / impianti, come di seguito descritto:

- **Stato Limite di Operatività (SLO):** a seguito del terremoto la costruzione nel suo complesso, includendo gli elementi strutturali, quelli non strutturali, le apparecchiature rilevanti alla sua funzione, non deve subire danni ed interruzioni d'uso significativi;
- **Stato Limite di Danno (SLD):** a seguito del terremoto la costruzione nel suo complesso, includendo gli elementi strutturali, quelli non strutturali, le apparecchiature rilevanti alla sua funzione, subisce danni tali da non mettere a rischio gli utenti e da non compromettere la capacità di resistenza e di rigidezza nei confronti delle azioni verticali ed orizzontali, mantenendosi immediatamente utilizzabile all'interruzione d'uso di parte delle apparecchiature.
- **Stato Limite di salvaguardia della Vita (SLV):** a seguito del terremoto la costruzione subisce rotture o crolli dei componenti non strutturali ed impiantistici e significativi danni dei componenti strutturali cui si associa una perdita significativa di rigidezza nei confronti delle azioni orizzontali; la costruzione invece conserva una parte della resistenza e della rigidezza per azioni verticali e un margine di sicurezza nei confronti del collasso per azioni sismiche
- **Stato Limite di prevenzione del Collasso (SLC):** a seguito del terremoto la costruzione subisce gravi rotture e crolli dei componenti non strutturali ed impiantistici e danni molto gravi dei componenti strutturali; la costruzione conserva ancora un margine di sicurezza per azioni verticali ed un esiguo margine di sicurezza nei confronti del collasso per azioni orizzontali.

A ciascuno stato limite di verifica è quindi associata una probabilità di superamento P_{VR} nel periodo di riferimento V_R , secondo quanto indicato nel seguito:

| Stati Limite | | P_{VR} : Probabilità di superamento nel periodo di riferimento V_R |
|---------------------------|-----|--|
| Stati limite di esercizio | SLO | 81% |
| | SLD | 63% |
| Stati limite ultimi | SLV | 10% |
| | SLC | 5% |

Tab. 3.2.1 DM 14.01.08

| | | | | | | | | | | | | | |
|---|--|----------|------------|----------|-----------|------|--------|------|---------|----|------------|---|-----------|
|    | <p>ITINERARIO NAPOLI – BARI RADDOPPIO TRATTA CANCELLO-BENEVENTO II LOTTO FUNZIONALE FRASSO TELESINO – VITULANO 1° LOTTO FUNZIONALE FRASSO TELESINO – TELESE</p> <p>PROGETTO ESECUTIVO</p> | | | | | | | | | | | | |
| <p>Spalle: Relazione di calcolo</p> | <table border="1"> <tr> <td>COMMESSA</td> <td>LOTTO</td> <td>CODIFICA</td> <td>DOCUMENTO</td> <td>REV.</td> <td>FOGLIO</td> </tr> <tr> <td>IF26</td> <td>12 E ZZ</td> <td>CL</td> <td>VI0204 001</td> <td>A</td> <td>23 di 158</td> </tr> </table> | COMMESSA | LOTTO | CODIFICA | DOCUMENTO | REV. | FOGLIO | IF26 | 12 E ZZ | CL | VI0204 001 | A | 23 di 158 |
| COMMESSA | LOTTO | CODIFICA | DOCUMENTO | REV. | FOGLIO | | | | | | | | |
| IF26 | 12 E ZZ | CL | VI0204 001 | A | 23 di 158 | | | | | | | | |

A ciascuna probabilità di superamento P_{VR} è quindi associato un Periodo di Ritorno dell'azione sismica T_R , valutabile attraverso la seguente relazione:

$$T_R = - V_R / \ln(1-P_{VR}) \quad (\text{periodo di ritorno dell'azione sismica})$$

Nel caso in esame risulta dunque, con riferimento ai diversi stati limite :

| SLATO LIMITE | T_R [anni] |
|--------------|-----------------|
| SLO | 68 |
| SLD | 113 |
| SLV | 1068 |
| SLC | 2193 |

| | | | | | | | | | | | | | |
|---|--|----------|------------|----------|-----------|------|--------|------|---------|----|------------|---|-----------|
|    | ITINERARIO NAPOLI – BARI RADDOPPIO TRATTA CANCELLO-BENEVENTO II LOTTO FUNZIONALE FRASSO TELESINO – VITULANO 1° LOTTO FUNZIONALE FRASSO TELESINO – TELESE PROGETTO ESECUTIVO | | | | | | | | | | | | |
| Spalle: Relazione di calcolo | <table border="1"> <tr> <td>COMMESSA</td> <td>LOTTO</td> <td>CODIFICA</td> <td>DOCUMENTO</td> <td>REV.</td> <td>FOGLIO</td> </tr> <tr> <td>IF26</td> <td>12 E ZZ</td> <td>CL</td> <td>VI0204 001</td> <td>A</td> <td>24 di 158</td> </tr> </table> | COMMESSA | LOTTO | CODIFICA | DOCUMENTO | REV. | FOGLIO | IF26 | 12 E ZZ | CL | VI0204 001 | A | 24 di 158 |
| COMMESSA | LOTTO | CODIFICA | DOCUMENTO | REV. | FOGLIO | | | | | | | | |
| IF26 | 12 E ZZ | CL | VI0204 001 | A | 24 di 158 | | | | | | | | |

Zona S1 da pk 16+500 a pk 22+500 (Dugenta/Frasso – Amorosi)

Di seguito si riportano i parametri di pericolosità sismica da assumere come riferimento per la determinazione delle Azioni sismiche di progetto per opere ricadenti nella parte di tracciato dell'infrastruttura individuata come zona S1:

Località : Amorosi (BN)

Località

Comune:

Provincia:

Regione:

Latitudine:

Longitudine:

VR = 112.5 anni

Sulla scorta di quanto riportato in Allegato A delle Norme Tecniche per le costruzioni DM 14.01.08, si ottiene:

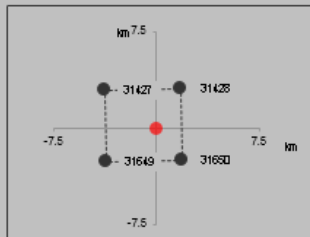
Ricerca per comune

 REGIONE:
 PROVINCIA:
 COMUNE:

Elaborazioni grafiche
 Grafici spettri di risposta
 Variabilità dei parametri

Elaborazioni numeriche
 Tabella parametri

Nodi del reticolo intorno al sito



6 Reticolo di riferimento: 0

4: 4

7: 1

Controllo sul reticolo

Sito esterno al reticolo

Interpolazione s13 nodi

Interpolazione corretta

Interpolazione



le
er
he
le
re
lle
di,

| SLATO LIMITE | T_R [anni] | a_g [g] | F_o [-] | T_C^* [s] |
|--------------|-----------------|--------------|--------------|----------------|
| SLO | 68 | 0.078 | 2.428 | 0.324 |
| SLD | 113 | 0.099 | 2.440 | 0.340 |
| SLV | 1068 | 0.273 | 2.352 | 0.419 |
| SLC | 2193 | 0.357 | 2.394 | 0.433 |

Tabella di riepilogo Parametri di pericolosità sismica zona S1

Zona S2 da pk 22+500 a pk 30+000 (Amorosi – Solopaca)

| | | | | | | |
|---|--|------------------|------------------|----------------|-------------------------|-----------|
|    | ITINERARIO NAPOLI – BARI RADDOPPIO TRATTA CANCELLO-BENEVENTO II LOTTO FUNZIONALE FRASSO TELESINO – VITULANO 1° LOTTO FUNZIONALE FRASSO TELESINO – TELESE PROGETTO ESECUTIVO | | | | | |
| | Spalle: Relazione di calcolo | COMMESSA IF26 | LOTTO 12 E ZZ | CODIFICA CL | DOCUMENTO VI0204 001 | REV. A |

Di seguito si riportano i parametri di pericolosità sismica da assumere come riferimento per la determinazione delle Azioni sismiche di progetto per opere ricadenti nella parte di tracciato dell'infrastruttura individuata come zona S2:

Località : Solopaca (BN)

| | |
|-----------------|------------|
| Località | |
| Comune | Solopaca |
| Provincia | Benevento |
| Regione | Campania |
| Latitudine | 41,1937370 |
| Longitudine | 14,5550380 |

$V_R = 112.5$ anni

Sulla scorta di quanto riportato in Allegato A delle Norme Tecniche per le costruzioni DM 14.01.08, si ottiene:



| SLATO LIMITE | T_R [anni] | a_g [g] | F_0 [-] | T_C^* [s] |
|--------------|-----------------|--------------|--------------|----------------|
| SLO | 68 | 0.088 | 2.368 | 0.316 |
| SLD | 113 | 0.113 | 2.377 | 0.331 |
| SLV | 1068 | 0.322 | 2.346 | 0.401 |
| SLC | 2193 | 0.419 | 2.430 | 0.425 |

Tabella di riepilogo Parametri di pericolosità sismica zona S2

Zona S3 da pk 30+000 a pk 46+577 (Solopaca-Ponte-Vitulano)

| | | | | | | |
|---|--|------------------|------------------|----------------|-------------------------|-----------|
|    | ITINERARIO NAPOLI – BARI RADDOPPIO TRATTA CANCELLO-BENEVENTO II LOTTO FUNZIONALE FRASSO TELESINO – VITULANO 1° LOTTO FUNZIONALE FRASSO TELESINO – TELESE PROGETTO ESECUTIVO | | | | | |
| | Spalle: Relazione di calcolo | COMMESSA IF26 | LOTTO 12 E ZZ | CODIFICA CL | DOCUMENTO VI0204 001 | REV. A |

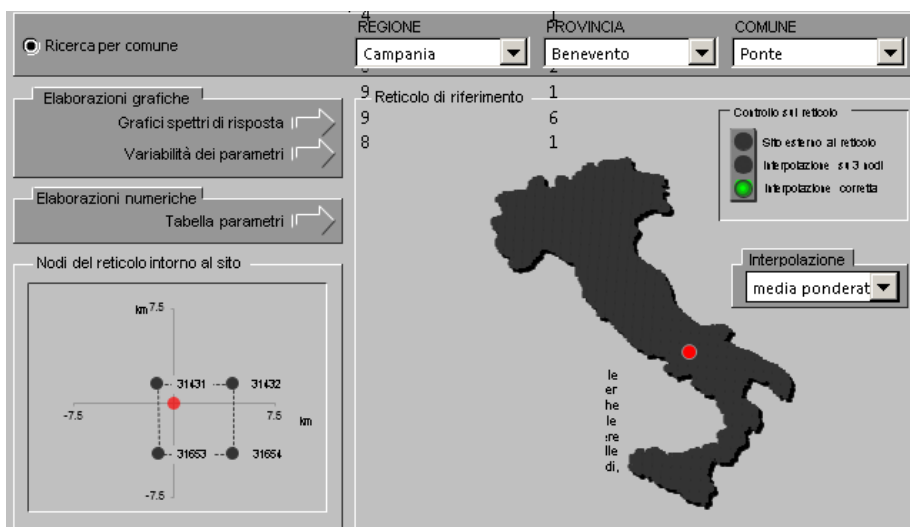
Di seguito si riportano i parametri di pericolosità sismica da assumere come riferimento per la determinazione delle Azioni sismiche di progetto per opere ricadenti nella parte di tracciato dell'infrastruttura individuata come zona **S2**:

Località : Ponte (BN)

| | |
|-----------------|------------|
| Località | |
| Comune | Ponte |
| Provincia | Benevento |
| Regione | Campania |
| Latitudine | 41,2139730 |
| Longitudine | 14,6935400 |

$V_R = 112.5$ anni

Sulla scorta di quanto riportato in Allegato A delle Norme Tecniche per le costruzioni DM 14.01.08, si ottiene:



| SLATO LIMITE | T_R [anni] | a_g [g] | F_o [-] | T_c^* [s] |
|--------------|-----------------|--------------|--------------|----------------|
| SLO | 68 | 0.097 | 2.343 | 0.310 |
| SLD | 113 | 0.127 | 2.332 | 0.326 |
| SLV | 1068 | 0.367 | 2.346 | 0.395 |
| SLC | 2193 | 0.473 | 2.445 | 0.427 |

Tabella di riepilogo Parametri di pericolosità sismica zona S3

L'opera in esame ricade nella zona sismica denominata S1.

| | | | | | | |
|---|--|-------------------------|-------------------------|-----------------------|--------------------------------|------------------|
|    | ITINERARIO NAPOLI – BARI RADDOPPIO TRATTA CANCELLO-BENEVENTO II LOTTO FUNZIONALE FRASSO TELESINO – VITULANO 1° LOTTO FUNZIONALE FRASSO TELESINO – TELESE PROGETTO ESECUTIVO | | | | | |
| | Spalle: Relazione di calcolo | COMMESSA IF26 | LOTTO 12 E ZZ | CODIFICA CL | DOCUMENTO VI0204 001 | REV. A |

5.3 Categoria di sottosuolo e categoria topografica

Le Categoria di Sottosuolo e le Condizioni Topografiche sono valutate come descritte al punto 3.2.2 del DM 14.01.08, ovvero:

Tabella 3.2.II – Categorie di sottosuolo

| Categoria | Descrizione |
|-----------|--|
| A | <i>Ammassi rocciosi affioranti o terreni molto rigidi</i> caratterizzati da valori di $V_{s,30}$ superiori a 800 m/s, eventualmente comprendenti in superficie uno strato di alterazione, con spessore massimo pari a 3 m. |
| B | <i>Rocce tenere e depositi di terreni a grana grossa molto addensati o terreni a grana fina molto consistenti</i> con spessori superiori a 30 m, caratterizzati da un graduale miglioramento delle proprietà meccaniche con la profondità e da valori di $V_{s,30}$ compresi tra 360 m/s e 800 m/s (ovvero $N_{SPT,30} > 50$ nei terreni a grana grossa e $c_{u,30} > 250$ kPa nei terreni a grana fina). |
| C | <i>Depositi di terreni a grana grossa mediamente addensati o terreni a grana fina mediamente consistenti</i> con spessori superiori a 30 m, caratterizzati da un graduale miglioramento delle proprietà meccaniche con la profondità e da valori di $V_{s,30}$ compresi tra 180 m/s e 360 m/s (ovvero $15 < N_{SPT,30} < 50$ nei terreni a grana grossa e $70 < c_{u,30} < 250$ kPa nei terreni a grana fina). |
| D | <i>Depositi di terreni a grana grossa scarsamente addensati o di terreni a grana fina scarsamente consistenti</i> , con spessori superiori a 30 m, caratterizzati da un graduale miglioramento delle proprietà meccaniche con la profondità e da valori di $V_{s,30}$ inferiori a 180 m/s (ovvero $N_{SPT,30} < 15$ nei terreni a grana grossa e $c_{u,30} < 70$ kPa nei terreni a grana fina). |
| E | <i>Terreni dei sottosuoli di tipo C o D per spessore non superiore a 20 m</i> , posti sul substrato di riferimento (con $V_s > 800$ m/s). |

Tabella 3.2.III – Categorie aggiuntive di sottosuolo.

| Categoria | Descrizione |
|-----------|---|
| S1 | Depositi di terreni caratterizzati da valori di $V_{s,30}$ inferiori a 100 m/s (ovvero $10 < c_{u,30} < 20$ kPa), che includono uno strato di almeno 8 m di terreni a grana fina di bassa consistenza, oppure che includono almeno 3 m di torba o di argille altamente organiche. |
| S2 | Depositi di terreni suscettibili di liquefazione, di argille sensitive o qualsiasi altra categoria di sottosuolo non classificabile nei tipi precedenti. |

Tabella 3.2.IV – Categorie topografiche

| Categoria | Caratteristiche della superficie topografica |
|-----------|---|
| T1 | Superficie pianeggiante, pendii e rilievi isolati con inclinazione media $i \leq 15^\circ$ |
| T2 | Pendii con inclinazione media $i > 15^\circ$ |
| T3 | Rilievi con larghezza in cresta molto minore che alla base e inclinazione media $15^\circ \leq i \leq 30^\circ$ |
| T4 | Rilievi con larghezza in cresta molto minore che alla base e inclinazione media $i > 30^\circ$ |

Tabella di riepilogo Categoria di Sottosuolo e Topografiche DM 14.01.08

Note la Categoria di Sottosuolo e le Condizioni Topografiche, la costruzione degli spettri passa infine attraverso la definizione dei coefficienti di Amplificazione Stratigrafica (S_s e C_c) e Topografica (S_T), mediante le indicazioni di cui alle tab 3.2.V e 3.2.VI del DM 14.01.08, che si ripropongono nel seguito per chiarezza espositiva:

Spalle: Relazione di calcolo

| COMMESSA | LOTTO | CODIFICA | DOCUMENTO | REV. | FOGLIO |
|----------|---------|----------|------------|------|-----------|
| IF26 | 12 E ZZ | CL | VI0204 001 | A | 28 di 158 |

Tabella 3.2.V – Espressioni di S_S e di C_C

| Categoria sottosuolo | S_S | C_C |
|----------------------|---|------------------------------|
| A | 1,00 | 1,00 |
| B | $1,00 \leq 1,40 - 0,40 \cdot F_o \cdot \frac{a_g}{g} \leq 1,20$ | $1,10 \cdot (T_C^*)^{-0,20}$ |
| C | $1,00 \leq 1,70 - 0,60 \cdot F_o \cdot \frac{a_g}{g} \leq 1,50$ | $1,05 \cdot (T_C^*)^{-0,33}$ |
| D | $0,90 \leq 2,40 - 1,50 \cdot F_o \cdot \frac{a_g}{g} \leq 1,80$ | $1,25 \cdot (T_C^*)^{-0,50}$ |
| E | $1,00 \leq 2,00 - 1,10 \cdot F_o \cdot \frac{a_g}{g} \leq 1,60$ | $1,15 \cdot (T_C^*)^{-0,40}$ |

Tabella 3.2.VI – Valori massimi del coefficiente di amplificazione topografica S_T

| Categoria topografica | Ubicazione dell'opera o dell'intervento | S_T |
|-----------------------|--|-------|
| T1 | - | 1,0 |
| T2 | In corrispondenza della sommità del pendio | 1,2 |
| T3 | In corrispondenza della cresta del rilievo | 1,2 |
| T4 | In corrispondenza della cresta del rilievo | 1,4 |

Per il caso in esame, come riportato all'interno della relazione geotecnica e di calcolo del lotto in esame (lotto1) (cod. elaborato IF0H02D 11CLGE0001004A), risulta una categoria di sottosuolo di tipo B e una classe Topografica T1.

Spalle: Relazione di calcolo

| | | | | | |
|----------|---------|----------|------------|------|-----------|
| COMMESSA | LOTTO | CODIFICA | DOCUMENTO | REV. | FOGLIO |
| IF26 | 12 E ZZ | CL | VI0204 001 | A | 29 di 158 |

6. ANALISI DEI CARICHI

6.1 Carichi provenienti dall'impalcato

6.1.1 Pesi permanenti strutturali e non strutturali

G1 (Permanenti strutturali)

| | | | | | |
|--------------------|--------------|-------------------|---|-----------|---------------------------|
| Impalcato : | | | | | |
| $\gamma_{ca} =$ | 25 | KN/m ³ | | | |
| $\gamma_{tr} =$ | 4.33 | KN/m | (Peso a metro 1 travi HE1100M) | | |
| $A_{ca} =$ | 14.3 | m ² | (Area impalcato) | | |
| $A_{tr} =$ | 0.06 | m ² | (Area travi) | | |
| $n_{travi} =$ | 18 | m ³ | (n° totale travi) | | |
| $A_{ca,netta} =$ | 13.22 | m ² | (Area impalcato al netto delle travi) | | |
| Tot G1 = | 408.4 | KN/m | (peso complessivo struttura impalcato per metro in direzione longitudinale) | | |
| N | ML | MT | TL | TT | |
| [kN] | [kNm] | [kNm] | [kN] | [kN] | |
| 4492.84 | 0 | 0 | 0 | 0 | Scarichi su spalla mobile |
| 4492.84 | 0 | 0 | 0 | 0 | Scarichi su spalla fissa |

G2 (Permanenti non strutturali)

| | | | | | |
|--|--------------|-------------------|--|--|--|
| Ballast/Armamento | | | | | |
| $\gamma_{armam} =$ | 18 | KN/m ³ | | | |
| $L =$ | 8.20 | m | (lunghezza complessiva trasversale) | | |
| $s =$ | 0.80 | m | (spessore) | | |
| G2a = | 118.1 | KN/m | (peso complessivo armamento a metro lineare in direzione longitudinale) | | |
| Impermeabilizzazione e Massetto di protezione | | | | | |
| $\gamma_{mass} =$ | 21 | KN/m ³ | | | |
| $L =$ | 11.70 | m | (lunghezza complessiva trasversale) | | |
| $s =$ | 0.05 | m | (spessore) | | |
| G2b = | 12.3 | KN/m | (peso complessivo armamento a metro lineare in direzione longitudinale) | | |
| Canalette portacavi | | | | | |
| G2c = | 5.0 | KN/m | (peso complessivo canalette portacavi(n°2) a metro lineare in direzione longitudinale) | | |
| Velette in c.a. a margine impalcato | | | | | |
| G2d = | 3.0 | KN/m | (peso complessivo velette a margine impalcato per metro lineare in direzione longitudinale.) | | |

Spalle: Relazione di calcolo

| | | | | | |
|----------|---------|----------|------------|------|-----------|
| COMMESSA | LOTTO | CODIFICA | DOCUMENTO | REV. | FOGLIO |
| IF26 | 12 E ZZ | CL | VI0204 001 | A | 30 di 158 |

Barriere Antirumore

Si fa riferimento cautelativamente al caso di doppia barriera, anche se non contemplato attualmente dal progetto, in previsione di eventuali future integrazioni degli interventi di mitigazione acustica

$p_{barr} = 4,0$ KN/m² (peso barriera a metro quadro)

$hb = 5,05$ m (Barriera H4)

$nb = 2$ (n° barriere previste)

$G2e = 40,4$ KN/m (peso complessivo barriere antirumore a metro lineare in direzione longitudinale.)

tot.G2 = 178,8 KN/m (Carico permanente complessivo non strutturale per metro in direzione longitudinale)

| N | ML | MT | TL | TT |
|---------|-------|-------|------|------|
| [kN] | [kNm] | [kNm] | [kN] | [kN] |
| 1966,68 | 0 | 0 | 0 | 0 |
| 1966,68 | 0 | 0 | 0 | 0 |

Scarichi su spalla mobile

Scarichi su spalla fissa

Ai fini della valutazione delle azioni agenti sugli elementi strutturali costituenti la spalla vengono inoltre considerati il peso proprio della spalla (calcolato considerando un peso specifico del calcestruzzo di 25 kN/m³) e il peso del terreno compreso tra i muri andatori.

| | | | | | | |
|---|--|-------------------------|-------------------------|-----------------------|--------------------------------|------------------|
|    | ITINERARIO NAPOLI – BARI RADDOPPIO TRATTA CANCELLO-BENEVENTO II LOTTO FUNZIONALE FRASSO TELESINO – VITULANO 1° LOTTO FUNZIONALE FRASSO TELESINO – TELESE PROGETTO ESECUTIVO | | | | | |
| | Spalle: Relazione di calcolo | COMMESSA IF26 | LOTTO 12 E ZZ | CODIFICA CL | DOCUMENTO VI0204 001 | REV. A |

6.1.2 Carichi variabili sui marciapiedi

$L_m = 1,75$ m (larghezza trasversale singolo marciapiede)
 $q_{13} = 10,00$ KN/m² (carico variabile per unità di superficie zona marciapiedi)

$tot.Q_m 1 = 17,5$ KN/m (carico variabile sui marciapiedi per metro lineare longitudinale 1 marciapiede carico)
 $et(m) = 5,20$ m eccentricità trasversale di calcolo

Qm1 (1 Marciapiedi carico)

| N | ML | MT | TL | TT | |
|--------|-------|--------|------|------|---------------------------|
| [kN] | [kNm] | [kNm] | [kN] | [kN] | |
| 192,50 | 0,0 | 1001,0 | 0,0 | 0,0 | Scarichi su spalla mobile |
| 192,50 | 0,0 | 1001,0 | 0,0 | 0,0 | Scarichi su spalla fissa |

$tot.Q_m 2 = 35,0$ KN/m (carico variabile sui marciapiedi per metro lineare longitudinale 2 marciapiedi carichi)
 $et(m) = 0,10$ m eccentricità trasversale di calcolo

Qm2 (2 Marciapiedi carichi)

| N | ML | MT | TL | TT | |
|--------|-------|-------|------|------|---------------------------|
| [kN] | [kNm] | [kNm] | [kN] | [kN] | |
| 385,00 | 0,0 | 38,5 | 0,0 | 0,0 | Scarichi su spalla mobile |
| 385,00 | 0,0 | 38,5 | 0,0 | 0,0 | Scarichi su spalla fissa |

6.1.3 Carichi variabili da traffico

6.1.3.1 Azioni da traffico ferroviario

Per la valutazione delle azioni da traffico ferroviario trasmesse dall'impalcato alle spalle si è fatto riferimento ai modelli di carico previsti dalle norme.

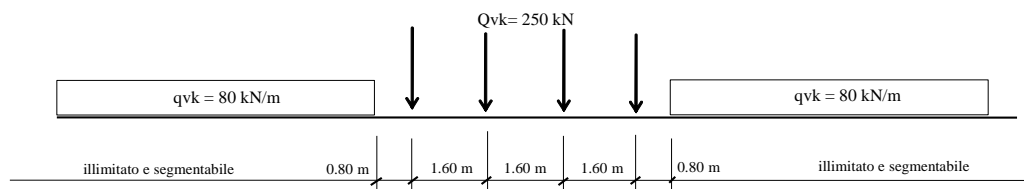
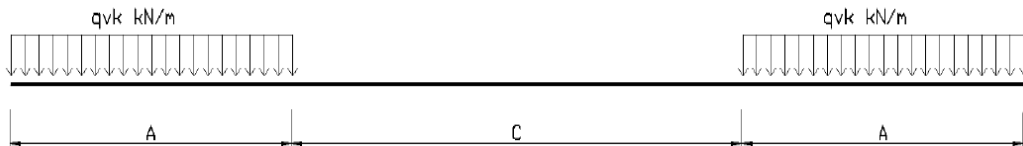


Figura 4 – Modello di carico LM71

Spalle: Relazione di calcolo

| | | | | | |
|----------|---------|----------|------------|------|-----------|
| COMMESSA | LOTTO | CODIFICA | DOCUMENTO | REV. | FOGLIO |
| IF26 | 12 E ZZ | CL | VI0204 001 | A | 32 di 158 |



| Tipo di carico | Q_{vk} [kN/m] | A [m] | C [m] |
|----------------|--------------------|----------|----------|
| SW/0 | 133 | 15,00 | 5,30 |
| SW/2 | 150 | 25,00 | 7,00 |

Tab. 5.2.I. caratteristiche treni di carico SW

Figura 5 – Modello di carico SW

In particolare si sono considerati i carichi equivalenti (taglianti e flettenti) previsti dalle norme ferroviarie RFI DTC SI PS MA IFS 001 A in funzione della luce di impalcato netta. Tali carichi sono comprensivi del coefficiente di adattamento α .

LM71X1,1

| | | |
|-------------------------------|-------|------|
| Carico Equivalente Tagliante: | 140,6 | KN/m |
| Carico Equivalente flettente: | 132,7 | KN/m |

SW0X1,1

| | | |
|-------------------------------|-------|------|
| Carico Equivalente Tagliante: | 135,0 | KN/m |
| Carico Equivalente flettente: | 134,1 | KN/m |

SW2X1,0

| | | |
|-------------------------------|-------|------|
| Carico Equivalente Tagliante: | 153,0 | KN/m |
| Carico Equivalente flettente: | 153,0 | KN/m |

tot.Q1,1a =

| |
|-------|
| 140,6 |
|-------|

 KN/m
et(m) =

| |
|------|
| 2,08 |
|------|

 m (Condizione 1 binari carichi con LM71) (eccentricità trasversale rispetto al baricentro impalcato 2000+1435/18)

tot.Q1,1b =

| |
|-------|
| 153,0 |
|-------|

 KN/m
et(m) =

| |
|------|
| 2,08 |
|------|

 m (Condizione 1 binari carichi con sw2) (eccentricità trasversale rispetto al baricentro impalcato 2000+1435/18)

tot.Q1,2a =

| |
|-------|
| 281,2 |
|-------|

 KN/m
et(m) =

| |
|------|
| 0,08 |
|------|

 m (Condizione 2 binari carichi con LM71) (eccentricità trasversale rispetto al baricentro impalcato 1435/18)

tot.Q1,2b =

| |
|-------|
| 293,6 |
|-------|

 KN/m
et(m) =

| |
|------|
| 0,08 |
|------|

 m (Condizione 1 binario carico con LM71+1 binario con SW2- gruppo carico 1/3) (eccentricità trasversale rispetto al baricentro impalcato 1,435/18)

|    | ITINERARIO NAPOLI – BARI RADDOPPIO TRATTA CANCELLO-BENEVENTO II LOTTO FUNZIONALE FRASSO TELESINO – VITULANO 1° LOTTO FUNZIONALE FRASSO TELESINO – TELESE PROGETTO ESECUTIVO | | | | | | | | | | | | |
|---|--|----------|------------|----------|-----------|------|--------|------|---------|----|------------|---|-----------|
| Spalle: Relazione di calcolo | <table border="1"> <thead> <tr> <th>COMMESSA</th> <th>LOTTO</th> <th>CODIFICA</th> <th>DOCUMENTO</th> <th>REV.</th> <th>FOGLIO</th> </tr> </thead> <tbody> <tr> <td>IF26</td> <td>12 E ZZ</td> <td>CL</td> <td>VI0204 001</td> <td>A</td> <td>33 di 158</td> </tr> </tbody> </table> | COMMESSA | LOTTO | CODIFICA | DOCUMENTO | REV. | FOGLIO | IF26 | 12 E ZZ | CL | VI0204 001 | A | 33 di 158 |
| COMMESSA | LOTTO | CODIFICA | DOCUMENTO | REV. | FOGLIO | | | | | | | | |
| IF26 | 12 E ZZ | CL | VI0204 001 | A | 33 di 158 | | | | | | | | |

6.1.3.2 Incremento dinamico

Trattandosi di Viadotto con velocità di percorrenza non superiore a 160 Km/h con frequenza propria della struttura ricadente all'interno del prospetto indicato in figura 5.2.7 del D.M. 14/01/2008, si utilizzano i valori dei coefficienti dinamici definiti al paragrafo 5.2.2.3.3 D.M. 14/01/2008 per linee con ridotto standard manutentivo.

La lunghezza caratteristica L_{ϕ} per questa tipologia di impalcato è proprio pari alla luce di progetto del ponte. Quindi considerando una linea con normale standard manutentivo, il coefficiente di incremento dinamico si calcola secondo l'espressione:

$$\Phi_3 = \frac{2,16}{\sqrt{L_{\phi} - 0,2}} + 0,73 \quad \text{con la limitazione } 1,00 \leq \Phi_3 \leq 2,00$$

quindi:

- Coefficiente dinamico per impalcato di luce $L=22.0\text{m}$: $\varphi_3 = 1.22$

In definitiva gli scarichi sulle sottostrutture sono pari a:

- Impalcato di luce $L=22.0\text{m}$

Spalle: Relazione di calcolo

| | | | | | |
|----------|---------|----------|------------|------|-----------|
| COMMESSA | LOTTO | CODIFICA | DOCUMENTO | REV. | FOGLIO |
| IF26 | 12 E ZZ | CL | VI0204 001 | A | 34 di 158 |

$$Q1,1a \times \Phi 3 = 171,8 \text{ KN/m}$$

$$et1(m) = 2,08 \text{ m}$$

Q1,1a (1 LM71)

| N | ML | MT | TL | TT |
|---------|-------|---------|------|------|
| [kN] | [kNm] | [kNm] | [kN] | [kN] |
| 1889,39 | 0 | 3929,92 | 0 | 0 |
| 1889,39 | 0 | 3929,92 | 0 | 0 |

Scarichi su spalla mobile

Scarichi su spalla fissa

$$Q1,1b \times \Phi 3 = 186,9 \text{ KN/m}$$

$$et1(m) = 2,08 \text{ m}$$

Q1,1b (1 sw2)

| N | ML | MT | TL | TT |
|---------|-------|---------|------|------|
| [kN] | [kNm] | [kNm] | [kN] | [kN] |
| 2056,02 | 0 | 4276,52 | 0 | 0 |
| 2056,02 | 0 | 4276,52 | 0 | 0 |

Scarichi su spalla mobile

Scarichi su spalla fissa

$$Q1,2a \times \Phi 3 = 343,52$$

$$et2(m) = 0,08 \text{ m}$$

Q1,2a (2 LM71)

| N | ML | MT | TL | TT |
|---------|-------|--------|------|------|
| [kN] | [kNm] | [kNm] | [kN] | [kN] |
| 3778,77 | 0 | 302,30 | 0 | 0 |
| 3778,77 | 0 | 302,30 | 0 | 0 |

Scarichi su spalla mobile

Scarichi su spalla fissa

$$Q1,2b \times \Phi 3 = 358,7 \text{ KN/m}$$

$$et(m) = 0,08 \text{ m}$$

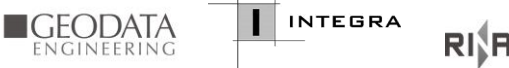
Eccentricità LM71 (rispetto asse binario)

Q1,2b (1 LM71 + 1 SW2)

| N | ML | MT | TL | TT |
|---------|-------|--------|------|------|
| [kN] | [kNm] | [kNm] | [kN] | [kN] |
| 3945,40 | 0 | 315,63 | 0 | 0 |
| 3945,40 | 0 | 315,63 | 0 | 0 |

Scarichi su spalla mobile

Scarichi su spalla fissa

|  | ITINERARIO NAPOLI – BARI RADDOPPIO TRATTA CANCELLO-BENEVENTO II LOTTO FUNZIONALE FRASSO TELESINO – VITULANO 1° LOTTO FUNZIONALE FRASSO TELESINO – TELESE PROGETTO ESECUTIVO | | | | | | | | | | | | |
|---|--|----------|------------|----------|-----------|------|--------|------|---------|----|------------|---|-----------|
| Spalle: Relazione di calcolo | <table border="1"> <thead> <tr> <th>COMMESSA</th> <th>LOTTO</th> <th>CODIFICA</th> <th>DOCUMENTO</th> <th>REV.</th> <th>FOGLIO</th> </tr> </thead> <tbody> <tr> <td>IF26</td> <td>12 E ZZ</td> <td>CL</td> <td>VI0204 001</td> <td>A</td> <td>35 di 158</td> </tr> </tbody> </table> | COMMESSA | LOTTO | CODIFICA | DOCUMENTO | REV. | FOGLIO | IF26 | 12 E ZZ | CL | VI0204 001 | A | 35 di 158 |
| COMMESSA | LOTTO | CODIFICA | DOCUMENTO | REV. | FOGLIO | | | | | | | | |
| IF26 | 12 E ZZ | CL | VI0204 001 | A | 35 di 158 | | | | | | | | |

6.1.3.3 Contemporaneità dei treni sui binari

La contemporaneità dei treni sui due binari, è stata considerata con riferimento alla condizione di traffico pesante. Come si vedrà in seguito, sono state considerate combinazioni di carico che prevedono anche solo un binario carico, ai fini di massimizzare il momento in direzione trasversale agente in testa alle sottostrutture.

6.1.4 Azioni orizzontali da avviamento / frenatura

I valori caratteristici da considerare, da moltiplicare per i coefficienti di adattamento α , sono:

Avviamento:

$$Q_{1a,k} = 33 \text{ [kN/m]} \times L \text{ [m]} \leq 1000 \text{ KN} \quad \text{per modelli di carico LM71, SW/0, SW/2}$$

Frenatura:

$$Q_{1b,k} = 20 \text{ [kN/m]} \times L \text{ [m]} \leq 6000 \text{ KN} \quad \text{per modelli di carico LM71, SW/0}$$

$$Q_{1b,k} = 35 \text{ [kN/m]} \times L \text{ [m]} \quad \text{per modelli di carico SW/2}$$

Nel caso di ponti a doppio binario si devono considerare due treni in transito in versi opposti, uno in fase di avviamento, l'altro in fase di frenatura.

6.1.5 Forza centrifuga

Le forze centrifughe sono state calcolate con $f = 1$ dato che la velocità di progetto pari 100km/h è inferiore a 120km/h.

$$Q_{tk} = \frac{v^2}{g \cdot r} (f \cdot Q_{vk}) = \frac{V^2}{127 \cdot r} (f \cdot Q_{vk}) \quad (5.2.9.a)$$

$$q_{tk} = \frac{v^2}{g \cdot r} (f \cdot q_{vk}) = \frac{V^2}{127 \cdot r} (f \cdot q_{vk}) \quad (5.2.9.b)$$

Si distinguono i carichi per LM71 e SW2, calcolati in funzione dei carichi equivalenti flettente e tagliante. Nel caso in esame l'azione centrifuga è nulla in quanto il viadotto si sviluppa in rettilineo.

| | | | | | | |
|---|--|------------------|------------------|----------------|-------------------------|-----------|
|    | ITINERARIO NAPOLI – BARI RADDOPPIO TRATTA CANCELLO-BENEVENTO II LOTTO FUNZIONALE FRASSO TELESINO – VITULANO 1° LOTTO FUNZIONALE FRASSO TELESINO – TELESE PROGETTO ESECUTIVO | | | | | |
| | Spalle: Relazione di calcolo | COMMESSA IF26 | LOTTO 12 E ZZ | CODIFICA CL | DOCUMENTO VI0204 001 | REV. A |

6.1.6 Serpeggio

L'azione laterale associata al serpeggio è definita al par. 1.4.3.2 delle Istruzioni per la progettazione e l'esecuzione dei ponti ferroviari, che riprende il par. 5.2.2.4.2 del DM 14.1.2008, ed equivale ad una forza concentrata agente orizzontalmente, applicata alla sommità della rotaia più alta, perpendicolarmente all'asse del binario, del valore di 100 kN. Tale valore deve essere moltiplicato per il coefficiente di adattamento α .

QS1 (1 TRENO)

| N | ML | MT | TL | TT | |
|------|-------|-------|------|-------|---------------------------|
| [kN] | [kNm] | [kNm] | [kN] | [kN] | |
| 0,00 | 0,0 | 258,5 | 0,0 | 110,0 | Scarichi su spalla mobile |
| 0,00 | 0,0 | 258,5 | 0,0 | 110,0 | Scarichi su spalla fissa |

QS2 (2 TRENI)

| N | ML | MT | TL | TT | |
|------|-------|-------|------|-------|---------------------------|
| [kN] | [kNm] | [kNm] | [kN] | [kN] | |
| 0,00 | 0,0 | 517,0 | 0,0 | 220,0 | Scarichi su spalla mobile |
| 0,00 | 0,0 | 517,0 | 0,0 | 220,0 | Scarichi su spalla fissa |

6.1.7 Azioni parassite dei vincoli

Le resistenze parassite dei vincoli sono valutate sulla base del paragrafo 2.5.1.6.3 delle norme RFI con riferimento al caso di viadotti a trave semplicemente appoggiati:

- Spalle: $F_a = f \cdot (V_g + V_q)$;
- Pile: facendo riferimento all'apparecchio d'appoggio maggiormente caricato fra i due presenti sulla pila, si considererà agente $F_a = f \cdot (0,20 \cdot V_g + V_q)$

Dove:

V_g = Reazione verticale massima associata ai carichi permanenti;

V_q = Reazione verticale massima associata ai carichi mobili dinamizzati.

Nel caso in esame le azioni trasmesse alle sottostrutture sono pari a:

Spalle: Relazione di calcolo

| COMMESSA | LOTTO | CODIFICA | DOCUMENTO | REV. | FOGLIO |
|----------|---------|----------|------------|------|-----------|
| IF26 | 12 E ZZ | CL | VI0204 001 | A | 37 di 158 |

f = 0,04

| Vg1 (KN) | Vg2 (KN) |
|----------|----------|
| 4461,71 | 1966,68 |

| VQ1-1a (KN) | VQ1-1b (KN) | VQ1-2a(KN) | VQ1-2b(KN) | VQm1(KN) | VQm2(KN) |
|-------------|-------------|------------|-------------|---------------|---------------|
| (1LM71) | (1SW2) | (2LM71) | (1LM71+SW2) | 1 marciapiedi | 2 marciapiedi |
| 1889,39 | 2056,02 | 3778,77 | 3945,40 | 192,50 | 385,00 |

QP1a (azione su spalla mobile) 1 LM71+1MARC

| | | | |
|----|--------|----|-------|
| TL | 340,41 | KN | SLE |
| TL | 477,76 | KN | SLU |
| TL | 272,25 | KN | SISMA |

QP1b (azione su spalla mobile) 1 SW2 + 1 MARC

| | | | |
|----|--------|----|-------|
| TL | 347,08 | KN | SLE |
| TL | 487,42 | KN | SLU |
| TL | 273,58 | KN | SISMA |

QP2a (azione su spalla mobile) 2 LM71 + 2 marc

| | | | |
|----|--------|----|-------|
| TL | 423,69 | KN | SLE |
| TL | 596,58 | KN | SLU |
| TL | 287,37 | KN | SISMA |

QP2b (azione su spalla mobile) 1 LM71 + 1SW2 + 2 marc

| | | | |
|----|--------|----|-------|
| TL | 430,35 | KN | SLE |
| TL | 606,25 | KN | SLU |
| TL | 288,70 | KN | SISMA |

Si specifica che i valori di sollecitazioni (TL) precedentemente riportati, per ciascuno dei casi esaminati, contemplano già i coefficienti di combinazione e/o partecipazioni proprie delle Vg e Vq da considerare per ciascuno stato limite di verifica:

Coefficienti di Combinazione e di partecipazione

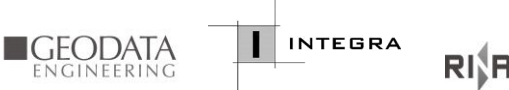
| | | |
|---------------|------|--------------------|
| γ_{G1} | 1,35 | |
| γ_{G2} | 1,5 | |
| γ_{Q1} | 1,45 | carico ferroviario |
| γ_{Qm} | 1,5 | carico marciapiedi |

(SLE rara /SLU)

| | |
|----------|-----|
| ψ_o | - |
| ψ_o | - |
| ψ_o | 1 |
| ψ_o | 0,8 |

(Sisma)

| | |
|----------|-----|
| ψ_2 | - |
| ψ_2 | - |
| ψ_2 | 0,2 |
| ψ_2 | 0 |

|  | ITINERARIO NAPOLI – BARI RADDOPPIO TRATTA CANCELLO-BENEVENTO II LOTTO FUNZIONALE FRASSO TELESINO – VITULANO 1° LOTTO FUNZIONALE FRASSO TELESINO – TELESE PROGETTO ESECUTIVO | | | | | | | | | | | | |
|---|--|----------|------------|----------|-----------|------|--------|------|---------|----|------------|---|-----------|
| Spalle: Relazione di calcolo | <table border="1"> <thead> <tr> <th>COMMESSA</th> <th>LOTTO</th> <th>CODIFICA</th> <th>DOCUMENTO</th> <th>REV.</th> <th>FOGLIO</th> </tr> </thead> <tbody> <tr> <td>IF26</td> <td>12 E ZZ</td> <td>CL</td> <td>VI0204 001</td> <td>A</td> <td>38 di 158</td> </tr> </tbody> </table> | COMMESSA | LOTTO | CODIFICA | DOCUMENTO | REV. | FOGLIO | IF26 | 12 E ZZ | CL | VI0204 001 | A | 38 di 158 |
| COMMESSA | LOTTO | CODIFICA | DOCUMENTO | REV. | FOGLIO | | | | | | | | |
| IF26 | 12 E ZZ | CL | VI0204 001 | A | 38 di 158 | | | | | | | | |

6.1.8 Azioni da Vento

Il calcolo dell'azione del vento è condotto secondo le indicazioni del par. 3.3 del DM 14.01.2008, in cui l'effetto di tale evento è modellato, ai fini del calcolo strutturale, con una pressione normale e/o tangenziale sulla superficie di impatto effettiva o convenzionale, valutate mediante le espressioni 3.3.2 e 3.3.3 dello stesso DM, ovvero:

| | |
|--|---------------------|
| $p_v = q_b \times c_e \times c_p \times c_d$ | (pressione normale) |
| $p_f = q_b \times c_e \times c_f$ | (azione tangente) |

Essendo:

q_b : pressione cinetica di riferimento

c_e : coefficiente di esposizione

c_p : coefficiente di forma (o aerodinamico)

c_d : coefficiente dinamico

c_f : coefficiente di attrito

Per il caso dell'opera in esame, risulta in ogni caso significativa la sola azione normale che produce azioni trasversali all'impalcato e quindi alle sottostrutture.

Pressione Cinetica di riferimento - q_b

La pressione cinetica di riferimento in N/m^2 , è data dall'espressione:

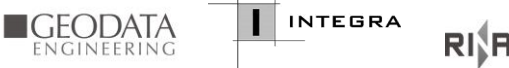
$$q_b = \frac{1}{2} \rho v_b^2$$

dove

v_b è la velocità di riferimento del vento (in m/s);

ρ è la densità dell'aria assunta convenzionalmente costante e pari a $1,25 \text{ kg/m}^3$.

Occorre in primo luogo dunque determinare la velocità di riferimento del Vento $v_b(T_R)$ relativa alla Vita di riferimento dell'opera T_r , assunta pari a 75 anni, utilizzando a tal riguardo la formulazione proposta al par. C3.3.2 del DM 14/02/2008, ovvero:

|  | ITINERARIO NAPOLI – BARI RADDOPPIO TRATTA CANCELLO-BENEVENTO II LOTTO FUNZIONALE FRASSO TELESINO – VITULANO 1° LOTTO FUNZIONALE FRASSO TELESINO – TELESE PROGETTO ESECUTIVO | | | | | | | | | | | | |
|---|--|----------|------------|----------|-----------|------|--------|------|---------|----|------------|---|-----------|
| Spalle: Relazione di calcolo | <table border="1"> <thead> <tr> <th>COMMESSA</th> <th>LOTTO</th> <th>CODIFICA</th> <th>DOCUMENTO</th> <th>REV.</th> <th>FOGLIO</th> </tr> </thead> <tbody> <tr> <td>IF26</td> <td>12 E ZZ</td> <td>CL</td> <td>VI0204 001</td> <td>A</td> <td>39 di 158</td> </tr> </tbody> </table> | COMMESSA | LOTTO | CODIFICA | DOCUMENTO | REV. | FOGLIO | IF26 | 12 E ZZ | CL | VI0204 001 | A | 39 di 158 |
| COMMESSA | LOTTO | CODIFICA | DOCUMENTO | REV. | FOGLIO | | | | | | | | |
| IF26 | 12 E ZZ | CL | VI0204 001 | A | 39 di 158 | | | | | | | | |

$$v_b (T_R) = \alpha_R \times v_b$$

con:

$$\alpha_R = 0,75 \cdot [1 - 0,2 \cdot \ln (-\ln (1-1/ T_R))]^{0,5} = 1.023$$

La velocità di riferimento del Vento v_b , riferita ad un periodo di ritorno di 10 min in 50 anni, è data dalla 3.3.1 del DM 2008; in particolare ricadendo il sito in esame in Zona 3 ed essendo l'altitudine massima dell'intera area attraversata dal tracciato di progetto dell'infrastruttura contenuta entro i 200m circa s.l.m. risulta quanto di seguito:

Sito di Riferimento : Campania (Zona 3)

$$\begin{aligned}
 V_{b,0} \text{ (m/(sec))} &= \mathbf{27} \\
 a_0 \text{ (m)} &= \mathbf{500} \\
 k_a &= \mathbf{0.02} \\
 a_s \text{ (m)} &= \mathbf{200} \quad (\text{Altitudine massima slm del sito ove sorge la costruzione}) \\
 \\
 V_b &= \mathbf{27} \quad \text{m/s} \\
 \alpha_r &= \mathbf{1.023} \\
 V_b (TR) &= \mathbf{27.621} \quad \text{m/s} \\
 \rho &= \mathbf{1.25} \quad \text{Kg/m}^3
 \end{aligned}$$

e quindi:

$$q_b = \mathbf{476.8} \quad \text{N/m}^2 = \mathbf{0.477} \quad \text{KN/m}^2$$

Coefficiente di forma - cp

Per la valutazione del coefficiente di forma dell'impalcato si è fatto riferimento a quanto indicato nell'EC1-4.

Nello specifico si fa riferimento ad entrambe le situazioni di *Ponte Scarico* e *Ponte carico/ con Barriera Antirumore*, considerando quest'ultimo caso ai fini delle analisi, in quanto più gravoso o comunque pressoché coincidente con il caso di presenza del convoglio.

In particolare, con riferimento a quanto indicato negli schemi grafici di cui alla pagina seguente risulta:

$$d_{tot} (1) = 1.37 + 0.60 = 1.97\text{m} \quad (\text{Ponte scarico})$$

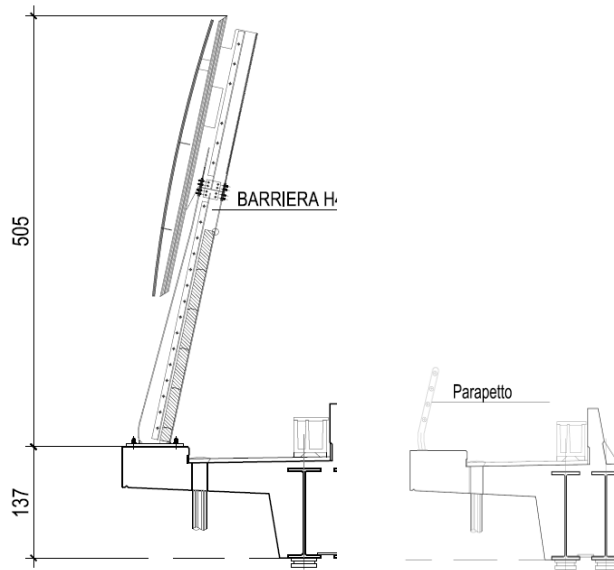
$$d_{tot} (2a) = 1.37 + 5.05 = 6.42\text{m} \quad (\text{Ponte con convoglio o Barriera antirumore su un solo lato})$$

$$d_{tot} (2b) = 1.37 + 2 \cdot 5.05 = 11.47 \text{ m} \quad (\text{Ponte con convoglio o Barriera antirumore su entrambi i lati})$$

Spalle: Relazione di calcolo

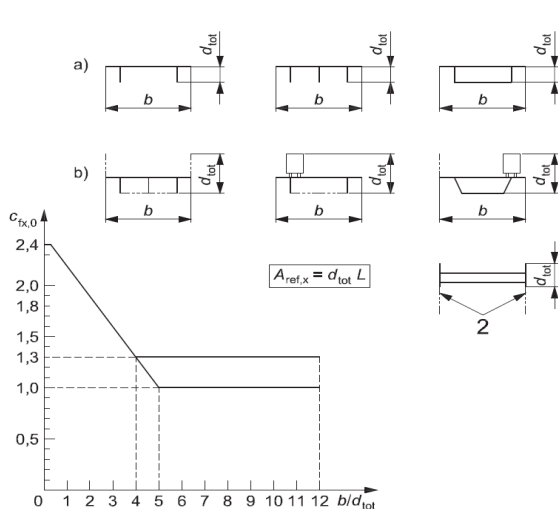
| | | | | | |
|----------|---------|----------|------------|------|-----------|
| COMMESSA | LOTTO | CODIFICA | DOCUMENTO | REV. | FOGLIO |
| IF26 | 12 E ZZ | CL | VI0204 001 | A | 40 di 158 |

Essendo 5.05m, l'altezza complessiva della barriera antirumore tipo H=4 prevista sulle opere d'arte e d_{tot} la dimensione complessiva da considerare ai fini del calcolo della superficie totale d'impatto



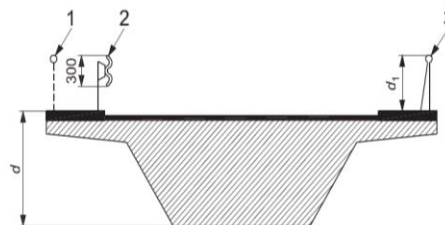
e quindi:

| LUCE IMPALCATO | $A_{TOT,1}$ | $A_{TOT,2a}$ | $A_{TOT,2b}$ |
|----------------|---|--|---|
| 22.0 | $22.0 \times 1.97 \cong 44 \text{ m}^2$ | $22.0 \times 6.42 \cong 142 \text{ m}^2$ | $22.0 \times 11.47 \cong 253 \text{ m}^2$ |



Legenda

- 1 Parapetti aperti
 - 2 Barriere di sicurezza aperte
 - 3 Parapetti, barriere antirumore o barriere di sicurezza a parete piena
- Dimensioni in millimetri



Altezza d_{tot} da impiegarsi per il calcolo di $A_{ref,x}$

| Sistema di ritenuta | su un lato | su entrambi i lati |
|---|---------------------|---------------------|
| Parapetto aperto o barriera di sicurezza aperta | $d + 0,3 \text{ m}$ | $d + 0,6 \text{ m}$ |
| Parapetto a parete piena o barriera di sicurezza a parete piena | $d + d_1$ | $d + 2 d_1$ |
| Parapetto aperto e barriera di sicurezza aperta | $d + 0,6 \text{ m}$ | $d + 1,2 \text{ m}$ |

Spalle: Relazione di calcolo

| COMMESSA | LOTTO | CODIFICA | DOCUMENTO | REV. | FOGLIO |
|----------|---------|----------|------------|------|-----------|
| IF26 | 12 E ZZ | CL | VI0204 001 | A | 41 di 158 |

Riferimenti EC1-4 per la valutazione del coefficiente di forma.

Si procede dunque, nel seguito, con il calcolo dei coefficienti di forma nei tre casi in riferimento:

Calcolo coefficiente di forma per impalcato Caso 1 (rif. §8.3.1 EC1-4)

| | | |
|-----------------|-------------|---------------------------------|
| d_{tot} (m) | 1.97 | |
| b (m) | 13,7 | larghezza totale dell'impalcato |
| b/d_{tot} (-) | 6,95 | |
| C_{p1} : | 1,30 | coefficiente di forma |

Calcolo coefficiente di forma per impalcato Caso 2a (rif. §8.3.1 EC1-4)

| | | |
|-----------------|-------------|---------------------------------|
| d_{tot} (m) | 6.42 | |
| b (m) | 13,7 | larghezza totale dell'impalcato |
| b/d_{tot} (-) | 2,13 | |
| C_{p2a} : | 1,90 | coefficiente di forma |

Calcolo coefficiente di forma per impalcato Caso 2b (rif. §8.3.1 EC1-4)

| | | |
|-----------------|-------------|---------------------------------|
| d_{tot} (m) | 11.47 | altezza totale di impatto |
| b (m) | 13,7 | larghezza totale dell'impalcato |
| b/d_{tot} (-) | 1,20 | |
| C_{p2b} : | 2,20 | coefficiente di forma |

| | | | | | | | | | | | | | |
|---|--|----------|------------|----------|-----------|------|--------|------|---------|----|------------|---|-----------|
|    | ITINERARIO NAPOLI – BARI RADDOPPIO TRATTA CANCELLO-BENEVENTO II LOTTO FUNZIONALE FRASSO TELESINO – VITULANO 1° LOTTO FUNZIONALE FRASSO TELESINO – TELESE PROGETTO ESECUTIVO | | | | | | | | | | | | |
| Spalle: Relazione di calcolo | <table border="1" style="width: 100%; border-collapse: collapse;"> <tr> <td style="text-align: center;">COMMESSA</td> <td style="text-align: center;">LOTTO</td> <td style="text-align: center;">CODIFICA</td> <td style="text-align: center;">DOCUMENTO</td> <td style="text-align: center;">REV.</td> <td style="text-align: center;">FOGLIO</td> </tr> <tr> <td style="text-align: center;">IF26</td> <td style="text-align: center;">12 E ZZ</td> <td style="text-align: center;">CL</td> <td style="text-align: center;">VI0204 001</td> <td style="text-align: center;">A</td> <td style="text-align: center;">42 di 158</td> </tr> </table> | COMMESSA | LOTTO | CODIFICA | DOCUMENTO | REV. | FOGLIO | IF26 | 12 E ZZ | CL | VI0204 001 | A | 42 di 158 |
| COMMESSA | LOTTO | CODIFICA | DOCUMENTO | REV. | FOGLIO | | | | | | | | |
| IF26 | 12 E ZZ | CL | VI0204 001 | A | 42 di 158 | | | | | | | | |

Coefficiente di esposizione – ce

Il coefficiente di esposizione, è definito al 3.3.7 del DM 14.01.08, dalle seguenti espressioni:

$$c_e(z) = k_r^2 c_t \ln(z/z_0) [7 + c_t \ln(z/z_0)] \quad \text{per } z \geq z_{\min} \quad (3.3.5)$$

$$c_e(z) = c_e(z_{\min}) \quad \text{per } z < z_{\min}$$

dove

k_r , z_0 , z_{\min} sono assegnati in Tab. 3.3.II in funzione della categoria di esposizione del sito ove sorge la costruzione;

c_t è il coefficiente di topografia.

Tabella 3.3.II – Parametri per la definizione del coefficiente di esposizione

| Categoria di esposizione del sito | k_r | z_0 [m] | z_{\min} [m] |
|-----------------------------------|-------|-----------|----------------|
| I | 0,17 | 0,01 | 2 |
| II | 0,19 | 0,05 | 4 |
| III | 0,20 | 0,10 | 5 |
| IV | 0,22 | 0,30 | 8 |
| V | 0,23 | 0,70 | 12 |

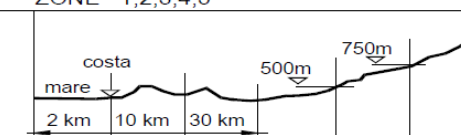
Il coefficiente di topografia è assunto, **pari ad 1**, come da indicazioni normative.

Per la determinazione invece degli altri parametri k_r , z_0 e z_{\min} è necessario invece definire la Categoria di esposizione del sito, che dipende dalla classe di rugosità del terreno e dalla distanza della costruzione della Costa secondo quanto indicato nelle tabelle seguenti:

Tabella 3.3.III - Classi di rugosità del terreno

| Classe di rugosità del terreno | Descrizione |
|--------------------------------|--|
| A | Aree urbane in cui almeno il 15% della superficie sia coperto da edifici la cui altezza media superi i 15m |
| B | Aree urbane (non di classe A), suburbane, industriali e boschive |
| C | Aree con ostacoli diffusi (alberi, case, muri, recinzioni.....); aree con rugosità non riconducibile alle classi A, B, D |
| D | Aree prive di ostacoli (aperta campagna, aeroporti, aree agricole, pascoli, zone paludose o sabbiose, superfici innevate o ghiacciate, mare, laghi.....) |

L'assegnazione della classe di rugosità non dipende dalla conformazione orografica e topografica del terreno. Affinché una costruzione possa dirsi ubicata in classe A o B è necessario che la situazione che contraddistingue la classe permanga intorno alla costruzione per non meno di 1 km e comunque non meno di 20 volte l'altezza della costruzione. Laddove sussistano dubbi sulla scelta della classe di rugosità, a meno di analisi dettagliate, verrà assegnata la classe più sfavorevole.

| ZONE 1,2,3,4,5 | | | | | | |
|--|----|-----|-----|-----|-----|----|
|  | | | | | | |
| A | -- | IV | IV | V | V | V |
| B | -- | III | III | IV | IV | IV |
| C | -- | * | III | III | IV | IV |
| D | I | II | II | II | III | ** |
| * Categoria II in zona 1,2,3,4 Categoria III in zona 5 | | | | | | |
| ** Categoria III in zona 2,3,4,5 Categoria IV in zona 1 | | | | | | |

Nello specifico, per il caso in specie risulta:

| | | | | | | | | | | | | | |
|---|--|----------|------------|----------|-----------|------|--------|------|---------|----|------------|---|-----------|
|    | ITINERARIO NAPOLI – BARI RADDOPPIO TRATTA CANCELLO-BENEVENTO II LOTTO FUNZIONALE FRASSO TELESINO – VITULANO 1° LOTTO FUNZIONALE FRASSO TELESINO – TELESE PROGETTO ESECUTIVO | | | | | | | | | | | | |
| Spalle: Relazione di calcolo | <table border="1"> <tr> <td>COMMESSA</td> <td>LOTTO</td> <td>CODIFICA</td> <td>DOCUMENTO</td> <td>REV.</td> <td>FOGLIO</td> </tr> <tr> <td>IF26</td> <td>12 E ZZ</td> <td>CL</td> <td>VI0204 001</td> <td>A</td> <td>43 di 158</td> </tr> </table> | COMMESSA | LOTTO | CODIFICA | DOCUMENTO | REV. | FOGLIO | IF26 | 12 E ZZ | CL | VI0204 001 | A | 43 di 158 |
| COMMESSA | LOTTO | CODIFICA | DOCUMENTO | REV. | FOGLIO | | | | | | | | |
| IF26 | 12 E ZZ | CL | VI0204 001 | A | 43 di 158 | | | | | | | | |

Distanza dalla Costa \cong 50 Km / Altitudine max : \cong 200 m

Classe di rugosità : D

→ Categoria di esposizione del sito: II

e quindi:

Caso 1

| | | | |
|-----------------------------------|-----------------------------|-----------------------------------|-----------------------------|
| Z (m) = 1.67 m | (Altezza della Costruzione) | Z (m) = 6.4 m | (Altezza della Costruzione) |
| Z_o = 0.05 m | | Z_o = 0.05 m | |
| Z_{min} = 4.0 m | | Z_{min} = 4.0 m | |
| k_r = 0.19 | | k_r = 0.19 | |
| C_e (Z_{min}) = 1.80 | | C_e (Z_{min}) = 1.80 | |
| C_e = 1.80 | | C_e = 2.08 | |

Casi 2/2a

Coefficiente dinamico - cd

Il coefficiente dinamico è posto pari ad **1**, in accordo alle indicazioni di cui al DM 14.01.08.

Come anticipato ad inizio paragrafo, ai fini delle analisi si fa riferimento al caso di doppia barriera in quanto più gravoso ed in previsione di eventuali future integrazione degli elementi di mitigazione acustica.

Gli scarichi sulle sottostrutture sono pertanto quelli riportati nelle tabelle seguenti, da intendersi riferiti a ciascuno appoggio di estremità dell'impalcato.

| N | ML | MT | TL | TT |
|-------------|------------|--------------|------------|--------------|
| [kN] | [kNm] | [kNm] | [kN] | [kN] |
| 0.00 | 0.0 | 952.0 | 0.0 | 279.0 |

Spalle: Relazione di calcolo

| COMMESSA | LOTTO | CODIFICA | DOCUMENTO | REV. | FOGLIO |
|----------|---------|----------|------------|------|-----------|
| IF26 | 12 E ZZ | CL | VI0204 001 | A | 44 di 158 |

6.1.9 Azioni aerodinamiche indotte dal transito dei convogli

Per la valutazione delle azioni aerodinamiche indotte dal transito dei convogli si è fatto riferimento a quanto riportato al punto 2.5.1.4.6 delle istruzioni RFI [RFI DTC SICS MA IFS 001 con riferimento al caso di “Superfici verticali parallele al binario”.

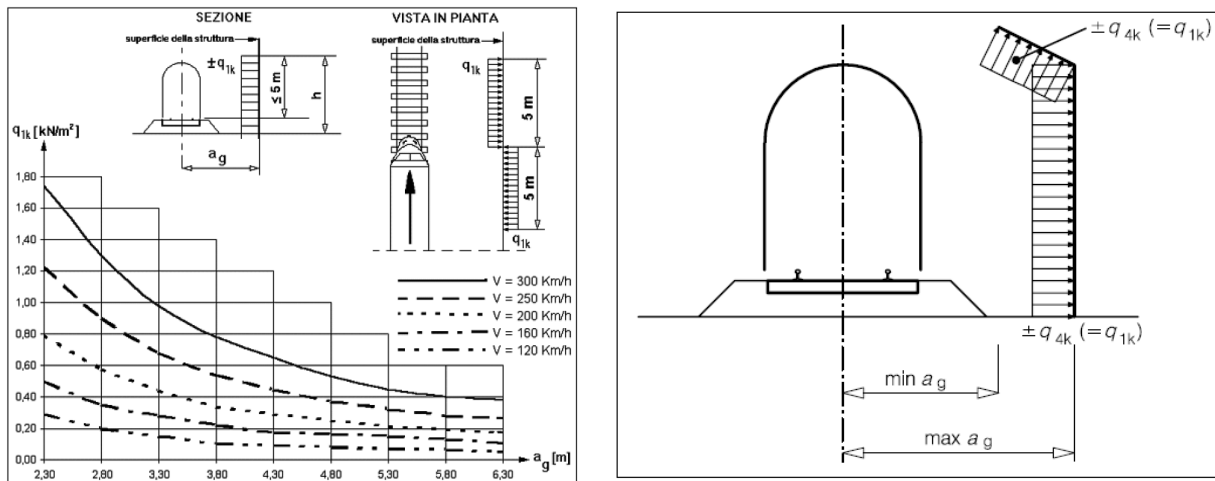


Figura 6 – Valori caratteristici delle azioni e definizione della distanza minima e massima della barriera dal convoglio [NTC – Fig. 5.2.8 e 5.2.11]

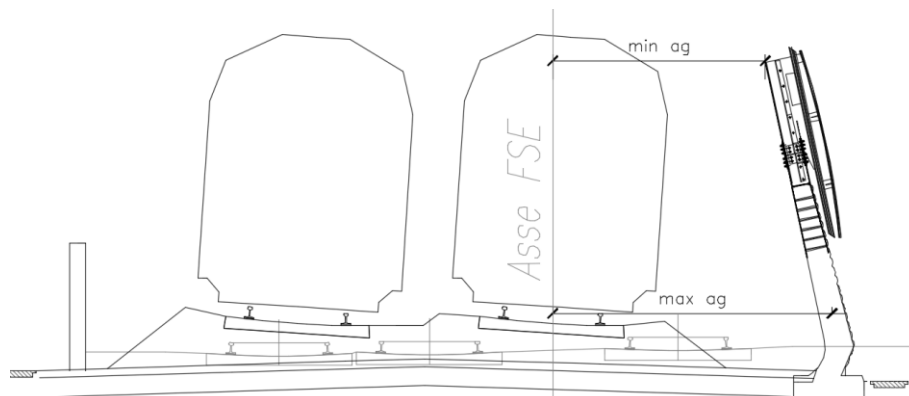


Figura 7 – Criterio di valutazione della distanza minima e massima del convoglio dalla barriera per i casi in esame

Per la linea in esame è possibile considerare, cautelativamente, convogli con forme aerodinamiche sfavorevoli e aventi velocità di linea pari a 160 km/h. Pertanto si ha:

Spalle: Relazione di calcolo

| COMMESSA | LOTTO | CODIFICA | DOCUMENTO | REV. | FOGLIO |
|----------|---------|----------|------------|------|-----------|
| IF26 | 12 E ZZ | CL | VI0204 001 | A | 45 di 158 |

dmed = 4,00m
V= 160 Km/h
dal grafico :

| | | | |
|------|-------|-------------------|--|
| qaK= | 0,20 | KN/m ² | |
| Lb= | 22,00 | m | lunghezza barriera |
| hb= | 5,05 | m | altezza barriera |
| Yb= | 1,70 | m | altezza base barriera da testa muro frontale |
| ygb= | 4,23 | m | baricentro barriera da testa muro frontale |

Qae1 - Caso di 1 treno

| N | ML | MT | TL | TT | |
|------|-------|-------|------|------|---------------------------|
| [kN] | [kNm] | [kNm] | [kN] | [kN] | |
| 0,00 | 0,0 | 47,0 | 0,0 | 11,1 | Scarichi su spalla mobile |
| 0,00 | 0,0 | 47,0 | 0,0 | 11,1 | Scarichi su spalla fissa |

Qae2 - Caso di 2 treni contemporanei (pressione + depressione)

| N | ML | MT | TL | TT | |
|------|-------|-------|------|------|---------------------------|
| [kN] | [kNm] | [kNm] | [kN] | [kN] | |
| 0,00 | 0,0 | 94,0 | 0,0 | 22,2 | Scarichi su spalla mobile |
| 0,00 | 0,0 | 94,0 | 0,0 | 22,2 | Scarichi su spalla fissa |

Spalle: Relazione di calcolo

| COMMESSA | LOTTO | CODIFICA | DOCUMENTO | REV. | FOGLIO |
|----------|---------|----------|------------|------|-----------|
| IF26 | 12 E ZZ | CL | VI0204 001 | A | 46 di 158 |

6.1.10 Tabelle riepilogo Scarichi impalcato

Di seguito si riporta un riepilogo degli scarichi trasmessi dall'impalcato alle sottostrutture per ciascuna delle condizioni di carico elementari prese in esame:

| RIEPILOGO SCARICHI A TESTA SPALLA FISSA - CONDIZIONI DI CARICO ELEMENTARI | | | | | | |
|---|--------------|--------|-------|--------|--------|--------|
| (Sollecitazioni riferite alla sezione del muro in asse Appoggi impalcato) | | | | | | |
| Condizione | | N | ML | MT | TL | TT |
| | | [kN] | [kNm] | [kNm] | [kN] | [kN] |
| Permanenti strutturali | G1 | 4492.8 | 0.0 | 0.0 | 0.0 | 0.0 |
| Permanenti NON strutturali | G2 | 1966.7 | 0.0 | 0.0 | 0.0 | 0.0 |
| Traffico - 1LM71 | Q1,1a | 1889.4 | 0.0 | 3929.9 | 0.0 | 0.0 |
| Traffico - 1SW2 | Q1,1b | 2056.0 | 0.0 | 4276.5 | 0.0 | 0.0 |
| Traffico - 2 LM71 | Q1,2a | 3778.8 | 0.0 | 302.3 | 0.0 | 0.0 |
| Traffico - 1 LM72 + 1 SW2 | Q1,2b | 3945.4 | 0.0 | 315.6 | 0.0 | 0.0 |
| Carico variabile 1 Marciapiede | Qm1 | 192.5 | 0.0 | 1001.0 | 0.0 | 0.0 |
| Carico variabile 2 Marciapiedi | Qm2 | 385.0 | 0.0 | 38.5 | 0.0 | 0.0 |
| Carico Avviamento | Qa | 88.9 | 0.0 | 0.0 | 798.6 | 0.0 |
| Frenatura LM71 | Qf1 | 53.9 | 0.0 | 0.0 | 484.0 | 0.0 |
| Frenatura SW2 | Qf2 | 85.8 | 0.0 | 0.0 | 770.0 | 0.0 |
| Centrifuga 1 LM71 | Qc1a | 0.0 | 0.0 | 0.0 | 0.0 | 0.0 |
| Centrifuga 2 LM71 | Qc1b | 0.0 | 0.0 | 0.0 | 0.0 | 0.0 |
| Centrifuga SW2 | Qc2 | 0.0 | 0.0 | 0.0 | 0.0 | 0.0 |
| Serpeggio 1 treno | QS1 | 0.0 | 0.0 | 258.5 | 0.0 | 110.0 |
| Serpeggio 2 treni | QS2 | 0.0 | 0.0 | 517.0 | 0.0 | 220.0 |
| Vento | Qw | 0.0 | 0.0 | 952.0 | 0.0 | 279.0 |
| Azioni aerodinamiche 1 treno | Qae1 | 0.0 | 0.0 | 47.0 | 0.0 | 11.1 |
| Azioni aerodinamiche 2 treni | Qae2 | 0.0 | 0.0 | 94.0 | 0.0 | 22.2 |
| Sisma Long con 2 LM71 | Ex | 332.1 | 0.0 | 0.0 | 4441.2 | 0.0 |
| Sisma Trasv con 2 LM71 | Ey | 0.0 | 0.0 | 3503.5 | 0.0 | 2220.6 |
| Sisma Vert con 2 LM71 | Ez | 1110.3 | 0.0 | 0.0 | 0.0 | 0.0 |

Tabella 1 – Sollecitazioni trasmesse dall'impalcato alle sottostrutture (SPALLA FISSA "S2")

Spalle: Relazione di calcolo

| COMMESSA | LOTTO | CODIFICA | DOCUMENTO | REV. | FOGLIO |
|----------|---------|----------|------------|------|-----------|
| IF26 | 12 E ZZ | CL | VI0204 001 | A | 47 di 158 |

RIEPILOGO SCARICHI A TESTA SPALLA MOBILE - CONDIZIONI DI CARICO ELEMENTARI

(Sollecitazioni riferite alla sezione del muro in asse Appoggi impalcato)

| Condizione | | N | ML | MT | TL | TT |
|--------------------------------|--------------|--|-------|--------|------|--------|
| | | [kN] | [kNm] | [kNm] | [kN] | [kN] |
| Permanenti strutturali | G1 | 4492.8 | 0.0 | 0.0 | 0.0 | 0.0 |
| Permanenti NON strutturali | G2 | 1966.7 | 0.0 | 0.0 | 0.0 | 0.0 |
| Traffico - 1LM71 | Q1,1a | 1889.4 | 0.0 | 3929.9 | 0.0 | 0.0 |
| Traffico - 1SW2 | Q1,1b | 2056.0 | 0.0 | 4276.5 | 0.0 | 0.0 |
| Traffico - 2 LM71 | Q1,2a | 3778.8 | 0.0 | 302.3 | 0.0 | 0.0 |
| Traffico - 1 LM72 + 1 SW2 | Q1,2b | 3778.8 | 0.0 | 302.3 | 0.0 | 0.0 |
| Carico variabile 1 Marciapiede | Qm1 | 192.5 | 0.0 | 1001.0 | 0.0 | 0.0 |
| Carico variabile 2 Marciapiedi | Qm2 | 385.0 | 0.0 | 38.5 | 0.0 | 0.0 |
| Carico Avviamento | Qa | 88.9 | 0.0 | 0.0 | 0.0 | 0.0 |
| Frenatura LM71 | Qf1 | 53.9 | 0.0 | 0.0 | 0.0 | 0.0 |
| Frenatura SW2 | Qf2 | 85.8 | 0.0 | 0.0 | 0.0 | 0.0 |
| Centrifuga 1 LM71 | Qc1a | 0.0 | 0.0 | 0.0 | 0.0 | 0.0 |
| Centrifuga 2 LM71 | Qc1b | 0.0 | 0.0 | 0.0 | 0.0 | 0.0 |
| Centrifuga SW2 | Qc2 | 0.0 | 0.0 | 0.0 | 0.0 | 0.0 |
| Serpeggio 1 treno | QS1 | 0.0 | 0.0 | 258.5 | 0.0 | 110.0 |
| Serpeggio 2 treni | QS2 | 0.0 | 0.0 | 517.0 | 0.0 | 220.0 |
| Vento | Qw | 0.0 | 0.0 | 952.0 | 0.0 | 279.0 |
| Azioni aerodinamiche 1 treno | Qae1 | 0.0 | 0.0 | 47.0 | 0.0 | 11.1 |
| Azioni aerodinamiche 2 treni | Qae2 | 0.0 | 0.0 | 94.0 | 0.0 | 22.2 |
| Sisma Long con 2 LM71 | Ex | 332.1 | 0.0 | 0.0 | 0.0 | 0.0 |
| Sisma Trasv con 2 LM71 | Ey | 0.0 | 0.0 | 3503.5 | 0.0 | 2220.6 |
| Sisma Vert con 2 LM71 | Ez | 1110.3 | 0.0 | 0.0 | 0.0 | 0.0 |
| Azioni Parassite dei vincoli | QP | Le sollecitazioni per azioni parassite sono inserite direttamente già combinate nella tabella di riepilogo delle sollecitazioni combinate. | | | | |

Tabella 2 – Sollecitazioni trasmesse dall'impalcato alle sottostrutture (SPALLA MOBILE "S1")

Dove:

- T_L = risultante delle azioni orizzontali dirette lungo l'asse longitudinale dell'impalcato (taglio longitudinale);
- T_T = risultante delle azioni orizzontali dirette lungo l'asse trasversale dell'impalcato (taglio trasversale);
- N = risultante delle azioni verticali (sforzo normale);
- M_T = risultante delle azioni flettenti che provocano flessione nel piano ortogonale all'asse longitudinale dell'impalcato (momento trasversale);
- M_L = risultante delle azioni flettenti che provocano flessione nel piano parallelo all'asse longitudinale dell'impalcato (momento longitudinale).

6.2 Spinta del terreno del rilevato in condizioni statiche

La spinta del terreno del rilevato in condizioni statiche, viene valutata in termini di spinta a riposo, adottando un coefficiente di spinta pari a:

$$K_0 = (1 - \sin\varphi)$$

Ne consegue che la spinta statica agente su un metro di parete con altezza H è pari a:

$$S_{stat} = \frac{1}{2} \gamma \cdot H^2 \cdot k_0$$

La spinta così calcolata è applicata ad una altezza pari a H/3.

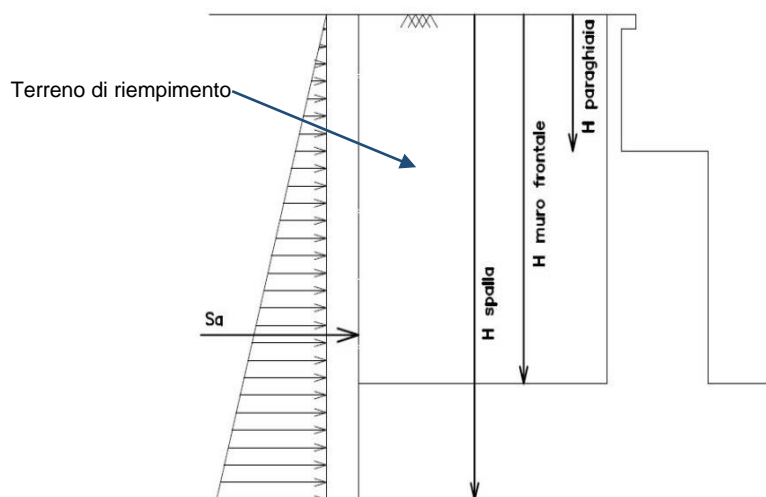
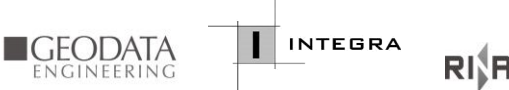


Figura 8: Spinta statica terreno di riinterro

Per il terreno di riempimento si considera lo standard per rilevati ferroviari e si assegnano le seguenti caratteristiche meccaniche:

| Parametri Geotecnici Terreno di riempimento | | |
|---|----------------|---------------|
| γ [kN/m ³] | ϕ' [°] | c' [kPa] |
| 20 | 38 | 0 |

Tabella 3 – Caratteristiche terreno di riempimento

| | | | | | | |
|---|--|------------------|----------------|-------------------------|-----------|---------------------|
|  | ITINERARIO NAPOLI – BARI RADDOPPIO TRATTA CANCELLO-BENEVENTO II LOTTO FUNZIONALE FRASSO TELESINO – VITULANO 1° LOTTO FUNZIONALE FRASSO TELESINO – TELESE PROGETTO ESECUTIVO | | | | | |
| Spalle: Relazione di calcolo | COMMESSA IF26 | LOTTO 12 E ZZ | CODIFICA CL | DOCUMENTO VI0204 001 | REV. A | FOGLIO 49 di 158 |

6.3 Spinta del sovraccarico accidentale condizioni statiche

In aggiunta in condizioni statiche si considera un sovraccarico accidentale pari a $Q = 50.0 \text{ KN/m}^2$ gravante sulla spalla e sul cuneo di spinta a tergo di essa

La presenza del sovraccarico Q genera una spinta pari a:

$$S_q = Q \cdot H \cdot K_o$$

Tale spinta è applicata ad una altezza pari a $H/2$.

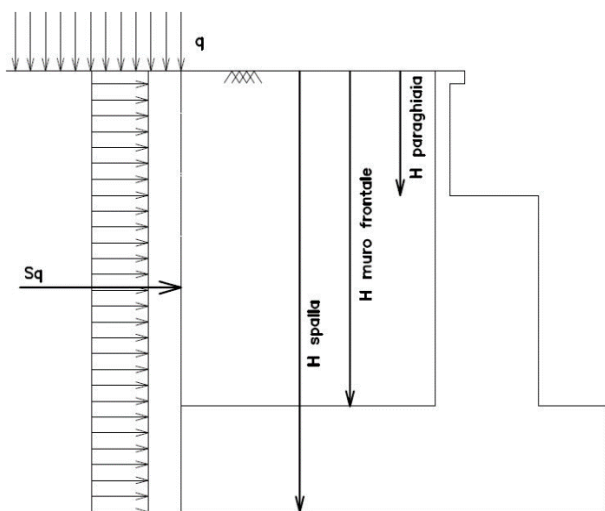


Figura 9: Spinta statica sovraccarico accidentale

|    | ITINERARIO NAPOLI – BARI RADDOPPIO TRATTA CANCELLO-BENEVENTO II LOTTO FUNZIONALE FRASSO TELESINO – VITULANO 1° LOTTO FUNZIONALE FRASSO TELESINO – TELESE PROGETTO ESECUTIVO | | | | | | | | | | | | |
|---|--|----------|------------|----------|-----------|------|--------|------|---------|----|------------|---|-----------|
| Spalle: Relazione di calcolo | <table border="1"> <thead> <tr> <th>COMMESSA</th> <th>LOTTO</th> <th>CODIFICA</th> <th>DOCUMENTO</th> <th>REV.</th> <th>FOGLIO</th> </tr> </thead> <tbody> <tr> <td>IF26</td> <td>12 E ZZ</td> <td>CL</td> <td>VI0204 001</td> <td>A</td> <td>50 di 158</td> </tr> </tbody> </table> | COMMESSA | LOTTO | CODIFICA | DOCUMENTO | REV. | FOGLIO | IF26 | 12 E ZZ | CL | VI0204 001 | A | 50 di 158 |
| COMMESSA | LOTTO | CODIFICA | DOCUMENTO | REV. | FOGLIO | | | | | | | | |
| IF26 | 12 E ZZ | CL | VI0204 001 | A | 50 di 158 | | | | | | | | |

6.4 Azione sismica

6.4.1 Azioni sismiche sulle Spalle

Per la valutazione dell'azione sismica associata ai carichi fissi propri e permanenti /accidentali agenti sulle spalle si utilizza il metodo dell'analisi pseudostatica in cui il sisma è rappresentato da una forza statica equivalente pari al prodotto delle forze di gravità per un opportuno coefficiente sismico k_h (coefficiente sismico orizzontale) o k_v (coefficiente sismico verticale) secondo quanto di seguito indicato:

Forza sismica orizzontale $F_h = k_h W$

Forza sismica verticale $F_v = k_v W$

I valori dei coefficienti sismici orizzontali k_h e verticale k_v , relativi allo stato limite considerato, sono posti pari all'ordinata dello spettro di progetto corrispondente al periodo $T=0$, per la componente orizzontale, ed a quella corrispondente al periodo proprio $T=T_0$, per la componente verticale.

| | | | | | | | | | | | | | |
|---|--|----------|------------|----------|-----------|------|--------|------|---------|----|------------|---|-----------|
|    | ITINERARIO NAPOLI – BARI RADDOPPIO TRATTA CANCELLO-BENEVENTO II LOTTO FUNZIONALE FRASSO TELESINO – VITULANO 1° LOTTO FUNZIONALE FRASSO TELESINO – TELESE PROGETTO ESECUTIVO | | | | | | | | | | | | |
| Spalle: Relazione di calcolo | <table border="1" style="width: 100%; border-collapse: collapse;"> <tr> <td style="text-align: center;">COMMESSA</td> <td style="text-align: center;">LOTTO</td> <td style="text-align: center;">CODIFICA</td> <td style="text-align: center;">DOCUMENTO</td> <td style="text-align: center;">REV.</td> <td style="text-align: center;">FOGLIO</td> </tr> <tr> <td style="text-align: center;">IF26</td> <td style="text-align: center;">12 E ZZ</td> <td style="text-align: center;">CL</td> <td style="text-align: center;">VI0204 001</td> <td style="text-align: center;">A</td> <td style="text-align: center;">51 di 158</td> </tr> </table> | COMMESSA | LOTTO | CODIFICA | DOCUMENTO | REV. | FOGLIO | IF26 | 12 E ZZ | CL | VI0204 001 | A | 51 di 158 |
| COMMESSA | LOTTO | CODIFICA | DOCUMENTO | REV. | FOGLIO | | | | | | | | |
| IF26 | 12 E ZZ | CL | VI0204 001 | A | 51 di 158 | | | | | | | | |

Nelle verifiche allo stato limite ultimo, i valori dei coefficienti sismici orizzontale k_h e verticale k_v possono essere valutati mediante le espressioni

$$k_h = \beta_m \cdot \frac{a_{max}}{g} \quad (7.11.6)$$

$$k_v = \pm 0,5 \cdot k_h \quad (7.11.7)$$

dove

a_{max} = accelerazione orizzontale massima attesa al sito;

g = accelerazione di gravità.

In assenza di analisi specifiche della risposta sismica locale, l'accelerazione massima può essere valutata con la relazione

$$a_{max} = S \cdot a_g = S_S \cdot S_T \cdot a_g \quad (7.11.8)$$

dove

S = coefficiente che comprende l'effetto dell'amplificazione stratigrafica (S_S) e dell'amplificazione topografica (S_T), di cui al § 3.2.3.2;

a_g = accelerazione orizzontale massima attesa su sito di riferimento rigido.

Nella precedente espressione, il coefficiente β_m assume i valori riportati nella Tab. 7.11-II.

Per muri che non siano in grado di subire spostamenti relativi rispetto al terreno, il coefficiente β_m assume valore unitario.

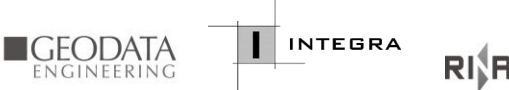
Nel caso di muri di sostegno liberi di traslare o di ruotare intorno al piede, si può assumere che l'incremento di spinta dovuta al sisma agisca nello stesso punto di quella statica. Negli altri casi, in assenza di specifici studi si deve assumere che tale incremento sia applicato a metà altezza del muro.

Tabella 7.11.II - Coefficienti di riduzione dell'accelerazione massima attesa al sito.

| | Categoria di sottosuolo | |
|-------------------------|-------------------------|------------|
| | A | B, C, D, E |
| | β_m | β_m |
| $0,2 < a_g(g) \leq 0,4$ | 0,31 | 0,31 |
| $0,1 < a_g(g) \leq 0,2$ | 0,29 | 0,24 |
| $a_g(g) \leq 0,1$ | 0,20 | 0,18 |

Figura 10 – Coefficienti sismici (estratto D.M. 14/01/2008 p.to 7.11.6.2.1)

Con riferimento al valore da assegnare al coefficiente β_m , si è fatto riferimento alle indicazioni di cui alla Tabella 7.1.II riportata nella stessa sezione della norma, tenendo tuttavia conto della specifica che prescrive, nel caso di muri che non siano in grado di subire spostamenti (quale è il caso delle spalle del viadotto in questione che in virtù della elevata rigidità sia del sistema di fondazione che della parte in elevazione, è interessata da spostamenti trascurabili durante l'evento sismico) un valore del coefficiente β_m pari ad 1.0.

| | | | | | | |
|---|--|------------------|----------------|-------------------------|-----------|---------------------|
|  | ITINERARIO NAPOLI – BARI RADDOPPIO TRATTA CANCELLO-BENEVENTO II LOTTO FUNZIONALE FRASSO TELESINO – VITULANO 1° LOTTO FUNZIONALE FRASSO TELESINO – TELESE PROGETTO ESECUTIVO | | | | | |
| Spalle: Relazione di calcolo | COMMESSA IF26 | LOTTO 12 E ZZ | CODIFICA CL | DOCUMENTO VI0204 001 | REV. A | FOGLIO 52 di 158 |

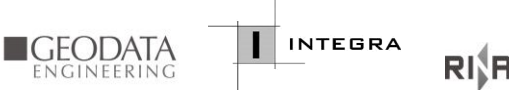
Assumendo tale valore si considera che, cautelativamente, il terreno di riempimento è rigidamente connesso alla spalla e non subisce deformazioni o movimenti relativi rispetto ad essa.

In definitiva risulta:

| | |
|-------|-------|
| ag/g= | 0.275 |
| bm= | 1.00 |
| Ss= | 1.144 |
| ST= | 1.00 |

| | | |
|-----|-------|----------------------------------|
| Kh= | 0.315 | coefficiente sismico orizzontale |
| Kv= | 0.157 | coefficiente sismico verticale |

Sulla scorta dei coefficienti sismici appena valutati, si è proceduto pertanto alla valutazione delle azioni trasmesse dall'impalcato alle sottostrutture, avendo considerato, come mostrato successivamente nella tabella di riepilogo delle combinazioni di carico, il caso più gravoso in termini di massa sismica associata ai carichi variabili, corrispondente in particolare alla Condizioni di doppio binario carico con treno tipo LM71.

|  | ITINERARIO NAPOLI – BARI RADDOPPIO TRATTA CANCELLO-BENEVENTO II LOTTO FUNZIONALE FRASSO TELESINO – VITULANO 1° LOTTO FUNZIONALE FRASSO TELESINO – TELESE PROGETTO ESECUTIVO | | | | | | | | | | | | |
|---|--|----------|------------|----------|-----------|------|--------|------|---------|----|------------|---|-----------|
| Spalle: Relazione di calcolo | <table border="1"> <thead> <tr> <th>COMMESSA</th> <th>LOTTO</th> <th>CODIFICA</th> <th>DOCUMENTO</th> <th>REV.</th> <th>FOGLIO</th> </tr> </thead> <tbody> <tr> <td>IF26</td> <td>12 E ZZ</td> <td>CL</td> <td>VI0204 001</td> <td>A</td> <td>53 di 158</td> </tr> </tbody> </table> | COMMESSA | LOTTO | CODIFICA | DOCUMENTO | REV. | FOGLIO | IF26 | 12 E ZZ | CL | VI0204 001 | A | 53 di 158 |
| COMMESSA | LOTTO | CODIFICA | DOCUMENTO | REV. | FOGLIO | | | | | | | | |
| IF26 | 12 E ZZ | CL | VI0204 001 | A | 53 di 158 | | | | | | | | |

6.4.2 Sovrappinta sismica del terreno

In assenza di uno studio più dettagliato che prenda in considerazione la rigidezza relativa, il tipo di movimento e la massa dell'opera di sostegno, si assume che la forza dovuta alla spinta dinamica del terreno sia valutata con la teoria di Wood ed agisca con un'inclinazione rispetto alla normale al muro uguale a zero:

$$\Delta S_s = (a_{\max}/g) \cdot \gamma \cdot H^2$$

Tale risultante è applicata ad un'altezza pari ad H/2.

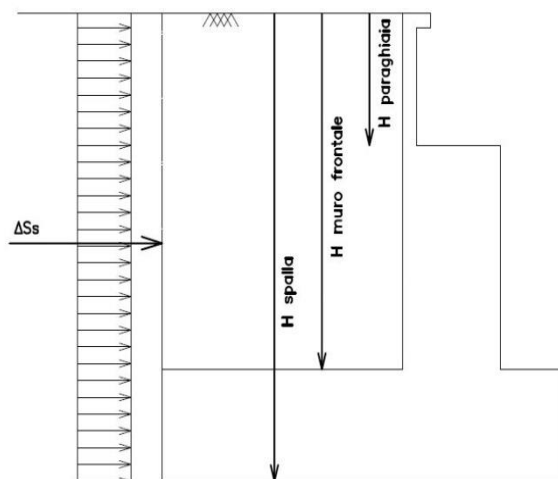


Figura 11: Incremento di spinta sismica

La spinta totale di progetto E_d esercitata dal terrapieno ed agente sull'opera di sostegno in condizioni sismiche è dunque data dalla somma della spinta a riposo, della spinta sismica e della spinta statica data dal sovraccarico accidentale combinata al 20% così come riportato nella Tabella 5.2.V delle NTC2008.

$$E_d = S_{\text{stat}} + 0.2 \cdot S_q + \Delta S_s$$

Infine, nel caso specifico non essendo presente la falda a tergo dell'opera, la spinta idrostatica è nulla

| | | | | | | |
|---|--|------------------|----------------|-------------------------|-----------|---------------------|
|  | ITINERARIO NAPOLI – BARI RADDOPPIO TRATTA CANCELLO-BENEVENTO II LOTTO FUNZIONALE FRASSO TELESINO – VITULANO 1° LOTTO FUNZIONALE FRASSO TELESINO – TELESE PROGETTO ESECUTIVO | | | | | |
| Spalle: Relazione di calcolo | COMMESSA IF26 | LOTTO 12 E ZZ | CODIFICA CL | DOCUMENTO VI0204 001 | REV. A | FOGLIO 54 di 158 |

7. COMBINAZIONI DI CARICO

La determinazione delle Sollecitazioni di Progetto utili al dimensionamento strutturale e geotecnico delle opere oggetto del presente documento, è stata condotta utilizzando il metodo agli stati limite, secondo quanto specificato a riguardo al paragrafo 2.6 del DM 14.01.08, con riferimento all'Approccio 2.

Per la definizione dei criteri di combinazione degli effetti prodotti dalle singole condizioni elementari di carico previste sull'opera, si è fatto inoltre riferimento a quanto prescritto al prg 2.5.3 dello stesso DM , di seguito riproposto per completezza :

2.5.3 COMBINAZIONI DELLE AZIONI

Ai fini delle verifiche degli stati limite si definiscono le seguenti combinazioni delle azioni.

- Combinazione fondamentale, generalmente impiegata per gli stati limite ultimi (SLU):

$$\gamma_{G1} \cdot G_1 + \gamma_{G2} \cdot G_2 + \gamma_P \cdot P + \gamma_{Q1} \cdot Q_{k1} + \gamma_{Q2} \cdot \psi_{02} \cdot Q_{k2} + \gamma_{Q3} \cdot \psi_{03} \cdot Q_{k3} + \dots \quad (2.5.1)$$

- Combinazione caratteristica (rara), generalmente impiegata per gli stati limite di esercizio (SLE) irreversibili, da utilizzarsi nelle verifiche alle tensioni ammissibili di cui al § 2.7:

$$G_1 + G_2 + P + Q_{k1} + \psi_{02} \cdot Q_{k2} + \psi_{03} \cdot Q_{k3} + \dots \quad (2.5.2)$$

- Combinazione frequente, generalmente impiegata per gli stati limite di esercizio (SLE) reversibili:

$$G_1 + G_2 + P + \psi_{11} \cdot Q_{k1} + \psi_{22} \cdot Q_{k2} + \psi_{23} \cdot Q_{k3} + \dots \quad (2.5.3)$$

- Combinazione quasi permanente (SLE), generalmente impiegata per gli effetti a lungo termine:

$$G_1 + G_2 + P + \psi_{21} \cdot Q_{k1} + \psi_{22} \cdot Q_{k2} + \psi_{23} \cdot Q_{k3} + \dots \quad (2.5.4)$$

- Combinazione sismica, impiegata per gli stati limite ultimi e di esercizio connessi all'azione sismica E (v. § 3.2):

$$E + G_1 + G_2 + P + \psi_{21} \cdot Q_{k1} + \psi_{22} \cdot Q_{k2} + \dots \quad (2.5.5)$$

- Combinazione eccezionale, impiegata per gli stati limite ultimi connessi alle azioni eccezionali di progetto A_d (v. § 3.6):

$$G_1 + G_2 + P + A_d + \psi_{21} \cdot Q_{k1} + \psi_{22} \cdot Q_{k2} + \dots \quad (2.5.6)$$

Nelle combinazioni per SLE, si intende che vengono omessi i carichi Q_{kj} che danno un contributo favorevole ai fini delle verifiche e, se del caso, i carichi G_2 .

Trattandosi nel caso in esame di opere ferroviarie, la definizione dei coefficienti parziali di combinazione (γ) e di partecipazione (ψ) è stata effettuata seguendo a riguardo le specifiche di cui al paragrafo 5.2.3 del DM 14.01.08 nonché quanto indicato nel relativo manuale di progettazione RFI già citato al paragrafo dei documenti di riferimento; nel seguito un estratto significativo sul tema dei documenti citati:



**ITINERARIO NAPOLI – BARI
RADDOPPIO TRATTA CANCELLO-BENEVENTO
II LOTTO FUNZIONALE FRASSO TELESINO – VITULANO
1° LOTTO FUNZIONALE FRASSO TELESINO – TELESE
PROGETTO ESECUTIVO**

Spalle: Relazione di calcolo

| COMMESSA | LOTTO | CODIFICA | DOCUMENTO | REV. | FOGLIO |
|----------|---------|----------|------------|------|-----------|
| IF26 | 12 E ZZ | CL | VI0204 001 | A | 55 di 158 |

ITINERARIO NAPOLI – BARI
RADDOPPIO TRATTA CANCELLO-BENEVENTO
II LOTTO FUNZIONALE FRASSO TELESINO – VITULANO
1° LOTTO FUNZIONALE FRASSO TELESINO – TELESE
PROGETTO ESECUTIVO

Spalle: Relazione di calcolo

| | | | | | |
|----------|---------|----------|------------|------|-----------|
| COMMESSA | LOTTO | CODIFICA | DOCUMENTO | REV. | FOGLIO |
| IF26 | 12 E ZZ | CL | VI0204 001 | A | 56 di 158 |

| | | Coefficiente | EQU ⁽¹⁾ | A1 STR | A2 GEO | Combinazione eccezionale | Combinazione Sismica |
|---|-------------|---------------|---------------------|---------------------|--------|--------------------------|----------------------|
| Carichi permanenti | favorevoli | γ_{G1} | 0,90 | 1,00 | 1,00 | 1,00 | 1,00 |
| | sfavorevoli | | 1,10 | 1,35 | 1,00 | 1,00 | 1,00 |
| Carichi permanenti non strutturali ⁽²⁾ | favorevoli | γ_{G2} | 0,00 | 0,00 | 0,00 | 1,00 | 1,00 |
| | sfavorevoli | | 1,50 | 1,50 | 1,30 | 1,00 | 1,00 |
| Ballast ⁽³⁾ | favorevoli | γ_B | 0,90 | 1,00 | 1,00 | 1,00 | 1,00 |
| | sfavorevoli | | 1,50 | 1,50 | 1,30 | 1,00 | 1,00 |
| Carichi variabili da traffico ⁽⁴⁾ | favorevoli | γ_Q | 0,00 | 0,00 | 0,00 | 0,00 | 0,00 |
| | sfavorevoli | | 1,45 | 1,45 | 1,25 | 0,20 ⁽⁵⁾ | 0,20 ⁽⁵⁾ |
| Carichi variabili | favorevoli | γ_{Qi} | 0,00 | 0,00 | 0,00 | 0,00 | 0,00 |
| | sfavorevoli | | 1,50 | 1,50 | 1,30 | 1,00 | 0,00 |
| Precompressione | favorevole | γ_P | 0,90 | 1,00 | 1,00 | 1,00 | 1,00 |
| | sfavorevole | | 1,00 ⁽⁶⁾ | 1,00 ⁽⁷⁾ | 1,00 | 1,00 | 1,00 |

⁽¹⁾ Equilibrio che non coinvolga i parametri di deformabilità e resistenza del terreno; altrimenti si applicano i valori di GEO.
⁽²⁾ Nel caso in cui i carichi permanenti non strutturali (ad es. carichi permanenti portati) siano compiutamente definiti si potranno adottare gli stessi coefficienti validi per le azioni permanenti.
⁽³⁾ Quando si prevedano variazioni significative del carico dovuto al ballast, se ne dovrà tener conto esplicitamente nelle verifiche.
⁽⁴⁾ Le componenti delle azioni da traffico sono introdotte in combinazione considerando uno dei gruppi di carico gr della Tab. 5.2.IV.
⁽⁵⁾ Aliquota di carico da traffico da considerare.
⁽⁶⁾ 1,30 per instabilità in strutture con precompressione esterna
⁽⁷⁾ 1,20 per effetti locali

| Azioni | | ψ_0 | ψ_1 | ψ_2 |
|----------------------------|---|---------------------|---------------------|----------|
| Azioni singole da traffico | Carico sul rilevato a tergo delle spalle | 0,80 | 0,50 | 0,0 |
| | Azioni aerodinamiche generate dal transito dei convogli | 0,80 | 0,50 | 0,0 |
| Gruppi di carico | gr1 | 0,80 ⁽²⁾ | 0,80 ⁽¹⁾ | 0,0 |
| | gr2 | 0,80 ⁽²⁾ | 0,80 ⁽¹⁾ | - |
| | gr3 | 0,80 ⁽²⁾ | 0,80 ⁽¹⁾ | 0,0 |
| | gr4 | 1,00 | 1,00 ⁽¹⁾ | 0,0 |
| Azioni del vento | F_{Wk} | 0,60 | 0,50 | 0,0 |
| Azioni da neve | in fase di esecuzione | 0,80 | 0,0 | 0,0 |
| | SLU e SLE | 0,0 | 0,0 | 0,0 |
| Azioni termiche | T_k | 0,60 | 0,60 | 0,50 |

(1) 0,80 se è carico solo un binario, 0,60 se sono carichi due binari e 0,40 se sono carichi tre o più binari.

(2) Quando come azione di base venga assunta quella del vento, i coefficienti ψ_0 relativi ai gruppi di carico delle azioni da traffico vanno assunti pari a 0,0.

| | | | | | | |
|---|--|------------------|------------------|----------------|-------------------------|-----------|
|    | ITINERARIO NAPOLI – BARI RADDOPPIO TRATTA CANCELLO-BENEVENTO II LOTTO FUNZIONALE FRASSO TELESINO – VITULANO 1° LOTTO FUNZIONALE FRASSO TELESINO – TELESE PROGETTO ESECUTIVO | | | | | |
| | Spalle: Relazione di calcolo | COMMESSA IF26 | LOTTO 12 E ZZ | CODIFICA CL | DOCUMENTO VI0204 001 | REV. A |

Tabella 5.2.III - Carichi mobili in funzione del numero di binari presenti sul ponte

| Numero di binari | Binari Carichi | Traffico normale | | Traffico pesante ⁽²⁾ |
|------------------|----------------|-----------------------|-----------------------|---------------------------------|
| | | caso a ⁽¹⁾ | caso b ⁽¹⁾ | |
| 1 | Primo | 1,0 (LM 71"++"SW/0") | - | 1,0 SW/2 |
| 2 | Primo | 1,0 (LM 71"++"SW/0") | - | 1,0 SW/2 |
| | secondo | 1,0 (LM 71"++"SW/0") | - | 1,0 (LM 71"++"SW/0") |
| ≥ 3 | Primo | 1,0 (LM 71"++"SW/0") | 0,75 (LM 71"++"SW/0") | 1,0 SW/2 |
| | secondo | 1,0 (LM 71"++"SW/0") | 0,75 (LM 71"++"SW/0") | 1,0 (LM 71"++"SW/0") |
| | Altri | - | 0,75 (LM 71"++"SW/0") | - |

⁽¹⁾ LM71 "++" SW/0 significa considerare il più sfavorevole fra i treni LM 71, SW/0

⁽²⁾ Salvo i casi in cui sia esplicitamente escluso

Tabella 5.2.IV - Valutazione dei carichi da traffico

| TIPO DI CARICO | Azioni verticali | | Azioni orizzontali | | | Commenti |
|----------------|----------------------|---------------|------------------------|----------------|----------------|-------------------------------------|
| | Carico verticale (1) | Treno scarico | Frenatura e avviamento | Centrifuga | Serpeggio | |
| Gruppo 1 (2) | 1,00 | - | 0,5 (0,0) | 1,0 (0,0) | 1,0 (0,0) | massima azione verticale e laterale |
| Gruppo 2 (2) | - | 1,00 | 0,00 | 1,0 (0,0) | 1,0(0,0) | stabilità laterale |
| Gruppo 3 (2) | 1,0 (0,5) | - | 1,00 | 0,5 (0,0) | 0,5 (0,0) | massima azione longitudinale |
| Gruppo 4 | 0,8 (0,6; 0,4) | - | 0,8 (0,6; 0,4) | 0,8 (0,6; 0,4) | 0,8 (0,6; 0,4) | fessurazione |

Azione dominante
⁽¹⁾ Includendo tutti i fattori ad essi relativi (Φ, α , ecc.)
⁽²⁾ La simultaneità di due o tre valori caratteristici interi (assunzione di diversi coefficienti pari ad 1), sebbene improbabile, è stata considerata come semplificazione per i gruppi di carico 1, 2, 3 senza che ciò abbia significative conseguenze progettuali.

Per la ricerca delle condizioni maggiormente gravose in termini di sollecitazioni di progetto sugli elementi, sono state esaminate, per ciascuno dei tre stati limite di verifica previsti dalla normativa (SLE, SLU e Sisma) 4 differenti configurazioni dei carichi variabili, corrispondenti in particolare ai gruppi di carico Gr1 e GR3, significativi per l'opera in esame, ovvero:

Configurazione 1 : 2 binari carichi con treno LM71 (Gruppo 1)

Configurazione 2 : 1 binario carico con treno LM71 + 1 binario carico con treno SW2 (Gruppo 3)

Configurazione 3 : 1 binario carico con treno LM71 (Gruppo 1)

Configurazione 4 : 1 binario carico con treno SW2 (Gruppo 1)

**ITINERARIO NAPOLI – BARI
RADDOPPIO TRATTA CANCELLO-BENEVENTO
II LOTTO FUNZIONALE FRASSO TELESINO – VITULANO
1° LOTTO FUNZIONALE FRASSO TELESINO – TELESE
PROGETTO ESECUTIVO**

Spalle: Relazione di calcolo

| | | | | | |
|----------|---------|----------|------------|------|-----------|
| COMMESSA | LOTTO | CODIFICA | DOCUMENTO | REV. | FOGLIO |
| IF26 | 12 E ZZ | CL | VI0204 001 | A | 58 di 158 |

n concomitanza ai treni di carico sono state considerate tutte le azioni variabili a questi direttamente associate (frenatura, avviamento, ecc....) oltre agli altri carichi variabili di altra natura (vento, carichi variabili marciapiedi, azioni parassite vincoli, sisma) per un totale complessivo di 20 combinazioni di carico.

| Condizione | SLE-rara | | | | SLE-frequente | | | | SLU | | | | SLV | | | | GEO | | | | |
|--------------------------------|---------------|------|------|------|---------------|------|------|------|------|-------|-------|-------|-------|------|------|------|------|------|------|------|------|
| | Gr.1 | Gr.3 | Gr.1 | Gr.1 | Gr.1 | Gr.3 | Gr.1 | Gr.1 | Gr.1 | Gr.3 | Gr.1 | Gr.1 | Gr.1 | Gr.3 | Gr.1 | Gr.1 | Gr.1 | Gr.3 | Gr.1 | Gr.1 | |
| | 1 | 2 | 3 | 4 | 5 | 6 | 7 | 8 | 9 | 10 | 11 | 12 | 13 | 14 | 15 | 16 | 17 | 18 | 19 | 20 | |
| Permanenti strutturali | G1 | 1.0 | 1.0 | 1.0 | 1.0 | 1.0 | 1.0 | 1.0 | 1.0 | 1.35 | 1.35 | 1.35 | 1.35 | 1.0 | 1.0 | 1.0 | 1.0 | 1.0 | 1.0 | 1.0 | 1.0 |
| Permanenti NON strutturali | G2 | 1.0 | 1.0 | 1.0 | 1.0 | 1.0 | 1.0 | 1.0 | 1.0 | 1.5 | 1.5 | 1.5 | 1.5 | 1.0 | 1.0 | 1.0 | 1.0 | 1.3 | 1.3 | 1.3 | 1.3 |
| Traffico - 1LM71 | Q1,1a | 1.0 | | | 0.8 | | | 0.8 | | | 1.45 | | | 1.25 | | | | | | | |
| Traffico - 1SW2 | Q1,1b | 1.0 | | | 0.8 | | | 0.8 | | | 1.45 | | | 1.25 | | | | | | | |
| Traffico - 2 LM71 | Q1,2a | 1.0 | | | | 0.6 | | | | 1.45 | | | | 0.2 | 0.2 | 0.2 | 0.2 | 1.25 | 1.25 | | |
| Traffico - 1 LM72 + 1 SW2 | Q1,2b | 1.0 | | | 0.6 | | | 0.6 | | | 1.45 | | | 1.25 | | | | | | | |
| Carico variabile 1 Marciapiede | Qm1 | 0.8 | | | 0.8 | | | 0.64 | | | 0.64 | | | 1.04 | | | | | | | |
| Carico variabile 2 Marciapiedi | Qm2 | 0.8 | | | 0.8 | | | 0.48 | | | 0.48 | | | 1.04 | | | | | | | |
| Carico Avviamento | Qa | 0.5 | 1.0 | 0.5 | 0.5 | 0.3 | 0.6 | 0.4 | 0.4 | 0.725 | 1.45 | 0.725 | 0.725 | 0.63 | | | | | | | |
| Frenatura LM71 | Qf1 | 0.5 | | | 0.3 | | | 0.4 | | | 0.4 | | | 0.63 | | | | | | | |
| Frenatura SW2 | Qf2 | 1.0 | | | 0.6 | | | 0.8 | | | 1.45 | | | 1.25 | | | | | | | |
| Centrifuga 1 LM71 | Qc1a | 0.5 | | | 0.3 | | | 0.8 | | | 0.725 | | | 0.63 | | | | | | | |
| Centrifuga 2 LM71 | Qc1b | 1.0 | | | 0.6 | | | 0.8 | | | 1.45 | | | 1.25 | | | | | | | |
| Centrifuga SW2 | Qc2 | 0.5 | | | 0.3 | | | 0.8 | | | 0.725 | | | 0.63 | | | | | | | |
| Serpeggio 1 treno | QS1 | 1.0 | | | 0.8 | | | 0.8 | | | 1.45 | | | 1.25 | | | | | | | |
| Serpeggio 2 treni | QS2 | 1.0 | | | 0.8 | | | 0.8 | | | 1.45 | | | 1.25 | | | | | | | |
| Vento | Qw | 1.0 | 0.5 | 0.6 | 0.6 | 0.6 | 0.3 | | | | 1.45 | 0.725 | | | | 1.25 | 0.63 | | | | |
| Azioni aerodinamiche 1 treno | Qae1 | 0.6 | | | 0.8 | | | 0.8 | | | 1.45 | | | 1.25 | | | | | | | |
| Azioni aerodinamiche 2 treni | Qae2 | 1.0 | 0.5 | | | | 0.6 | 0.3 | | | | 1.45 | 0.725 | | | | 1.25 | 0.63 | | | |
| Sisma Long con 2 LM71 | Elong | 1.0 | | | | 1.0 | | | | 1.35 | | | | 1.0 | | | | | | | |
| Sisma Trasv con 2 LM71 | Etrasv | 1.0 | | | | 1.0 | | | | 1.35 | | | | 0.3 | | | | | | | |
| Sisma Vert con 2 LM71 | Evert | 1.0 | | | | 1.0 | | | | 1.35 | | | | 0.3 | | | | | | | |
| p.p. spalla | SP_Gk1 | 1.0 | 1.0 | 1.0 | 1.0 | 1.0 | 1.0 | 1.0 | 1.0 | 1.35 | 1.35 | 1.35 | 1.35 | 1.0 | 1.0 | 1.0 | 1.0 | 1.0 | 1.0 | 1.0 | 1.0 |
| spalla sisma long | SP_Elong | 1.0 | | | | 1.0 | | | | 1.35 | | | | 1.0 | | | | | | | |
| spalla sisma trasv | SP_Etrasv | 1.0 | | | | 1.0 | | | | 1.35 | | | | 0.3 | | | | | | | |
| spalla sisma vert | SP_Evert | 1.0 | | | | 1.0 | | | | 1.35 | | | | 0.3 | | | | | | | |
| p.p. rinterro | SP_Gk2 | 1.0 | 1.0 | 1.0 | 1.0 | 1.0 | 1.0 | 1.0 | 1.0 | 1.5 | 1.5 | 1.5 | 1.5 | 1.0 | 1.0 | 1.0 | 1.0 | 1.3 | 1.3 | 1.3 | 1.3 |
| rinterro spinta esercizio | SP_Gk2_h | 1.0 | | | | 1.0 | | | | 1.5 | | | | 1.0 | | | | | | | |
| rinterro sisma long | SP_Gk2_Elong | 1.0 | | | | 1.0 | | | | 1.5 | | | | 1.0 | | | | | | | |
| rinterro sisma trasv | SP_Gk2_Etrasv | 1.0 | | | | 1.0 | | | | 1.5 | | | | 0.3 | | | | | | | |
| rinterro sisma vert | SP_Gk2_Evert | 1.0 | | | | 1.0 | | | | 1.5 | | | | 0.3 | | | | | | | |
| permanente | SP_Gk3 | 1.0 | 1.0 | 1.0 | 1.0 | 1.0 | 1.0 | 1.0 | 1.0 | 1.5 | 1.5 | 1.5 | 1.5 | 1.0 | 1.0 | 1.0 | 1.0 | 1.3 | 1.3 | 1.3 | 1.3 |
| permanente spinta esercizio | SP_Gk3_h | 1.0 | | | | 1.0 | | | | 1.5 | | | | 1.0 | | | | | | | |
| accidentale | SP_Qk | 1.0 | 1.0 | 1.0 | 1.0 | 0.6 | 0.6 | 0.8 | 0.8 | 1.45 | 1.45 | 1.45 | 1.45 | 0.2 | 0.2 | 0.0 | 0.0 | 1.25 | 1.25 | 1.25 | 1.25 |
| accidentale spinta esercizio | SP_Qk_h | 1.0 | | | | 0.6 | | | | 0.8 | | | | 0.2 | | | | | | | |

Tabella 4 – Combinazioni di carico

| | | | | | | |
|---|--|------------------|------------------|----------------|-------------------------|-----------|
|    | ITINERARIO NAPOLI – BARI RADDOPPIO TRATTA CANCELLO-BENEVENTO II LOTTO FUNZIONALE FRASSO TELESINO – VITULANO 1° LOTTO FUNZIONALE FRASSO TELESINO – TELESE PROGETTO ESECUTIVO | | | | | |
| | Spalle: Relazione di calcolo | COMMESSA IF26 | LOTTO 12 E ZZ | CODIFICA CL | DOCUMENTO VI0204 001 | REV. A |

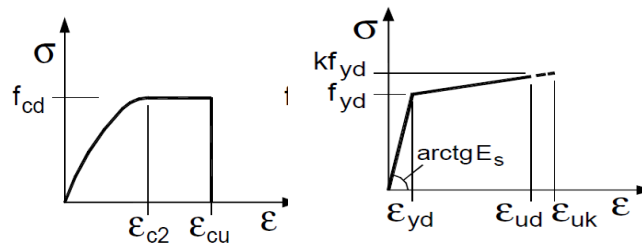
8. CRITERI GENERALI PER LE VERIFICHE STRUTTURALI

I criteri generali di verifica utilizzati per la valutazione delle capacità resistenti delle sezioni, per la condizione SLU, e per le massime tensioni nei materiali nonché per il controllo della fessurazione, relativamente agli SLE, sono quelli definiti al p.to 4.1.2 del DM 14.01.08.

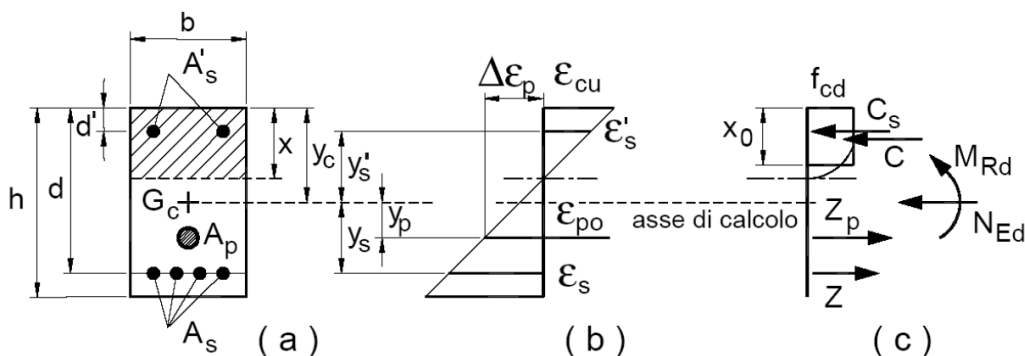
8.1 VERIFICHE ALLO SLU

8.1.1 Pressoflessione

La determinazione della capacità resistente a flessione/pressoflessione della generica sezione, viene effettuata con i criteri di cui al punto 4.1.2.1.2.4 delle NTC08, secondo quanto riportato schematicamente nelle figure seguito, tenendo conto dei valori delle resistenze e deformazioni di calcolo riportate al paragrafo dedicato alle caratteristiche dei materiali:



Legami costitutivi Calcestruzzo ed Acciaio -



Schema di riferimento per la valutazione della capacità resistente a pressoflessione generica sezione -

La verifica consisterà nel controllare il soddisfacimento della seguente condizione:

|    | <p>ITINERARIO NAPOLI – BARI RADDOPPIO TRATTA CANCELLO-BENEVENTO II LOTTO FUNZIONALE FRASSO TELESINO – VITULANO 1° LOTTO FUNZIONALE FRASSO TELESINO – TELESE</p> <p>PROGETTO ESECUTIVO</p> | | | | | | | | | | | | |
|---|--|----------|------------|----------|-----------|------|--------|------|---------|----|------------|---|-----------|
| <p>Spalle: Relazione di calcolo</p> | <table border="1"> <thead> <tr> <th>COMMESSA</th> <th>LOTTO</th> <th>CODIFICA</th> <th>DOCUMENTO</th> <th>REV.</th> <th>FOGLIO</th> </tr> </thead> <tbody> <tr> <td>IF26</td> <td>12 E ZZ</td> <td>CL</td> <td>VI0204 001</td> <td>A</td> <td>60 di 158</td> </tr> </tbody> </table> | COMMESSA | LOTTO | CODIFICA | DOCUMENTO | REV. | FOGLIO | IF26 | 12 E ZZ | CL | VI0204 001 | A | 60 di 158 |
| COMMESSA | LOTTO | CODIFICA | DOCUMENTO | REV. | FOGLIO | | | | | | | | |
| IF26 | 12 E ZZ | CL | VI0204 001 | A | 60 di 158 | | | | | | | | |

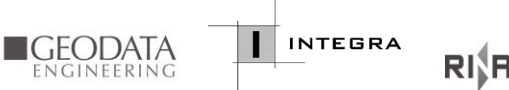
$$M_{Rd} = M_{Rd}(N_{Ed}) \geq M_{Ed}$$

dove

M_{Rd} è il valore di calcolo del momento resistente corrispondente a N_{Ed} ;

N_{Ed} è il valore di calcolo della componente assiale (sforzo normale) dell'azione;

M_{Ed} è il valore di calcolo della componente flettente dell'azione.

|  | ITINERARIO NAPOLI – BARI RADDOPPIO TRATTA CANCELLO-BENEVENTO II LOTTO FUNZIONALE FRASSO TELESINO – VITULANO 1° LOTTO FUNZIONALE FRASSO TELESINO – TELESE PROGETTO ESECUTIVO | | | | | | | | | | | | |
|---|--|----------|------------|----------|-----------|------|--------|------|---------|----|------------|---|-----------|
| Spalle: Relazione di calcolo | <table border="1"> <thead> <tr> <th>COMMESSA</th> <th>LOTTO</th> <th>CODIFICA</th> <th>DOCUMENTO</th> <th>REV.</th> <th>FOGLIO</th> </tr> </thead> <tbody> <tr> <td>IF26</td> <td>12 E ZZ</td> <td>CL</td> <td>VI0204 001</td> <td>A</td> <td>61 di 158</td> </tr> </tbody> </table> | COMMESSA | LOTTO | CODIFICA | DOCUMENTO | REV. | FOGLIO | IF26 | 12 E ZZ | CL | VI0204 001 | A | 61 di 158 |
| COMMESSA | LOTTO | CODIFICA | DOCUMENTO | REV. | FOGLIO | | | | | | | | |
| IF26 | 12 E ZZ | CL | VI0204 001 | A | 61 di 158 | | | | | | | | |

8.1.2 Taglio

La resistenza a taglio V_{Rd} della membratura priva di armatura specifica risulta pari a:

$$V_{Rd} = \left\{ 0.18 \cdot k \cdot \frac{(100 \cdot \rho_1 \cdot f_{ck})^{1/3}}{\gamma_c + 0.15 \cdot \sigma_{cp}} \right\} \cdot b_w \cdot d \geq v_{\min} + 0.15 \cdot \sigma_{cp} \cdot b_w d$$

Dove:

- $v_{\min} = 0.035 \cdot k^{3/2} \cdot f_{ck}^{1/2}$;
- $k = 1 + (200/d)^{1/2} \leq 2$;
- $\rho_1 = A_{sw}/(b_w \cdot d)$
- d = altezza utile per piedritti soletta superiore ed inferiore;
- $b_w = 1000$ mm larghezza utile della sezione ai fini del taglio.

In presenza di armatura, invece, la resistenza a taglio V_{Rd} è il minimo tra la resistenza a taglio trazione V_{Rsd} e la resistenza a taglio compressione V_{Rcd}

$$V_{Rsd} = 0.9 \cdot d \cdot \frac{A_{sw}}{s} \cdot f_{yd} \cdot (\text{ctg} \alpha + \text{ctg} \theta) \cdot \sin \alpha$$

$$V_{Rcd} = 0.9 \cdot d \cdot b_w \cdot \alpha_c \cdot f'_{cd} \cdot \frac{(\text{ctg} \alpha + \text{ctg} \theta)}{(1 + \text{ctg}^2 \theta)}$$

Essendo:

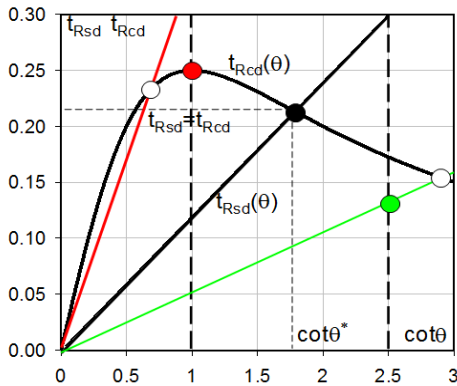
$$1 \leq \text{ctg} \theta \leq 2,5$$

Per quanto riguarda in particolare le verifiche a taglio per elementi armati a taglio, si è fatto riferimento al metodo del traliccio ad inclinazione variabile, in accordo a quanto prescritto al punto 4.1.2.1.3 delle NTC08, considerando ai fini delle verifiche, un angolo θ di inclinazione delle bielle compresse del traliccio resistente tale da rispettare la condizione.

$$1 \leq \text{ctg} \theta \leq 2,5 \quad 45^\circ \geq \theta \geq 21,8^\circ$$

Spalle: Relazione di calcolo

| COMMESSA | LOTTO | CODIFICA | DOCUMENTO | REV. | FOGLIO |
|----------|---------|----------|------------|------|-----------|
| IF26 | 12 E ZZ | CL | VI0204 001 | A | 62 di 158 |



- Se la $\cot\theta^*$ è compresa nell'intervallo (1,0-2,5) è possibile valutare il taglio resistente $V_{Rd}(=V_{Rcd}=V_{Rsd})$
- Se la $\cot\theta^*$ è maggiore di 2,5 la crisi è da attribuirsi all'armatura trasversale e il taglio resistente $V_{Rd}(=V_{Rsd})$ coincide con il massimo taglio supportato dalle armature trasversali valutabile per una $\cot\theta = 2,5$.
- Se la $\cot\theta^*$ è minore di 1,0 la crisi è da attribuirsi alle bielle compresse e taglio resistente $V_{Rd}(=V_{Rcd})$ coincide con il massimo taglio supportato dalle bielle di calcestruzzo valutabile per una $\cot\theta = 1,0$.

L'angolo effettivo di inclinazione delle bielle (θ) assunto nelle verifiche è stato in particolare valutato, nell'ambito di un problema di verifica, tenendo conto di quanto di seguito indicato :

$$\cot\theta^* = \sqrt{\frac{v \cdot \alpha_c}{\omega_{sw}} - 1}$$

(θ^* angolo di inclinazione delle bielle cui corrisponde la crisi contemporanea di bielle compresse ed armature)

dove

$$v = f'_{cd} / f_{cd} = 0.5$$

f'_{cd} = resistenza a compressione ridotta del calcestruzzo d'anima

f_{cd} = resistenza a compressione di calcolo del calcestruzzo d'anima

| | | | |
|------------|----------------------------------|-------------------------------|--|
| α_c | coefficiente maggiorativo pari a | 1 | per membrature non compresse |
| | | $1 + \sigma_{cp}/f_{cd}$ | per $0 \leq \sigma_{cp} < 0,25 f_{cd}$ |
| | | 1,25 | per $0,25 f_{cd} \leq \sigma_{cp} \leq 0,5 f_{cd}$ |
| | | $2,5(1 - \sigma_{cp}/f_{cd})$ | per $0,5 f_{cd} < \sigma_{cp} < f_{cd}$ |

ω_{sw} : Percentuale meccanica di armatura trasversale.

$$\omega_{sw} = \frac{A_{sw} f_{yd}}{b s f_{cd}}$$

|    | ITINERARIO NAPOLI – BARI RADDOPPIO TRATTA CANCELLO-BENEVENTO II LOTTO FUNZIONALE FRASSO TELESINO – VITULANO 1° LOTTO FUNZIONALE FRASSO TELESINO – TELESE PROGETTO ESECUTIVO | | | | | | | | | | | | |
|---|--|----------|------------|----------|-----------|------|--------|------|---------|----|------------|---|-----------|
| Spalle: Relazione di calcolo | <table border="1"> <thead> <tr> <th>COMMESSA</th> <th>LOTTO</th> <th>CODIFICA</th> <th>DOCUMENTO</th> <th>REV.</th> <th>FOGLIO</th> </tr> </thead> <tbody> <tr> <td>IF26</td> <td>12 E ZZ</td> <td>CL</td> <td>VI0204 001</td> <td>A</td> <td>63 di 158</td> </tr> </tbody> </table> | COMMESSA | LOTTO | CODIFICA | DOCUMENTO | REV. | FOGLIO | IF26 | 12 E ZZ | CL | VI0204 001 | A | 63 di 158 |
| COMMESSA | LOTTO | CODIFICA | DOCUMENTO | REV. | FOGLIO | | | | | | | | |
| IF26 | 12 E ZZ | CL | VI0204 001 | A | 63 di 158 | | | | | | | | |

8.2 VERIFICA SLE

La verifica nei confronti degli Stati limite di esercizio, consiste nel controllare, con riferimento alle sollecitazioni di calcolo corrispondenti alle Combinazioni di Esercizio il tasso di Lavoro nei Materiali e l'ampiezza delle fessure attesa, secondo quanto di seguito specificato

8.2.1 Verifiche alle tensioni

La verifica delle tensioni in esercizio consiste nel controllare il rispetto dei limiti tensionali previsti per il calcestruzzo e per l'acciaio per ciascuna delle combinazioni di carico caratteristiche "Rara" e "Quasi Permanente"; i valori tensionali nei materiali sono valutati secondo le note teorie di analisi delle sezioni in c.a. in campo elastico e con calcestruzzo "non reagente" adottando come limiti di riferimento, trattandosi nel caso in specie di opere Ferroviarie, quelli indicati nel documento " Specifica per la progettazione e l'esecuzione dei ponti ferroviari e di altre opere minori sotto binario RFI DTC INC PO SP IFS 001 A del 30-12-16 ", ovvero:

Strutture in c.a.

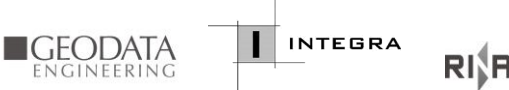
Tensioni di compressione del calcestruzzo

Devono essere rispettati i seguenti limiti per le tensioni di compressione nel calcestruzzo:

- per combinazione di carico caratteristica (rara): $0,55 f_{ck}$;
- per combinazioni di carico quasi permanente: $0,40 f_{ck}$;
- per spessori minori di 5 cm, le tensioni normali limite di esercizio sono ridotte del 30%.

Tensioni di trazione nell'acciaio

Per le armature ordinarie, la massima tensione di trazione sotto la combinazione di carico caratteristica (rara) non deve superare $0,75 f_{yk}$.

| | | | | | | |
|---|--|------------------|----------------|-------------------------|-----------|---------------------|
|  | ITINERARIO NAPOLI – BARI RADDOPPIO TRATTA CANCELLO-BENEVENTO II LOTTO FUNZIONALE FRASSO TELESINO – VITULANO 1° LOTTO FUNZIONALE FRASSO TELESINO – TELESE PROGETTO ESECUTIVO | | | | | |
| Spalle: Relazione di calcolo | COMMESSA IF26 | LOTTO 12 E ZZ | CODIFICA CL | DOCUMENTO VI0204 001 | REV. A | FOGLIO 64 di 158 |

8.2.2 Verifiche a fessurazione

La verifica a fessurazione consiste nel controllo dell'ampiezza massima delle fessure per le combinazioni di carico di esercizio i cui valori limite sono stabiliti, nell'ambito del progetto di opere ferroviarie, nel documento RFI DTC SICS MA IFS 001 A – 2.5.1.8.3.2.4 (*Manuale di progettazione delle opere civili del 30/12/2016*).

In particolare l'apertura convenzionale delle fessure δ_f dovrà rispettare i seguenti limiti:

- $\delta_f \leq w_1 = 0.2 \text{ mm}$ per tutte le strutture in condizioni ambientali aggressive o molto aggressive (così come identificate nel par. 4.1.2.2.4.3 del DM 14.1.2008 – Tab 4.1.III), per tutte le strutture a permanente contatto con il terreno e per le zone non ispezionabili di tutte le strutture;
- $\delta_f \leq w_2 = 0.3 \text{ mm}$ per strutture in condizioni ambientali ordinarie.

Tabella 4.1.III – *Descrizione delle condizioni ambientali*

| CONDIZIONI AMBIENTALI | CLASSE DI ESPOSIZIONE |
|-----------------------|-----------------------------------|
| Ordinarie | X0, XC1, XC2, XC3, XF1 |
| Aggressive | XC4, XD1, XS1, XA1, XA2, XF2, XF3 |
| Molto aggressive | XD2, XD3, XS2, XS3, XA3, XF4 |

Tabella 4.1.III – DM 14.01.2008

In definitiva, nel caso in esame, con riferimento alle indicazioni della tabella di cui in precedenza, si adotta il limite **w1=0,20 mm** sia per le parti in elevazione che per quelle in fondazione, in quanto in entrambi i casi trattasi di strutture a permanente contatto col terreno:

| | | | | | | |
|---|--|------------------|----------------|-------------------------|-----------|---------------------|
|  | ITINERARIO NAPOLI – BARI RADDOPPIO TRATTA CANCELLO-BENEVENTO II LOTTO FUNZIONALE FRASSO TELESINO – VITULANO 1° LOTTO FUNZIONALE FRASSO TELESINO – TELESE PROGETTO ESECUTIVO | | | | | |
| Spalle: Relazione di calcolo | COMMESSA IF26 | LOTTO 12 E ZZ | CODIFICA CL | DOCUMENTO VI0204 001 | REV. A | FOGLIO 65 di 158 |

9. MODELLI DI CALCOLO

9.1 Modello FEM

Entrambe le spalle sono state analizzate mediante l'uso di modelli agli elementi finiti (FEM) tridimensionali, rispettosi della reale geometria dell'opera e dei carichi applicati. Tali modelli fanno uso quasi esclusivo di elementi finiti piani di tipo lastra-piastra (shell).

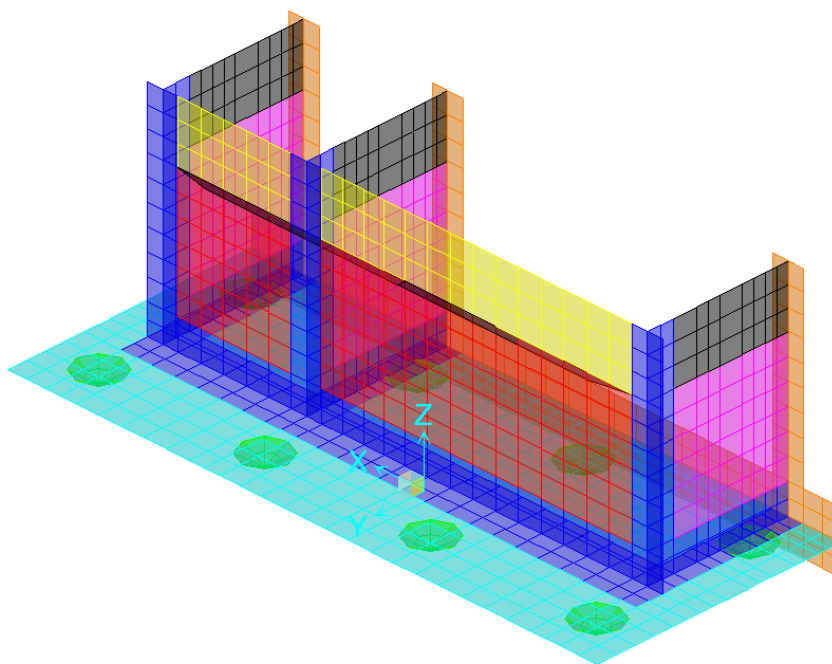
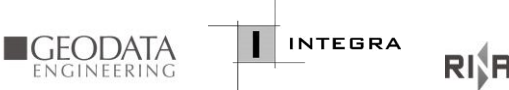


Figura 12 - Modello di calcolo, vista assometrica

Le porzioni di intersezione tra i muri (frontale/laterale) e tra essi e la fondazione, sono state esplicitamente considerate al fine di considerare il loro peso una volta sola ed agevolare le successive verifiche, evitando di sovrastimare le sollecitazioni agenti, mediante la lettura delle sollecitazioni al filo delle carpenterie. Similmente si sono adoperati elementi fittizi verticali di elevata flessibilità posti a tergo della spalla al fine di poter applicare le spinte agenti sull'intera porzione di carpenteria pertinente e non sottostimare il taglio sui pali.

| | | | | | | |
|---|--|------------------|------------------|----------------|-------------------------|-----------|
|  | ITINERARIO NAPOLI – BARI RADDOPPIO TRATTA CANCELLO-BENEVENTO II LOTTO FUNZIONALE FRASSO TELESINO – VITULANO 1° LOTTO FUNZIONALE FRASSO TELESINO – TELESE PROGETTO ESECUTIVO | | | | | |
| | Spalle: Relazione di calcolo | COMMESSA IF26 | LOTTO 12 E ZZ | CODIFICA CL | DOCUMENTO VI0204 001 | REV. A |

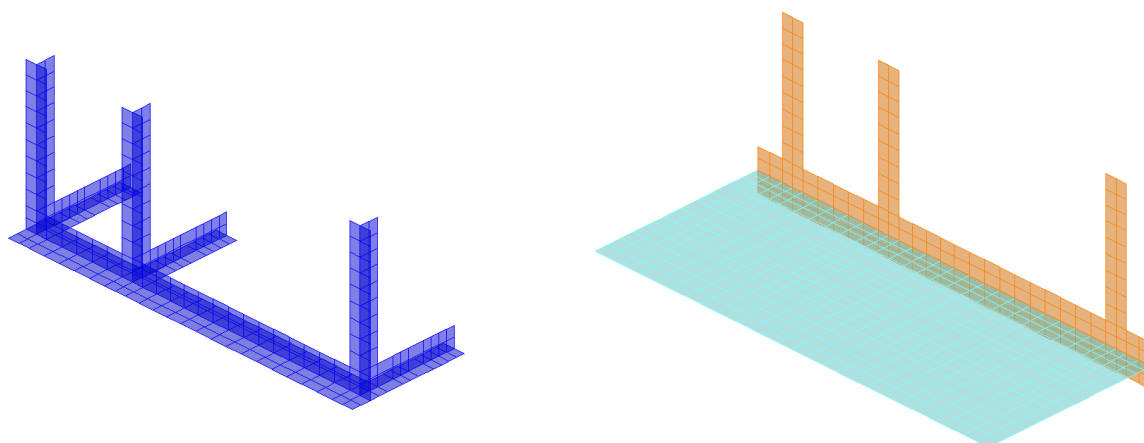


Figura 13 - Modello di calcolo: intersezioni carpenteria (sx), elementi fittizi verticali (dx)

La risultanti dei carichi derivanti dall'impalcato (N, MT, VT, VL) sono state applicate al modello mediante l'ausilio di un elemento asta (frame) dotato di carichi distribuiti la cui risultante è unitaria. L'elemento asta è collegato al muro frontale mediante elementi lastra-piastra di dimensioni opportune, tali da applicare la corretta eccentricità verticale rispetto al baricentro del muro.

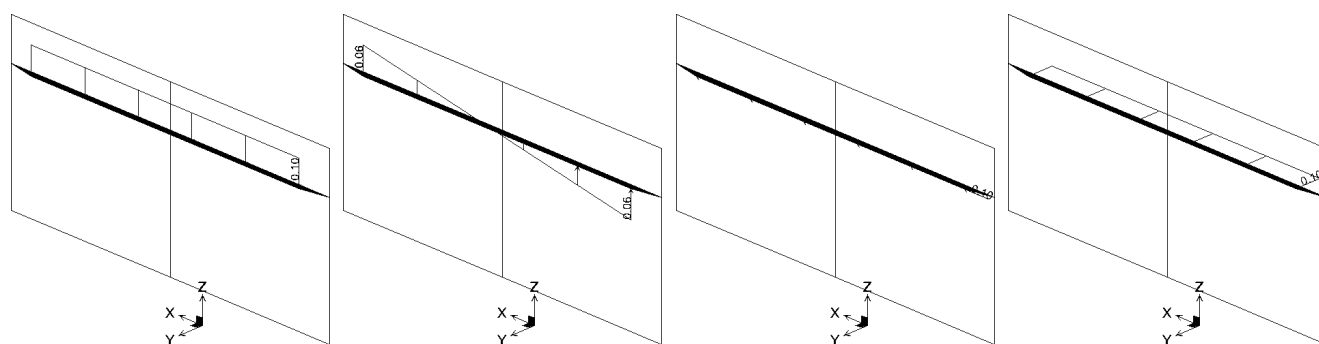


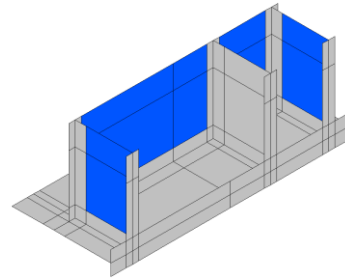
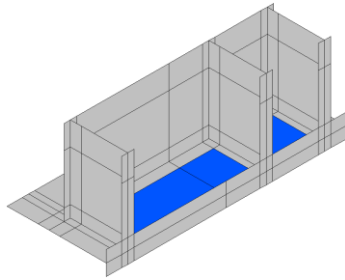
Figura 14 - Modello di calcolo: elementi fittizi per applicazione dei carichi derivanti dall'impalcato: N, MT, VT, VL

Il sistema di riferimento adottato è una terna destrorsa con l'asse delle Z positivo verso l'alto e l'asse X parallelo alla direzione trasversale dell'opera; l'origine è posta all'intradosso della fondazione nel baricentro della palificata.

Nel modello è stata modellata in via approssimata la presenza dei pali, al fine di cogliere meglio gli effetti sul plinto di fondazione. In particolare è stato modellato l'ingombro di ciascun palo così da evitare concentrazioni di tensioni spurie sugli elementi del plinto. La congruenza tra plinto e pali è realizzata in automatico dal programma di calcolo mediante specili vincoli cinematici tra gli elementi lastra-piastra e i nodi che sopra essi ricadono (edge constraint). La parte terminale del palo, corrispondente all'intradosso del plinto, ha degli svincoli flessionali e torsionali, così che il palo possa trasmettere solo sforzo normale e tagli. Il vincolo relativo al palo è di tipo flessibile, assimilabile a quanto si otterrebbe mediante ripartizione rigida delle sollecitazioni sui pali.

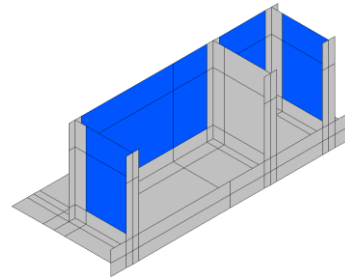
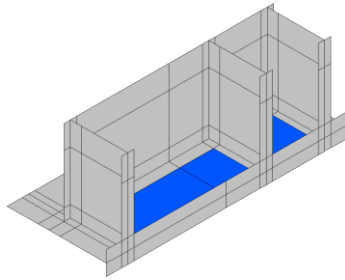
Spalle: Relazione di calcolo

| COMMESSA | LOTTO | CODIFICA | DOCUMENTO | REV. | FOGLIO |
|----------|---------|----------|------------|------|-----------|
| IF26 | 12 E ZZ | CL | VI0204 001 | A | 68 di 158 |



SP_Qk, SP_Qk_h

carico accidentale sulla spalla e spinta orizzontale sui muri



Al fine di identificare gli elementi in sede di verifica, si riportano in figura la numerazione degli stessi. In figura sono riportati i macroelementi che in sede di analisi sono automaticamente ridotti ad una mesh più fitta (~0.6m×0.6m).

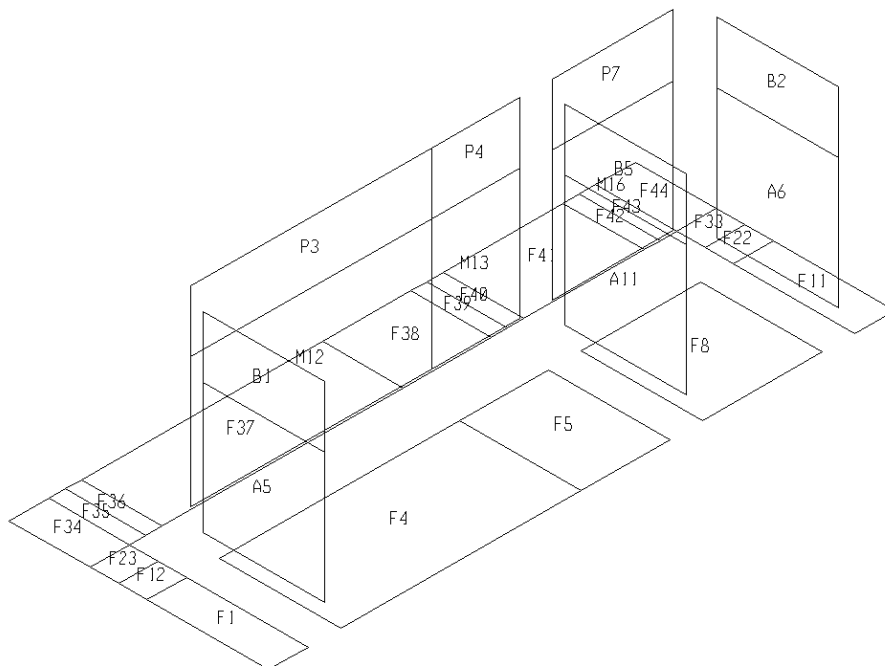
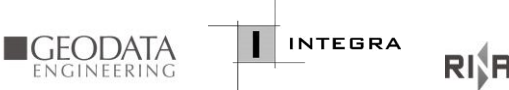


Figura 16 - Modello di calcolo: numerazione elementi

|  | <p>ITINERARIO NAPOLI – BARI RADDOPPIO TRATTA CANCELLO-BENEVENTO II LOTTO FUNZIONALE FRASSO TELESINO – VITULANO 1° LOTTO FUNZIONALE FRASSO TELESINO – TELESE</p> <p>PROGETTO ESECUTIVO</p> | | | | | | | | | | | | |
|---|--|----------|------------|----------|-----------|------|--------|------|---------|----|------------|---|-----------|
| <p>Spalle: Relazione di calcolo</p> | <table border="1"> <thead> <tr> <th>COMMESSA</th> <th>LOTTO</th> <th>CODIFICA</th> <th>DOCUMENTO</th> <th>REV.</th> <th>FOGLIO</th> </tr> </thead> <tbody> <tr> <td>IF26</td> <td>12 E ZZ</td> <td>CL</td> <td>VI0204 001</td> <td>A</td> <td>69 di 158</td> </tr> </tbody> </table> | COMMESSA | LOTTO | CODIFICA | DOCUMENTO | REV. | FOGLIO | IF26 | 12 E ZZ | CL | VI0204 001 | A | 69 di 158 |
| COMMESSA | LOTTO | CODIFICA | DOCUMENTO | REV. | FOGLIO | | | | | | | | |
| IF26 | 12 E ZZ | CL | VI0204 001 | A | 69 di 158 | | | | | | | | |

9.2 Modello FEM fasi costruttive

Il modello descritto al paragrafo precedente è stato impiegato anche per le verifiche delle strutture in prima fase, quando cioè solo una parte delle spalle è stata costruita e su di esse grava un impalcato di dimensioni ridotte con un solo binario in esercizio.

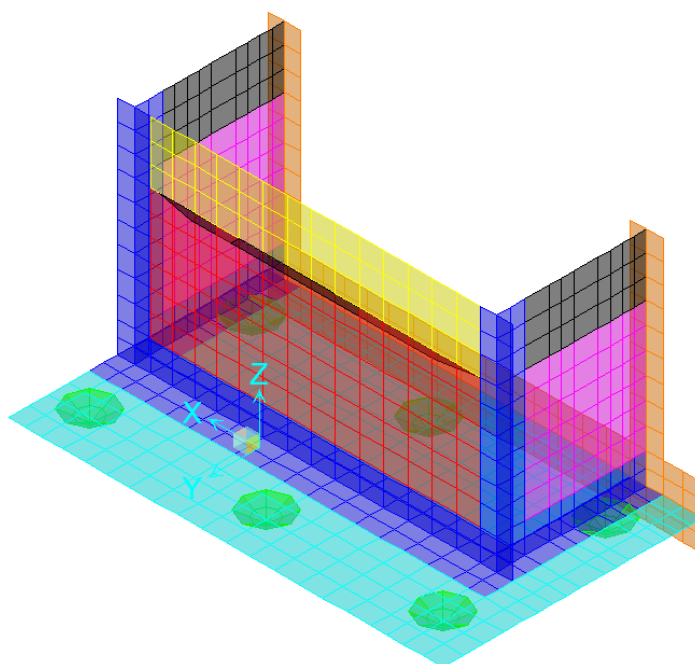


Figura 17 - Modello di calcolo, vista assometrica

Nel modello (per le fasi) si è avuto cura di rimuovere gli elementi non presenti in prima fase e modificare i carichi derivanti dall'impalcato o dalla spalla stessa.

Ai fini dei carichi permanenti derivanti dall'impalcato, si ammette cautelativamente di adottare i carichi derivanti dall'impalcato nelle condizioni finali, ridotti di un coefficiente proporzionale alla porzione di terreno contenuta trasversalmente dalla spalla nelle due fasi ($\sim 8\text{m}/12\text{m} = 0.666$). Tali carichi (permanent) sono applicati in prima fase in asse al binario in esercizio.

Similmente per il modello di prima fase si considerano solo i carichi dei convogli applicati sul primo binario.

Durando le fasi di esercizio provvisorio (transitorio di completamento dell'opera) meno di due anni, si omette l'azione sismica nelle verifiche relative al modello della fase iniziale.

Spalle: Relazione di calcolo

| COMMESSA | LOTTO | CODIFICA | DOCUMENTO | REV. | FOGLIO |
|----------|---------|----------|------------|------|-----------|
| IF26 | 12 E ZZ | CL | VI0204 001 | A | 70 di 158 |

10. ANALISI E VERIFICA SPALLA MOBILE (S1)

10.1 Reazioni globali fase finale

Le reazioni globali agenti ad intradosso fondazione nel riferimento baricentrico dei pali sono:

| RIEPILOGO SCARICHI INTRADOSSO FONDAZIONE BARICENTRO PALI | | | | | | | |
|--|--------------------------------|---------------|--------|--------|----------|--------|---------|
| Condizione | | N | ML | MT | TL | TT | |
| | | [kN] | [kNm] | [kNm] | [kN] | [kN] | |
| CARICHI ELEMENTARI IMPALCATO | Permanenti strutturali | G1 | 4492.7 | 3989.6 | 0.1 | -179.7 | 0.0 |
| | Permanenti NON strutturali | G2 | 1966.7 | 1746.4 | 0.1 | -78.7 | 0.0 |
| | Traffico - 1LM71 | Q1,1a | 1889.4 | 1677.8 | -3929.8 | -75.6 | 0.0 |
| | Traffico - 1SW2 | Q1,1b | 2056.0 | 1825.7 | -4276.4 | -82.2 | 0.0 |
| | Traffico - 2 LM71 | Q1,2a | 3778.7 | 3355.6 | -302.2 | -151.1 | 0.0 |
| | Traffico - 1 LM72 + 1 SW2 | Q1,2b | 3778.7 | 3355.6 | -302.2 | -151.1 | 0.0 |
| | Carico variabile 1 Marciapiede | Qm1 | 192.5 | 170.9 | -1001.0 | -7.7 | 0.0 |
| | Carico variabile 2 Marciapiedi | Qm2 | 385.0 | 341.9 | -38.5 | -15.4 | 0.0 |
| | Carico Avviamento | Qa | 88.9 | 62.2 | 0.0 | 0.0 | 0.0 |
| | Frenatura LM71 | Qf1 | 53.9 | 37.7 | 0.0 | 0.0 | 0.0 |
| | Frenatura SW2 | Qf2 | 85.8 | 60.1 | 0.0 | 0.0 | 0.0 |
| | Serpeggio 1 treno | QS1 | 0.0 | 0.0 | -775.4 | 0.0 | -109.9 |
| | Serpeggio 2 treni | QS2 | 0.0 | 0.0 | -1550.9 | 0.0 | -219.8 |
| | Vento | Qw | 0.0 | 0.0 | -2263.1 | 0.0 | -278.8 |
| | Azioni aerodinamiche 1 treno | Qae1 | 0.0 | 0.0 | -99.2 | 0.0 | -11.1 |
| | Azioni aerodinamiche 2 treni | Qae2 | 0.0 | 0.0 | -198.3 | 0.0 | -22.2 |
| | Sisma Long con 2 LM71 | Elong | 332.1 | 232.5 | 0.0 | 0.0 | 0.0 |
| | Sisma Trasv con 2 LM71 | Etrasv | 0.0 | 0.0 | -13938.9 | 0.0 | -2219.0 |
| | Sisma Vert con 2 LM71 | Evert | 1110.3 | 777.2 | 0.0 | 0.0 | 0.0 |

Spalle: Relazione di calcolo

| | | | | | |
|----------|---------|----------|------------|------|-----------|
| COMMESSA | LOTTO | CODIFICA | DOCUMENTO | REV. | FOGLIO |
| IF26 | 12 E ZZ | CL | VI0204 001 | A | 71 di 158 |

RIEPILOGO SCARICHI INTRADOSSO FONDAZIONE BARICENTRO PALI

| CONDIZIONE | CONDIZIONE | N | ML | MT | TL | TT |
|------------------------------|---------------|-------------|---------|---------|---------|---------|
| | | [kN] | [kNm] | [kNm] | [kN] | [kN] |
| | | p.p. spalla | SP_Gk1 | 6352.4 | -483.2 | -705.6 |
| spalla sisma long | SP_Elong | 0.0 | 3790.9 | 0.1 | -2000.8 | 0.0 |
| spalla sisma trasv | SP_Etrasv | 0.0 | 0.0 | -3789.9 | 0.0 | -1999.6 |
| spalla sisma vert | SP_Evert | 997.3 | -75.9 | -110.8 | 0.0 | 0.0 |
| p.p. rinterro | SP_Gk2 | 3136.8 | -5332.8 | 583.3 | 0.0 | 0.0 |
| rinterro spinta esercizio | SP_Gk2_h | 0.0 | 4016.8 | 0.0 | -2053.4 | 0.0 |
| rinterro sisma long | SP_Gk2_Elong | -0.1 | 14061.0 | 0.1 | -4376.3 | 0.0 |
| rinterro sisma trasv | SP_Gk2_Etrasv | 0.0 | 0.0 | -4077.6 | 0.0 | -1057.1 |
| rinterro sisma vert | SP_Gk2_Evert | 987.0 | -1678.0 | 183.5 | 0.0 | 0.0 |
| permanente | SP_Gk3 | 479.5 | -815.2 | 89.2 | 0.0 | 0.0 |
| permanente spinta esercizio | SP_Gk3_h | 0.0 | 1114.5 | 0.0 | -289.1 | 0.0 |
| accidentale | SP_Qk | 1665.0 | -2830.6 | 309.6 | 0.0 | 0.0 |
| accidentale spinta esercizio | SP_Qk_h | 0.0 | 3873.7 | 0.0 | -1004.7 | 0.0 |

RIEPILOGO SCARICHI INTRADOSSO FONDAZIONE BARICENTRO PALI

| CONDIZIONE | CONDIZIONE | N | ML | MT | TL | TT |
|---------------|------------|----------|---------|----------|---------|---------|
| | | [kN] | [kNm] | [kNm] | [kN] | [kN] |
| | | SLE-rara | 01_SLE1 | 22251.3 | 8958.2 | -3163.3 |
| 02_SLE2 | 22354.6 | | 9030.5 | -2288.7 | -3769.0 | -288.3 |
| 03_SLE3 | 20180.9 | | 7124.8 | -6686.3 | -3687.3 | -288.3 |
| 04_SLE4 | 20347.5 | | 7272.7 | -7032.9 | -3694.0 | -288.3 |
| SLE-frequente | 05_SLS1 | 19922.0 | 7069.4 | -1096.4 | -3301.8 | -145.2 |
| | 06_SLS2 | 19984.0 | 7112.8 | -571.6 | -3301.8 | -72.6 |
| | 07_SLS3 | 19430.4 | 6547.1 | -4269.3 | -3470.0 | -96.8 |
| | 08_SLS4 | 19563.7 | 6665.4 | -4546.6 | -3475.3 | -96.8 |
| SLU | 09_SLU1 | 31474.4 | 12688.9 | -2515.2 | -5568.8 | -351.0 |
| | 10_SLU2 | 31624.1 | 12793.8 | -1247.0 | -5568.8 | -175.5 |
| | 11_SLU3 | 28464.7 | 10023.7 | -7662.1 | -5450.0 | -175.5 |
| | 12_SLU4 | 28706.3 | 10238.2 | -8164.6 | -5459.6 | -175.5 |
| SLV | 13_SLV1 | 18777.2 | 22907.2 | -6551.2 | -9209.1 | -1582.7 |
| | 14_SLV2 | 18544.9 | 10248.1 | -21815.9 | -4745.1 | -5275.6 |
| | 15_SLV3 | 16587.5 | 24059.3 | -6656.8 | -9209.1 | -1582.7 |
| | 16_SLV4 | 16355.1 | 11400.2 | -21921.5 | -4745.1 | -5275.6 |
| GEO | 17_GEO1 | 25397.3 | 10371.3 | -2048.3 | -4788.0 | -302.6 |
| | 18_GEO2 | 25526.5 | 10461.7 | -955.0 | -4788.0 | -151.3 |
| | 19_GEO3 | 22801.7 | 8072.7 | -6490.6 | -4685.6 | -151.3 |

Spalle: Relazione di calcolo

| | | | | | |
|----------|---------|----------|------------|------|-----------|
| COMMESSA | LOTTO | CODIFICA | DOCUMENTO | REV. | FOGLIO |
| IF26 | 12 E ZZ | CL | VI0204 001 | A | 72 di 158 |

| | | | | | | |
|--|---------|---------|--------|---------|---------|--------|
| | 20_GEO4 | 23010.0 | 8257.7 | -6923.8 | -4693.9 | -151.3 |
|--|---------|---------|--------|---------|---------|--------|

10.2 Reazioni globali modello di prima fase

Le reazioni globali agenti ad intradosso fondazione nel riferimento baricentrico (di seconda fase) dei pali sono:

| RIEPILOGO SCARICHI INTRADOSSO FONDAZIONE BARICENTRO PALI | | | | | | | |
|--|--------------------------------|--------|--------|--------|----------|--------|---------|
| Condizione | | N | ML | MT | TL | TT | |
| | | [kN] | [kNm] | [kNm] | [kN] | [kN] | |
| CARICHI ELEMENTARI IMPALCATO | Permanenti strutturali | G1 | 2994.0 | 2658.7 | 5988.0 | -119.8 | 0.0 |
| | Permanenti NON strutturali | G2 | 1310.6 | 1163.8 | 2621.2 | -52.4 | 0.0 |
| | Traffico - 1LM71 | Q1,1a | 1888.6 | 1677.1 | 3626.2 | -75.6 | 0.0 |
| | Traffico - 1SW2 | Q1,1b | 2055.2 | 1825.0 | 3945.9 | -82.2 | 0.0 |
| | Carico variabile 1 Marciapiede | Qm1 | 192.4 | 170.9 | -230.9 | -7.7 | 0.0 |
| | Carico variabile 2 Marciapiedi | Qm2 | 384.8 | 341.7 | 731.2 | -15.4 | 0.0 |
| | Carico Avviamento | Qa | 88.9 | 62.2 | 177.7 | 0.0 | 0.0 |
| | Frenatura LM71 | Qf1 | 53.9 | 37.7 | 107.8 | 0.0 | 0.0 |
| | Frenatura SW2 | Qf2 | 85.8 | 60.0 | 171.5 | 0.0 | 0.0 |
| | Serpeggio 1 treno | QS1 | 0.0 | 0.0 | -775.2 | 0.0 | -109.9 |
| | Vento | Qw | 0.0 | 0.0 | -2262.3 | 0.0 | -278.8 |
| | Azioni aerodinamiche 1 treno | Qae1 | 0.0 | 0.0 | -99.1 | 0.0 | -11.1 |
| | Sisma Long con 2 LM71 | Elong | 331.9 | 232.4 | 663.9 | 0.0 | 0.0 |
| | Sisma Trasv con 2 LM71 | Etrasv | 0.0 | 0.1 | -13933.9 | 0.1 | -2218.9 |
| | Sisma Vert con 2 LM71 | Evert | 1109.8 | 776.9 | 2219.7 | 0.0 | 0.0 |

| RIEPILOGO SCARICHI INTRADOSSO FONDAZIONE BARICENTRO PALI | | | | | | | |
|--|-----------------------------|---------------|--------|---------|---------|---------|---------|
| Condizione | | N | ML | MT | TL | TT | |
| | | [kN] | [kNm] | [kNm] | [kN] | [kN] | |
| CARICHI ELEMENTARI SPALLA | p.p. spalla | SP_Gk1 | 4430.8 | -272.7 | 9604.6 | 0.0 | 0.0 |
| | spalla sisma long | SP_Elong | 0.0 | 2654.9 | -0.1 | -1395.9 | 0.0 |
| | spalla sisma trasv | SP_Etrasv | 0.0 | 0.0 | -2654.4 | 0.0 | -1395.2 |
| | spalla sisma vert | SP_Evert | 695.6 | -42.8 | 1507.9 | 0.0 | 0.0 |
| | p.p. rinterro | SP_Gk2 | 2297.5 | -3905.7 | 4330.9 | 0.0 | 0.0 |
| | rinterro spinta esercizio | SP_Gk2_h | 0.0 | 2817.4 | -0.1 | -1434.3 | 0.0 |
| | rinterro sisma long | SP_Gk2_Elong | 0.1 | 10160.2 | -0.2 | -3141.4 | 0.0 |
| | rinterro sisma trasv | SP_Gk2_Etrasv | 0.0 | 0.1 | -2854.5 | 0.0 | -740.2 |
| | rinterro sisma vert | SP_Gk2_Evert | 722.9 | -1228.9 | 1362.7 | 0.0 | 0.0 |
| | permanente | SP_Gk3 | 351.2 | -597.1 | 662.1 | 0.0 | 0.0 |
| | permanente spinta esercizio | SP_Gk3_h | 0.0 | 816.3 | 0.0 | -211.8 | 0.0 |

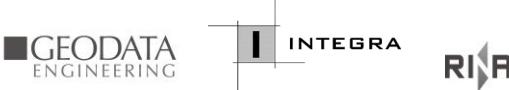
Spalle: Relazione di calcolo

| COMMESSA | LOTTO | CODIFICA | DOCUMENTO | REV. | FOGLIO |
|----------|---------|----------|------------|------|-----------|
| IF26 | 12 E ZZ | CL | VI0204 001 | A | 73 di 158 |

| | | | | | | |
|------------------------------|---------|--------|---------|--------|--------|-----|
| accidentale | SP_Qk | 1219.5 | -2073.1 | 2298.8 | 0.0 | 0.0 |
| accidentale spinta esercizio | SP_Qk_h | 0.0 | 2837.2 | 0.0 | -736.1 | 0.0 |

RIEPILOGO SCARICHI INTRADOSSO FONDAZIONE BARICENTRO PALI

| Condizione | | N | ML | MT | TL | TT |
|---------------|---------|---------|---------|---------|---------|---------|
| | | [kN] | [kNm] | [kNm] | [kN] | [kN] |
| SLE-rara | 01_SLE1 | 12982.9 | 3768.4 | 24875.8 | -2566.7 | -167.3 |
| | 02_SLE2 | 13086.2 | 3840.7 | 25082.3 | -2566.7 | -167.3 |
| | 03_SLE3 | 14690.7 | 5290.0 | 26804.2 | -2636.1 | -288.3 |
| | 04_SLE4 | 14857.2 | 5437.9 | 27123.9 | -2642.8 | -288.3 |
| SLE-frequente | 05_SLS1 | 12343.4 | 3333.4 | 25022.6 | -2267.3 | 0.0 |
| | 06_SLS2 | 12405.3 | 3376.8 | 25146.5 | -2267.3 | 0.0 |
| | 07_SLS3 | 14029.4 | 4768.2 | 27170.6 | -2472.5 | -96.8 |
| | 08_SLS4 | 14162.6 | 4886.5 | 27426.3 | -2477.9 | -96.8 |
| SLU | 09_SLU1 | 18296.1 | 5254.0 | 36888.8 | -3795.3 | 0.0 |
| | 10_SLU2 | 18445.8 | 5358.8 | 37188.3 | -3795.3 | 0.0 |
| | 11_SLU3 | 20764.6 | 7453.5 | 39646.5 | -3895.6 | -175.5 |
| | 12_SLU4 | 21006.1 | 7667.9 | 40110.0 | -3905.3 | -175.5 |
| SLV | 13_SLV1 | 12718.6 | 15732.8 | 20024.4 | -6502.8 | -1306.3 |
| | 14_SLV2 | 12486.2 | 6599.6 | 5949.8 | -3326.7 | -4354.3 |
| | 15_SLV3 | 10957.7 | 15876.9 | 16510.5 | -6355.5 | -1306.3 |
| | 16_SLV4 | 10725.2 | 6743.7 | 2435.9 | -3179.5 | -4354.3 |
| GEO | 17_GEO1 | 14585.8 | 4142.4 | 29303.3 | -3264.0 | 0.0 |
| | 18_GEO2 | 14714.9 | 4232.7 | 29561.4 | -3264.0 | 0.0 |
| | 19_GEO3 | 16712.8 | 6037.6 | 31675.3 | -3350.4 | -151.3 |
| | 20_GEO4 | 16921.0 | 6222.4 | 32074.9 | -3358.7 | -151.3 |

| | | | | | | |
|---|--|------------------|----------------|-------------------------|-----------|---------------------|
|  | ITINERARIO NAPOLI – BARI RADDOPPIO TRATTA CANCELLO-BENEVENTO II LOTTO FUNZIONALE FRASSO TELESINO – VITULANO 1° LOTTO FUNZIONALE FRASSO TELESINO – TELESE PROGETTO ESECUTIVO | | | | | |
| Spalle: Relazione di calcolo | COMMESSA IF26 | LOTTO 12 E ZZ | CODIFICA CL | DOCUMENTO VI0204 001 | REV. A | FOGLIO 74 di 158 |

10.3 Diagrammi di sollecitazione fase finale

Le massime sollecitazioni flessionali agenti sugli elementi lastra-piastra sono:

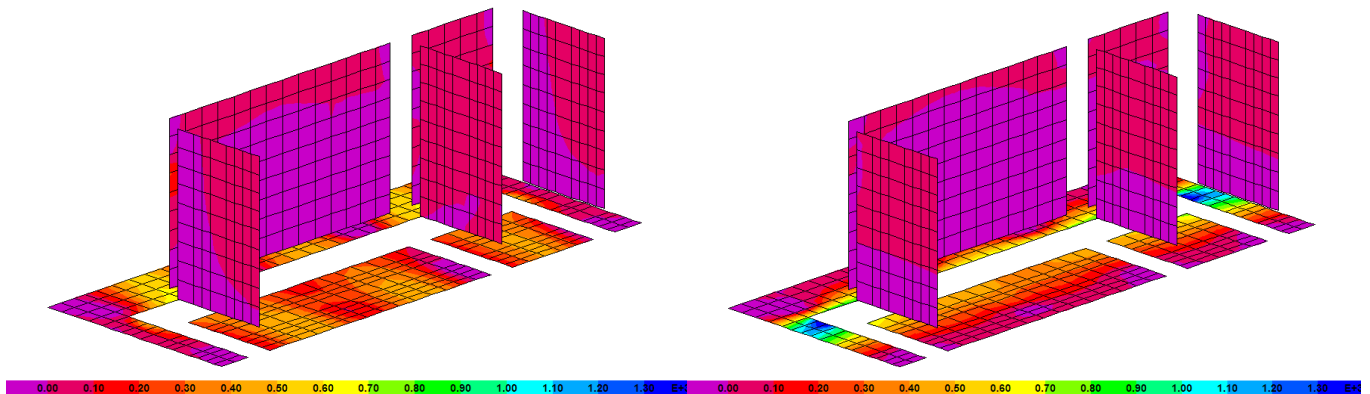


Figura 18 - involucro massimi positivi: direzione 1-1 (sx), direzione 2-2 (dz) – kNm/m

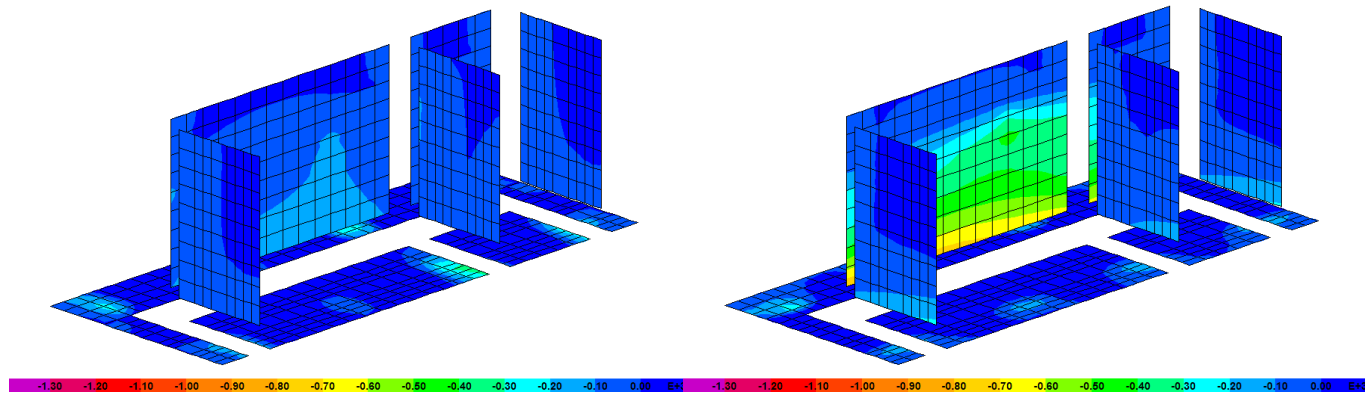


Figura 19 - involucro massimi negativi: direzione 1-1 (sx), direzione 2-2 (dz) – kNm/m

Sono positivi i momenti che tendono le fibre di intradosso della fondazione, e negativi i momenti che tendono le fibre contro terra dei muri (lato rinterro). Gli assi locali degli elementi lastra-piastra seguono la seguente convenzione: 1 rosso, 2 nero, 3 ciano.

| | | | | | | |
|---|--|------------------|------------------|----------------|-------------------------|-----------|
|    | ITINERARIO NAPOLI – BARI RADDOPPIO TRATTA CANCELLO-BENEVENTO II LOTTO FUNZIONALE FRASSO TELESINO – VITULANO 1° LOTTO FUNZIONALE FRASSO TELESINO – TELESE PROGETTO ESECUTIVO | | | | | |
| | Spalle: Relazione di calcolo | COMMESSA IF26 | LOTTO 12 E ZZ | CODIFICA CL | DOCUMENTO VI0204 001 | REV. A |

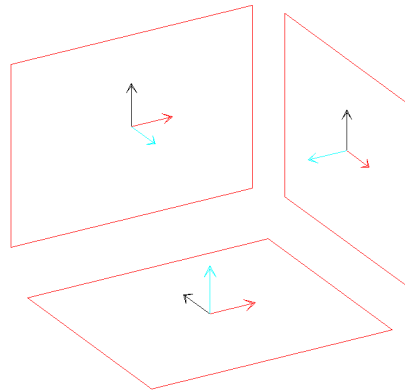


Figura 20 - assi locali elementi lastra-piastra

10.4 Diagrammi di sollecitazione modello di prima fase

Le massime sollecitazione flessionali agenti sugli elementi lastra-piastra sono:

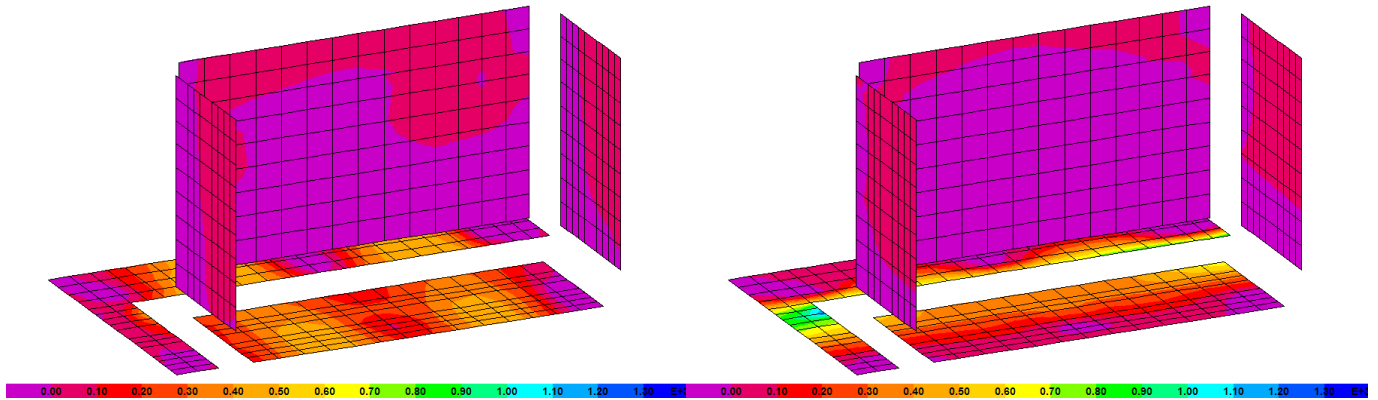


Figura 21 - involucro massimi positivi: direzione 1-1 (sx), direzione 2-2 (dz) – kNm/m

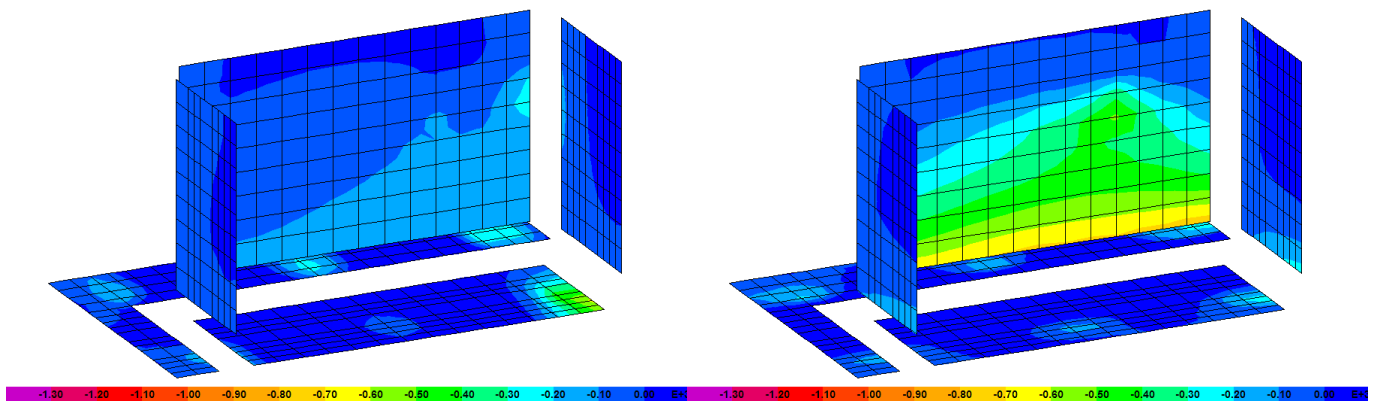


Figura 22 - involucro massimi negativi: direzione 1-1 (sx), direzione 2-2 (dz) – kNm/m

|    | ITINERARIO NAPOLI – BARI RADDOPPIO TRATTA CANCELLO-BENEVENTO II LOTTO FUNZIONALE FRASSO TELESINO – VITULANO 1° LOTTO FUNZIONALE FRASSO TELESINO – TELESE PROGETTO ESECUTIVO | | | | | | | | | | | | |
|---|--|----------|------------|----------|-----------|------|--------|------|---------|----|------------|---|-----------|
| Spalle: Relazione di calcolo | <table border="1"> <thead> <tr> <th>COMMESSA</th> <th>LOTTO</th> <th>CODIFICA</th> <th>DOCUMENTO</th> <th>REV.</th> <th>FOGLIO</th> </tr> </thead> <tbody> <tr> <td>IF26</td> <td>12 E ZZ</td> <td>CL</td> <td>VI0204 001</td> <td>A</td> <td>76 di 158</td> </tr> </tbody> </table> | COMMESSA | LOTTO | CODIFICA | DOCUMENTO | REV. | FOGLIO | IF26 | 12 E ZZ | CL | VI0204 001 | A | 76 di 158 |
| COMMESSA | LOTTO | CODIFICA | DOCUMENTO | REV. | FOGLIO | | | | | | | | |
| IF26 | 12 E ZZ | CL | VI0204 001 | A | 76 di 158 | | | | | | | | |

10.5 Verifiche a flessione e taglio dei muri e della fondazione

Per ciascuna sezione di verifica si riportano le tabelle con le sollecitazioni ottenute dal modello di calcolo descritto nei paragrafi precedenti.

In ciascuna tabella si riportano altresì le tensioni di calcolo per le verifiche agli stati limite di esercizio ed i coefficienti di sicurezza per le verifiche agli stati limite ultimi. Per le combinazioni per le quali è richiesta la verifica a fessurazione si riporta la massima tensione di trazione elastica nel calcestruzzo, qualora questa sia inferiore al limite di $f_{ctm}/1.2$ risulta soddisfatta la verifica di non formazione delle fessure, viceversa si procede con il calcolo dell'ampiezza delle fessure.

Diversamente dalla convenzione del programma di calcolo, sono positivi gli sforzi normali di compressione e negativi quelli di trazione. Tutte le sollecitazioni degli elementi lastra/piastra e le relative verifiche sono sviluppate per unità di lunghezza.

Quando la sezione di verifica esiste sia in fase finale sia in prima fase, si riportano entrambe le verifiche utilizzando le sollecitazioni derivanti dai rispettivi modelli di calcolo.

Spalle: Relazione di calcolo

| | | | | | |
|----------|---------|----------|------------|------|-----------|
| COMMESSA | LOTTO | CODIFICA | DOCUMENTO | REV. | FOGLIO |
| IF26 | 12 E ZZ | CL | VI0204 001 | A | 77 di 158 |

10.5.1 Muro frontale

Le verifiche sono riferite alla sezione di spiccato.

| | | | | | |
|----------------|---------------|----------|---------------|--------|----------------|
| muro frontale | H | 1400 | elem. | M12-31 | modello |
| | tesa | fi24/100 | direz. | 2-2 | FINALE |
| arm. verticali | compr. | fi24/200 | | | |

Verifica tensioni in esercizio

| Combo | | N [kN] | M [kNm] | V [kN] | σ_{cls} | σ_{acc} | |
|----------|---------|--------|---------|--------|----------------|----------------|--------------------|
| SLE-rara | 01_SLE1 | 669 | -469 | -177 | 2.13 | -29.4 | |
| | 02_SLE2 | 680 | -472 | -178 | 2.14 | -29.1 | |
| | 03_SLE3 | 506 | -416 | -167 | 1.89 | -31.7 | |
| | 04_SLE4 | 514 | -420 | -168 | 1.91 | -31.8 | $\sigma_{traz,el}$ |
| SLE-freq | 05_SLS1 | 586 | -397 | -151 | 1.80 | -23.7 | -0.65 |
| | 06_SLS2 | 592 | -399 | -152 | 1.81 | -23.5 | -0.65 |
| | 07_SLS3 | 501 | -391 | -157 | 1.78 | -28.1 | -0.69 |
| | 08_SLS4 | 507 | -394 | -157 | 1.79 | -28.1 | -0.69 |
| | | | | [MPa] | 2.14 | -31.8 | -0.69 |

Resistenza a flessione

| | | N [kN] | M [kNm] | V [kN] | CS_M |
|-----|---------|--------|---------|--------|-------------|
| SLU | 09_SLU1 | 945 | -677 | -260 | 4.13 |
| | 10_SLU2 | 961 | -681 | -261 | 4.12 |
| | 11_SLU3 | 708 | -600 | -246 | 4.44 |
| | 12_SLU4 | 719 | -605 | -246 | 4.41 |
| SLV | 13_SLV1 | 529 | -586 | -308 | 4.36 |
| | 14_SLV2 | 424 | -393 | -169 | 6.35 |
| | 15_SLV3 | 499 | -556 | -302 | 4.57 |
| | 16_SLV4 | 394 | -362 | -163 | 6.84 |
| | | | | | 4.12 |

Resistenza a taglio

| | | | | |
|-------------|-----|----------------|------|--|
| | | ctg θ | 2.50 | $1.0 \leq \dots \leq 2.5$ |
| ϕ [mm] | 12 | V_{Rcd} [kN] | 3270 | $0.9 b_w d \alpha_c f'_{cd} ctg / (1 + ctg^2)$ |
| s_1 [mm] | 400 | V_{Rsd} [kN] | 826 | $A_s / s f_{yd} 0.9 d ctg$ |
| s_2 [mm] | 400 | V_R [kN] | 826 | $\min(V_{Rcd}, V_{Rsd})$ |
| | | V_E [kN] | 308 | CS_V 2.68 |

Spalle: Relazione di calcolo

| | | | | | |
|----------|---------|----------|------------|------|-----------|
| COMMESSA | LOTTO | CODIFICA | DOCUMENTO | REV. | FOGLIO |
| IF26 | 12 E ZZ | CL | VI0204 001 | A | 78 di 158 |

| | | | | | |
|----------------|---------------|----------|---------------|--------|----------------|
| muro frontale | H | 1400 | elem. | M12-31 | modello |
| | tesa | fi24/100 | direz. | 2-2 | |
| arm. verticali | compr. | fi24/200 | | | INIZIALE |

Verifica tensioni in esercizio

| Combo | | N [kN] | M [kNm] | V [kN] | σ_{cls} | σ_{acc} | |
|----------|---------|--------|---------|--------|----------------|----------------|--------------------|
| SLE-rara | 01_SLE1 | 329 | -381 | -163 | 1.72 | -39.0 | |
| | 02_SLE2 | 337 | -384 | -163 | 1.74 | -38.9 | |
| | 03_SLE3 | 458 | -438 | -169 | 1.99 | -38.8 | |
| | 04_SLE4 | 471 | -444 | -170 | 2.02 | -38.7 | $\sigma_{traz,el}$ |
| SLE-freq | 05_SLS1 | 335 | -343 | -141 | 1.56 | -32.1 | -0.67 |
| | 06_SLS2 | 340 | -344 | -142 | 1.56 | -32.1 | -0.67 |
| | 07_SLS3 | 437 | -408 | -158 | 1.86 | -35.4 | -0.77 |
| | 08_SLS4 | 447 | -413 | -158 | 1.88 | -35.3 | -0.78 |
| | | | | [MPa] | 2.02 | -39.0 | -0.78 |

Resistenza a flessione

| | | N [kN] | M [kNm] | V [kN] | CS_M |
|-----|---------|--------|---------|--------|-------------|
| SLU | 09_SLU1 | 452 | -549 | -239 | 4.57 |
| | 10_SLU2 | 464 | -554 | -239 | 4.55 |
| | 11_SLU3 | 638 | -633 | -249 | 4.14 |
| | 12_SLU4 | 657 | -641 | -250 | 4.10 |
| | | | | | 4.10 |

Resistenza a taglio

| | | | | | |
|-------------|-----|----------------|------|--|-------------|
| | | ctg θ | 2.50 | $1.0 \leq \dots \leq 2.5$ | |
| ϕ [mm] | 12 | V_{Rcd} [kN] | 3270 | $0.9 b_w d \alpha_c f'_{cd} ctg / (1 + ctg^2)$ | |
| s_1 [mm] | 400 | V_{Rsd} [kN] | 826 | $A_s / s f_{yd} 0.9 d ctg$ | |
| s_2 [mm] | 400 | V_R [kN] | 826 | $\min(V_{Rcd}, V_{Rsd})$ | |
| | | V_E [kN] | 250 | CS_V | 3.31 |

Spalle: Relazione di calcolo

| | | | | | |
|----------|---------|----------|------------|------|-----------|
| COMMESSA | LOTTO | CODIFICA | DOCUMENTO | REV. | FOGLIO |
| IF26 | 12 E ZZ | CL | VI0204 001 | A | 79 di 158 |

Le verifiche sono riferite alla sezione d'angolo con muri andatori.

| | | | | | |
|------------------|---------------|----------|---------------|--------|----------------|
| muro frontale | H | 1400 | elem. | M16-30 | modello |
| | tesa | fi18/200 | direz. | 1-1 | FINALE |
| arm. orizzontali | compr. | fi18/200 | | | |

Verifica tensioni in esercizio

| Combo | | N [kN] | M [kNm] | V [kN] | σ_{cls} | σ_{acc} | | |
|----------|---------|--------|---------|--------|----------------|----------------|--------------------|--------------|
| SLE-rara | 01_SLE1 | 165 | -71 | -6 | 0.36 | -2.6 | | |
| | 02_SLE2 | 165 | -72 | -5 | 0.37 | -2.8 | | |
| | 03_SLE3 | 153 | -79 | -6 | 0.43 | -5.6 | | |
| | 04_SLE4 | 157 | -77 | -8 | 0.40 | -4.5 | | |
| SLE-freq | 05_SLS1 | 144 | -59 | -7 | 0.30 | -1.8 | $\sigma_{traz,el}$ | |
| | 06_SLS2 | 143 | -60 | -6 | 0.30 | -2.0 | -0.07 | |
| | 07_SLS3 | 142 | -73 | -5 | 0.39 | -4.9 | -0.11 | |
| | 08_SLS4 | 146 | -71 | -6 | 0.37 | -4.0 | -0.10 | |
| | | | | | [MPa] | 0.43 | -5.6 | -0.11 |

Resistenza a flessione

| | | N [kN] | M [kNm] | V [kN] | CS_M |
|-----|---------|--------|---------|--------|-------------|
| SLU | 09_SLU1 | 226 | -114 | -2 | 6.91 |
| | 10_SLU2 | 225 | -115 | -1 | 6.83 |
| | 11_SLU3 | 208 | -126 | -2 | 6.15 |
| | 12_SLU4 | 214 | -123 | -4 | 6.37 |
| SLV | 13_SLV1 | 130 | 134 | -46 | 5.44 |
| | 14_SLV2 | 89 | -101 | -5 | 6.97 |
| | 15_SLV3 | 109 | 138 | -38 | 5.20 |
| | 16_SLV4 | 67 | -97 | 3 | 7.08 |
| | | | | | 5.20 |

Resistenza a taglio

| | | | | |
|-------------|-----|----------------|------|--|
| | | ctg θ | 2.50 | $1.0 \leq \dots \leq 2.5$ |
| ϕ [mm] | 12 | V_{Rcd} [kN] | 3277 | $0.9 b_w d \alpha_c f'_{cd} ctg / (1 + ctg^2)$ |
| s_1 [mm] | 400 | V_{Rsd} [kN] | 828 | $A_s / s f_{yd} 0.9 d ctg$ |
| s_2 [mm] | 400 | V_R [kN] | 828 | $\min(V_{Rcd}, V_{Rsd})$ |
| | | V_E [kN] | 46 | CS_V 17.94 |

Spalle: Relazione di calcolo

| | | | | | |
|----------|---------|----------|------------|------|-----------|
| COMMESSA | LOTTO | CODIFICA | DOCUMENTO | REV. | FOGLIO |
| IF26 | 12 E ZZ | CL | VI0204 001 | A | 80 di 158 |

Le verifiche sono riferite alla sezione d'angolo con il muro andatore interno.

| | | | | | |
|-----------------------|---------------|----------|---------------|--------|----------------|
| muro frontale interno | H | 1400 | elem. | M13-24 | modello |
| | tesa | fi18/200 | direz. | 1-1 | FINALE |
| arm. orizzontali | compr. | fi18/200 | | | |

Verifica tensioni in esercizio

| Combo | | N [kN] | M [kNm] | V [kN] | σ_{cls} | σ_{acc} | | |
|----------|---------|--------|---------|--------|----------------|----------------|------------|-------------|
| SLE-rara | 01_SLE1 | 283 | -37 | -28 | 0.30 | 1.5 | | |
| | 02_SLE2 | 284 | -38 | -28 | 0.31 | 1.5 | | |
| | 03_SLE3 | 247 | -30 | -22 | 0.26 | 1.4 | | |
| | 04_SLE4 | 252 | -31 | -22 | 0.26 | 1.4 | | |
| SLE-freq | 05_SLS1 | 241 | -31 | -22 | 0.26 | 1.3 | | |
| | 06_SLS2 | 242 | -32 | -23 | 0.26 | 1.3 | | |
| | 07_SLS3 | 232 | -29 | -21 | 0.24 | 1.3 | | |
| | 08_SLS4 | 236 | -29 | -21 | 0.25 | 1.3 | | |
| | | | | | [MPa] | 0.31 | 1.3 | 0.08 |

Resistenza a flessione

| | | N [kN] | M [kNm] | V [kN] | CS_M |
|-----|---------|--------|---------|--------|--------------|
| SLU | 09_SLU1 | 396 | -53 | -39 | 16.86 |
| | 10_SLU2 | 397 | -54 | -40 | 16.71 |
| | 11_SLU3 | 344 | -43 | -31 | 20.30 |
| | 12_SLU4 | 352 | -43 | -32 | 20.04 |
| SLV | 13_SLV1 | 213 | -33 | -14 | 23.34 |
| | 14_SLV2 | 159 | -26 | -28 | 29.14 |
| | 15_SLV3 | 188 | -31 | -13 | 24.53 |
| | 16_SLV4 | 134 | -23 | -26 | 31.28 |
| | | | | | 16.71 |

Resistenza a taglio

| | | | | |
|-------------|-----|----------------|------|--|
| | | ctg θ | 2.50 | $1.0 \leq \dots \leq 2.5$ |
| ϕ [mm] | 12 | V_{Rcd} [kN] | 3277 | $0.9 b_w d \alpha_c f'_{cd} ctg / (1 + ctg^2)$ |
| s_1 [mm] | 400 | V_{Rsd} [kN] | 828 | $A_s / s f_{yd} 0.9 d ctg$ |
| s_2 [mm] | 400 | V_R [kN] | 828 | $\min(V_{Rcd}, V_{Rsd})$ |
| | | V_E [kN] | 40 | CS_V 20.96 |

Spalle: Relazione di calcolo

| | | | | | |
|----------|---------|----------|------------|------|-----------|
| COMMESSA | LOTTO | CODIFICA | DOCUMENTO | REV. | FOGLIO |
| IF26 | 12 E ZZ | CL | VI0204 001 | A | 81 di 158 |

| | | | | | |
|-----------------------|---------------|----------|---------------|--------|----------------|
| muro frontale interno | H | 1400 | elem. | M13-24 | modello |
| | tesa | fi18/200 | direz. | 1-1 | |
| arm. orizzontali | compr. | fi18/200 | | | |

Verifica tensioni in esercizio

| Combo | | N [kN] | M [kNm] | V [kN] | σ_{cls} | σ_{acc} | |
|----------|---------|--------|---------|--------|----------------|----------------|--------------------|
| SLE-rara | 01_SLE1 | 119 | -106 | -83 | 0.71 | -24.9 | |
| | 02_SLE2 | 123 | -106 | -85 | 0.70 | -23.6 | |
| | 03_SLE3 | 206 | -90 | -115 | 0.46 | -3.5 | |
| | 04_SLE4 | 212 | -88 | -119 | 0.45 | -2.9 | $\sigma_{traz,el}$ |
| SLE-freq | 05_SLS1 | 123 | -85 | -80 | 0.52 | -12.7 | -0.16 |
| | 06_SLS2 | 125 | -85 | -81 | 0.51 | -12.1 | -0.16 |
| | 07_SLS3 | 182 | -84 | -107 | 0.43 | -3.9 | -0.11 |
| | 08_SLS4 | 187 | -83 | -109 | 0.42 | -3.3 | -0.11 |
| | | | | [MPa] | 0.71 | -24.9 | -0.16 |

Resistenza a flessione

| | | N [kN] | M [kNm] | V [kN] | CS_M |
|-----|---------|--------|---------|--------|-------------|
| SLU | 09_SLU1 | 136 | -162 | -113 | 4.53 |
| | 10_SLU2 | 142 | -161 | -116 | 4.57 |
| | 11_SLU3 | 261 | -138 | -160 | 5.89 |
| | 12_SLU4 | 271 | -136 | -165 | 6.02 |
| | | | | | 4.53 |

Resistenza a taglio

| | | | | | |
|-------------|-----|----------------|------|--|-------------|
| | | ctg θ | 2.50 | $1.0 \leq \dots \leq 2.5$ | |
| ϕ [mm] | 12 | V_{Rcd} [kN] | 3277 | $0.9 b_w d \alpha_c f'_{cd} ctg / (1 + ctg^2)$ | |
| s_1 [mm] | 400 | V_{Rsd} [kN] | 828 | $A_s / s f_{yd} 0.9 d ctg$ | |
| s_2 [mm] | 400 | V_R [kN] | 828 | $\min(V_{Rcd}, V_{Rsd})$ | |
| | | V_E [kN] | 165 | CS_V | 5.02 |

Spalle: Relazione di calcolo

| | | | | | |
|----------|---------|----------|------------|------|-----------|
| COMMESSA | LOTTO | CODIFICA | DOCUMENTO | REV. | FOGLIO |
| IF26 | 12 E ZZ | CL | VI0204 001 | A | 82 di 158 |

10.5.2 Paraghiaia

Le verifiche sono riferite alla sezione di spiccato sul muro frontale.

| | | | | | |
|----------------|---------------|----------|---------------|-------|----------------|
| paraghiaia | H | 400 | elem. | P3-28 | modello |
| | tesa | fi24/200 | direz. | 2-2 | FINALE |
| arm. verticali | compr. | fi20/200 | | | |

Verifica tensioni in esercizio

| Combo | | N [kN] | M [kNm] | V [kN] | σ_{cls} | σ_{acc} | |
|----------|---------|--------|---------|--------|----------------|----------------|--------------------|
| SLE-rara | 01_SLE1 | 5 | -17 | -35 | 0.92 | -25.3 | |
| | 02_SLE2 | 5 | -17 | -35 | 0.92 | -25.2 | |
| | 03_SLE3 | -2 | -18 | -35 | 0.95 | -27.7 | |
| | 04_SLE4 | -3 | -18 | -35 | 0.95 | -27.8 | $\sigma_{traz,el}$ |
| SLE-freq | 05_SLS1 | 8 | -12 | -26 | 0.66 | -16.8 | -0.36 |
| | 06_SLS2 | 8 | -12 | -26 | 0.66 | -16.7 | -0.36 |
| | 07_SLS3 | 2 | -15 | -30 | 0.81 | -22.8 | -0.47 |
| | 08_SLS4 | 1 | -15 | -30 | 0.81 | -22.9 | -0.47 |
| [MPa] | | | | | 0.95 | -27.8 | -0.47 |

Resistenza a flessione

| | | N [kN] | M [kNm] | V [kN] | CS_M |
|-----|---------|--------|---------|--------|-------------|
| SLU | 09_SLU1 | 7 | -25 | -51 | 10.58 |
| | 10_SLU2 | 8 | -25 | -51 | 10.60 |
| | 11_SLU3 | -2 | -26 | -51 | 10.17 |
| | 12_SLU4 | -3 | -26 | -51 | 10.19 |
| SLV | 13_SLV1 | 6 | -50 | -88 | 5.32 |
| | 14_SLV2 | 0 | -17 | -39 | 15.28 |
| | 15_SLV3 | 4 | -50 | -88 | 5.29 |
| | 16_SLV4 | -2 | -17 | -39 | 15.11 |
| | | | | | 5.29 |

Resistenza a taglio

| | | | | |
|-------------|-----|----------------|------|--|
| | | ctg θ | 2.50 | $1.0 \leq \dots \leq 2.5$ |
| ϕ [mm] | 12 | V_{Rcd} [kN] | 808 | $0.9 b_w d \alpha_c f'_{cd} ctg / (1 + ctg^2)$ |
| s_1 [mm] | 400 | V_{Rsd} [kN] | 204 | $A_s / s f_{yd} 0.9 d ctg$ |
| s_2 [mm] | 400 | V_R [kN] | 204 | $\min (V_{Rcd}, V_{Rsd})$ |
| | | V_E [kN] | 88 | CS_V 2.31 |

Spalle: Relazione di calcolo

| | | | | | |
|----------|---------|----------|------------|------|-----------|
| COMMESSA | LOTTO | CODIFICA | DOCUMENTO | REV. | FOGLIO |
| IF26 | 12 E ZZ | CL | VI0204 001 | A | 83 di 158 |

| | | | | | |
|----------------|---------------|----------|---------------|-------|----------------|
| paraghiaia | H | 400 | elem. | P3-28 | modello |
| | tesa | fi24/200 | direz. | 2-2 | |
| arm. verticali | compr. | fi20/200 | | | |

Verifica tensioni in esercizio

| Combo | N [kN] | M [kNm] | V [kN] | σ_{cls} | σ_{acc} | | |
|----------|---------|---------|--------|----------------|----------------|--------------|--------------------|
| SLE-rara | 01_SLE1 | -19 | -14 | -35 | 0.70 | -25.4 | |
| | 02_SLE2 | -19 | -14 | -35 | 0.70 | -25.4 | |
| | 03_SLE3 | -32 | -12 | -35 | 0.60 | -26.2 | |
| | 04_SLE4 | -32 | -12 | -35 | 0.59 | -26.2 | $\sigma_{traz,el}$ |
| SLE-freq | 05_SLS1 | -14 | -9 | -26 | 0.45 | -16.9 | -0.31 |
| | 06_SLS2 | -14 | -9 | -26 | 0.45 | -16.9 | -0.31 |
| | 07_SLS3 | -25 | -10 | -30 | 0.50 | -21.4 | -0.37 |
| | 08_SLS4 | -26 | -10 | -30 | 0.49 | -21.4 | -0.37 |
| | | | [MPa] | 0.70 | -26.2 | -0.37 | |

Resistenza a flessione

| | N [kN] | M [kNm] | V [kN] | CS_M | |
|-----|---------|---------|--------|--------------|-------|
| SLU | 09_SLU1 | -24 | -20 | -51 | 13.02 |
| | 10_SLU2 | -24 | -20 | -51 | 13.08 |
| | 11_SLU3 | -42 | -18 | -51 | 14.32 |
| | 12_SLU4 | -43 | -18 | -51 | 14.48 |
| | | | | 13.02 | |

Resistenza a taglio

| | | | | |
|-------------|--------------|----------------|---------------------------|--|
| | ctg θ | 2.50 | $1.0 \leq \dots \leq 2.5$ | |
| ϕ [mm] | 12 | V_{Rcd} [kN] | 808 | $0.9 b_w d \alpha_c f'_{cd} ctg / (1 + ctg^2)$ |
| s_1 [mm] | 400 | V_{Rsd} [kN] | 204 | $A_s / s f_{yd} 0.9 d ctg$ |
| s_2 [mm] | 400 | V_R [kN] | 204 | $\min(V_{Rcd}, V_{Rsd})$ |
| | | V_E [kN] | 51 | CS_V 4.03 |

Spalle: Relazione di calcolo

| | | | | | |
|----------|---------|----------|------------|------|-----------|
| COMMESSA | LOTTO | CODIFICA | DOCUMENTO | REV. | FOGLIO |
| IF26 | 12 E ZZ | CL | VI0204 001 | A | 84 di 158 |

Le verifiche sono riferite alla sezione d'angolo con muri andatori.

| | | | | | |
|------------------|---------------|----------|---------------|-------|----------------|
| paraghiaia | H | 400 | elem. | P7-13 | modello |
| | tesa | fi18/200 | direz. | 1-1 | FINALE |
| arm. orizzontali | compr. | fi18/200 | | | |

Verifica tensioni in esercizio

| Combo | | N [kN] | M [kNm] | V [kN] | σ_{cls} | σ_{acc} | |
|----------|---------|--------|---------|--------|----------------|----------------|--------------------|
| SLE-rara | 01_SLE1 | 22 | 0 | 3 | 0.07 | 0.6 | |
| | 02_SLE2 | 22 | 0 | 3 | 0.06 | 0.6 | |
| | 03_SLE3 | 20 | -1 | 4 | 0.09 | 0.3 | |
| | 04_SLE4 | 21 | -1 | 3 | 0.09 | 0.3 | $\sigma_{traz,el}$ |
| SLE-freq | 05_SLS1 | 21 | 0 | 2 | 0.06 | 0.6 | 0.04 |
| | 06_SLS2 | 21 | 0 | 3 | 0.06 | 0.6 | 0.04 |
| | 07_SLS3 | 20 | -1 | 3 | 0.08 | 0.3 | 0.01 |
| | 08_SLS4 | 20 | -1 | 3 | 0.08 | 0.4 | 0.01 |
| [MPa] | | | | | 0.09 | 0.3 | 0.01 |

Resistenza a flessione

| | | N [kN] | M [kNm] | V [kN] | CS_M |
|-----|---------|--------|---------|--------|--------------|
| SLU | 09_SLU1 | 29 | -1 | 5 | 190.60 |
| | 10_SLU2 | 29 | -1 | 5 | 206.41 |
| | 11_SLU3 | 26 | -2 | 6 | 79.65 |
| | 12_SLU4 | 27 | -2 | 6 | 83.20 |
| SLV | 13_SLV1 | 18 | 4 | -12 | 41.96 |
| | 14_SLV2 | -1 | -3 | 4 | 63.06 |
| | 15_SLV3 | 13 | 4 | -12 | 38.52 |
| | 16_SLV4 | -6 | -2 | 4 | 72.03 |
| | | | | | 38.52 |

Resistenza a taglio

| | | | | |
|-------------|-----|----------------|------|--|
| | | ctg θ | 2.50 | $1.0 \leq \dots \leq 2.5$ |
| ϕ [mm] | 12 | V_{Rcd} [kN] | 815 | $0.9 b_w d \alpha_c f'_{cd} ctg / (1 + ctg^2)$ |
| s_1 [mm] | 400 | V_{Rsd} [kN] | 206 | $A_s / s f_{yd} 0.9 d ctg$ |
| s_2 [mm] | 400 | V_R [kN] | 206 | $\min(V_{Rcd}, V_{Rsd})$ |
| | | V_E [kN] | 12 | CS_V |
| | | | | 17.16 |

Spalle: Relazione di calcolo

| | | | | | |
|----------|---------|----------|------------|------|-----------|
| COMMESSA | LOTTO | CODIFICA | DOCUMENTO | REV. | FOGLIO |
| IF26 | 12 E ZZ | CL | VI0204 001 | A | 85 di 158 |

Le verifiche sono riferite alla sezione d'angolo con il muro andatore interno.

| | | | | | |
|-------------------|---------------|----------|---------------|-------|----------------|
| paraghaia interno | H | 400 | elem. | P4-12 | modello |
| | tesa | fi18/200 | direz. | 1-1 | FINALE |
| arm. orizzontali | compr. | fi18/200 | | | |

Verifica tensioni in esercizio

| Combo | | N [kN] | M [kNm] | V [kN] | σ_{cls} | σ_{acc} | |
|----------|---------|--------|---------|--------|----------------|----------------|--------------------|
| SLE-rara | 01_SLE1 | 144 | -4 | 41 | 0.47 | 3.5 | |
| | 02_SLE2 | 145 | -4 | 41 | 0.47 | 3.6 | |
| | 03_SLE3 | 122 | -4 | 39 | 0.40 | 3.0 | |
| | 04_SLE4 | 124 | -4 | 39 | 0.40 | 3.0 | $\sigma_{traz,el}$ |
| SLE-freq | 05_SLS1 | 128 | -3 | 32 | 0.41 | 3.3 | 0.18 |
| | 06_SLS2 | 129 | -3 | 32 | 0.41 | 3.3 | 0.18 |
| | 07_SLS3 | 119 | -3 | 35 | 0.38 | 3.0 | 0.16 |
| | 08_SLS4 | 120 | -3 | 35 | 0.39 | 3.0 | 0.16 |
| | | | | [MPa] | 0.47 | 3.0 | 0.16 |

Resistenza a flessione

| | | N [kN] | M [kNm] | V [kN] | CS_M |
|-----|---------|--------|---------|--------|-------------|
| SLU | 09_SLU1 | 206 | -6 | 59 | 30.70 |
| | 10_SLU2 | 208 | -6 | 59 | 30.42 |
| | 11_SLU3 | 175 | -5 | 56 | 34.75 |
| | 12_SLU4 | 177 | -5 | 57 | 34.88 |
| SLV | 13_SLV1 | 103 | -13 | 75 | 13.32 |
| | 14_SLV2 | 27 | -20 | 30 | 7.97 |
| | 15_SLV3 | 87 | -13 | 74 | 13.26 |
| | 16_SLV4 | 12 | -20 | 28 | 7.90 |
| | | | | | 7.90 |

Resistenza a taglio

| | | | | |
|-------------|-----|----------------|------|--|
| | | ctg θ | 2.50 | $1.0 \leq \dots \leq 2.5$ |
| ϕ [mm] | 12 | V_{Rcd} [kN] | 815 | $0.9 b_w d \alpha_c f'_{cd} ctg / (1 + ctg^2)$ |
| s_1 [mm] | 400 | V_{Rsd} [kN] | 206 | $A_s / s f_{yd} 0.9 d ctg$ |
| s_2 [mm] | 400 | V_R [kN] | 206 | $\min (V_{Rcd}, V_{Rsd})$ |
| | | V_E [kN] | 75 | CS_V 2.75 |

Spalle: Relazione di calcolo

| | | | | | |
|----------|---------|----------|------------|------|-----------|
| COMMESSA | LOTTO | CODIFICA | DOCUMENTO | REV. | FOGLIO |
| IF26 | 12 E ZZ | CL | VI0204 001 | A | 86 di 158 |

| | | | | | |
|--------------------|---------------|----------|---------------|-------|----------------|
| paraghiaia interno | H | 400 | elem. | P4-12 | modello |
| | tesa | fi18/200 | direz. | 1-1 | |
| arm. orizzontali | compr. | fi18/200 | | | |

Verifica tensioni in esercizio

| Combo | N [kN] | M [kNm] | V [kN] | σ_{cls} | σ_{acc} | | |
|-----------------|---------|---------|--------|----------------|----------------|--------------|--------------------|
| SLE-rara | 01_SLE1 | -26 | -15 | 33 | 1.03 | -51.8 | |
| | 02_SLE2 | -25 | -16 | 33 | 1.04 | -51.5 | |
| | 03_SLE3 | -8 | -16 | 34 | 1.05 | -44.6 | |
| | 04_SLE4 | -6 | -16 | 34 | 1.05 | -44.1 | $\sigma_{traz,el}$ |
| SLE-freq | 05_SLS1 | -11 | -12 | 26 | 0.83 | -37.1 | -0.44 |
| | 06_SLS2 | -10 | -12 | 26 | 0.83 | -36.9 | -0.44 |
| | 07_SLS3 | -5 | -14 | 31 | 0.95 | -39.3 | -0.48 |
| | 08_SLS4 | -3 | -14 | 31 | 0.95 | -38.9 | -0.48 |
| | | | | [MPa] | 1.05 | -51.8 | -0.48 |

Resistenza a flessione

| | N [kN] | M [kNm] | V [kN] | CS_M | |
|------------|---------|---------|--------|-------------|------|
| SLU | 09_SLU1 | -44 | -23 | 50 | 6.60 |
| | 10_SLU2 | -43 | -23 | 50 | 6.60 |
| | 11_SLU3 | -18 | -23 | 51 | 6.73 |
| | 12_SLU4 | -15 | -23 | 51 | 6.73 |
| | | | | 6.60 | |

Resistenza a taglio

| | | | | | |
|-------------|--------------------------------|----------------------------------|---------------------------|--|-------------|
| | ctg θ | 2.50 | $1.0 \leq \dots \leq 2.5$ | | |
| ϕ [mm] | 12 | V_{Rcd} [kN] | 815 | $0.9 b_w d \alpha_c f'_{cd} ctg / (1 + ctg^2)$ | |
| s_1 [mm] | 400 | V_{Rsd} [kN] | 206 | $A_s / s f_{yd} 0.9 d ctg$ | |
| s_2 [mm] | 400 | V_R [kN] | 206 | $\min(V_{Rcd}, V_{Rsd})$ | |
| | | V_E [kN] | 51 | CS_V | 4.02 |

Spalle: Relazione di calcolo

| | | | | | |
|----------|---------|----------|------------|------|-----------|
| COMMESSA | LOTTO | CODIFICA | DOCUMENTO | REV. | FOGLIO |
| IF26 | 12 E ZZ | CL | VI0204 001 | A | 87 di 158 |

10.5.3 Muri andatori

Le verifiche sono riferite alla sezione di spiccato (a tergo).

| | | | | | |
|----------------|---------------|----------|---------------|-------|----------------|
| muro andatore | H | 800 | elem. | A6-44 | modello |
| | tesa | fi26/200 | direz. | 2-2 | FINALE |
| arm. verticali | compr. | fi20/200 | | | |

Verifica tensioni in esercizio

| | Combo | N [kN] | M [kNm] | V [kN] | σ_{cls} | σ_{acc} | |
|----------|---------|--------|---------|--------|----------------|----------------|--------------------|
| SLE-rara | 01_SLE1 | -9 | -113 | -113 | 1.53 | -65.8 | |
| | 02_SLE2 | -11 | -112 | -113 | 1.52 | -65.8 | |
| | 03_SLE3 | 8 | -113 | -114 | 1.55 | -63.2 | |
| | 04_SLE4 | 7 | -114 | -114 | 1.56 | -63.7 | $\sigma_{traz,el}$ |
| SLE-freq | 05_SLS1 | 17 | -93 | -94 | 1.28 | -49.7 | -0.72 |
| | 06_SLS2 | 16 | -92 | -94 | 1.27 | -49.8 | -0.72 |
| | 07_SLS3 | 16 | -103 | -104 | 1.42 | -55.6 | -0.80 |
| | 08_SLS4 | 16 | -103 | -104 | 1.42 | -56.0 | -0.81 |
| | | | | [MPa] | 1.56 | -65.8 | -0.81 |

Resistenza a flessione

| | N [kN] | M [kNm] | V [kN] | CS_M | |
|-----|---------|---------|--------|-------------|------|
| SLU | 09_SLU1 | -25 | -163 | -167 | 4.33 |
| | 10_SLU2 | -28 | -162 | -166 | 4.34 |
| | 11_SLU3 | -1 | -164 | -167 | 4.35 |
| | 12_SLU4 | -2 | -165 | -167 | 4.33 |
| SLV | 13_SLV1 | -198 | -87 | -93 | 7.41 |
| | 14_SLV2 | -11 | -138 | -146 | 5.15 |
| | 15_SLV3 | -218 | -80 | -91 | 8.01 |
| | 16_SLV4 | -32 | -130 | -144 | 5.39 |
| | | | | 4.33 | |

Resistenza a taglio

| | | | | |
|-------------|-----|----------------|------|--|
| | | ctg θ | 2.50 | $1.0 \leq \dots \leq 2.5$ |
| ϕ [mm] | 12 | V_{Rcd} [kN] | 1790 | $0.9 b_w d \alpha_c f'_{cd} ctg / (1 + ctg^2)$ |
| s_1 [mm] | 400 | V_{Rsd} [kN] | 452 | $A_s / s f_{yd} 0.9 d ctg$ |
| s_2 [mm] | 400 | V_R [kN] | 452 | $\min (V_{Rcd}, V_{Rsd})$ |
| | | V_E [kN] | 167 | CS_V 2.71 |

Spalle: Relazione di calcolo

| | | | | | |
|----------|---------|----------|------------|------|-----------|
| COMMESSA | LOTTO | CODIFICA | DOCUMENTO | REV. | FOGLIO |
| IF26 | 12 E ZZ | CL | VI0204 001 | A | 88 di 158 |

Le verifiche sono riferite alla sezione d'angolo con il muro frontale.

| | | | | | |
|------------------|---------------|----------|---------------|-------|----------------|
| muro andatore | H | 800 | elem. | A6-11 | modello |
| | tesa | fi18/200 | direz. | 1-1 | FINALE |
| arm. orizzontali | compr. | fi18/200 | | | |

Verifica tensioni in esercizio

| | Combo | N [kN] | M [kNm] | V [kN] | σ_{cls} | σ_{acc} | |
|----------|---------|--------|---------|--------|----------------|----------------|--------------------------|
| SLE-rara | 01_SLE1 | 13 | -48 | -72 | 0.89 | -50.2 | |
| | 02_SLE2 | 11 | -48 | -72 | 0.90 | -51.5 | |
| | 03_SLE3 | 28 | -47 | -73 | 0.87 | -43.3 | |
| | 04_SLE4 | 29 | -46 | -73 | 0.86 | -42.7 | |
| SLE-freq | 05_SLS1 | 17 | -37 | -56 | 0.68 | -36.0 | $\sigma_{traz,el}$ -0.29 |
| | 06_SLS2 | 16 | -37 | -56 | 0.69 | -36.8 | -0.30 |
| | 07_SLS3 | 25 | -42 | -65 | 0.78 | -38.7 | -0.33 |
| | 08_SLS4 | 26 | -41 | -65 | 0.77 | -38.2 | -0.32 |
| | | | | [MPa] | 0.90 | -51.5 | -0.33 |

Resistenza a flessione

| | | N [kN] | M [kNm] | V [kN] | CS_M |
|-----|---------|--------|---------|--------|-------------|
| SLU | 09_SLU1 | 15 | -72 | -109 | 4.90 |
| | 10_SLU2 | 11 | -73 | -110 | 4.85 |
| | 11_SLU3 | 36 | -71 | -111 | 5.13 |
| | 12_SLU4 | 37 | -70 | -111 | 5.18 |
| SLV | 13_SLV1 | -79 | -43 | -58 | 7.51 |
| | 14_SLV2 | 35 | -66 | -108 | 5.50 |
| | 15_SLV3 | -97 | -46 | -62 | 6.82 |
| | 16_SLV4 | 18 | -69 | -112 | 5.14 |
| | | | | | 4.85 |

Resistenza a taglio

| | | | | |
|-------------|-----|----------------|------|--|
| | | ctg θ | 2.50 | $1.0 \leq \dots \leq 2.5$ |
| ϕ [mm] | 12 | V_{Rcd} [kN] | 1800 | $0.9 b_w d \alpha_c f'_{cd} ctg / (1 + ctg^2)$ |
| s_1 [mm] | 400 | V_{Rsd} [kN] | 455 | $A_s / s f_{yd} 0.9 d ctg$ |
| s_2 [mm] | 400 | V_R [kN] | 455 | $\min(V_{Rcd}, V_{Rsd})$ |
| | | V_E [kN] | 112 | CS_V 4.07 |

GEODATA
ENGINEERING



ITINERARIO NAPOLI – BARI
RADDOPPIO TRATTA CANCELLO-BENEVENTO
II LOTTO FUNZIONALE FRASSO TELESINO – VITULANO
1° LOTTO FUNZIONALE FRASSO TELESINO – TELESE
PROGETTO ESECUTIVO

Spalle: Relazione di calcolo

| COMMESSA | LOTTO | CODIFICA | DOCUMENTO | REV. | FOGLIO |
|----------|---------|----------|------------|------|-----------|
| IF26 | 12 E ZZ | CL | VI0204 001 | A | 89 di 158 |

Spalle: Relazione di calcolo

| | | | | | |
|----------|---------|----------|------------|------|-----------|
| COMMESSA | LOTTO | CODIFICA | DOCUMENTO | REV. | FOGLIO |
| IF26 | 12 E ZZ | CL | VI0204 001 | A | 90 di 158 |

10.5.4 Muri andatori interni

Le verifiche sono riferite ai muri interni alla sezione di spiccato dalla fondazione (a tergo).

| | | | | | |
|-----------------------|---------------|----------|---------------|--------|----------------|
| muro andatore interno | H | 800 | elem. | A11-44 | modello |
| | tesa | fi26/200 | direz. | 2-2 | FINALE |
| arm. verticali | compr. | fi20/200 | | | |

Verifica tensioni in esercizio

| Combo | | N [kN] | M [kNm] | V [kN] | σ_{cls} | σ_{acc} | |
|----------|---------|--------|---------|--------|----------------|----------------|--------------------|
| SLE-rara | 01_SLE1 | -241 | -16 | -7 | 0.00 | -60.6 | |
| | 02_SLE2 | -242 | -16 | -7 | 0.00 | -61.7 | |
| | 03_SLE3 | -226 | -19 | -7 | 0.00 | -53.6 | |
| | 04_SLE4 | -227 | -19 | -7 | 0.00 | -54.0 | $\sigma_{traz,el}$ |
| SLE-freq | 05_SLS1 | -182 | -12 | -5 | 0.00 | -46.2 | -0.30 |
| | 06_SLS2 | -183 | -11 | -5 | 0.00 | -46.9 | -0.29 |
| | 07_SLS3 | -200 | -15 | -6 | 0.00 | -48.4 | -0.35 |
| | 08_SLS4 | -201 | -16 | -6 | 0.00 | -48.4 | -0.35 |
| | | | | [MPa] | 0.00 | -61.7 | -0.35 |

Resistenza a flessione

| | | N [kN] | M [kNm] | V [kN] | CS_M |
|-----|---------|--------|---------|--------|-------------|
| SLU | 09_SLU1 | -369 | -23 | -10 | 25.54 |
| | 10_SLU2 | -371 | -22 | -9 | 26.85 |
| | 11_SLU3 | -347 | -27 | -9 | 22.27 |
| | 12_SLU4 | -348 | -27 | -10 | 21.83 |
| SLV | 13_SLV1 | -463 | -55 | -49 | 9.96 |
| | 14_SLV2 | -179 | -130 | -144 | 5.01 |
| | 15_SLV3 | -448 | -54 | -48 | 10.38 |
| | 16_SLV4 | -164 | -128 | -143 | 5.12 |
| | | | | | 5.01 |

Resistenza a taglio

| | | | | |
|-------------|-----|----------------|------|--|
| | | ctg θ | 2.50 | $1.0 \leq \dots \leq 2.5$ |
| ϕ [mm] | 12 | V_{Rcd} [kN] | 1790 | $0.9 b_w d \alpha_c f'_{cd} ctg / (1 + ctg^2)$ |
| s_1 [mm] | 400 | V_{Rsd} [kN] | 452 | $A_s / s f_{yd} 0.9 d ctg$ |
| s_2 [mm] | 400 | V_R [kN] | 452 | $\min(V_{Rcd}, V_{Rsd})$ |
| | | V_E [kN] | 144 | CS_V 3.14 |

Spalle: Relazione di calcolo

| | | | | | |
|----------|---------|----------|------------|------|-----------|
| COMMESSA | LOTTO | CODIFICA | DOCUMENTO | REV. | FOGLIO |
| IF26 | 12 E ZZ | CL | VI0204 001 | A | 91 di 158 |

| | | | | | |
|-----------------------|---------------|----------|---------------|--------|----------------|
| muro andatore interno | H | 800 | elem. | A11-44 | modello |
| | tesa | fi26/200 | direz. | 2-2 | |
| arm. verticali | compr. | fi20/200 | | | |

Verifica tensioni in esercizio

| Combo | N [kN] | M [kNm] | V [kN] | σ_{cls} | σ_{acc} | | |
|-----------------|---------|---------|--------|----------------|----------------|--------------|--------------------|
| SLE-rara | 01_SLE1 | -50 | -95 | -109 | 1.23 | -63.1 | |
| | 02_SLE2 | -49 | -95 | -109 | 1.23 | -63.0 | |
| | 03_SLE3 | -45 | -98 | -111 | 1.28 | -64.1 | |
| | 04_SLE4 | -45 | -99 | -111 | 1.29 | -64.3 | $\sigma_{traz,el}$ |
| SLE-freq | 05_SLS1 | -18 | -76 | -90 | 1.03 | -46.8 | -0.63 |
| | 06_SLS2 | -18 | -77 | -90 | 1.03 | -46.8 | -0.63 |
| | 07_SLS3 | -34 | -88 | -101 | 1.16 | -56.0 | -0.74 |
| | 08_SLS4 | -34 | -88 | -101 | 1.16 | -56.2 | -0.74 |
| | | | | [MPa] | 1.29 | -64.3 | -0.74 |

Resistenza a flessione

| | N [kN] | M [kNm] | V [kN] | CS_M | |
|------------|---------|---------|--------|-------------|------|
| SLU | 09_SLU1 | -99 | -138 | -160 | 4.92 |
| | 10_SLU2 | -98 | -138 | -160 | 4.92 |
| | 11_SLU3 | -92 | -143 | -163 | 4.77 |
| | 12_SLU4 | -92 | -143 | -163 | 4.76 |
| | | | | 4.76 | |

Resistenza a taglio

| | | | | | |
|-------------|--------------------------------|----------------------------------|---------------------------|--|-------------|
| | ctg θ | 2.50 | $1.0 \leq \dots \leq 2.5$ | | |
| ϕ [mm] | 12 | V_{Rcd} [kN] | 1790 | $0.9 b_w d \alpha_c f'_{cd} ctg / (1 + ctg^2)$ | |
| s_1 [mm] | 400 | V_{Rsd} [kN] | 452 | $A_s / s f_{yd} 0.9 d ctg$ | |
| s_2 [mm] | 400 | V_R [kN] | 452 | $\min(V_{Rcd}, V_{Rsd})$ | |
| | | V_E [kN] | 163 | CS_V | 2.78 |

Spalle: Relazione di calcolo

| | | | | | |
|----------|---------|----------|------------|------|-----------|
| COMMESSA | LOTTO | CODIFICA | DOCUMENTO | REV. | FOGLIO |
| IF26 | 12 E ZZ | CL | VI0204 001 | A | 92 di 158 |

Le verifiche sono riferite alla sezione d'angolo tra muri interni e muro frontale.

| | | | | | |
|-----------------------|---------------|----------|---------------|--------|----------------|
| muro andatore interno | H | 800 | elem. | A11-11 | modello |
| | tesa | fi18/200 | direz. | 1-1 | FINALE |
| arm. orizzontali | compr. | fi18/200 | | | |

Verifica tensioni in esercizio

| | Combo | N [kN] | M [kNm] | V [kN] | σ_{cls} | σ_{acc} | |
|----------|---------|--------|---------|--------|----------------|----------------|--------------|
| SLE-rara | 01_SLE1 | -175 | 8 | 14 | 0.00 | -78.7 | |
| | 02_SLE2 | -175 | 8 | 13 | 0.00 | -78.2 | |
| | 03_SLE3 | -168 | 10 | 12 | 0.00 | -78.0 | |
| | 04_SLE4 | -168 | 10 | 12 | 0.00 | -78.2 | |
| SLE-freq | 05_SLS1 | -147 | 6 | 11 | 0.00 | -64.8 | -0.23 |
| | 06_SLS2 | -147 | 6 | 10 | 0.00 | -64.5 | -0.22 |
| | 07_SLS3 | -156 | 8 | 10 | 0.00 | -70.9 | -0.25 |
| | 08_SLS4 | -156 | 8 | 10 | 0.00 | -71.1 | -0.26 |
| | | | | [MPa] | 0.00 | -78.7 | -0.26 |

Resistenza a flessione

| | | N [kN] | M [kNm] | V [kN] | CS_M |
|-----|---------|--------|---------|--------|-------------|
| SLU | 09_SLU1 | -260 | 11 | 19 | 22.89 |
| | 10_SLU2 | -261 | 10 | 18 | 24.52 |
| | 11_SLU3 | -251 | 14 | 16 | 19.25 |
| | 12_SLU4 | -251 | 14 | 16 | 18.75 |
| SLV | 13_SLV1 | -255 | -24 | -36 | 11.04 |
| | 14_SLV2 | -139 | -99 | -146 | 3.03 |
| | 15_SLV3 | -244 | -25 | -38 | 10.75 |
| | 16_SLV4 | -128 | -100 | -148 | 3.04 |
| | | | | | 3.03 |

Resistenza a taglio

| | | | | |
|-------------|-----|----------------|------|--|
| | | ctg θ | 2.50 | $1.0 \leq \dots \leq 2.5$ |
| ϕ [mm] | 12 | V_{Rcd} [kN] | 1800 | $0.9 b_w d \alpha_c f'_{cd} ctg / (1 + ctg^2)$ |
| s_1 [mm] | 400 | V_{Rsd} [kN] | 455 | $A_s / s f_{yd} 0.9 d ctg$ |
| s_2 [mm] | 400 | V_R [kN] | 455 | $\min(V_{Rcd}, V_{Rsd})$ |
| | | V_E [kN] | 148 | CS_V 3.08 |

Spalle: Relazione di calcolo

| | | | | | |
|----------|---------|----------|------------|------|-----------|
| COMMESSA | LOTTO | CODIFICA | DOCUMENTO | REV. | FOGLIO |
| IF26 | 12 E ZZ | CL | VI0204 001 | A | 93 di 158 |

| | | | | | |
|-----------------------|---------------|----------|---------------|--------|----------------|
| muro andatore interno | H | 800 | elem. | A11-11 | modello |
| | tesa | fi18/200 | direz. | 1-1 | |
| arm. orizzontali | compr. | fi18/200 | | | |

Verifica tensioni in esercizio

| Combo | | N [kN] | M [kNm] | V [kN] | σ_{cls} | σ_{acc} | |
|----------|---------|--------|---------|--------|----------------|----------------|--------------------|
| SLE-rara | 01_SLE1 | -55 | -56 | -95 | 0.95 | -85.9 | |
| | 02_SLE2 | -54 | -56 | -94 | 0.95 | -85.6 | |
| | 03_SLE3 | -51 | -53 | -92 | 0.90 | -80.6 | |
| | 04_SLE4 | -51 | -52 | -92 | 0.90 | -80.5 | $\sigma_{traz,el}$ |
| SLE-freq | 05_SLS1 | -44 | -44 | -75 | 0.74 | -67.9 | -0.43 |
| | 06_SLS2 | -44 | -44 | -75 | 0.74 | -67.8 | -0.43 |
| | 07_SLS3 | -50 | -48 | -83 | 0.81 | -74.7 | -0.47 |
| | 08_SLS4 | -50 | -48 | -83 | 0.81 | -74.6 | -0.47 |
| | | | | [MPa] | 0.95 | -85.9 | -0.47 |

Resistenza a flessione

| | | N [kN] | M [kNm] | V [kN] | CS_M |
|-----|---------|--------|---------|--------|-------------|
| SLU | 09_SLU1 | -92 | -85 | -141 | 3.75 |
| | 10_SLU2 | -91 | -84 | -141 | 3.76 |
| | 11_SLU3 | -86 | -80 | -138 | 3.99 |
| | 12_SLU4 | -86 | -80 | -137 | 4.00 |
| | | | | | 3.75 |

Resistenza a taglio

| | | | | | |
|-------------|-----|----------------|------|--|-------------|
| | | ctg θ | 2.50 | $1.0 \leq \dots \leq 2.5$ | |
| ϕ [mm] | 12 | V_{Rcd} [kN] | 1800 | $0.9 b_w d \alpha_c f'_{cd} ctg / (1 + ctg^2)$ | |
| s_1 [mm] | 400 | V_{Rsd} [kN] | 455 | $A_s / s f_{yd} 0.9 d ctg$ | |
| s_2 [mm] | 400 | V_R [kN] | 455 | $\min(V_{Rcd}, V_{Rsd})$ | |
| | | V_E [kN] | 141 | CS_V | 3.22 |

Spalle: Relazione di calcolo

| | | | | | |
|----------|---------|----------|------------|------|-----------|
| COMMESSA | LOTTO | CODIFICA | DOCUMENTO | REV. | FOGLIO |
| IF26 | 12 E ZZ | CL | VI0204 001 | A | 94 di 158 |

10.5.5 Muri andatori alti

Le verifiche sono riferite alla sezione di spiccato dal muro andatore.

| | | | | | |
|-------------------------|---------------|----------|---------------|------|----------------|
| muro andatore superiore | H | 720 | elem. | B2-1 | modello |
| arm. verticali | tesa | fi26/200 | direz. | 2-2 | FINALE |
| | compr. | fi20/200 | | | |

Verifica tensioni in esercizio

| Combo | | N [kN] | M [kNm] | V [kN] | σ_{cls} | σ_{acc} | |
|----------|---------|--------|---------|--------|----------------|----------------|--------------------|
| SLE-rara | 01_SLE1 | 89 | -6 | -3 | 0.18 | 0.9 | |
| | 02_SLE2 | 89 | -6 | -3 | 0.18 | 0.9 | |
| | 03_SLE3 | 83 | -6 | -3 | 0.18 | 0.8 | |
| | 04_SLE4 | 85 | -6 | -3 | 0.18 | 0.8 | $\sigma_{traz,el}$ |
| SLE-freq | 05_SLS1 | 77 | -4 | -1 | 0.14 | 1.0 | 0.06 |
| | 06_SLS2 | 77 | -4 | -2 | 0.14 | 1.0 | 0.06 |
| | 07_SLS3 | 78 | -5 | -3 | 0.16 | 0.8 | 0.04 |
| | 08_SLS4 | 79 | -5 | -3 | 0.16 | 0.8 | 0.04 |
| [MPa] | | | | | 0.18 | 0.8 | 0.04 |

Resistenza a flessione

| | | N [kN] | M [kNm] | V [kN] | CS_M |
|-----|---------|--------|---------|--------|--------------|
| SLU | 09_SLU1 | 124 | -10 | -5 | 69.04 |
| | 10_SLU2 | 124 | -10 | -6 | 67.65 |
| | 11_SLU3 | 116 | -10 | -6 | 64.09 |
| | 12_SLU4 | 118 | -10 | -6 | 65.70 |
| SLV | 13_SLV1 | 86 | -4 | 3 | 158.86 |
| | 14_SLV2 | 81 | -11 | -7 | 58.38 |
| | 15_SLV3 | 81 | -5 | 2 | 123.46 |
| | 16_SLV4 | 76 | -12 | -9 | 52.73 |
| | | | | | 52.73 |

Resistenza a taglio

| | | | | |
|-------------|-----|----------------|------|--|
| | | ctg θ | 2.50 | $1.0 \leq \dots \leq 2.5$ |
| ϕ [mm] | 12 | V_{Rcd} [kN] | 1593 | $0.9 b_w d \alpha_c f'_{cd} ctg / (1 + ctg^2)$ |
| s_1 [mm] | 400 | V_{Rsd} [kN] | 403 | $A_s / s f_{yd} 0.9 d ctg$ |
| s_2 [mm] | 400 | V_R [kN] | 403 | $\min (V_{Rcd}, V_{Rsd})$ |
| | | V_E [kN] | 9 | CS_V 45.31 |

Spalle: Relazione di calcolo

| | | | | | |
|----------|---------|----------|------------|------|-----------|
| COMMESSA | LOTTO | CODIFICA | DOCUMENTO | REV. | FOGLIO |
| IF26 | 12 E ZZ | CL | VI0204 001 | A | 95 di 158 |

| | | | | | |
|----------------------------|---------------|----------|---------------|------|----------------|
| muro andatore superiore | H | 720 | elem. | B2-1 | modello |
| | tesa | fi26/200 | direz. | 2-2 | |
| arm. verticali | compr. | fi20/200 | | | |

Verifica tensioni in esercizio

| Combo | | N [kN] | M [kNm] | V [kN] | σ_{cls} | σ_{acc} | |
|----------|---------|--------|---------|--------|----------------|----------------|--------------------|
| SLE-rara | 01_SLE1 | 88 | -2 | 2 | 0.13 | 1.4 | |
| | 02_SLE2 | 99 | -2 | 1 | 0.16 | 1.5 | |
| | 03_SLE3 | 81 | -2 | 2 | 0.13 | 1.2 | |
| | 04_SLE4 | 82 | -2 | 2 | 0.13 | 1.3 | $\sigma_{traz,el}$ |
| SLE-freq | 05_SLS1 | 74 | 0 | 2 | 0.10 | 1.4 | 0.09 |
| | 06_SLS2 | 81 | -1 | 2 | 0.11 | 1.4 | 0.09 |
| | 07_SLS3 | 75 | -1 | 2 | 0.11 | 1.2 | 0.08 |
| | 08_SLS4 | 76 | -1 | 2 | 0.11 | 1.3 | 0.08 |
| | | | | [MPa] | 0.16 | 1.2 | 0.08 |

Resistenza a flessione

| | | N [kN] | M [kNm] | V [kN] | CS_M |
|-----|---------|--------|---------|--------|---------------|
| SLU | 09_SLU1 | 123 | -3 | 2 | 202.29 |
| | 10_SLU2 | 139 | -4 | 1 | 150.37 |
| | 11_SLU3 | 112 | -4 | 1 | 167.47 |
| | 12_SLU4 | 114 | -4 | 2 | 180.49 |
| | | | | | 150.37 |

Resistenza a taglio

| | | | | | |
|-------------|-----|----------------|------|--|---------------|
| | | ctg θ | 2.50 | $1.0 \leq \dots \leq 2.5$ | |
| ϕ [mm] | 12 | V_{Rcd} [kN] | 1593 | $0.9 b_w d \alpha_c f'_{cd} ctg / (1 + ctg^2)$ | |
| s_1 [mm] | 400 | V_{Rsd} [kN] | 403 | $A_s / s f_{yd} 0.9 d ctg$ | |
| s_2 [mm] | 400 | V_R [kN] | 403 | $\min(V_{Rcd}, V_{Rsd})$ | |
| | | V_E [kN] | 2 | CS_V | 248.51 |

Spalle: Relazione di calcolo

| | | | | | |
|----------|---------|----------|------------|------|-----------|
| COMMESSA | LOTTO | CODIFICA | DOCUMENTO | REV. | FOGLIO |
| IF26 | 12 E ZZ | CL | VI0204 001 | A | 96 di 158 |

Le verifiche sono riferite alla sezione d'angolo con il paraghiaia.

| | | | | | |
|-------------------------|---------------|----------|---------------|------|----------------|
| muro andatore superiore | H | 720 | elem. | B2-1 | modello |
| arm. orizzontali | tesa | fi18/200 | direz. | 1-1 | FINALE |
| | compr. | fi18/200 | | | |

Verifica tensioni in esercizio

| | Combo | N [kN] | M [kNm] | V [kN] | σ_{cls} | σ_{acc} | |
|----------|---------|--------|---------|--------|----------------|----------------|--------------------------|
| SLE-rara | 01_SLE1 | -20 | -34 | -75 | 0.73 | -52.4 | |
| | 02_SLE2 | -22 | -34 | -75 | 0.73 | -53.6 | |
| | 03_SLE3 | -4 | -33 | -75 | 0.73 | -44.6 | |
| | 04_SLE4 | -4 | -33 | -75 | 0.73 | -44.2 | |
| SLE-freq | 05_SLS1 | -13 | -26 | -58 | 0.56 | -39.0 | $\sigma_{traz,el}$ -0.29 |
| | 06_SLS2 | -14 | -26 | -58 | 0.57 | -39.7 | -0.29 |
| | 07_SLS3 | -5 | -30 | -67 | 0.65 | -40.4 | -0.32 |
| | 08_SLS4 | -5 | -29 | -67 | 0.65 | -40.0 | -0.31 |
| | | | | [MPa] | 0.73 | -53.6 | -0.32 |

Resistenza a flessione

| | | N [kN] | M [kNm] | V [kN] | CS_M |
|-----|---------|--------|---------|--------|-------------|
| SLU | 09_SLU1 | -32 | -52 | -111 | 5.84 |
| | 10_SLU2 | -35 | -52 | -111 | 5.77 |
| | 11_SLU3 | -9 | -50 | -111 | 6.17 |
| | 12_SLU4 | -8 | -50 | -111 | 6.22 |
| SLV | 13_SLV1 | -95 | -32 | -64 | 8.73 |
| | 14_SLV2 | 3 | -46 | -106 | 6.73 |
| | 15_SLV3 | -107 | -35 | -66 | 8.01 |
| | 16_SLV4 | -8 | -49 | -108 | 6.32 |
| | | | | | 5.77 |

Resistenza a taglio

| | | | |
|-------------|--------------|----------------|---------------------------|
| | ctg θ | 2.50 | $1.0 \leq \dots \leq 2.5$ |
| ϕ [mm] | 12 | V_{Rcd} [kN] | 1603 |
| s_1 [mm] | 400 | V_{Rsd} [kN] | 405 |
| s_2 [mm] | 400 | V_R [kN] | 405 |
| | | V_E [kN] | 111 |
| | | CS_V | 3.63 |

Spalle: Relazione di calcolo

| | | | | | |
|----------|---------|----------|------------|------|-----------|
| COMMESSA | LOTTO | CODIFICA | DOCUMENTO | REV. | FOGLIO |
| IF26 | 12 E ZZ | CL | VI0204 001 | A | 97 di 158 |

| | | | | | |
|-------------------------|---------------|----------|---------------|------|----------------|
| muro andatore superiore | H | 720 | elem. | B2-1 | modello |
| | tesa | fi18/200 | direz. | 1-1 | INIZIALE |
| arm. orizzontali | compr. | fi18/200 | | | |

Verifica tensioni in esercizio

| Combo | N [kN] | M [kNm] | V [kN] | σ_{cls} | σ_{acc} | | |
|----------|---------|---------|--------|----------------|----------------|--------------|--------------|
| SLE-rara | 01_SLE1 | 11 | -19 | -47 | 0.42 | -20.1 | |
| | 02_SLE2 | -45 | -22 | -47 | 0.38 | -46.3 | |
| | 03_SLE3 | 34 | -17 | -49 | 0.37 | -10.2 | |
| | 04_SLE4 | 35 | -17 | -48 | 0.36 | -9.5 | |
| SLE-freq | 05_SLS1 | 22 | -13 | -35 | 0.28 | -8.9 | -0.11 |
| | 06_SLS2 | -11 | -15 | -35 | 0.31 | -23.8 | -0.17 |
| | 07_SLS3 | 33 | -15 | -43 | 0.31 | -7.7 | -0.11 |
| | 08_SLS4 | 34 | -15 | -42 | 0.31 | -7.2 | -0.11 |
| | | | | [MPa] | 0.42 | -46.3 | -0.17 |

Resistenza a flessione

| | N [kN] | M [kNm] | V [kN] | CS_M | |
|-----|---------|---------|--------|-------------|-------|
| SLU | 09_SLU1 | 10 | -29 | -71 | 10.95 |
| | 10_SLU2 | -71 | -33 | -72 | 8.68 |
| | 11_SLU3 | 43 | -26 | -74 | 12.30 |
| | 12_SLU4 | 45 | -26 | -73 | 12.52 |
| | | | | 8.68 | |

Resistenza a taglio

| | | | | |
|-------------|--------------|----------------|---------------------------|--|
| | ctg θ | 2.50 | $1.0 \leq \dots \leq 2.5$ | |
| ϕ [mm] | 12 | V_{Rcd} [kN] | 1603 | $0.9 b_w d \alpha_c f'_{cd} ctg / (1 + ctg^2)$ |
| s_1 [mm] | 400 | V_{Rsd} [kN] | 405 | $A_s / s f_{yd} 0.9 d ctg$ |
| s_2 [mm] | 400 | V_R [kN] | 405 | $\min(V_{Rcd}, V_{Rsd})$ |
| | V_E [kN] | 74 | CS_V | 5.48 |

Spalle: Relazione di calcolo

| | | | | | |
|----------|---------|----------|------------|------|-----------|
| COMMESSA | LOTTO | CODIFICA | DOCUMENTO | REV. | FOGLIO |
| IF26 | 12 E ZZ | CL | VI0204 001 | A | 98 di 158 |

10.5.6 Muri andatori interni alti

Le verifiche sono riferite alla sezione di spiccato dal muro andatore interno.

| | | | | | |
|---------------------------------|---------------|----------|---------------|------|----------------|
| muro andatore interno superiore | H | 500 | elem. | B5-1 | modello |
| arm. verticali | tesa | fi24/200 | direz. | 2-2 | FINALE |
| | compr. | fi20/200 | | | |

Verifica tensioni in esercizio

| Combo | | N [kN] | M [kNm] | V [kN] | σ_{cls} | σ_{acc} | |
|----------|---------|--------|---------|--------|----------------|----------------|--------------------|
| SLE-rara | 01_SLE1 | 112 | 5 | 4 | 0.30 | 1.9 | |
| | 02_SLE2 | 113 | 5 | 4 | 0.29 | 2.0 | |
| | 03_SLE3 | 98 | 5 | 7 | 0.27 | 1.6 | |
| | 04_SLE4 | 99 | 5 | 7 | 0.27 | 1.6 | |
| SLE-freq | 05_SLS1 | 97 | 4 | 3 | 0.25 | 1.8 | $\sigma_{traz,el}$ |
| | 06_SLS2 | 97 | 4 | 2 | 0.24 | 1.8 | 0.10 |
| | 07_SLS3 | 93 | 4 | 6 | 0.24 | 1.6 | 0.09 |
| | 08_SLS4 | 94 | 4 | 6 | 0.25 | 1.6 | 0.09 |
| [MPa] | | | | | 0.30 | 1.6 | 0.09 |

Resistenza a flessione

| | | N [kN] | M [kNm] | V [kN] | CS_M |
|-----|---------|--------|---------|--------|--------------|
| SLU | 09_SLU1 | 158 | 7 | 5 | 40.99 |
| | 10_SLU2 | 159 | 7 | 5 | 42.78 |
| | 11_SLU3 | 137 | 7 | 10 | 42.62 |
| | 12_SLU4 | 139 | 7 | 10 | 41.87 |
| SLV | 13_SLV1 | 90 | -4 | -7 | 86.80 |
| | 14_SLV2 | 91 | -24 | -34 | 15.17 |
| | 15_SLV3 | 82 | -5 | -7 | 78.00 |
| | 16_SLV4 | 84 | -25 | -34 | 14.83 |
| | | | | | 14.83 |

Resistenza a taglio

| | | | | |
|-------------|-----|----------------|------|--|
| | | ctg θ | 2.50 | $1.0 \leq \dots \leq 2.5$ |
| ϕ [mm] | 12 | V_{Rcd} [kN] | 1054 | $0.9 b_w d \alpha_c f'_{cd} ctg / (1 + ctg^2)$ |
| s_1 [mm] | 400 | V_{Rsd} [kN] | 266 | $A_s / s f_{yd} 0.9 d ctg$ |
| s_2 [mm] | 400 | V_R [kN] | 266 | $\min (V_{Rcd}, V_{Rsd})$ |
| | | V_E [kN] | 34 | CS_V 7.78 |

Spalle: Relazione di calcolo

| | | | | | |
|----------|---------|----------|------------|------|-----------|
| COMMESSA | LOTTO | CODIFICA | DOCUMENTO | REV. | FOGLIO |
| IF26 | 12 E ZZ | CL | VI0204 001 | A | 99 di 158 |

| | | | | | |
|---------------------------------|---------------|----------|---------------|------|----------------|
| muro andatore interno superiore | H | 500 | elem. | B5-1 | modello |
| | tesa | fi24/200 | direz. | 2-2 | INIZIALE |
| arm. verticali | compr. | fi20/200 | | | |

Verifica tensioni in esercizio

| Combo | | N [kN] | M [kNm] | V [kN] | σ_{cls} | σ_{acc} | |
|----------|---------|--------|---------|--------|----------------|----------------|--------------------|
| SLE-rara | 01_SLE1 | 60 | -11 | -8 | 0.39 | -2.5 | |
| | 02_SLE2 | 61 | -11 | -8 | 0.39 | -2.4 | |
| | 03_SLE3 | 71 | -10 | -6 | 0.35 | -0.7 | |
| | 04_SLE4 | 72 | -10 | -6 | 0.35 | -0.6 | $\sigma_{traz,el}$ |
| SLE-freq | 05_SLS1 | 55 | -8 | -6 | 0.28 | -0.8 | -0.06 |
| | 06_SLS2 | 56 | -8 | -6 | 0.28 | -0.7 | -0.06 |
| | 07_SLS3 | 66 | -9 | -5 | 0.31 | -0.5 | -0.06 |
| | 08_SLS4 | 66 | -8 | -5 | 0.31 | -0.4 | -0.06 |
| | | | | [MPa] | 0.39 | -2.5 | -0.06 |

Resistenza a flessione

| | | N [kN] | M [kNm] | V [kN] | CS_M |
|-----|---------|--------|---------|--------|--------------|
| SLU | 09_SLU1 | 83 | -17 | -14 | 21.67 |
| | 10_SLU2 | 84 | -17 | -13 | 21.80 |
| | 11_SLU3 | 99 | -15 | -10 | 24.70 |
| | 12_SLU4 | 100 | -15 | -9 | 24.96 |
| | | | | | 21.67 |

Resistenza a taglio

| | | | | | |
|-------------|-----|----------------|------|--|--------------|
| | | ctg θ | 2.50 | $1.0 \leq \dots \leq 2.5$ | |
| ϕ [mm] | 12 | V_{Rcd} [kN] | 1054 | $0.9 b_w d \alpha_c f'_{cd} ctg / (1 + ctg^2)$ | |
| s_1 [mm] | 400 | V_{Rsd} [kN] | 266 | $A_s / s f_{yd} 0.9 d ctg$ | |
| s_2 [mm] | 400 | V_R [kN] | 266 | $\min(V_{Rcd}, V_{Rsd})$ | |
| | | V_E [kN] | 14 | CS_V | 19.69 |

Spalle: Relazione di calcolo

| | | | | | |
|----------|---------|----------|------------|------|------------|
| COMMESSA | LOTTO | CODIFICA | DOCUMENTO | REV. | FOGLIO |
| IF26 | 12 E ZZ | CL | VI0204 001 | A | 100 di 158 |

Le verifiche sono riferite alla sezione d'angolo con il paraghiaia.

| | | | | | |
|---------------------------------|---------------|----------|---------------|------|----------------|
| muro andatore interno superiore | H | 500 | elem. | B5-1 | modello |
| arm. orizzontali | tesa | fi18/100 | direz. | 1-1 | FINALE |
| | compr. | fi18/200 | | | |

Verifica tensioni in esercizio

| Combo | | N [kN] | M [kNm] | V [kN] | σ_{cls} | σ_{acc} | |
|----------|---------|--------|---------|--------|----------------|----------------|--------------------------|
| SLE-rara | 01_SLE1 | -224 | 5 | 13 | 0.00 | -98.9 | |
| | 02_SLE2 | -224 | 5 | 13 | 0.00 | -98.4 | |
| | 03_SLE3 | -207 | 6 | 11 | 0.00 | -94.8 | |
| | 04_SLE4 | -208 | 6 | 11 | 0.00 | -95.6 | |
| SLE-freq | 05_SLS1 | -187 | 4 | 11 | 0.00 | -81.3 | $\sigma_{traz,el}$ -0.43 |
| | 06_SLS2 | -188 | 3 | 10 | 0.00 | -81.0 | -0.43 |
| | 07_SLS3 | -192 | 5 | 10 | 0.00 | -86.3 | -0.47 |
| | 08_SLS4 | -193 | 5 | 10 | 0.00 | -86.9 | -0.48 |
| | | | | [MPa] | 0.00 | -98.9 | -0.48 |

Resistenza a flessione

| | | N [kN] | M [kNm] | V [kN] | CS_M |
|-----|---------|--------|---------|--------|-------------|
| SLU | 09_SLU1 | -327 | 7 | 18 | 20.95 |
| | 10_SLU2 | -328 | 6 | 18 | 22.81 |
| | 11_SLU3 | -303 | 8 | 15 | 17.27 |
| | 12_SLU4 | -304 | 9 | 15 | 16.74 |
| SLV | 13_SLV1 | -288 | -18 | -27 | 18.86 |
| | 14_SLV2 | -178 | -72 | -120 | 5.02 |
| | 15_SLV3 | -275 | -19 | -28 | 18.32 |
| | 16_SLV4 | -164 | -72 | -122 | 5.01 |
| | | | | | 5.01 |

Resistenza a taglio

| | | | | |
|-------------|-----|----------------|------|--|
| | | ctg θ | 2.50 | $1.0 \leq \dots \leq 2.5$ |
| ϕ [mm] | 12 | V_{Rcd} [kN] | 1061 | $0.9 b_w d \alpha_c f'_{cd} ctg / (1 + ctg^2)$ |
| s_1 [mm] | 400 | V_{Rsd} [kN] | 268 | $A_s / s f_{yd} 0.9 d ctg$ |
| s_2 [mm] | 400 | V_R [kN] | 268 | $\min(V_{Rcd}, V_{Rsd})$ |
| | | V_E [kN] | 122 | CS_V 2.20 |

Spalle: Relazione di calcolo

| COMMESSA | LOTTO | CODIFICA | DOCUMENTO | REV. | FOGLIO |
|----------|---------|----------|------------|------|------------|
| IF26 | 12 E ZZ | CL | VI0204 001 | A | 101 di 158 |

| | | | | | |
|---------------------------------|---------------|----------|---------------|------|----------------|
| muro andatore interno superiore | H | 500 | elem. | B5-1 | modello |
| arm. orizzontali | tesa | fi18/100 | direz. | 1-1 | INIZIALE |
| | compr. | fi18/200 | | | |

Verifica tensioni in esercizio

| Combo | N [kN] | M [kNm] | V [kN] | σ_{cls} | σ_{acc} | | |
|----------|---------|---------|--------|----------------|----------------|--------------|--------------------|
| SLE-rara | 01_SLE1 | -67 | -41 | -80 | 1.22 | -55.1 | |
| | 02_SLE2 | -67 | -41 | -80 | 1.22 | -55.0 | |
| | 03_SLE3 | -70 | -39 | -80 | 1.15 | -53.7 | |
| | 04_SLE4 | -71 | -39 | -80 | 1.14 | -53.7 | $\sigma_{traz,el}$ |
| SLE-freq | 05_SLS1 | -57 | -32 | -63 | 0.95 | -44.1 | -0.73 |
| | 06_SLS2 | -57 | -32 | -63 | 0.95 | -44.1 | -0.73 |
| | 07_SLS3 | -67 | -35 | -71 | 1.03 | -49.5 | -0.81 |
| | 08_SLS4 | -67 | -35 | -71 | 1.03 | -49.5 | -0.81 |
| | | | | [MPa] | 1.22 | -55.1 | -0.81 |

Resistenza a flessione

| | N [kN] | M [kNm] | V [kN] | CS_M | |
|-----|---------|---------|--------|-------------|------|
| SLU | 09_SLU1 | -106 | -62 | -119 | 6.09 |
| | 10_SLU2 | -106 | -61 | -119 | 6.10 |
| | 11_SLU3 | -110 | -59 | -118 | 6.36 |
| | 12_SLU4 | -111 | -59 | -118 | 6.37 |
| | | | | 6.09 | |

Resistenza a taglio

| | | | | |
|-------------|--------------|----------------|---------------------------|--|
| | ctg θ | 2.50 | $1.0 \leq \dots \leq 2.5$ | |
| ϕ [mm] | 12 | V_{Rcd} [kN] | 1061 | $0.9 b_w d \alpha_c f'_{cd} ctg / (1 + ctg^2)$ |
| s_1 [mm] | 400 | V_{Rsd} [kN] | 268 | $A_s / s f_{yd} 0.9 d ctg$ |
| s_2 [mm] | 400 | V_R [kN] | 268 | $\min(V_{Rcd}, V_{Rsd})$ |
| | V_E [kN] | 119 | CS_V | 2.26 |

Spalle: Relazione di calcolo

| | | | | | |
|----------|---------|----------|------------|------|------------|
| COMMESSA | LOTTO | CODIFICA | DOCUMENTO | REV. | FOGLIO |
| IF26 | 12 E ZZ | CL | VI0204 001 | A | 102 di 158 |

10.5.7 Plinto

Le verifiche sono riferite all'intradosso sotto il muro frontale.

| | | | | | |
|--------------------|---------------|----------|---------------|-------|----------------|
| plinto | H | 1500 | elem. | F23-3 | modello |
| | tesa | fi24/100 | direz. | 2-2 | FINALE |
| arm. longitudinali | compr. | fi24/200 | | | |

Verifica tensioni in esercizio

| Combo | | N [kN] | M [kNm] | V [kN] | σ_{cls} | σ_{acc} | |
|----------|---------|--------|---------|--------|----------------|----------------|--------------------|
| SLE-rara | 01_SLE1 | -29 | 963 | 1059 | 3.57 | -164.8 | |
| | 02_SLE2 | -36 | 978 | 1073 | 3.62 | -168.1 | |
| | 03_SLE3 | -1 | 791 | 892 | 2.94 | -133.3 | |
| | 04_SLE4 | -3 | 797 | 898 | 2.97 | -134.4 | $\sigma_{traz,el}$ |
| SLE-freq | 05_SLS1 | -36 | 853 | 935 | 3.15 | -147.0 | -1.94 |
| | 06_SLS2 | -40 | 862 | 943 | 3.18 | -148.9 | -1.96 |
| | 07_SLS3 | -14 | 778 | 870 | 2.89 | -132.3 | -1.76 |
| | 08_SLS4 | -15 | 783 | 875 | 2.90 | -133.2 | -1.77 |
| | | | | [MPa] | 3.62 | -168.1 | -1.96 |

Resistenza a flessione

| | | N [kN] | M [kNm] | V [kN] | CS_M |
|-----|---------|--------|---------|--------|-------------|
| SLU | 09_SLU1 | -43 | 1388 | 1527 | 1.72 |
| | 10_SLU2 | -53 | 1410 | 1547 | 1.69 |
| | 11_SLU3 | -3 | 1138 | 1284 | 2.12 |
| | 12_SLU4 | -5 | 1146 | 1293 | 2.10 |
| SLV | 13_SLV1 | 179 | 922 | 1229 | 2.75 |
| | 14_SLV2 | 141 | 612 | 799 | 4.10 |
| | 15_SLV3 | 201 | 850 | 1160 | 3.00 |
| | 16_SLV4 | 164 | 540 | 730 | 4.67 |
| | | | | | 1.69 |

Resistenza a taglio

| | | | | |
|-------------|-----|----------------|------|--|
| | | ctg θ | 2.50 | $1.0 \leq \dots \leq 2.5$ |
| ϕ [mm] | 18 | V_{Rcd} [kN] | 3516 | $0.9 b_w d \alpha_c f'_{cd} ctg / (1 + ctg^2)$ |
| s_1 [mm] | 400 | V_{Rsd} [kN] | 2000 | $A_s / s f_{yd} 0.9 d ctg$ |
| s_2 [mm] | 400 | V_R [kN] | 2000 | $\min (V_{Rcd}, V_{Rsd})$ |
| | | V_E [kN] | 1547 | CS_V 1.29 |

Spalle: Relazione di calcolo

| | | | | | |
|----------|---------|----------|------------|------|------------|
| COMMESSA | LOTTO | CODIFICA | DOCUMENTO | REV. | FOGLIO |
| IF26 | 12 E ZZ | CL | VI0204 001 | A | 103 di 158 |

| | | | | | |
|--------------------|---------------|----------|---------------|-------|----------------|
| plinto | H | 1500 | elem. | F23-3 | modello |
| | tesa | fi24/100 | direz. | 2-2 | |
| arm. longitudinali | compr. | fi24/200 | | | |

Verifica tensioni in esercizio

| Combo | | N [kN] | M [kNm] | V [kN] | σ_{cls} | σ_{acc} | |
|----------|---------|--------|---------|--------|----------------|----------------|--------------------|
| SLE-rara | 01_SLE1 | 46 | 641 | 733 | 2.41 | -103.3 | |
| | 02_SLE2 | 45 | 648 | 741 | 2.44 | -104.7 | |
| | 03_SLE3 | 35 | 742 | 836 | 2.79 | -121.5 | |
| | 04_SLE4 | 33 | 755 | 849 | 2.83 | -123.7 | $\sigma_{traz,el}$ |
| SLE-freq | 05_SLS1 | 22 | 626 | 706 | 2.34 | -103.1 | -1.39 |
| | 06_SLS2 | 22 | 630 | 710 | 2.36 | -104.0 | -1.41 |
| | 07_SLS3 | 20 | 727 | 814 | 2.72 | -120.4 | -1.62 |
| | 08_SLS4 | 18 | 737 | 824 | 2.76 | -122.2 | -1.65 |
| | | | | [MPa] | 2.83 | -123.7 | -1.65 |

Resistenza a flessione

| | | N [kN] | M [kNm] | V [kN] | CS_M |
|-----|---------|--------|---------|--------|-------------|
| SLU | 09_SLU1 | 60 | 939 | 1073 | 2.61 |
| | 10_SLU2 | 58 | 950 | 1083 | 2.58 |
| | 11_SLU3 | 44 | 1085 | 1221 | 2.25 |
| | 12_SLU4 | 41 | 1103 | 1239 | 2.21 |
| | | | | | 2.21 |

Resistenza a taglio

| | | | | | |
|-------------|-----|----------------|------|--|-------------|
| | | ctg θ | 2.50 | $1.0 \leq \dots \leq 2.5$ | |
| ϕ [mm] | 18 | V_{Rcd} [kN] | 3516 | $0.9 b_w d \alpha_c f'_{cd} ctg / (1 + ctg^2)$ | |
| s_1 [mm] | 400 | V_{Rsd} [kN] | 2000 | $A_s / s f_{yd} 0.9 d ctg$ | |
| s_2 [mm] | 400 | V_R [kN] | 2000 | $\min(V_{Rcd}, V_{Rsd})$ | |
| | | V_E [kN] | 1239 | CS_V | 1.61 |

Spalle: Relazione di calcolo

| | | | | | |
|----------|---------|----------|------------|------|------------|
| COMMESSA | LOTTO | CODIFICA | DOCUMENTO | REV. | FOGLIO |
| IF26 | 12 E ZZ | CL | VI0204 001 | A | 104 di 158 |

Le verifiche sono riferite all'intradosso sotto il muro andatore.

| | | | | | |
|------------------|---------------|----------|---------------|-------|----------------|
| plinto | H | 1500 | elem. | F8-33 | modello |
| | tesa | fi24/100 | direz. | 1-1 | FINALE |
| arm. trasversali | compr. | fi24/200 | | | |

Verifica tensioni in esercizio

| Combo | | N [kN] | M [kNm] | V [kN] | σ_{cls} | σ_{acc} | |
|----------|---------|--------|---------|--------|----------------|----------------|--------------------|
| SLE-rara | 01_SLE1 | -163 | 36 | 282 | 0.00 | -47.9 | |
| | 02_SLE2 | -165 | 39 | 282 | 0.00 | -49.4 | |
| | 03_SLE3 | -168 | 28 | 280 | 0.00 | -46.3 | |
| | 04_SLE4 | -169 | 28 | 281 | 0.00 | -46.6 | |
| SLE-freq | 05_SLS1 | -140 | 45 | 248 | 0.00 | -45.6 | $\sigma_{traz,el}$ |
| | 06_SLS2 | -141 | 47 | 247 | 0.00 | -46.4 | -0.20 |
| | 07_SLS3 | -157 | 36 | 262 | 0.00 | -46.4 | -0.19 |
| | 08_SLS4 | -157 | 36 | 263 | 0.00 | -46.6 | -0.19 |
| | | | | [MPa] | 0.00 | -49.4 | -0.20 |

Resistenza a flessione

| | | N [kN] | M [kNm] | V [kN] | CS_M |
|-----|---------|--------|---------|--------|--------------|
| SLU | 09_SLU1 | -244 | 52 | 409 | 20.16 |
| | 10_SLU2 | -247 | 57 | 408 | 18.52 |
| | 11_SLU3 | -251 | 40 | 405 | 26.02 |
| | 12_SLU4 | -251 | 41 | 407 | 25.53 |
| SLV | 13_SLV1 | -23 | -22 | 296 | 107.73 |
| | 14_SLV2 | -99 | -131 | 295 | 17.92 |
| | 15_SLV3 | -17 | -40 | 263 | 60.55 |
| | 16_SLV4 | -93 | -148 | 262 | 15.84 |
| | | | | | 15.84 |

Resistenza a taglio

| | | | | |
|-------------|-----|----------------|------|--|
| | | ctg θ | 2.50 | $1.0 \leq \dots \leq 2.5$ |
| ϕ [mm] | 16 | V_{Rcd} [kN] | 3516 | $0.9 b_w d \alpha_c f'_{cd} ctg / (1 + ctg^2)$ |
| s_1 [mm] | 400 | V_{Rsd} [kN] | 1580 | $A_s / s f_{yd} 0.9 d ctg$ |
| s_2 [mm] | 400 | V_R [kN] | 1580 | $\min(V_{Rcd}, V_{Rsd})$ |
| | | V_E [kN] | 409 | CS_V 3.87 |

Spalle: Relazione di calcolo

| | | | | | |
|----------|---------|----------|------------|------|------------|
| COMMESSA | LOTTO | CODIFICA | DOCUMENTO | REV. | FOGLIO |
| IF26 | 12 E ZZ | CL | VI0204 001 | A | 105 di 158 |

Le verifiche sono riferite all'intradosso sotto il muro andatore interno.

| | | | | | |
|------------------|---------------|----------|---------------|-------|----------------|
| plinto interno | H | 1500 | elem. | F5-25 | modello |
| | tesa | fi24/100 | direz. | 1-1 | FINALE |
| arm. trasversali | compr. | fi24/200 | | | |

Verifica tensioni in esercizio

| Combo | | N [kN] | M [kNm] | V [kN] | σ_{cls} | σ_{acc} | |
|----------|---------|--------|---------|--------|----------------|----------------|--------------------------|
| SLE-rara | 01_SLE1 | -301 | -133 | 215 | 0.00 | -54.9 | |
| | 02_SLE2 | -303 | -131 | 216 | 0.00 | -54.8 | |
| | 03_SLE3 | -278 | -136 | 215 | 0.00 | -52.9 | |
| | 04_SLE4 | -280 | -136 | 215 | 0.00 | -53.2 | |
| SLE-freq | 05_SLS1 | -264 | -113 | 185 | 0.00 | -47.6 | $\sigma_{traz,el}$ -0.41 |
| | 06_SLS2 | -265 | -112 | 185 | 0.00 | -47.5 | -0.41 |
| | 07_SLS3 | -264 | -124 | 200 | 0.00 | -49.4 | -0.44 |
| | 08_SLS4 | -266 | -124 | 200 | 0.00 | -49.7 | -0.44 |
| | | | | [MPa] | 0.00 | -54.9 | -0.44 |

Resistenza a flessione

| | | N [kN] | M [kNm] | V [kN] | CS_M |
|-----|---------|--------|---------|--------|-------------|
| SLU | 09_SLU1 | -427 | -191 | 323 | 11.14 |
| | 10_SLU2 | -430 | -188 | 325 | 11.32 |
| | 11_SLU3 | -394 | -195 | 322 | 11.00 |
| | 12_SLU4 | -398 | -196 | 322 | 10.97 |
| SLV | 13_SLV1 | -118 | -222 | 321 | 10.49 |
| | 14_SLV2 | -374 | -289 | 167 | 7.48 |
| | 15_SLV3 | -97 | -207 | 298 | 11.35 |
| | 16_SLV4 | -353 | -273 | 144 | 7.96 |
| | | | | | 7.48 |

Resistenza a taglio

| | | | | |
|-------------|-----|----------------|------|--|
| | | ctg θ | 2.50 | $1.0 \leq \dots \leq 2.5$ |
| ϕ [mm] | 16 | V_{Rcd} [kN] | 3516 | $0.9 b_w d \alpha_c f'_{cd} ctg / (1 + ctg^2)$ |
| s_1 [mm] | 400 | V_{Rsd} [kN] | 1580 | $A_s / s f_{yd} 0.9 d ctg$ |
| s_2 [mm] | 400 | V_R [kN] | 1580 | $\min(V_{Rcd}, V_{Rsd})$ |
| | | V_E [kN] | 325 | CS_V 4.87 |

Spalle: Relazione di calcolo

| | | | | | |
|----------|---------|----------|------------|------|------------|
| COMMESSA | LOTTO | CODIFICA | DOCUMENTO | REV. | FOGLIO |
| IF26 | 12 E ZZ | CL | VI0204 001 | A | 106 di 158 |

| | | | | | |
|------------------|---------------|----------|---------------|-------|----------------|
| plinto interno | H | 1500 | elem. | F5-25 | modello |
| | tesa | fi24/100 | direz. | 1-1 | |
| arm. trasversali | compr. | fi24/200 | | | |

Verifica tensioni in esercizio

| Combo | | N [kN] | M [kNm] | V [kN] | σ_{cls} | σ_{acc} | |
|----------|---------|--------|---------|--------|----------------|----------------|--------------------|
| SLE-rara | 01_SLE1 | -251 | -197 | 296 | 0.33 | -59.8 | |
| | 02_SLE2 | -251 | -198 | 296 | 0.33 | -59.9 | |
| | 03_SLE3 | -249 | -217 | 305 | 0.43 | -62.7 | |
| | 04_SLE4 | -248 | -218 | 306 | 0.44 | -62.9 | $\sigma_{traz,el}$ |
| SLE-freq | 05_SLS1 | -214 | -162 | 257 | 0.23 | -50.0 | -0.49 |
| | 06_SLS2 | -214 | -162 | 257 | 0.23 | -50.0 | -0.49 |
| | 07_SLS3 | -232 | -190 | 284 | 0.34 | -56.5 | -0.56 |
| | 08_SLS4 | -232 | -190 | 285 | 0.35 | -56.6 | -0.57 |
| | | | | [MPa] | 0.44 | -62.9 | -0.57 |

Resistenza a flessione

| | | N [kN] | M [kNm] | V [kN] | CS_M |
|-----|---------|--------|---------|--------|-------------|
| SLU | 09_SLU1 | -372 | -271 | 438 | 7.97 |
| | 10_SLU2 | -371 | -272 | 438 | 7.95 |
| | 11_SLU3 | -368 | -300 | 451 | 7.23 |
| | 12_SLU4 | -368 | -301 | 453 | 7.19 |
| | | | | | 7.19 |

Resistenza a taglio

| | | | | |
|-------------|-----|----------------|------|--|
| | | ctg θ | 2.50 | $1.0 \leq \dots \leq 2.5$ |
| ϕ [mm] | 16 | V_{Rcd} [kN] | 3516 | $0.9 b_w d \alpha_c f'_{cd} ctg / (1 + ctg^2)$ |
| s_1 [mm] | 400 | V_{Rsd} [kN] | 1580 | $A_s / s f_{yd} 0.9 d ctg$ |
| s_2 [mm] | 400 | V_R [kN] | 1580 | $\min (V_{Rcd}, V_{Rsd})$ |
| | | V_E [kN] | 453 | CS_V 3.49 |

| | | | | | | |
|---|--|------------------|------------------|----------------|-------------------------|-----------|
|    | ITINERARIO NAPOLI – BARI RADDOPPIO TRATTA CANCELLO-BENEVENTO II LOTTO FUNZIONALE FRASSO TELESINO – VITULANO 1° LOTTO FUNZIONALE FRASSO TELESINO – TELESE PROGETTO ESECUTIVO | | | | | |
| | Spalle: Relazione di calcolo | COMMESSA IF26 | LOTTO 12 E ZZ | CODIFICA CL | DOCUMENTO VI0204 001 | REV. A |

10.6 Palificata

Le sollecitazioni agenti nei pali di fondazione, sono state dedotte dal modello di calcolo e corrispondono, con ragionevole approssimazione, a quanto si otterrebbe mediante una ripartizione rigida delle azioni globali.

Il valore del momento flettente agente alla testa del palo (valore massimo) viene calcolato sulla base di quanto indicato nell'elaborato progettuale IF26.0.1.E.ZZ.CL.VI.02.0.3.002.A - Relazione geotecnica di calcolo delle fondazioni.

| | | |
|----------|------|---|
| D | 1.2 | m |
| α | 2.18 | - |

10.6.1 Reazioni globali fase finale

Le massime azioni agenti in testa ai pali sono:

| SL | Combo | Max N [kN] | Min N [kN] | Max T [kN] | Max M [kNm] |
|------------|---------|------------|------------|------------|-------------|
| SLE | 01_SLE1 | 3438 | 2099 | 496 | 1081 |
| | 02_SLE2 | 3426 | 2138 | 492 | 1072 |
| | 03_SLE3 | 3189 | 1835 | 481 | 1049 |
| | 04_SLE4 | 3231 | 1835 | 482 | 1051 |
| SLS | 05_SLS1 | 2959 | 1999 | 427 | 931 |
| | 06_SLS2 | 2960 | 2022 | 425 | 927 |
| | 07_SLS3 | 2976 | 1861 | 448 | 976 |
| | 08_SLS4 | 3009 | 1861 | 448 | 978 |
| SLU | 09_SLU1 | 4797 | 3035 | 724 | 1579 |
| | 10_SLU2 | 4785 | 3091 | 719 | 1568 |
| | 11_SLU3 | 4435 | 2651 | 704 | 1535 |
| | 12_SLU4 | 4496 | 2650 | 706 | 1538 |
| SLV | 13_SLV1 | 3995 | 678 | 1172 | 2554 |
| | 14_SLV2 | 3705 | 918 | 890 | 1941 |
| | 15_SLV3 | 3798 | 330 | 1172 | 2554 |
| | 16_SLV4 | 3508 | 570 | 890 | 1941 |
| GEO | 17_GEO1 | 3880 | 2440 | 623 | 1357 |
| | 18_GEO2 | 3871 | 2488 | 619 | 1348 |
| | 19_GEO3 | 3568 | 2108 | 606 | 1320 |
| | 20_GEO4 | 3620 | 2108 | 607 | 1322 |

Il taglio riportato è già la combinazione vettoriale dei tagli agenti nelle due direzioni.

| | | | | | | | | | | | | | |
|---|---|----------|------------|----------|------------|------|--------|------|---------|----|------------|---|------------|
|    | ITINERARIO NAPOLI – BARI RADDOPPIO TRATTA CANCELLO-BENEVENTO II LOTTO FUNZIONALE FRASSO TELESINO – VITULANO 1° LOTTO FUNZIONALE FRASSO TELESINO – TELESE PROGETTO ESECUTIVO | | | | | | | | | | | | |
| Spalle: Relazione di calcolo | <table border="1"> <tr> <td>COMMESSA</td> <td>LOTTO</td> <td>CODIFICA</td> <td>DOCUMENTO</td> <td>REV.</td> <td>FOGLIO</td> </tr> <tr> <td>IF26</td> <td>12 E ZZ</td> <td>CL</td> <td>VI0204 001</td> <td>A</td> <td>108 di 158</td> </tr> </table> | COMMESSA | LOTTO | CODIFICA | DOCUMENTO | REV. | FOGLIO | IF26 | 12 E ZZ | CL | VI0204 001 | A | 108 di 158 |
| COMMESSA | LOTTO | CODIFICA | DOCUMENTO | REV. | FOGLIO | | | | | | | | |
| IF26 | 12 E ZZ | CL | VI0204 001 | A | 108 di 158 | | | | | | | | |

10.6.2 Reazioni globali modello di prima fase

Le massime azioni agenti in testa ai pali sono:

| SL | Combo | Max N [kN] | Min N [kN] | Max T [kN] |
|------------|---------|------------|------------|------------|
| SLE | 01_SLE1 | 2667.2 | 1651.2 | 430.2 |
| | 02_SLE2 | 2691.4 | 1661.3 | 430.3 |
| | 03_SLE3 | 3181.0 | 1706.5 | 446.9 |
| | 04_SLE4 | 3223.5 | 1719.5 | 448.0 |
| SLS | 05_SLS1 | 2436.0 | 1669.7 | 378.7 |
| | 06_SLS2 | 2450.6 | 1675.8 | 378.7 |
| | 07_SLS3 | 2923.6 | 1743.6 | 413.3 |
| | 08_SLS4 | 2957.6 | 1754.0 | 414.2 |
| SLU | 09_SLU1 | 3648.4 | 2436.3 | 638.8 |
| | 10_SLU2 | 3683.5 | 2451.0 | 638.9 |
| | 11_SLU3 | 4392.9 | 2514.6 | 651.9 |
| | 12_SLU4 | 4454.5 | 2533.4 | 653.6 |
| GEO | 17_GEO1 | 2910.6 | 1939.5 | 549.2 |
| | 18_GEO2 | 2940.9 | 1952.2 | 549.2 |
| | 19_GEO3 | 3552.3 | 2006.7 | 560.4 |
| | 20_GEO4 | 3605.4 | 2023.0 | 561.9 |

Il taglio riportato è già la combinazione vettoriale dei tagli agenti nelle due direzioni.

Nel seguito del paragrafo si eseguiranno le verifiche strutturali dei pali unicamente in fase finale, essendo le sollecitazioni più critiche in tale fase.

| | | | | | | |
|---|--|------------------|------------------|----------------|-------------------------|-----------|
|    | ITINERARIO NAPOLI – BARI RADDOPPIO TRATTA CANCELLO-BENEVENTO II LOTTO FUNZIONALE FRASSO TELESINO – VITULANO 1° LOTTO FUNZIONALE FRASSO TELESINO – TELESE PROGETTO ESECUTIVO | | | | | |
| | Spalle: Relazione di calcolo | COMMESSA IF26 | LOTTO 12 E ZZ | CODIFICA CL | DOCUMENTO VI0204 001 | REV. A |

10.6.3 Verifiche strutturali pali di fondazione

| | | |
|--|---------|-----------------|
| <u>GEOMETRIA DELLA SEZIONE</u> | | |
| Diametro del palo = | 1200 | mm |
| Copriferro netto c = | 60 | mm |
| Classe di resistenza calcestruzzo = | C25/30 | Mpa |
| Classe di resistenza delle barre = | B450C | MPa |
| <u>ARMATURA PER I PRIMI 10 Ø</u> | | |
| <i>1° strato di armatura longitudinale</i> | | |
| Numero barre long. | 30 | - |
| Diametro barre long. | 24 | mm |
| Copriferro baricentrico arm. long. c' = | 86 | mm |
| <i>2° strato di armatura longitudinale</i> | | |
| Numero barre long. | 30 | - |
| Diametro barre long. | 24 | mm |
| Copriferro baricentrico arm. long. c' = | 135 | mm |
| <i>Armatura trasversale</i> | | |
| Diametro barre trasv. | 14 | mm |
| Passo arm. trasv. | 150 | mm |
| Diametro corona esterna = | 1066 | mm |
| <u>VERIFICA ARMATURA MINIMA LONG.</u> | | |
| $\rho_{min} =$ | 1.00% | |
| $A_c =$ | 1130973 | mm ² |
| $A_{s,min} =$ | 11310 | mm ² |
| Armatura long. tot $A_{sd,tot} =$ | 27143 | mm ² |
| $\rho_l =$ | 2.40% | |
| | ok | |

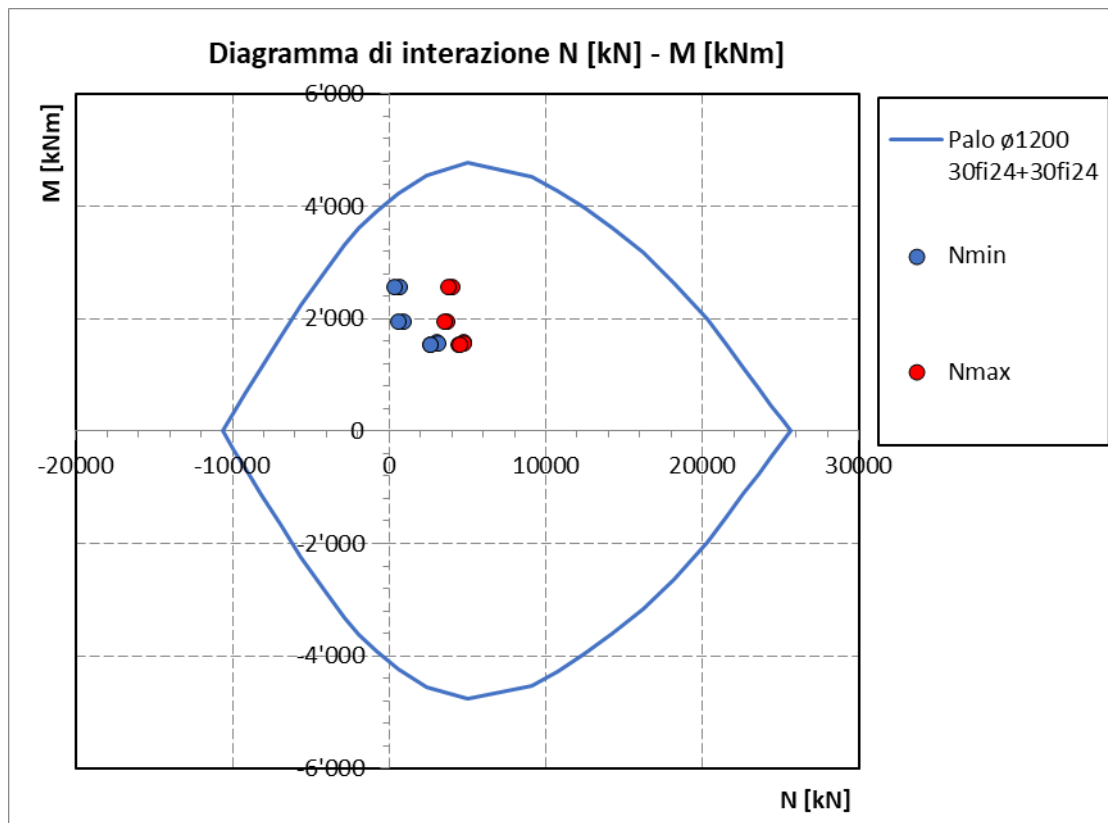
10.6.3.1 Verifiche allo SLU

Presso-flessione

Sono riportate a seguire le verifiche SLU della sezione di sommità del palo maggiormente sollecitato, espresse in forma sintetica mediante il diagramma di interazione N – M.

Spalle: Relazione di calcolo

| COMMESSA | LOTTO | CODIFICA | DOCUMENTO | REV. | FOGLIO |
|----------|---------|----------|------------|------|------------|
| IF26 | 12 E ZZ | CL | VI0204 001 | A | 110 di 158 |



La verifica è soddisfatta in quanto le coppie N-M delle sollecitazioni agenti nella sezione di verifica sono interne al dominio di resistenza per ogni condizione di carico indagata.

Spalle: Relazione di calcolo

| COMMESSA | LOTTO | CODIFICA | DOCUMENTO | REV. | FOGLIO |
|----------|---------|----------|------------|------|------------|
| IF26 | 12 E ZZ | CL | VI0204 001 | A | 111 di 158 |

Taglio

| Verifica a taglio per sezioni circolari armate a taglio (D.M. 14/01/2008) | | | |
|---|------------------|----------|---------------------|
| classe cls | R_{ck} | 30 | N/mm ² |
| resist. Caratteristica cilindrica | f_{ck} | 25 | N/mm ² |
| | f_{cd} | 14 | N/mm ² |
| diámetro | Φ | 1200 | mm |
| Area sezione | A | 1130973 | mm ² |
| copriferro | c | 80 | mm |
| Area sezione rettangolare equivalente | A_{eq} | 941544 | mm ² |
| altezza utile equivalente | d | 931 | mm |
| larghezza equivalente | b_w | 1011 | mm |
| altezza equivalente | h_{eq} | 1118 | mm |
| sforzo assiale dovuto ai carichi o precompressione | N | 0 | N |
| | σ_{cp} | 0.000 | N/mm ² |
| | α_c | 1.00 | |
| Acciaio | f_{yk} | 450 | N/mm ² |
| B450C | f_{yd} | 391 | N/mm ² |
| diámetro staffe (spille) | \varnothing_w | 14 | mm |
| Area staffa (spilla) | $A\varnothing_w$ | 154 | mm ² |
| 0.9 d | z | 838 | mm |
| passo spirale | s_w | 150 | mm |
| | n° bracci | 2 | |
| angolo di inclinazione biella compressa | θ | 21.8 | ° |
| deve essere compreso tra 1 e 2.5 | $\cot(\theta)$ | 2.50 | |
| angolo di inclinazione armatura rispetto asse palo | α | 90 | ° |
| | $\cot(\alpha)$ | 0.00 | |
| | A_{s_w} / s_w | 2.05 | mm ² /mm |
| Taglio resistente per "taglio trazione" | V_{Rsd} | 1682 | kN |
| Taglio resistente per "taglio compressione" | V_{Rcd} | 2061 | kN |
| taglio sollecitante | V_{Ed} | 1172 | kN |
| fattore di sicurezza per GR (par. 7.9.5.2.2) | γ_{Rd} | 1 | |
| taglio resistente | V_{Rd} | 1682 | kN |
| | V_{Ed} | < | V_{Rd} |
| | | verifica | |
| FS | | 1.44 | |

Spalle: Relazione di calcolo

| | | | | | |
|----------|---------|----------|------------|------|------------|
| COMMESSA | LOTTO | CODIFICA | DOCUMENTO | REV. | FOGLIO |
| IF26 | 12 E ZZ | CL | VI0204 001 | A | 112 di 158 |

10.6.3.2 Verifiche allo SLE

Tensioni

La verifica SLE di tipo tensionale si effettua controllando che le massime tensioni normali agenti nella sezione risultino inferiori ai seguenti valori limite:

per le combinazioni SLE-RAR:

- tensione limite nel calcestruzzo: $\sigma_c = 0.55 f_{ck}$
- tensione limite nelle barre: $\sigma_s = 0.75 f_{yk}$

per le combinazioni SLE-QPE:

- tensione limite nel calcestruzzo: $\sigma_c = 0.40 f_{ck}$

04_SLE4

| N° | As [mm²] | x [mm] | y [mm] |
|----|----------|--------|--------|
| 1 | 452 | 0 | 514 |
| 2 | 452 | 107 | 503 |
| 3 | 452 | 209 | 470 |
| 4 | 452 | 302 | 416 |
| 5 | 452 | 382 | 344 |
| 6 | 452 | 445 | 257 |

| Materiali | B450C | C25/30 |
|------------------|--------------|---------|
| E_{su} | 10 ‰ | 2 ‰ |
| f_{yd} | 391.3 N/mm² | 3.5 ‰ |
| E_s | 200000 N/mm² | 13.29 ‰ |
| E_s/E_c | 15 | 0.8 |
| E_{spd} | 1.957 ‰ | 9.75 |
| $\sigma_{s,adm}$ | 255 N/mm² | 0.6 |
| τ_{c1} | 1.829 | |

| | | | | | |
|--------------|--------------|-----|--------|--|--|
| σ_c | -6.392 N/mm² | | | | |
| σ_s | 70.83 N/mm² | | | | |
| ϵ_s | 0.3542 ‰ | | | | |
| d | 1114 mm | | | | |
| x | 640.7 mm | x/d | 0.5751 | | |
| δ | 1 | | | | |

| | | | | | |
|------------|-------|-----|---|------------|-----------------|
| Rck | 30 | MPa | | | |
| fck | 24.9 | MPa | | | |
| fyk | 450 | MPa | | | |
| σ_c | -6.39 | MPa | < | 0.55 fck = | -13.70 MPa VERO |
| σ_s | 70.8 | MPa | < | 0.75 fyk = | 337.5 MPa VERO |
| x | 641 | mm | | | 1 |

Le verifiche sono soddisfatte.

Spalle: Relazione di calcolo

| COMMESSA | LOTTO | CODIFICA | DOCUMENTO | REV. | FOGLIO |
|----------|---------|----------|------------|------|------------|
| IF26 | 12 E ZZ | CL | VI0204 001 | A | 113 di 158 |

Fessurazione

La verifica SLE a fessurazione si effettua controllando che il massimo valore di apertura delle fessure risulti inferiore ai seguenti valori limite:

per le combinazioni SLE-RAR:

- apertura fessure limite: $w_{lim} = w_1 = 0.30 \text{ mm}$

| | | INPUT | | | OUTPUT | | |
|--|---|-------------------|-------|-----------------|---------------------------------|----------|----|
| | | R_{ck} | 30 | Mpa | diff. def. armature-cls | | |
| | dimensione | h | 1200 | mm | $\epsilon_{sm} - \epsilon_{cm}$ | 2.06E-04 | - |
| | pos. baric. 1° strato | c_1 | 86 | mm | distanza max fessure | | |
| | diametro barre 1° strato | ϕ_1 | 24 | mm | $s_{r,max}$ | 470 | mm |
| | numero barre 1° strato | n_1 | 7.807 | | ampiezza fessure: | | |
| | pos. baric. 2° strato | c_2 | 135 | mm | w_k | 0.097 | mm |
| | diametro barre 2° strato | ϕ_2 | 24 | mm | w_{lim} | 0.300 | mm |
| | numero barre 2° strato | n_2 | 7.807 | | La verifica è soddisfatta. | | |
| | distanza lembo compresso-lembo teso della sezione | d | 1090 | mm | | | |
| | | b_{eff} | 128 | mm | | | |
| | posizione asse neutro da lembo compresso | x | 641 | mm | | | |
| | Tensione massima barre 1° strato | $\sigma_{s,max1}$ | 71 | Mpa | | | |
| | Tensione massima barre 2° strato | $\sigma_{s,max2}$ | 71 | Mpa | | | |
| | altezza efficace | $h_{c,eff}$ | 186 | mm | | | |
| | area efficace relativamente ad una singola barre | $A_{c,eff}$ | 23867 | mm ² | | | |
| | percentuale di armatura relativa a $A_{c,eff}$ | $\rho_{p,eff}$ | 0.038 | | | | |
| | (0.6 carichi brevi; 0.4 lunga durata) | k_t | 0.6 | | | | |
| | (0.8 barre ad. migliorata; 1.6 liscie) | k_1 | 0.8 | | | | |
| | (0.5 per flessione; 1 trazione) | k_2 | 0.5 | | | | |
| | | k_3 | 3.4 | | | | |
| | | k_4 | 0.425 | | | | |

Spalle: Relazione di calcolo

| COMMESSA | LOTTO | CODIFICA | DOCUMENTO | REV. | FOGLIO |
|----------|---------|----------|------------|------|------------|
| IF26 | 12 E ZZ | CL | VI0204 001 | A | 114 di 158 |

11. ANALISI E VERIFICA SPALLA FISSA (S2)

11.1 Reazioni globali fase finale

Le reazioni globali agenti ad intradosso fondazione nel riferimento baricentrico dei pali sono:

| RIEPILOGO SCARICHI INTRADOSSO FONDAZIONE BARICENTRO PALI | | | | | | | |
|--|--------------------------------|---------------|--------|---------|----------|---------|---------|
| Condizione | | N | ML | MT | TL | TT | |
| | | [kN] | [kNm] | [kNm] | [kN] | [kN] | |
| CARICHI ELEMENTARI IMPALCATO | Permanenti strutturali | G1 | 4492.5 | 3145.4 | 0.6 | 0.0 | 0.0 |
| | Permanenti NON strutturali | G2 | 1966.6 | 1376.9 | 0.3 | 0.0 | 0.0 |
| | Traffico - 1LM71 | Q1,1a | 1889.3 | 1322.8 | -3929.6 | 0.0 | 0.0 |
| | Traffico - 1SW2 | Q1,1b | 2055.8 | 1439.4 | -4276.1 | 0.0 | 0.0 |
| | Traffico - 2 LM71 | Q1,2a | 3778.6 | 2645.5 | -301.8 | 0.0 | 0.0 |
| | Traffico - 1 LM72 + 1 SW2 | Q1,2b | 3945.2 | 2762.1 | -315.1 | 0.0 | 0.0 |
| | Carico variabile 1 Marciapiede | Qm1 | 192.5 | 134.8 | -1001.0 | 0.0 | 0.0 |
| | Carico variabile 2 Marciapiedi | Qm2 | 385.0 | 269.5 | -38.4 | 0.0 | 0.0 |
| | Carico Avviamento | Qa | 89.0 | 3256.4 | -0.2 | -798.5 | 0.0 |
| | Frenatura LM71 | Qf1 | 54.0 | 1973.6 | -0.1 | -483.9 | 0.0 |
| | Frenatura SW2 | Qf2 | 85.9 | 3139.8 | -0.2 | -769.9 | 0.0 |
| | Serpeggio 1 treno | QS1 | 0.0 | 0.0 | -698.4 | 0.0 | -109.8 |
| | Serpeggio 2 treni | QS2 | 0.0 | 0.0 | -1396.8 | 0.0 | -219.7 |
| | Vento | Qw | 0.0 | 0.0 | -2067.7 | 0.0 | -278.6 |
| | Azioni aerodinamiche 1 treno | Qae1 | 0.0 | 0.0 | -91.4 | 0.0 | -11.1 |
| | Azioni aerodinamiche 2 treni | Qae2 | 0.0 | 0.0 | -182.8 | 0.0 | -22.2 |
| | Sisma Long con 2 LM71 | Elong | 332.6 | 17995.8 | -1.2 | -4440.5 | 0.0 |
| | Sisma Trasv con 2 LM71 | Etrasv | -0.1 | 0.2 | -12383.2 | 0.0 | -2217.5 |
| Sisma Vert con 2 LM71 | Evert | 1110.2 | 777.3 | 0.1 | 0.0 | 0.0 | |

Spalle: Relazione di calcolo

| | | | | | |
|----------|---------|----------|------------|------|------------|
| COMMESSA | LOTTO | CODIFICA | DOCUMENTO | REV. | FOGLIO |
| IF26 | 12 E ZZ | CL | VI0204 001 | A | 115 di 158 |

RIEPILOGO SCARICHI INTRADOSSO FONDAZIONE BARICENTRO PALI

| Condizione | | N | ML | MT | TL | TT |
|------------------------------|---------------|--------|---------|---------|---------|---------|
| | | [kN] | [kNm] | [kNm] | [kN] | [kN] |
| p.p. spalla | SP_Gk1 | 5859.7 | -437.0 | -590.7 | 0.0 | 0.0 |
| spalla sisma long | SP_Elong | 0.1 | 3013.0 | -0.2 | -1845.7 | 0.0 |
| spalla sisma trasv | SP_Etrasv | 0.0 | 0.0 | -3011.4 | 0.0 | -1843.4 |
| spalla sisma vert | SP_Evert | 920.0 | -68.6 | -92.7 | 0.0 | 0.0 |
| p.p. rinterro | SP_Gk2 | 2643.7 | -4494.2 | 492.4 | 0.0 | 0.0 |
| rinterro spinta esercizio | SP_Gk2_h | 0.1 | 2766.5 | -0.2 | -1608.5 | 0.0 |
| rinterro sisma long | SP_Gk2_Elong | 0.3 | 9924.2 | -0.7 | -3473.5 | 0.0 |
| rinterro sisma trasv | SP_Gk2_Etrasv | 0.0 | 0.0 | -3106.5 | 0.0 | -890.4 |
| rinterro sisma vert | SP_Gk2_Evert | 831.7 | -1413.9 | 154.9 | 0.0 | 0.0 |
| permanente | SP_Gk3 | 479.5 | -815.1 | 89.3 | 0.0 | 0.0 |
| permanente spinta esercizio | SP_Gk3_h | 0.0 | 849.2 | -0.1 | -243.7 | 0.0 |
| accidentale | SP_Qk | 1664.8 | -2830.1 | 310.1 | 0.0 | 0.0 |
| accidentale spinta esercizio | SP_Qk_h | 0.1 | 2951.4 | -0.2 | -846.8 | 0.0 |

RIEPILOGO SCARICHI INTRADOSSO FONDAZIONE BARICENTRO PALI

| Condizione | | N | ML | MT | TL | TT |
|---------------|---------|---------|---------|----------|----------|---------|
| | | [kN] | [kNm] | [kNm] | [kN] | [kN] |
| SLE-rara | 01_SLE1 | 21264.9 | 7989.0 | -2851.4 | -3340.2 | -409.1 |
| | 02_SLE2 | 21534.9 | 11886.8 | -2075.1 | -4267.3 | -288.1 |
| | 03_SLE3 | 19194.6 | 5571.7 | -6459.3 | -3098.2 | -288.1 |
| | 04_SLE4 | 19361.2 | 5688.3 | -6805.9 | -3098.2 | -288.1 |
| SLE-frequente | 05_SLS1 | 18935.8 | 5750.0 | -969.8 | -2745.0 | -145.1 |
| | 06_SLS2 | 19097.8 | 8088.7 | -504.1 | -3301.3 | -72.6 |
| | 07_SLS3 | 18444.1 | 4935.7 | -4176.6 | -2849.0 | -96.8 |
| | 08_SLS4 | 18577.4 | 5029.0 | -4453.9 | -2849.0 | -96.8 |
| SLU | 09_SLU1 | 30068.8 | 11308.1 | -2249.0 | -4935.9 | -350.8 |
| | 10_SLU2 | 30460.3 | 16960.0 | -1123.5 | -6280.3 | -175.4 |
| | 11_SLU3 | 27059.2 | 7797.6 | -7519.1 | -4585.0 | -175.4 |
| | 12_SLU4 | 27300.8 | 7966.8 | -8021.6 | -4585.0 | -175.4 |
| SLV | 13_SLV1 | 17722.3 | 33666.4 | -5540.4 | -11781.2 | -1485.4 |
| | 14_SLV2 | 17489.1 | 12013.5 | -18489.8 | -4949.4 | -4951.3 |
| | 15_SLV3 | 15672.2 | 34655.5 | -5639.9 | -11781.2 | -1485.4 |
| | 16_SLV4 | 15439.0 | 13002.6 | -18589.2 | -4949.4 | -4951.3 |
| GEO | 17_GEO1 | 24263.0 | 9304.1 | -1838.4 | -4267.8 | -302.4 |
| | 18_GEO2 | 24600.5 | 14176.4 | -868.0 | -5426.8 | -151.2 |
| | 19_GEO3 | 21667.4 | 6277.1 | -6386.8 | -3965.4 | -151.2 |

Spalle: Relazione di calcolo

| COMMESSA | LOTTO | CODIFICA | DOCUMENTO | REV. | FOGLIO |
|----------|---------|----------|------------|------|------------|
| IF26 | 12 E ZZ | CL | VI0204 001 | A | 116 di 158 |

| | | | | | | |
|--|---------|---------|--------|---------|---------|--------|
| | 20_GEO4 | 21875.7 | 6422.9 | -6820.0 | -3965.4 | -151.2 |
|--|---------|---------|--------|---------|---------|--------|

11.2 Reazioni globali modello di prima fase

Le reazioni globali agenti ad intradosso fondazione nel riferimento baricentrico (di seconda fase) dei pali sono:

| RIEPILOGO SCARICHI INTRADOSSO FONDAZIONE BARICENTRO PALI | | | | | | | |
|--|--------------------------------|--------|--------|---------|----------|---------|---------|
| Condizione | | N | ML | MT | TL | TT | |
| | | [kN] | [kNm] | [kNm] | [kN] | [kN] | |
| CARICHI ELEMENTARI IMPALCATO | Permanenti strutturali | G1 | 2994.1 | 2095.5 | 5987.7 | 0.0 | 0.0 |
| | Permanenti NON strutturali | G2 | 1310.7 | 917.3 | 2621.1 | 0.0 | 0.0 |
| | Traffico - 1LM71 | Q1,1a | 1888.7 | 1321.9 | 3626.1 | 0.0 | 0.0 |
| | Traffico - 1SW2 | Q1,1b | 2055.3 | 1438.4 | 3945.7 | 0.0 | 0.0 |
| | Carico variabile 1 Marciapiede | Qm1 | 192.4 | 134.7 | -230.9 | 0.0 | 0.0 |
| | Carico variabile 2 Marciapiedi | Qm2 | 384.9 | 269.4 | 731.2 | 0.0 | 0.0 |
| | Carico Avviamento | Qa | 88.8 | 3255.6 | 178.0 | -798.3 | 0.0 |
| | Frenatura LM71 | Qf1 | 53.8 | 1973.1 | 107.9 | -483.8 | 0.0 |
| | Frenatura SW2 | Qf2 | 85.7 | 3139.0 | 171.8 | -769.7 | 0.0 |
| | Serpeggio 1 treno | QS1 | 0.0 | 0.0 | -697.9 | 0.0 | -109.5 |
| | Vento | Qw | 0.0 | -0.1 | -2066.4 | 0.0 | -277.7 |
| | Azioni aerodinamiche 1 treno | Qae1 | 0.0 | 0.0 | -91.3 | 0.0 | -11.0 |
| | Sisma Long con 2 LM71 | Elong | 331.4 | 17991.4 | 665.2 | -4439.5 | 0.2 |
| | Sisma Trasv con 2 LM71 | Etrasv | 0.3 | -0.5 | -12374.5 | 0.0 | -2210.6 |
| | Sisma Vert con 2 LM71 | Evert | 1109.9 | 776.8 | 2219.6 | 0.0 | 0.0 |

| RIEPILOGO SCARICHI INTRADOSSO FONDAZIONE BARICENTRO PALI | | | | | | | |
|--|-----------------------------|---------------|--------|---------|---------|---------|---------|
| Condizione | | N | ML | MT | TL | TT | |
| | | [kN] | [kNm] | [kNm] | [kN] | [kN] | |
| CARICHI ELEMENTARI SPALLA | p.p. spalla | SP_Gk1 | 4083.4 | -252.8 | 8948.7 | 0.0 | 0.0 |
| | spalla sisma long | SP_Elong | -0.1 | 2107.3 | 0.1 | -1286.2 | 0.0 |
| | spalla sisma trasv | SP_Etrasv | 0.0 | -0.1 | -2103.2 | 0.0 | -1280.7 |
| | spalla sisma vert | SP_Evert | 641.1 | -39.7 | 1404.9 | 0.0 | 0.0 |
| | p.p. rinterro | SP_Gk2 | 1936.8 | -3292.7 | 3649.9 | 0.0 | 0.0 |
| | rinterro spinta esercizio | SP_Gk2_h | -0.1 | 1939.5 | 0.1 | -1122.6 | -0.1 |
| | rinterro sisma long | SP_Gk2_Elong | -0.2 | 7171.2 | 0.6 | -2491.4 | 0.1 |
| | rinterro sisma trasv | SP_Gk2_Etrasv | 0.0 | -0.1 | -2173.1 | 0.0 | -621.2 |
| | rinterro sisma vert | SP_Gk2_Evert | 609.3 | -1035.9 | 1148.3 | 0.0 | 0.0 |
| | permanente | SP_Gk3 | 351.3 | -597.2 | 661.9 | 0.0 | 0.0 |
| | permanente spinta esercizio | SP_Gk3_h | 0.0 | 622.1 | 0.1 | -178.5 | 0.0 |

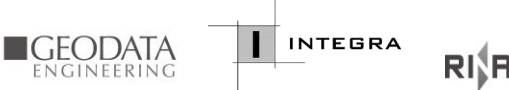
Spalle: Relazione di calcolo

| COMMESSA | LOTTO | CODIFICA | DOCUMENTO | REV. | FOGLIO |
|----------|---------|----------|------------|------|------------|
| IF26 | 12 E ZZ | CL | VI0204 001 | A | 117 di 158 |

| | | | | | | |
|------------------------------|---------|--------|---------|--------|--------|-----|
| accidentale | SP_Qk | 1219.7 | -2073.5 | 2298.4 | 0.0 | 0.0 |
| accidentale spinta esercizio | SP_Qk_h | -0.1 | 2162.1 | 0.2 | -620.4 | 0.0 |

RIEPILOGO SCARICHI INTRADOSSO FONDAZIONE BARICENTRO PALI

| Condizione | | N | ML | MT | TL | TT |
|---------------|---------|---------|---------|---------|---------|---------|
| | | [kN] | [kNm] | [kNm] | [kN] | [kN] |
| SLE-rara | 01_SLE1 | 12275.0 | 4350.1 | 23656.2 | -2562.5 | -166.6 |
| | 02_SLE2 | 12378.2 | 8130.4 | 23863.0 | -3489.4 | -166.5 |
| | 03_SLE3 | 13982.9 | 4577.7 | 25669.3 | -2320.6 | -287.1 |
| | 04_SLE4 | 14149.5 | 4694.2 | 25989.0 | -2320.6 | -287.1 |
| SLE-frequente | 05_SLS1 | 11635.5 | 3182.8 | 23685.4 | -2057.9 | 0.0 |
| | 06_SLS2 | 11697.4 | 5451.0 | 23809.5 | -2614.1 | 0.1 |
| | 07_SLS3 | 13321.6 | 3948.5 | 25901.3 | -2116.7 | -96.4 |
| | 08_SLS4 | 13454.8 | 4041.8 | 26157.0 | -2116.7 | -96.4 |
| SLU | 09_SLU1 | 17286.3 | 6113.7 | 34981.5 | -3780.6 | 0.1 |
| | 10_SLU2 | 17435.9 | 11595.1 | 35281.3 | -5124.7 | 0.1 |
| | 11_SLU3 | 19755.1 | 6438.3 | 37862.1 | -3429.9 | -174.7 |
| | 12_SLU4 | 19996.6 | 6607.3 | 38325.6 | -3429.9 | -174.7 |
| SLV | 13_SLV1 | 11959.4 | 28629.6 | 19431.7 | -9642.2 | -1233.5 |
| | 14_SLV2 | 11727.9 | 9540.2 | 7310.0 | -3890.3 | -4112.5 |
| | 15_SLV3 | 10299.3 | 28791.2 | 16108.3 | -9518.2 | -1233.5 |
| | 16_SLV4 | 10067.8 | 9701.7 | 3986.6 | -3766.2 | -4112.5 |
| GEO | 17_GEO1 | 13769.7 | 4967.3 | 27761.8 | -3268.1 | 0.1 |
| | 18_GEO2 | 13898.6 | 9692.6 | 28020.3 | -4426.8 | 0.1 |
| | 19_GEO3 | 15896.9 | 5246.3 | 30239.8 | -2965.8 | -150.6 |
| | 20_GEO4 | 16105.0 | 5392.0 | 30639.4 | -2965.8 | -150.6 |

|  | <p>ITINERARIO NAPOLI – BARI RADDOPPIO TRATTA CANCELLO-BENEVENTO II LOTTO FUNZIONALE FRASSO TELESINO – VITULANO 1° LOTTO FUNZIONALE FRASSO TELESINO – TELESE</p> <p>PROGETTO ESECUTIVO</p> | | | | | | | | | | | | |
|---|---|----------|------------|----------|------------|------|--------|------|---------|----|------------|---|------------|
| <p>Spalle: Relazione di calcolo</p> | <table border="1"> <thead> <tr> <th>COMMESSA</th> <th>LOTTO</th> <th>CODIFICA</th> <th>DOCUMENTO</th> <th>REV.</th> <th>FOGLIO</th> </tr> </thead> <tbody> <tr> <td>IF26</td> <td>12 E ZZ</td> <td>CL</td> <td>VI0204 001</td> <td>A</td> <td>118 di 158</td> </tr> </tbody> </table> | COMMESSA | LOTTO | CODIFICA | DOCUMENTO | REV. | FOGLIO | IF26 | 12 E ZZ | CL | VI0204 001 | A | 118 di 158 |
| COMMESSA | LOTTO | CODIFICA | DOCUMENTO | REV. | FOGLIO | | | | | | | | |
| IF26 | 12 E ZZ | CL | VI0204 001 | A | 118 di 158 | | | | | | | | |

11.3 Diagrammi di sollecitazione fase finale

Le massime sollecitazioni flessionali agenti sugli elementi lastra-piastra sono:

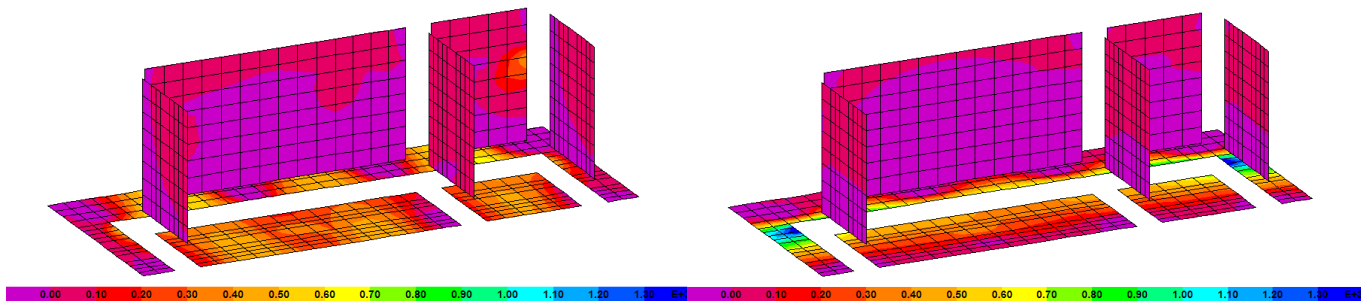


Figura 23 - involucro massimi positivi: direzione 1-1 (sx), direzione 2-2 (dz) – kNm/m

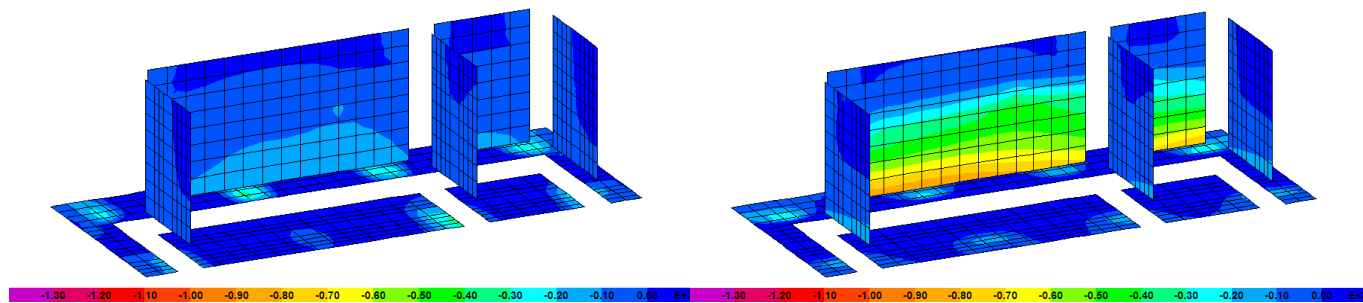


Figura 24 - involucro massimi negativi: direzione 1-1 (sx), direzione 2-2 (dz) – kNm/m

Sono positivi i momenti che tendono le fibre di intradosso della fondazione, e negativi i momenti che tendono le fibre contro terra dei muri (lato rinterro). Gli assi locali degli elementi lastra-piastra seguono la seguente convenzione: 1 rosso, 2 nero, 3 ciano.

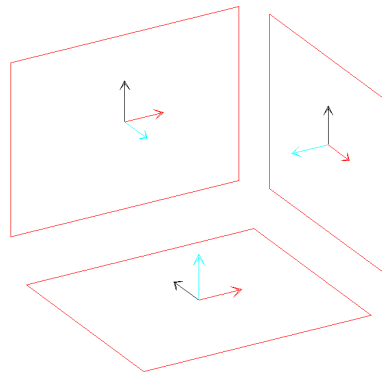
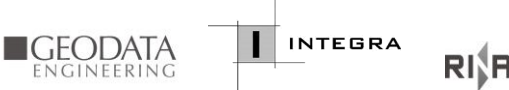


Figura 25 - assi locali elementi lastra-piastra

| | | | | | | |
|---|--|------------------|----------------|-------------------------|-----------|----------------------|
|  | ITINERARIO NAPOLI – BARI RADDOPPIO TRATTA CANCELLO-BENEVENTO II LOTTO FUNZIONALE FRASSO TELESINO – VITULANO 1° LOTTO FUNZIONALE FRASSO TELESINO – TELESE PROGETTO ESECUTIVO | | | | | |
| Spalle: Relazione di calcolo | COMMESSA IF26 | LOTTO 12 E ZZ | CODIFICA CL | DOCUMENTO VI0204 001 | REV. A | FOGLIO 119 di 158 |

11.4 Diagrammi di sollecitazione modello di prima fase

Le massime sollecitazioni flessionali agenti sugli elementi lastra-piastra sono:

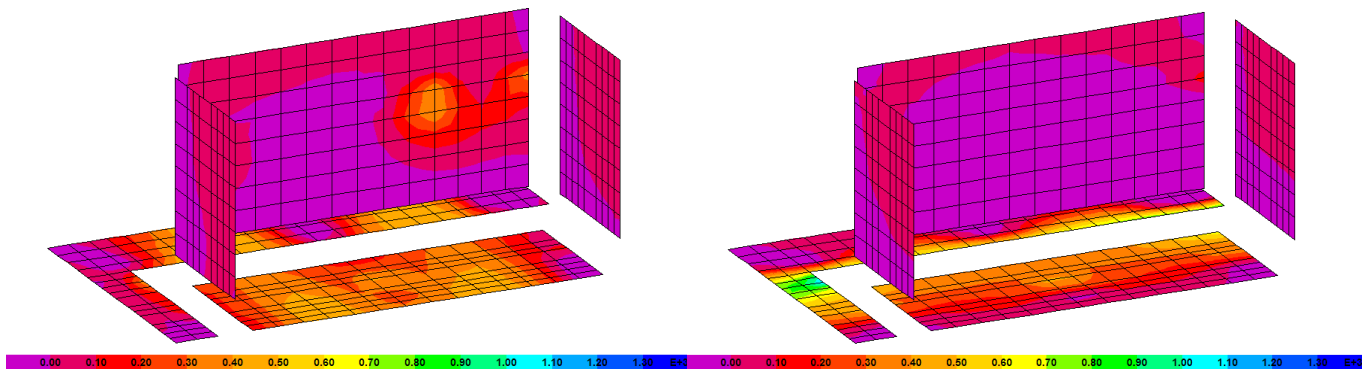


Figura 26 - involucro massimi positivi: direzione 1-1 (sx), direzione 2-2 (dz) – kNm/m

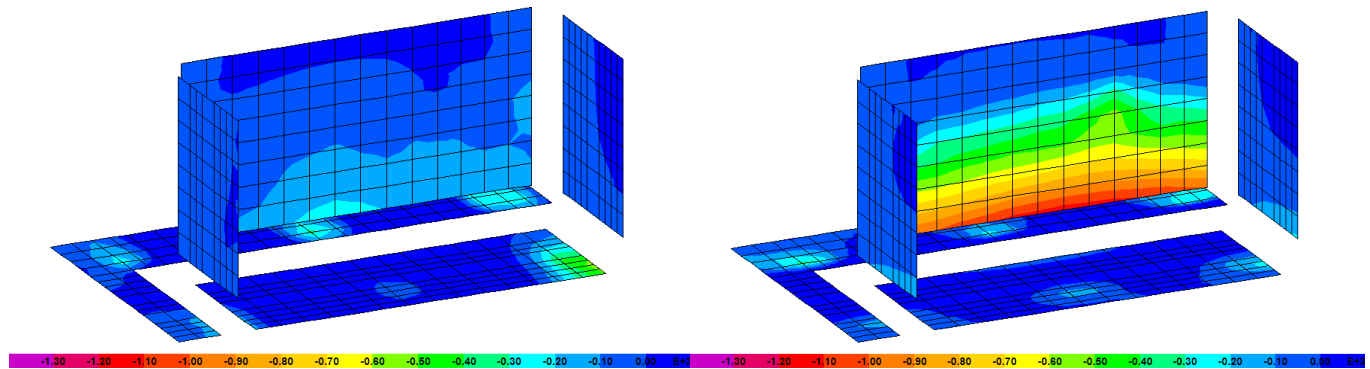


Figura 27 - involucro massimi negativi: direzione 1-1 (sx), direzione 2-2 (dz) – kNm/m

|    | <p>ITINERARIO NAPOLI – BARI RADDOPPIO TRATTA CANCELLO-BENEVENTO II LOTTO FUNZIONALE FRASSO TELESINO – VITULANO 1° LOTTO FUNZIONALE FRASSO TELESINO – TELESE</p> <p>PROGETTO ESECUTIVO</p> | | | | | | | | | | | | |
|---|---|----------|------------|----------|------------|------|--------|------|---------|----|------------|---|------------|
| <p>Spalle: Relazione di calcolo</p> | <table border="1"> <thead> <tr> <th>COMMESSA</th> <th>LOTTO</th> <th>CODIFICA</th> <th>DOCUMENTO</th> <th>REV.</th> <th>FOGLIO</th> </tr> </thead> <tbody> <tr> <td>IF26</td> <td>12 E ZZ</td> <td>CL</td> <td>VI0204 001</td> <td>A</td> <td>120 di 158</td> </tr> </tbody> </table> | COMMESSA | LOTTO | CODIFICA | DOCUMENTO | REV. | FOGLIO | IF26 | 12 E ZZ | CL | VI0204 001 | A | 120 di 158 |
| COMMESSA | LOTTO | CODIFICA | DOCUMENTO | REV. | FOGLIO | | | | | | | | |
| IF26 | 12 E ZZ | CL | VI0204 001 | A | 120 di 158 | | | | | | | | |

11.5 Verifiche a flessione e taglio dei muri e della fondazione

Per ciascuna sezione di verifica si riportano le tabelle con le sollecitazioni ottenute dal modello di calcolo descritto nei paragrafi precedenti.

In ciascuna tabella si riportano altresì le tensioni di calcolo per le verifiche agli stati limite di esercizio ed i coefficienti di sicurezza per le verifiche agli stati limite ultimi. Per le combinazioni per le quali è richiesta la verifica a fessurazione si riporta la massima tensione di trazione elastica nel calcestruzzo, qualora questa sia inferiore al limite di $f_{ctm}/1.2$ risulta soddisfatta la verifica di non formazione delle fessure, viceversa si procede con il calcolo dell'ampiezza delle fessure.

Diversamente dalla convenzione del programma di calcolo, sono positivi gli sforzi normali di compressione e negativi quelli di trazione. Tutte le sollecitazioni degli elementi lastra/piastra e le relative verifiche sono sviluppate per unità di lunghezza.

Quando la sezione di verifica esiste sia in fase finale sia in prima fase, si riportano entrambe le verifiche utilizzando le sollecitazioni derivanti dai rispettivi modelli di calcolo.

Spalle: Relazione di calcolo

| | | | | | |
|----------|---------|----------|------------|------|------------|
| COMMESSA | LOTTO | CODIFICA | DOCUMENTO | REV. | FOGLIO |
| IF26 | 12 E ZZ | CL | VI0204 001 | A | 121 di 158 |

11.5.1 Muro frontale

Le verifiche sono riferite alla sezione di spiccato.

| | | | | | |
|----------------|---------------|----------|---------------|--------|----------------|
| muro frontale | H | 1400 | elem. | M12-31 | modello |
| | tesa | fi24/100 | direz. | 2-2 | FINALE |
| arm. verticali | compr. | fi24/200 | | | |

Verifica tensioni in esercizio

| Combo | | N [kN] | M [kNm] | V [kN] | σ_{cls} | σ_{acc} | |
|----------|---------|--------|---------|--------|----------------|----------------|--------------------|
| SLE-rara | 01_SLE1 | 672 | -439 | -167 | 1.99 | -24.7 | |
| | 02_SLE2 | 699 | -519 | -208 | 2.36 | -34.9 | |
| | 03_SLE3 | 517 | -375 | -150 | 1.70 | -24.5 | |
| | 04_SLE4 | 526 | -378 | -150 | 1.72 | -24.5 | $\sigma_{traz,el}$ |
| SLE-freq | 05_SLS1 | 583 | -357 | -134 | 1.62 | -18.1 | -0.55 |
| | 06_SLS2 | 599 | -405 | -159 | 1.84 | -24.0 | -0.66 |
| | 07_SLS3 | 507 | -347 | -137 | 1.58 | -21.0 | -0.57 |
| | 08_SLS4 | 514 | -350 | -138 | 1.59 | -21.0 | -0.57 |
| | | | | [MPa] | 2.36 | -34.9 | -0.66 |

Resistenza a flessione

| | | N [kN] | M [kNm] | V [kN] | CS_M |
|-----|---------|--------|---------|--------|-------------|
| SLU | 09_SLU1 | 948 | -632 | -244 | 4.43 |
| | 10_SLU2 | 987 | -748 | -304 | 3.77 |
| | 11_SLU3 | 723 | -540 | -220 | 4.94 |
| | 12_SLU4 | 737 | -545 | -220 | 4.91 |
| SLV | 13_SLV1 | 550 | -806 | -435 | 3.18 |
| | 14_SLV2 | 449 | -424 | -190 | 5.91 |
| | 15_SLV3 | 519 | -778 | -429 | 3.28 |
| | 16_SLV4 | 418 | -396 | -184 | 6.29 |
| | | | | | 3.18 |

Resistenza a taglio

| | | | | |
|-------------|-----|----------------|------|--|
| | | ctg θ | 2.50 | $1.0 \leq \dots \leq 2.5$ |
| ϕ [mm] | 12 | V_{Rcd} [kN] | 3270 | $0.9 b_w d \alpha_c f'_{cd} ctg / (1 + ctg^2)$ |
| s_1 [mm] | 400 | V_{Rsd} [kN] | 826 | $A_s / s f_{yd} 0.9 d ctg$ |
| s_2 [mm] | 400 | V_R [kN] | 826 | $\min(V_{Rcd}, V_{Rsd})$ |
| | | V_E [kN] | 435 | CS_V 1.90 |

Spalle: Relazione di calcolo

| | | | | | |
|----------|---------|----------|------------|------|------------|
| COMMESSA | LOTTO | CODIFICA | DOCUMENTO | REV. | FOGLIO |
| IF26 | 12 E ZZ | CL | VI0204 001 | A | 122 di 158 |

| | | | | | |
|----------------|---------------|----------|---------------|--------|----------------|
| muro frontale | H | 1400 | elem. | M12-31 | modello |
| | tesa | fi24/100 | direz. | 2-2 | |
| arm. verticali | compr. | fi24/200 | | | |

Verifica tensioni in esercizio

| Combo | | N [kN] | M [kNm] | V [kN] | σ_{cls} | σ_{acc} | |
|----------|---------|--------|---------|--------|----------------|----------------|--------------------|
| SLE-rara | 01_SLE1 | 311 | -395 | -174 | 1.79 | -43.1 | |
| | 02_SLE2 | 320 | -513 | -238 | 2.30 | -63.0 | |
| | 03_SLE3 | 438 | -416 | -160 | 1.89 | -36.6 | |
| | 04_SLE4 | 451 | -421 | -160 | 1.91 | -36.5 | $\sigma_{traz,el}$ |
| SLE-freq | 05_SLS1 | 313 | -331 | -137 | 1.50 | -31.8 | -0.65 |
| | 06_SLS2 | 318 | -401 | -175 | 1.81 | -43.5 | -0.83 |
| | 07_SLS3 | 413 | -380 | -144 | 1.73 | -32.4 | -0.71 |
| | 08_SLS4 | 423 | -384 | -145 | 1.75 | -32.3 | -0.72 |
| | | | | [MPa] | 2.30 | -63.0 | -0.83 |

Resistenza a flessione

| | | N [kN] | M [kNm] | V [kN] | CS_M |
|-----|---------|--------|---------|--------|-------------|
| SLU | 09_SLU1 | 423 | -570 | -255 | 4.38 |
| | 10_SLU2 | 436 | -740 | -347 | 3.38 |
| | 11_SLU3 | 607 | -600 | -234 | 4.34 |
| | 12_SLU4 | 625 | -607 | -235 | 4.30 |
| | | | | | 3.38 |

Resistenza a taglio

| | | | | | |
|-------------|-----|----------------|------|--|-------------|
| | | ctg θ | 2.50 | $1.0 \leq \dots \leq 2.5$ | |
| ϕ [mm] | 12 | V_{Rcd} [kN] | 3270 | $0.9 b_w d \alpha_c f'_{cd} ctg / (1 + ctg^2)$ | |
| s_1 [mm] | 400 | V_{Rsd} [kN] | 826 | $A_s / s f_{yd} 0.9 d ctg$ | |
| s_2 [mm] | 400 | V_R [kN] | 826 | $\min(V_{Rcd}, V_{Rsd})$ | |
| | | V_E [kN] | 347 | CS_V | 2.38 |

Spalle: Relazione di calcolo

| | | | | | |
|----------|---------|----------|------------|------|------------|
| COMMESSA | LOTTO | CODIFICA | DOCUMENTO | REV. | FOGLIO |
| IF26 | 12 E ZZ | CL | VI0204 001 | A | 123 di 158 |

Le verifiche sono riferite alla sezione d'angolo con muri andatori.

| | | | | | |
|------------------|---------------|----------|---------------|--------|----------------|
| muro frontale | H | 1400 | elem. | M16-25 | modello |
| | tesa | fi18/200 | direz. | 1-1 | FINALE |
| arm. orizzontali | compr. | fi18/200 | | | |

Verifica tensioni in esercizio

| Combo | | N [kN] | M [kNm] | V [kN] | σ_{cls} | σ_{acc} | | |
|----------|---------|--------|---------|--------|----------------|----------------|-------------------------|-------------|
| SLE-rara | 01_SLE1 | 223 | 9 | -42 | 0.18 | 2.0 | | |
| | 02_SLE2 | 227 | 89 | -42 | 0.45 | -2.3 | | |
| | 03_SLE3 | 207 | -14 | -41 | 0.18 | 1.6 | | |
| | 04_SLE4 | 212 | -12 | -43 | 0.18 | 1.8 | | |
| SLE-freq | 05_SLS1 | 191 | -5 | -36 | 0.15 | 1.8 | $\sigma_{traz,el}$ 0.12 | |
| | 06_SLS2 | 193 | 43 | -36 | 0.26 | 0.3 | 0.01 | |
| | 07_SLS3 | 192 | -17 | -38 | 0.18 | 1.3 | 0.08 | |
| | 08_SLS4 | 196 | -16 | -39 | 0.18 | 1.4 | 0.09 | |
| | | | | | [MPa] | 0.45 | -2.3 | 0.01 |

Resistenza a flessione

| | | N [kN] | M [kNm] | V [kN] | CS_M |
|-----|---------|--------|---------|--------|-------------|
| SLU | 09_SLU1 | 308 | 5 | -54 | 165.16 |
| | 10_SLU2 | 314 | 120 | -54 | 7.02 |
| | 11_SLU3 | 285 | -29 | -54 | 28.81 |
| | 12_SLU4 | 292 | -26 | -56 | 32.51 |
| SLV | 13_SLV1 | 181 | 498 | -68 | 1.53 |
| | 14_SLV2 | 143 | 43 | -34 | 17.10 |
| | 15_SLV3 | 156 | 500 | -59 | 1.49 |
| | 16_SLV4 | 119 | 45 | -26 | 15.97 |
| | | | | | 1.49 |

Resistenza a taglio

| | | | | |
|-------------|-----|----------------|------|--|
| | | ctg θ | 2.50 | $1.0 \leq \dots \leq 2.5$ |
| ϕ [mm] | 12 | V_{Rcd} [kN] | 3277 | $0.9 b_w d \alpha_c f'_{cd} ctg / (1 + ctg^2)$ |
| s_1 [mm] | 400 | V_{Rsd} [kN] | 828 | $A_s / s f_{yd} 0.9 d ctg$ |
| s_2 [mm] | 400 | V_R [kN] | 828 | $\min(V_{Rcd}, V_{Rsd})$ |
| | | V_E [kN] | 68 | CS_V 12.25 |

Spalle: Relazione di calcolo

| | | | | | |
|----------|---------|----------|------------|------|------------|
| COMMESSA | LOTTO | CODIFICA | DOCUMENTO | REV. | FOGLIO |
| IF26 | 12 E ZZ | CL | VI0204 001 | A | 124 di 158 |

Le verifiche sono riferite alla sezione d'angolo con il muro andatore interno.

| | | | | | |
|-----------------------|---------------|----------|---------------|--------|----------------|
| muro frontale interno | H | 1400 | elem. | M13-20 | modello |
| | tesa | fi18/200 | direz. | 1-1 | FINALE |
| arm. orizzontali | compr. | fi18/200 | | | |

Verifica tensioni in esercizio

| Combo | | N [kN] | M [kNm] | V [kN] | σ_{cls} | σ_{acc} | | |
|----------|---------|--------|---------|--------|----------------|----------------|--------------------|-------------|
| SLE-rara | 01_SLE1 | 301 | -40 | -20 | 0.32 | 1.6 | | |
| | 02_SLE2 | 308 | -42 | -16 | 0.34 | 1.6 | | |
| | 03_SLE3 | 264 | -32 | -15 | 0.28 | 1.5 | | |
| | 04_SLE4 | 270 | -33 | -16 | 0.28 | 1.5 | | |
| SLE-freq | 05_SLS1 | 255 | -33 | -17 | 0.27 | 1.4 | $\sigma_{traz,el}$ | |
| | 06_SLS2 | 259 | -35 | -14 | 0.28 | 1.4 | 0.08 | |
| | 07_SLS3 | 247 | -31 | -15 | 0.26 | 1.4 | 0.08 | |
| | 08_SLS4 | 252 | -31 | -15 | 0.26 | 1.4 | 0.09 | |
| | | | | | [MPa] | 0.34 | 1.4 | 0.08 |

Resistenza a flessione

| | | N [kN] | M [kNm] | V [kN] | CS_M |
|-----|---------|--------|---------|--------|--------------|
| SLU | 09_SLU1 | 421 | -57 | -28 | 16.05 |
| | 10_SLU2 | 432 | -60 | -22 | 15.35 |
| | 11_SLU3 | 368 | -46 | -22 | 19.23 |
| | 12_SLU4 | 376 | -46 | -22 | 19.00 |
| SLV | 13_SLV1 | 235 | -40 | 9 | 19.75 |
| | 14_SLV2 | 186 | -28 | -19 | 26.89 |
| | 15_SLV3 | 210 | -38 | 10 | 20.59 |
| | 16_SLV4 | 161 | -26 | -18 | 28.77 |
| | | | | | 15.35 |

Resistenza a taglio

| | | | | |
|-------------|-----|----------------|------|--|
| | | ctg θ | 2.50 | $1.0 \leq \dots \leq 2.5$ |
| ϕ [mm] | 12 | V_{Rcd} [kN] | 3277 | $0.9 b_w d \alpha_c f'_{cd} ctg / (1 + ctg^2)$ |
| s_1 [mm] | 400 | V_{Rsd} [kN] | 828 | $A_s / s f_{yd} 0.9 d ctg$ |
| s_2 [mm] | 400 | V_R [kN] | 828 | $\min(V_{Rcd}, V_{Rsd})$ |
| | | V_E [kN] | 28 | CS_V 29.51 |

Spalle: Relazione di calcolo

| | | | | | |
|----------|---------|----------|------------|------|------------|
| COMMESSA | LOTTO | CODIFICA | DOCUMENTO | REV. | FOGLIO |
| IF26 | 12 E ZZ | CL | VI0204 001 | A | 125 di 158 |

| | | | | | |
|-----------------------|---------------|----------|---------------|--------|----------------|
| muro frontale interno | H | 1400 | elem. | M13-20 | modello |
| | tesa | fi18/200 | direz. | 1-1 | |
| arm. orizzontali | compr. | fi18/200 | | | |

Verifica tensioni in esercizio

| Combo | | N [kN] | M [kNm] | V [kN] | σ_{cls} | σ_{acc} | |
|----------|---------|--------|---------|--------|----------------|----------------|--------------------|
| SLE-rara | 01_SLE1 | 192 | -30 | -92 | 0.22 | 0.8 | |
| | 02_SLE2 | 192 | 58 | -79 | 0.30 | -0.4 | |
| | 03_SLE3 | 291 | -45 | -132 | 0.33 | 1.3 | |
| | 04_SLE4 | 298 | -44 | -135 | 0.33 | 1.4 | $\sigma_{traz,el}$ |
| SLE-freq | 05_SLS1 | 187 | -38 | -92 | 0.24 | 0.5 | 0.02 |
| | 06_SLS2 | 188 | 14 | -84 | 0.17 | 1.4 | 0.09 |
| | 07_SLS3 | 260 | -47 | -123 | 0.32 | 0.9 | 0.05 |
| | 08_SLS4 | 266 | -47 | -126 | 0.32 | 1.0 | 0.05 |
| | | | | [MPa] | 0.33 | -0.4 | 0.02 |

Resistenza a flessione

| | | N [kN] | M [kNm] | V [kN] | CS_M |
|-----|---------|--------|---------|--------|--------------|
| SLU | 09_SLU1 | 239 | -48 | -127 | 16.63 |
| | 10_SLU2 | 239 | 79 | -108 | 10.05 |
| | 11_SLU3 | 382 | -70 | -184 | 12.75 |
| | 12_SLU4 | 393 | -69 | -189 | 12.98 |
| | | | | | 10.05 |

Resistenza a taglio

| | | | | | |
|-------------|-----|----------------|------|--|-------------|
| | | ctg θ | 2.50 | $1.0 \leq \dots \leq 2.5$ | |
| ϕ [mm] | 12 | V_{Rcd} [kN] | 3277 | $0.9 b_w d \alpha_c f'_{cd} ctg / (1 + ctg^2)$ | |
| s_1 [mm] | 400 | V_{Rsd} [kN] | 828 | $A_s / s f_{yd} 0.9 d ctg$ | |
| s_2 [mm] | 400 | V_R [kN] | 828 | $\min(V_{Rcd}, V_{Rsd})$ | |
| | | V_E [kN] | 189 | CS_V | 4.38 |

Spalle: Relazione di calcolo

| | | | | | |
|----------|---------|----------|------------|------|------------|
| COMMESSA | LOTTO | CODIFICA | DOCUMENTO | REV. | FOGLIO |
| IF26 | 12 E ZZ | CL | VI0204 001 | A | 126 di 158 |

11.5.2 Paraghiaia

Le verifiche sono riferite alla sezione di spiccato sul muro frontale.

| | | | | | |
|----------------|---------------|----------|---------------|-------|----------------|
| paraghiaia | H | 400 | elem. | P3-28 | modello |
| | tesa | fi24/200 | direz. | 2-2 | FINALE |
| arm. verticali | compr. | fi20/200 | | | |

Verifica tensioni in esercizio

| Combo | | N [kN] | M [kNm] | V [kN] | σ_{cls} | σ_{acc} | |
|----------|---------|--------|---------|--------|----------------|----------------|--------------------|
| SLE-rara | 01_SLE1 | 10 | -17 | -34 | 0.92 | -23.8 | |
| | 02_SLE2 | 11 | -16 | -33 | 0.88 | -22.7 | |
| | 03_SLE3 | 3 | -17 | -34 | 0.95 | -26.3 | |
| | 04_SLE4 | 3 | -17 | -34 | 0.94 | -26.4 | $\sigma_{traz,el}$ |
| SLE-freq | 05_SLS1 | 13 | -12 | -25 | 0.66 | -15.8 | -0.35 |
| | 06_SLS2 | 13 | -12 | -25 | 0.64 | -15.2 | -0.34 |
| | 07_SLS3 | 7 | -15 | -30 | 0.81 | -21.7 | -0.46 |
| | 08_SLS4 | 6 | -15 | -30 | 0.81 | -21.8 | -0.46 |
| | | | | [MPa] | 0.95 | -26.4 | -0.46 |

Resistenza a flessione

| | | N [kN] | M [kNm] | V [kN] | CS_M |
|-----|---------|--------|---------|--------|-------------|
| SLU | 09_SLU1 | 16 | -25 | -50 | 10.77 |
| | 10_SLU2 | 16 | -24 | -48 | 11.20 |
| | 11_SLU3 | 5 | -26 | -50 | 10.34 |
| | 12_SLU4 | 4 | -26 | -50 | 10.34 |
| SLV | 13_SLV1 | 9 | -43 | -77 | 6.24 |
| | 14_SLV2 | 4 | -16 | -36 | 16.70 |
| | 15_SLV3 | 7 | -43 | -77 | 6.21 |
| | 16_SLV4 | 2 | -16 | -36 | 16.56 |
| | | | | | 6.21 |

Resistenza a taglio

| | | | | |
|-------------|-----|----------------|------|--|
| | | ctg θ | 2.50 | $1.0 \leq \dots \leq 2.5$ |
| ϕ [mm] | 12 | V_{Rcd} [kN] | 808 | $0.9 b_w d \alpha_c f'_{cd} ctg / (1 + ctg^2)$ |
| s_1 [mm] | 400 | V_{Rsd} [kN] | 204 | $A_s / s f_{yd} 0.9 d ctg$ |
| s_2 [mm] | 400 | V_R [kN] | 204 | $\min (V_{Rcd}, V_{Rsd})$ |
| | | V_E [kN] | 77 | CS_V 2.65 |

Spalle: Relazione di calcolo

| | | | | | |
|----------|---------|----------|------------|------|------------|
| COMMESSA | LOTTO | CODIFICA | DOCUMENTO | REV. | FOGLIO |
| IF26 | 12 E ZZ | CL | VI0204 001 | A | 127 di 158 |

| | | | | | |
|----------------|---------------|----------|---------------|-------|----------------|
| paraghiaia | H | 400 | elem. | P3-28 | modello |
| | tesa | fi24/200 | direz. | 2-2 | |
| arm. verticali | compr. | fi20/200 | | | |

Verifica tensioni in esercizio

| Combo | | N [kN] | M [kNm] | V [kN] | σ_{cls} | σ_{acc} | |
|----------|---------|--------|---------|--------|----------------|----------------|--------------------|
| SLE-rara | 01_SLE1 | -19 | -13 | -33 | 0.66 | -24.1 | |
| | 02_SLE2 | -19 | -10 | -28 | 0.52 | -20.1 | |
| | 03_SLE3 | -31 | -12 | -34 | 0.62 | -26.5 | |
| | 04_SLE4 | -32 | -12 | -34 | 0.61 | -26.5 | $\sigma_{traz,el}$ |
| SLE-freq | 05_SLS1 | -14 | -9 | -25 | 0.45 | -16.8 | -0.31 |
| | 06_SLS2 | -14 | -7 | -22 | 0.36 | -14.4 | -0.26 |
| | 07_SLS3 | -25 | -10 | -30 | 0.52 | -22.0 | -0.38 |
| | 08_SLS4 | -26 | -10 | -30 | 0.51 | -22.0 | -0.38 |
| | | | | [MPa] | 0.66 | -26.5 | -0.38 |

Resistenza a flessione

| | | N [kN] | M [kNm] | V [kN] | CS_M |
|-----|---------|--------|---------|--------|--------------|
| SLU | 09_SLU1 | -24 | -19 | -47 | 13.86 |
| | 10_SLU2 | -24 | -15 | -41 | 17.39 |
| | 11_SLU3 | -42 | -18 | -50 | 14.10 |
| | 12_SLU4 | -43 | -18 | -50 | 14.22 |
| | | | | | 13.86 |

Resistenza a taglio

| | | | | | |
|-------------|-----|----------------|------|--|-------------|
| | | ctg θ | 2.50 | $1.0 \leq \dots \leq 2.5$ | |
| ϕ [mm] | 12 | V_{Rcd} [kN] | 808 | $0.9 b_w d \alpha_c f'_{cd} ctg / (1 + ctg^2)$ | |
| s_1 [mm] | 400 | V_{Rsd} [kN] | 204 | $A_s / s f_{yd} 0.9 d ctg$ | |
| s_2 [mm] | 400 | V_R [kN] | 204 | $\min(V_{Rcd}, V_{Rsd})$ | |
| | | V_E [kN] | 50 | CS_V | 4.08 |

Spalle: Relazione di calcolo

| | | | | | |
|----------|---------|----------|------------|------|------------|
| COMMESSA | LOTTO | CODIFICA | DOCUMENTO | REV. | FOGLIO |
| IF26 | 12 E ZZ | CL | VI0204 001 | A | 128 di 158 |

Le verifiche sono riferite alla sezione d'angolo con muri andatori.

| | | | | | |
|------------------|---------------|----------|---------------|-------|----------------|
| paraghiaia | H | 400 | elem. | P7-13 | modello |
| | tesa | fi18/200 | direz. | 1-1 | FINALE |
| arm. orizzontali | compr. | fi18/200 | | | |

Verifica tensioni in esercizio

| Combo | | N [kN] | M [kNm] | V [kN] | σ_{cls} | σ_{acc} | | |
|----------|---------|--------|---------|--------|----------------|----------------|--------------------|-------------|
| SLE-rara | 01_SLE1 | 35 | 1 | -4 | 0.11 | 1.0 | | |
| | 02_SLE2 | 36 | 4 | -7 | 0.23 | -0.5 | | |
| | 03_SLE3 | 33 | -1 | -3 | 0.10 | 0.9 | | |
| | 04_SLE4 | 34 | -1 | -3 | 0.10 | 1.0 | | |
| SLE-freq | 05_SLS1 | 32 | 0 | -3 | 0.08 | 1.1 | $\sigma_{traz,el}$ | |
| | 06_SLS2 | 33 | 2 | -5 | 0.14 | 0.4 | 0.07 | |
| | 07_SLS3 | 32 | -1 | -2 | 0.09 | 0.9 | 0.01 | |
| | 08_SLS4 | 32 | -1 | -2 | 0.09 | 0.9 | 0.05 | |
| | | | | | [MPa] | 0.23 | -0.5 | 0.01 |

Resistenza a flessione

| | | N [kN] | M [kNm] | V [kN] | CS_M |
|-----|---------|--------|---------|--------|-------------|
| SLU | 09_SLU1 | 48 | 1 | -5 | 168.42 |
| | 10_SLU2 | 49 | 6 | -9 | 29.22 |
| | 11_SLU3 | 44 | -1 | -3 | 169.57 |
| | 12_SLU4 | 46 | -1 | -3 | 177.43 |
| SLV | 13_SLV1 | 29 | 17 | -27 | 9.47 |
| | 14_SLV2 | 11 | 2 | -5 | 96.06 |
| | 15_SLV3 | 23 | 18 | -27 | 9.24 |
| | 16_SLV4 | 5 | 2 | -4 | 79.45 |
| | | | | | 9.24 |

Resistenza a taglio

| | | | | |
|-------------|-----|----------------|------|--|
| | | ctg θ | 2.50 | $1.0 \leq \dots \leq 2.5$ |
| ϕ [mm] | 12 | V_{Rcd} [kN] | 815 | $0.9 b_w d \alpha_c f'_{cd} ctg / (1 + ctg^2)$ |
| s_1 [mm] | 400 | V_{Rsd} [kN] | 206 | $A_s / s f_{yd} 0.9 d ctg$ |
| s_2 [mm] | 400 | V_R [kN] | 206 | $\min(V_{Rcd}, V_{Rsd})$ |
| | | V_E [kN] | 27 | CS_V 7.49 |

Spalle: Relazione di calcolo

| | | | | | |
|----------|---------|----------|------------|------|------------|
| COMMESSA | LOTTO | CODIFICA | DOCUMENTO | REV. | FOGLIO |
| IF26 | 12 E ZZ | CL | VI0204 001 | A | 129 di 158 |

Le verifiche sono riferite alla sezione d'angolo con il muro andatore interno.

| | | | | | |
|-------------------|---------------|----------|---------------|-------|----------------|
| paraghaia interno | H | 400 | elem. | P4-12 | modello |
| | tesa | fi18/200 | direz. | 1-1 | FINALE |
| arm. orizzontali | compr. | fi18/200 | | | |

Verifica tensioni in esercizio

| Combo | | N [kN] | M [kNm] | V [kN] | σ_{cls} | σ_{acc} | | |
|----------|---------|--------|---------|--------|----------------|----------------|-------------------------|-------------|
| SLE-rara | 01_SLE1 | 174 | -3 | 36 | 0.50 | 4.9 | | |
| | 02_SLE2 | 181 | -4 | 43 | 0.54 | 5.0 | | |
| | 03_SLE3 | 149 | -3 | 34 | 0.43 | 4.3 | | |
| | 04_SLE4 | 151 | -3 | 34 | 0.43 | 4.3 | | |
| SLE-freq | 05_SLS1 | 153 | -2 | 27 | 0.43 | 4.4 | $\sigma_{traz,el}$ 0.27 | |
| | 06_SLS2 | 157 | -3 | 31 | 0.45 | 4.5 | 0.27 | |
| | 07_SLS3 | 144 | -2 | 30 | 0.41 | 4.1 | 0.25 | |
| | 08_SLS4 | 146 | -2 | 30 | 0.41 | 4.2 | 0.25 | |
| | | | | | [MPa] | 0.54 | 4.1 | 0.25 |

Resistenza a flessione

| | | N [kN] | M [kNm] | V [kN] | CS_M |
|-----|---------|--------|---------|--------|-------------|
| SLU | 09_SLU1 | 249 | -5 | 53 | 41.46 |
| | 10_SLU2 | 259 | -5 | 62 | 36.20 |
| | 11_SLU3 | 213 | -4 | 50 | 49.47 |
| | 12_SLU4 | 216 | -4 | 50 | 49.97 |
| SLV | 13_SLV1 | 138 | -12 | 91 | 14.57 |
| | 14_SLV2 | 53 | -17 | 31 | 9.63 |
| | 15_SLV3 | 120 | -12 | 90 | 14.41 |
| | 16_SLV4 | 35 | -17 | 30 | 9.50 |
| | | | | | 9.50 |

Resistenza a taglio

| | | | | |
|-------------|-----|----------------|------|--|
| | | ctg θ | 2.50 | $1.0 \leq \dots \leq 2.5$ |
| ϕ [mm] | 12 | V_{Rcd} [kN] | 815 | $0.9 b_w d \alpha_c f'_{cd} ctg / (1 + ctg^2)$ |
| s_1 [mm] | 400 | V_{Rsd} [kN] | 206 | $A_s / s f_{yd} 0.9 d ctg$ |
| s_2 [mm] | 400 | V_R [kN] | 206 | $\min(V_{Rcd}, V_{Rsd})$ |
| | | V_E [kN] | 91 | CS_V 2.27 |

Spalle: Relazione di calcolo

| | | | | | |
|----------|---------|----------|------------|------|------------|
| COMMESSA | LOTTO | CODIFICA | DOCUMENTO | REV. | FOGLIO |
| IF26 | 12 E ZZ | CL | VI0204 001 | A | 130 di 158 |

| | | | | | |
|--------------------|---------------|----------|---------------|-------|----------------|
| paraghiaia interno | H | 400 | elem. | P4-12 | modello |
| | tesa | fi18/200 | direz. | 1-1 | |
| arm. orizzontali | compr. | fi18/200 | | | |

Verifica tensioni in esercizio

| Combo | | N [kN] | M [kNm] | V [kN] | σ_{cls} | σ_{acc} | |
|----------|---------|--------|---------|--------|----------------|----------------|--------------------|
| SLE-rara | 01_SLE1 | -16 | -12 | 32 | 0.81 | -38.4 | |
| | 02_SLE2 | -13 | -12 | 48 | 0.83 | -38.2 | |
| | 03_SLE3 | 3 | -12 | 27 | 0.80 | -30.2 | |
| | 04_SLE4 | 5 | -12 | 27 | 0.80 | -29.6 | $\sigma_{traz,el}$ |
| SLE-freq | 05_SLS1 | -2 | -9 | 22 | 0.63 | -25.7 | -0.32 |
| | 06_SLS2 | 0 | -10 | 32 | 0.65 | -25.6 | -0.32 |
| | 07_SLS3 | 6 | -11 | 23 | 0.72 | -26.2 | -0.35 |
| | 08_SLS4 | 7 | -11 | 23 | 0.72 | -25.7 | -0.34 |
| | | | | [MPa] | 0.83 | -38.4 | -0.35 |

Resistenza a flessione

| | | N [kN] | M [kNm] | V [kN] | CS_M |
|-----|---------|--------|---------|--------|-------------|
| SLU | 09_SLU1 | -29 | -18 | 49 | 8.58 |
| | 10_SLU2 | -25 | -18 | 72 | 8.37 |
| | 11_SLU3 | -2 | -18 | 41 | 8.93 |
| | 12_SLU4 | 1 | -18 | 41 | 8.94 |
| | | | | | 8.37 |

Resistenza a taglio

| | | | | | |
|-------------|-----|----------------|------|--|-------------|
| | | ctg θ | 2.50 | $1.0 \leq \dots \leq 2.5$ | |
| ϕ [mm] | 12 | V_{Rcd} [kN] | 815 | $0.9 b_w d \alpha_c f'_{cd} ctg / (1 + ctg^2)$ | |
| s_1 [mm] | 400 | V_{Rsd} [kN] | 206 | $A_s / s f_{yd} 0.9 d ctg$ | |
| s_2 [mm] | 400 | V_R [kN] | 206 | $\min(V_{Rcd}, V_{Rsd})$ | |
| | | V_E [kN] | 72 | CS_V | 2.85 |

Spalle: Relazione di calcolo

| | | | | | |
|----------|---------|----------|------------|------|------------|
| COMMESSA | LOTTO | CODIFICA | DOCUMENTO | REV. | FOGLIO |
| IF26 | 12 E ZZ | CL | VI0204 001 | A | 131 di 158 |

11.5.3 Muri andatori

Le verifiche sono riferite alla sezione di spiccato (a tergo).

| | | | | | |
|----------------|---------------|----------|---------------|-------|----------------|
| muro andatore | H | 800 | elem. | A6-37 | modello |
| | tesa | fi26/200 | direz. | 2-2 | |
| arm. verticali | compr. | fi20/200 | | | |

Verifica tensioni in esercizio

| | Combo | N [kN] | M [kNm] | V [kN] | σ_{cls} | σ_{acc} | |
|----------|---------|--------|---------|--------|----------------|----------------|--------------------|
| SLE-rara | 01_SLE1 | 16 | -101 | -97 | 1.39 | -54.6 | |
| | 02_SLE2 | -38 | -98 | -95 | 1.29 | -62.5 | |
| | 03_SLE3 | 35 | -102 | -98 | 1.43 | -52.1 | |
| | 04_SLE4 | 35 | -103 | -98 | 1.43 | -52.4 | $\sigma_{traz,el}$ |
| SLE-freq | 05_SLS1 | 42 | -82 | -80 | 1.16 | -39.7 | -0.61 |
| | 06_SLS2 | 9 | -81 | -79 | 1.11 | -44.3 | -0.63 |
| | 07_SLS3 | 43 | -92 | -89 | 1.30 | -45.0 | -0.69 |
| | 08_SLS4 | 43 | -93 | -89 | 1.31 | -45.3 | -0.69 |
| | | | | [MPa] | 1.43 | -62.5 | -0.69 |

Resistenza a flessione

| | N [kN] | M [kNm] | V [kN] | CS_M | |
|-----|---------|---------|--------|-------------|-------|
| SLU | 09_SLU1 | 13 | -146 | -142 | 4.93 |
| | 10_SLU2 | -66 | -141 | -140 | 4.90 |
| | 11_SLU3 | 40 | -147 | -143 | 4.93 |
| | 12_SLU4 | 40 | -148 | -144 | 4.90 |
| SLV | 13_SLV1 | -301 | -63 | -71 | 9.63 |
| | 14_SLV2 | -27 | -117 | -124 | 5.99 |
| | 15_SLV3 | -316 | -57 | -69 | 10.68 |
| | 16_SLV4 | -41 | -111 | -123 | 6.31 |
| | | | | 4.90 | |

Resistenza a taglio

| | | | | |
|-------------|-----|----------------|------|--|
| | | ctg θ | 2.50 | $1.0 \leq \dots \leq 2.5$ |
| ϕ [mm] | 12 | V_{Rcd} [kN] | 1790 | $0.9 b_w d \alpha_c f'_{cd} ctg / (1 + ctg^2)$ |
| s_1 [mm] | 400 | V_{Rsd} [kN] | 452 | $A_s / s f_{yd} 0.9 d ctg$ |
| s_2 [mm] | 400 | V_R [kN] | 452 | $\min (V_{Rcd}, V_{Rsd})$ |
| | | V_E [kN] | 144 | CS_V 3.15 |

Spalle: Relazione di calcolo

| COMMESSA | LOTTO | CODIFICA | DOCUMENTO | REV. | FOGLIO |
|----------|---------|----------|------------|------|------------|
| IF26 | 12 E ZZ | CL | VI0204 001 | A | 132 di 158 |

Le verifiche sono riferite alla sezione d'angolo con il muro frontale.

| muro andatore | H | 800 | elem. | A6-9 | modello |
|------------------|--------|----------|--------|------|---------|
| | tesa | fi18/100 | direz. | 1-1 | FINALE |
| arm. orizzontali | compr. | fi18/200 | | | |

Verifica tensioni in esercizio

| Combo | | N [kN] | M [kNm] | V [kN] | σ_{cls} | σ_{acc} | |
|----------|---------|--------|---------|--------|----------------|----------------|--------------------|
| SLE-rara | 01_SLE1 | 62 | -26 | -50 | 0.37 | -5.4 | |
| | 02_SLE2 | -3 | -30 | -53 | 0.41 | -18.1 | |
| | 03_SLE3 | 83 | -24 | -50 | 0.34 | -2.5 | |
| | 04_SLE4 | 85 | -23 | -50 | 0.34 | -2.2 | |
| SLE-freq | 05_SLS1 | 68 | -18 | -37 | 0.26 | -1.6 | $\sigma_{traz,el}$ |
| | 06_SLS2 | 29 | -20 | -39 | 0.30 | -7.1 | -0.07 |
| | 07_SLS3 | 79 | -21 | -44 | 0.30 | -1.7 | -0.08 |
| | 08_SLS4 | 81 | -20 | -44 | 0.29 | -1.5 | -0.07 |
| | | | | [MPa] | 0.41 | -18.1 | -0.13 |

Resistenza a flessione

| | | N [kN] | M [kNm] | V [kN] | CS_M |
|-----|---------|--------|---------|--------|--------------|
| SLU | 09_SLU1 | 81 | -40 | -77 | 18.09 |
| | 10_SLU2 | -13 | -45 | -82 | 15.08 |
| | 11_SLU3 | 112 | -37 | -77 | 19.75 |
| | 12_SLU4 | 114 | -36 | -76 | 20.10 |
| SLV | 13_SLV1 | -283 | -41 | -59 | 14.27 |
| | 14_SLV2 | 20 | -43 | -85 | 16.10 |
| | 15_SLV3 | -304 | -45 | -64 | 12.98 |
| | 16_SLV4 | -1 | -47 | -90 | 14.73 |
| | | | | | 12.98 |

Resistenza a taglio

| | | | | |
|-------------|--------------|----------------|---------------------------|--|
| | ctg θ | 2.50 | $1.0 \leq \dots \leq 2.5$ | |
| ϕ [mm] | 12 | V_{Rcd} [kN] | 1800 | $0.9 b_w d \alpha_c f'_{cd} ctg / (1 + ctg^2)$ |
| s_1 [mm] | 200 | V_{Rsd} [kN] | 910 | $A_s / s f_{yd} 0.9 d ctg$ |
| s_2 [mm] | 400 | V_R [kN] | 910 | $\min(V_{Rcd}, V_{Rsd})$ |
| | V_E [kN] | 90 | CS_V | 10.10 |

GEODATA
ENGINEERING



ITINERARIO NAPOLI – BARI
RADDOPPIO TRATTA CANCELLO-BENEVENTO
II LOTTO FUNZIONALE FRASSO TELESINO – VITULANO
1° LOTTO FUNZIONALE FRASSO TELESINO – TELESE
PROGETTO ESECUTIVO

Spalle: Relazione di calcolo

| COMMESSA | LOTTO | CODIFICA | DOCUMENTO | REV. | FOGLIO |
|----------|---------|----------|------------|------|------------|
| IF26 | 12 E ZZ | CL | VI0204 001 | A | 133 di 158 |

Spalle: Relazione di calcolo

| | | | | | |
|----------|---------|----------|------------|------|------------|
| COMMESSA | LOTTO | CODIFICA | DOCUMENTO | REV. | FOGLIO |
| IF26 | 12 E ZZ | CL | VI0204 001 | A | 134 di 158 |

11.5.4 Muri andatori interni

Le verifiche sono riferite ai muri interni alla sezione di spiccato dalla fondazione (a tergo).

| | | | | | |
|-----------------------|---------------|----------|---------------|--------|----------------|
| muro andatore interno | H | 800 | elem. | A11-37 | modello |
| | tesa | fi26/200 | direz. | 2-2 | FINALE |
| arm. verticali | compr. | fi20/200 | | | |

Verifica tensioni in esercizio

| Combo | | N [kN] | M [kNm] | V [kN] | σ_{cls} | σ_{acc} | |
|----------|---------|--------|---------|--------|----------------|----------------|--------------------|
| SLE-rara | 01_SLE1 | -134 | -15 | -6 | 0.00 | -33.8 | |
| | 02_SLE2 | -218 | -16 | -6 | 0.00 | -53.7 | |
| | 03_SLE3 | -113 | -17 | -6 | 0.00 | -31.1 | |
| | 04_SLE4 | -113 | -17 | -6 | 0.00 | -31.2 | $\sigma_{traz,el}$ |
| SLE-freq | 05_SLS1 | -80 | -10 | -4 | 0.00 | -21.0 | -0.17 |
| | 06_SLS2 | -131 | -11 | -4 | 0.00 | -31.0 | -0.23 |
| | 07_SLS3 | -91 | -14 | -5 | 0.00 | -25.1 | -0.21 |
| | 08_SLS4 | -91 | -14 | -5 | 0.00 | -25.2 | -0.21 |
| | | | | [MPa] | 0.00 | -53.7 | -0.23 |

Resistenza a flessione

| | | N [kN] | M [kNm] | V [kN] | CS_M |
|-----|---------|--------|---------|--------|-------------|
| SLU | 09_SLU1 | -212 | -20 | -8 | 31.50 |
| | 10_SLU2 | -333 | -22 | -8 | 26.81 |
| | 11_SLU3 | -181 | -24 | -8 | 27.35 |
| | 12_SLU4 | -180 | -24 | -8 | 26.82 |
| SLV | 13_SLV1 | -596 | -55 | -44 | 9.11 |
| | 14_SLV2 | -149 | -119 | -130 | 5.56 |
| | 15_SLV3 | -588 | -54 | -44 | 9.45 |
| | 16_SLV4 | -141 | -117 | -129 | 5.66 |
| | | | | | 5.56 |

Resistenza a taglio

| | | | | |
|-------------|-----|----------------|------|--|
| | | ctg θ | 2.50 | $1.0 \leq \dots \leq 2.5$ |
| ϕ [mm] | 12 | V_{Rcd} [kN] | 1790 | $0.9 b_w d \alpha_c f'_{cd} ctg / (1 + ctg^2)$ |
| s_1 [mm] | 400 | V_{Rsd} [kN] | 452 | $A_s / s f_{yd} 0.9 d ctg$ |
| s_2 [mm] | 400 | V_R [kN] | 452 | $\min (V_{Rcd}, V_{Rsd})$ |
| | | V_E [kN] | 130 | CS_V 3.48 |

Spalle: Relazione di calcolo

| | | | | | |
|----------|---------|----------|------------|------|------------|
| COMMESSA | LOTTO | CODIFICA | DOCUMENTO | REV. | FOGLIO |
| IF26 | 12 E ZZ | CL | VI0204 001 | A | 135 di 158 |

| | | | | | |
|-----------------------|---------------|----------|---------------|--------|----------------|
| muro andatore interno | H | 800 | elem. | A11-37 | modello |
| | tesa | fi26/200 | direz. | 2-2 | |
| arm. verticali | compr. | fi20/200 | | | |

Verifica tensioni in esercizio

| Combo | | N [kN] | M [kNm] | V [kN] | σ_{cls} | σ_{acc} | |
|----------|---------|--------|---------|--------|----------------|----------------|--------------------|
| SLE-rara | 01_SLE1 | -28 | -82 | -91 | 1.09 | -51.8 | |
| | 02_SLE2 | -122 | -84 | -88 | 0.93 | -70.3 | |
| | 03_SLE3 | 16 | -85 | -93 | 1.17 | -45.4 | |
| | 04_SLE4 | 17 | -85 | -93 | 1.17 | -45.2 | $\sigma_{traz,el}$ |
| SLE-freq | 05_SLS1 | 17 | -65 | -74 | 0.90 | -34.1 | -0.50 |
| | 06_SLS2 | -40 | -66 | -73 | 0.85 | -44.8 | -0.57 |
| | 07_SLS3 | 27 | -75 | -84 | 1.05 | -38.0 | -0.57 |
| | 08_SLS4 | 28 | -75 | -84 | 1.05 | -37.8 | -0.57 |
| | | | | [MPa] | 1.17 | -70.3 | -0.57 |

Resistenza a flessione

| | | N [kN] | M [kNm] | V [kN] | CS_M |
|-----|---------|--------|---------|--------|-------------|
| SLU | 09_SLU1 | -62 | -119 | -133 | 5.80 |
| | 10_SLU2 | -199 | -122 | -130 | 5.29 |
| | 11_SLU3 | 1 | -122 | -136 | 5.83 |
| | 12_SLU4 | 3 | -123 | -137 | 5.82 |
| | | | | | 5.29 |

Resistenza a taglio

| | | | | | |
|-------------|-----|----------------|------|--|-------------|
| | | ctg θ | 2.50 | $1.0 \leq \dots \leq 2.5$ | |
| ϕ [mm] | 12 | V_{Rcd} [kN] | 1790 | $0.9 b_w d \alpha_c f'_{cd} ctg / (1 + ctg^2)$ | |
| s_1 [mm] | 400 | V_{Rsd} [kN] | 452 | $A_s / s f_{yd} 0.9 d ctg$ | |
| s_2 [mm] | 400 | V_R [kN] | 452 | $\min(V_{Rcd}, V_{Rsd})$ | |
| | | V_E [kN] | 137 | CS_V | 3.31 |

Spalle: Relazione di calcolo

| | | | | | |
|----------|---------|----------|------------|------|------------|
| COMMESSA | LOTTO | CODIFICA | DOCUMENTO | REV. | FOGLIO |
| IF26 | 12 E ZZ | CL | VI0204 001 | A | 136 di 158 |

Le verifiche sono riferite alla sezione d'angolo tra muri interni e muro frontale.

| | | | | | |
|-----------------------|---------------|----------|---------------|-------|----------------|
| muro andatore interno | H | 800 | elem. | A11-9 | modello |
| | tesa | fi18/200 | direz. | 1-1 | FINALE |
| arm. orizzontali | compr. | fi18/200 | | | |

Verifica tensioni in esercizio

| Combo | | N [kN] | M [kNm] | V [kN] | σ_{cls} | σ_{acc} | |
|----------|---------|--------|---------|--------|----------------|----------------|--------------------------|
| SLE-rara | 01_SLE1 | -105 | 9 | 18 | 0.00 | -51.9 | |
| | 02_SLE2 | -190 | 9 | 18 | 0.00 | -85.3 | |
| | 03_SLE3 | -92 | 11 | 17 | 0.00 | -48.7 | |
| | 04_SLE4 | -90 | 11 | 17 | 0.00 | -48.3 | |
| SLE-freq | 05_SLS1 | -71 | 6 | 14 | 0.00 | -35.7 | $\sigma_{traz,el}$ -0.14 |
| | 06_SLS2 | -123 | 6 | 14 | 0.00 | -55.7 | -0.20 |
| | 07_SLS3 | -79 | 8 | 14 | 0.00 | -41.1 | -0.17 |
| | 08_SLS4 | -77 | 9 | 14 | 0.00 | -40.7 | -0.17 |
| [MPa] | | | | | 0.00 | -85.3 | -0.20 |

Resistenza a flessione

| | | N [kN] | M [kNm] | V [kN] | CS_M |
|-----|---------|--------|---------|--------|-------------|
| SLU | 09_SLU1 | -162 | 12 | 25 | 24.03 |
| | 10_SLU2 | -286 | 12 | 25 | 20.67 |
| | 11_SLU3 | -144 | 14 | 23 | 20.78 |
| | 12_SLU4 | -141 | 15 | 23 | 20.31 |
| SLV | 13_SLV1 | -529 | -14 | -19 | 11.59 |
| | 14_SLV2 | -151 | -69 | -114 | 4.29 |
| | 15_SLV3 | -523 | -15 | -21 | 10.88 |
| | 16_SLV4 | -145 | -70 | -116 | 4.26 |
| | | | | | 4.26 |

Resistenza a taglio

| | | | | |
|-------------|-----|----------------|------|--|
| | | ctg θ | 2.50 | $1.0 \leq \dots \leq 2.5$ |
| ϕ [mm] | 12 | V_{Rcd} [kN] | 1800 | $0.9 b_w d \alpha_c f'_{cd} ctg / (1 + ctg^2)$ |
| s_1 [mm] | 400 | V_{Rsd} [kN] | 455 | $A_s / s f_{yd} 0.9 d ctg$ |
| s_2 [mm] | 400 | V_R [kN] | 455 | $\min(V_{Rcd}, V_{Rsd})$ |
| | | V_E [kN] | 116 | CS_V 3.92 |

Spalle: Relazione di calcolo

| | | | | | |
|----------|---------|----------|------------|------|------------|
| COMMESSA | LOTTO | CODIFICA | DOCUMENTO | REV. | FOGLIO |
| IF26 | 12 E ZZ | CL | VI0204 001 | A | 137 di 158 |

| | | | | | |
|-----------------------|---------------|----------|---------------|-------|----------------|
| muro andatore interno | H | 800 | elem. | A11-9 | modello |
| | tesa | fi18/200 | direz. | 1-1 | |
| arm. orizzontali | compr. | fi18/200 | | | |

Verifica tensioni in esercizio

| Combo | | N [kN] | M [kNm] | V [kN] | σ_{cls} | σ_{acc} | |
|----------|---------|--------|---------|--------|----------------|----------------|--------------------|
| SLE-rara | 01_SLE1 | -35 | -37 | -72 | 0.63 | -56.2 | |
| | 02_SLE2 | -130 | -42 | -74 | 0.32 | -101.3 | |
| | 03_SLE3 | 13 | -32 | -69 | 0.59 | -31.5 | |
| | 04_SLE4 | 15 | -31 | -69 | 0.58 | -30.6 | $\sigma_{traz,el}$ |
| SLE-freq | 05_SLS1 | -5 | -27 | -56 | 0.49 | -33.2 | -0.24 |
| | 06_SLS2 | -62 | -30 | -57 | 0.41 | -59.9 | -0.33 |
| | 07_SLS3 | 15 | -28 | -62 | 0.53 | -27.2 | -0.23 |
| | 08_SLS4 | 16 | -28 | -62 | 0.53 | -26.5 | -0.22 |
| | | | | [MPa] | 0.63 | -101.3 | -0.33 |

Resistenza a flessione

| | | N [kN] | M [kNm] | V [kN] | CS_M |
|-----|---------|--------|---------|--------|-------------|
| SLU | 09_SLU1 | -66 | -57 | -109 | 5.77 |
| | 10_SLU2 | -205 | -65 | -111 | 4.29 |
| | 11_SLU3 | 4 | -49 | -104 | 7.17 |
| | 12_SLU4 | 6 | -49 | -104 | 7.23 |
| | | | | | 4.29 |

Resistenza a taglio

| | | | | | |
|-------------|-----|----------------|------|--|-------------|
| | | ctg θ | 2.50 | $1.0 \leq \dots \leq 2.5$ | |
| ϕ [mm] | 12 | V_{Rcd} [kN] | 1800 | $0.9 b_w d \alpha_c f'_{cd} ctg / (1 + ctg^2)$ | |
| s_1 [mm] | 400 | V_{Rsd} [kN] | 455 | $A_s / s f_{yd} 0.9 d ctg$ | |
| s_2 [mm] | 400 | V_R [kN] | 455 | $\min(V_{Rcd}, V_{Rsd})$ | |
| | | V_E [kN] | 111 | CS_V | 4.11 |

Spalle: Relazione di calcolo

| | | | | | |
|----------|---------|----------|------------|------|------------|
| COMMESSA | LOTTO | CODIFICA | DOCUMENTO | REV. | FOGLIO |
| IF26 | 12 E ZZ | CL | VI0204 001 | A | 138 di 158 |

11.5.5 Muri andatori alti

Le verifiche sono riferite alla sezione di spiccato dal muro andatore.

| | | | | | |
|-------------------------|---------------|----------|---------------|------|----------------|
| muro andatore superiore | H | 720 | elem. | B2-1 | modello |
| arm. verticali | tesa | fi26/200 | direz. | 2-2 | FINALE |
| | compr. | fi20/200 | | | |

Verifica tensioni in esercizio

| Combo | | N [kN] | M [kNm] | V [kN] | σ_{cls} | σ_{acc} | |
|----------|---------|--------|---------|--------|----------------|----------------|--------------------|
| SLE-rara | 01_SLE1 | 88 | -2 | 2 | 0.13 | 1.4 | |
| | 02_SLE2 | 99 | -2 | 1 | 0.16 | 1.5 | |
| | 03_SLE3 | 81 | -2 | 2 | 0.13 | 1.2 | |
| | 04_SLE4 | 82 | -2 | 2 | 0.13 | 1.3 | $\sigma_{traz,el}$ |
| SLE-freq | 05_SLS1 | 74 | 0 | 2 | 0.10 | 1.4 | 0.09 |
| | 06_SLS2 | 81 | -1 | 2 | 0.11 | 1.4 | 0.09 |
| | 07_SLS3 | 75 | -1 | 2 | 0.11 | 1.2 | 0.08 |
| | 08_SLS4 | 76 | -1 | 2 | 0.11 | 1.3 | 0.08 |
| [MPa] | | | | | 0.16 | 1.2 | 0.08 |

Resistenza a flessione

| | | N [kN] | M [kNm] | V [kN] | CS_M |
|-----|---------|--------|---------|--------|--------------|
| SLU | 09_SLU1 | 123 | -3 | 2 | 202.29 |
| | 10_SLU2 | 139 | -4 | 1 | 150.37 |
| | 11_SLU3 | 112 | -4 | 1 | 167.47 |
| | 12_SLU4 | 114 | -4 | 2 | 180.49 |
| SLV | 13_SLV1 | 123 | -4 | 2 | 158.10 |
| | 14_SLV2 | 88 | -7 | -2 | 88.91 |
| | 15_SLV3 | 118 | -5 | 1 | 121.35 |
| | 16_SLV4 | 82 | -9 | -3 | 75.73 |
| | | | | | 75.73 |

Resistenza a taglio

| | | | | |
|-------------|-----|----------------|------|--|
| | | ctg θ | 2.50 | $1.0 \leq \dots \leq 2.5$ |
| ϕ [mm] | 12 | V_{Rcd} [kN] | 1593 | $0.9 b_w d \alpha_c f'_{cd} ctg / (1 + ctg^2)$ |
| s_1 [mm] | 400 | V_{Rsd} [kN] | 403 | $A_s / s f_{yd} 0.9 d ctg$ |
| s_2 [mm] | 400 | V_R [kN] | 403 | $\min (V_{Rcd}, V_{Rsd})$ |
| | | V_E [kN] | 3 | CS_V 136.27 |

Spalle: Relazione di calcolo

| | | | | | |
|----------|---------|----------|------------|------|------------|
| COMMESSA | LOTTO | CODIFICA | DOCUMENTO | REV. | FOGLIO |
| IF26 | 12 E ZZ | CL | VI0204 001 | A | 139 di 158 |

| | | | | | |
|----------------------------|---------------|----------|---------------|------|----------------|
| muro andatore superiore | H | 720 | elem. | B2-1 | modello |
| | tesa | fi26/200 | direz. | 2-2 | |
| arm. verticali | compr. | fi20/200 | | | |

Verifica tensioni in esercizio

| Combo | | N [kN] | M [kNm] | V [kN] | σ_{cls} | σ_{acc} | |
|----------|---------|--------|---------|--------|----------------|----------------|--------------------|
| SLE-rara | 01_SLE1 | 64 | -6 | -2 | 0.14 | 0.5 | |
| | 02_SLE2 | 64 | -6 | -3 | 0.15 | 0.5 | |
| | 03_SLE3 | 59 | -6 | -3 | 0.14 | 0.4 | |
| | 04_SLE4 | 59 | -6 | -3 | 0.14 | 0.4 | $\sigma_{traz,el}$ |
| SLE-freq | 05_SLS1 | 55 | -4 | -1 | 0.11 | 0.6 | 0.03 |
| | 06_SLS2 | 55 | -4 | -1 | 0.11 | 0.6 | 0.03 |
| | 07_SLS3 | 55 | -5 | -2 | 0.13 | 0.4 | 0.02 |
| | 08_SLS4 | 55 | -5 | -2 | 0.13 | 0.4 | 0.02 |
| | | | | [MPa] | 0.15 | 0.4 | 0.02 |

Resistenza a flessione

| | | N [kN] | M [kNm] | V [kN] | CS_M |
|-----|---------|--------|---------|--------|--------------|
| SLU | 09_SLU1 | 89 | -9 | -5 | 70.87 |
| | 10_SLU2 | 89 | -9 | -5 | 69.60 |
| | 11_SLU3 | 82 | -10 | -5 | 66.51 |
| | 12_SLU4 | 82 | -10 | -5 | 66.62 |
| | | | | | 66.51 |

Resistenza a taglio

| | | | | | |
|-------------|-----|----------------|------|--|--------------|
| | | ctg θ | 2.50 | $1.0 \leq \dots \leq 2.5$ | |
| ϕ [mm] | 12 | V_{Rcd} [kN] | 1593 | $0.9 b_w d \alpha_c f'_{cd} ctg / (1 + ctg^2)$ | |
| s_1 [mm] | 400 | V_{Rsd} [kN] | 403 | $A_s / s f_{yd} 0.9 d ctg$ | |
| s_2 [mm] | 400 | V_R [kN] | 403 | $\min(V_{Rcd}, V_{Rsd})$ | |
| | | V_E [kN] | 5 | CS_V | 74.64 |

Spalle: Relazione di calcolo

| | | | | | |
|----------|---------|----------|------------|------|------------|
| COMMESSA | LOTTO | CODIFICA | DOCUMENTO | REV. | FOGLIO |
| IF26 | 12 E ZZ | CL | VI0204 001 | A | 140 di 158 |

Le verifiche sono riferite alla sezione d'angolo con il paraghiaia.

| | | | | | |
|-------------------------|---------------|----------|---------------|------|----------------|
| muro andatore superiore | H | 720 | elem. | B2-1 | modello |
| arm. orizzontali | tesa | fi18/200 | direz. | 1-1 | FINALE |
| | compr. | fi18/200 | | | |

Verifica tensioni in esercizio

| | Combo | N [kN] | M [kNm] | V [kN] | σ_{cls} | σ_{acc} | |
|----------|---------|--------|---------|--------|----------------|----------------|--------------------------|
| SLE-rara | 01_SLE1 | 11 | -19 | -47 | 0.42 | -20.1 | |
| | 02_SLE2 | -45 | -22 | -47 | 0.38 | -46.3 | |
| | 03_SLE3 | 34 | -17 | -49 | 0.37 | -10.2 | |
| | 04_SLE4 | 35 | -17 | -48 | 0.36 | -9.5 | |
| SLE-freq | 05_SLS1 | 22 | -13 | -35 | 0.28 | -8.9 | $\sigma_{traz,el}$ -0.11 |
| | 06_SLS2 | -11 | -15 | -35 | 0.31 | -23.8 | -0.17 |
| | 07_SLS3 | 33 | -15 | -43 | 0.31 | -7.7 | -0.11 |
| | 08_SLS4 | 34 | -15 | -42 | 0.31 | -7.2 | -0.11 |
| | | | | [MPa] | 0.42 | -46.3 | -0.17 |

Resistenza a flessione

| | | N [kN] | M [kNm] | V [kN] | CS_M |
|-----|---------|--------|---------|--------|-------------|
| SLU | 09_SLU1 | 10 | -29 | -71 | 10.95 |
| | 10_SLU2 | -71 | -33 | -72 | 8.68 |
| | 11_SLU3 | 43 | -26 | -74 | 12.30 |
| | 12_SLU4 | 45 | -26 | -73 | 12.52 |
| SLV | 13_SLV1 | -280 | -32 | -40 | 6.88 |
| | 14_SLV2 | -19 | -31 | -77 | 9.79 |
| | 15_SLV3 | -294 | -35 | -43 | 6.24 |
| | 16_SLV4 | -34 | -34 | -80 | 8.91 |
| | | | | | 6.24 |

Resistenza a taglio

| | | | |
|-------------|--------------|----------------|---------------------------|
| | ctg θ | 2.50 | $1.0 \leq \dots \leq 2.5$ |
| ϕ [mm] | 12 | V_{Rcd} [kN] | 1603 |
| s_1 [mm] | 400 | V_{Rsd} [kN] | 405 |
| s_2 [mm] | 400 | V_R [kN] | 405 |
| | | V_E [kN] | 80 |
| | | CS_V | 5.06 |

Spalle: Relazione di calcolo

| | | | | | |
|----------|---------|----------|------------|------|------------|
| COMMESSA | LOTTO | CODIFICA | DOCUMENTO | REV. | FOGLIO |
| IF26 | 12 E ZZ | CL | VI0204 001 | A | 141 di 158 |

| | | | | | |
|-------------------------|---------------|----------|---------------|------|----------------|
| muro andatore superiore | H | 720 | elem. | B2-1 | modello |
| | tesa | fi18/200 | direz. | 1-1 | INIZIALE |
| arm. orizzontali | compr. | fi18/200 | | | |

Verifica tensioni in esercizio

| Combo | N [kN] | M [kNm] | V [kN] | σ_{cls} | σ_{acc} | | |
|-----------------|---------|---------|--------|----------------|----------------|--------------|--------------------|
| SLE-rara | 01_SLE1 | -16 | -32 | -73 | 0.68 | -47.3 | |
| | 02_SLE2 | -18 | -32 | -73 | 0.69 | -48.5 | |
| | 03_SLE3 | 0 | -31 | -73 | 0.68 | -40.1 | |
| | 04_SLE4 | 0 | -31 | -73 | 0.68 | -40.1 | $\sigma_{traz,el}$ |
| SLE-freq | 05_SLS1 | -7 | -24 | -56 | 0.53 | -34.2 | -0.26 |
| | 06_SLS2 | -8 | -24 | -56 | 0.53 | -34.9 | -0.27 |
| | 07_SLS3 | 0 | -27 | -65 | 0.61 | -35.8 | -0.29 |
| | 08_SLS4 | 0 | -27 | -65 | 0.61 | -35.7 | -0.29 |
| | | | | [MPa] | 0.69 | -48.5 | -0.29 |

Resistenza a flessione

| | N [kN] | M [kNm] | V [kN] | CS_M | |
|------------|---------|---------|--------|-------------|------|
| SLU | 09_SLU1 | -25 | -48 | -108 | 6.36 |
| | 10_SLU2 | -28 | -48 | -108 | 6.28 |
| | 11_SLU3 | -3 | -46 | -109 | 6.70 |
| | 12_SLU4 | -3 | -46 | -109 | 6.70 |
| | | | | 6.28 | |

Resistenza a taglio

| | | | | | |
|-------------|--------------------------------|----------------------------------|---------------------------|--|-------------|
| | ctg θ | 2.50 | $1.0 \leq \dots \leq 2.5$ | | |
| ϕ [mm] | 12 | V_{Rcd} [kN] | 1603 | $0.9 b_w d \alpha_c f'_{cd} ctg / (1 + ctg^2)$ | |
| s_1 [mm] | 400 | V_{Rsd} [kN] | 405 | $A_s / s f_{yd} 0.9 d ctg$ | |
| s_2 [mm] | 400 | V_R [kN] | 405 | $\min(V_{Rcd}, V_{Rsd})$ | |
| | | V_E [kN] | 109 | CS_V | 3.73 |

Spalle: Relazione di calcolo

| | | | | | |
|----------|---------|----------|------------|------|------------|
| COMMESSA | LOTTO | CODIFICA | DOCUMENTO | REV. | FOGLIO |
| IF26 | 12 E ZZ | CL | VI0204 001 | A | 142 di 158 |

11.5.6 Muri andatori interni alti

Le verifiche sono riferite alla sezione di spiccato dal muro andatore interno.

| | | | | | |
|---------------------------------|---------------|----------|---------------|------|----------------|
| muro andatore interno superiore | H | 500 | elem. | B5-1 | modello |
| arm. verticali | tesa | fi24/200 | direz. | 2-2 | FINALE |
| | compr. | fi20/200 | | | |

Verifica tensioni in esercizio

| Combo | | N [kN] | M [kNm] | V [kN] | σ_{cls} | σ_{acc} | |
|----------|---------|--------|---------|--------|----------------|----------------|--------------------|
| SLE-rara | 01_SLE1 | 98 | 5 | 4 | 0.28 | 1.5 | |
| | 02_SLE2 | 112 | 5 | 4 | 0.30 | 1.9 | |
| | 03_SLE3 | 83 | 5 | 7 | 0.25 | 1.2 | |
| | 04_SLE4 | 85 | 5 | 8 | 0.25 | 1.2 | |
| SLE-freq | 05_SLS1 | 82 | 4 | 3 | 0.23 | 1.3 | $\sigma_{traz,el}$ |
| | 06_SLS2 | 91 | 4 | 3 | 0.24 | 1.6 | 0.07 |
| | 07_SLS3 | 78 | 4 | 6 | 0.22 | 1.2 | 0.08 |
| | 08_SLS4 | 79 | 4 | 6 | 0.23 | 1.2 | 0.06 |
| [MPa] | | | | | 0.30 | 1.2 | 0.06 |

Resistenza a flessione

| | | N [kN] | M [kNm] | V [kN] | CS_M |
|-----|---------|--------|---------|--------|--------------|
| SLU | 09_SLU1 | 138 | 7 | 5 | 38.18 |
| | 10_SLU2 | 159 | 7 | 5 | 39.49 |
| | 11_SLU3 | 117 | 7 | 10 | 40.58 |
| | 12_SLU4 | 119 | 7 | 10 | 39.89 |
| SLV | 13_SLV1 | 129 | -3 | -4 | 142.06 |
| | 14_SLV2 | 89 | -19 | -25 | 19.01 |
| | 15_SLV3 | 123 | -3 | -4 | 119.44 |
| | 16_SLV4 | 83 | -20 | -25 | 18.48 |
| | | | | | 18.48 |

Resistenza a taglio

| | | | | |
|-------------|-----|----------------|------|--|
| | | ctg θ | 2.50 | $1.0 \leq \dots \leq 2.5$ |
| ϕ [mm] | 12 | V_{Rcd} [kN] | 1054 | $0.9 b_w d \alpha_c f'_{cd} ctg / (1 + ctg^2)$ |
| s_1 [mm] | 400 | V_{Rsd} [kN] | 266 | $A_s / s f_{yd} 0.9 d ctg$ |
| s_2 [mm] | 400 | V_R [kN] | 266 | $\min (V_{Rcd}, V_{Rsd})$ |
| | | V_E [kN] | 25 | CS_V 10.71 |

Spalle: Relazione di calcolo

| | | | | | |
|----------|---------|----------|------------|------|------------|
| COMMESSA | LOTTO | CODIFICA | DOCUMENTO | REV. | FOGLIO |
| IF26 | 12 E ZZ | CL | VI0204 001 | A | 143 di 158 |

| | | | | | |
|---------------------------------|---------------|----------|---------------|------|----------------|
| muro andatore interno superiore | H | 500 | elem. | B5-1 | modello |
| | tesa | fi24/200 | direz. | 2-2 | INIZIALE |
| arm. verticali | compr. | fi20/200 | | | |

Verifica tensioni in esercizio

| Combo | | N [kN] | M [kNm] | V [kN] | σ_{cls} | σ_{acc} | |
|----------|---------|--------|---------|--------|----------------|----------------|--------------------|
| SLE-rara | 01_SLE1 | 59 | -8 | -3 | 0.30 | -0.7 | |
| | 02_SLE2 | 75 | -9 | -4 | 0.35 | -0.4 | |
| | 03_SLE3 | 63 | -6 | -1 | 0.25 | 0.2 | |
| | 04_SLE4 | 63 | -6 | 0 | 0.25 | 0.3 | $\sigma_{traz,el}$ |
| SLE-freq | 05_SLS1 | 51 | -5 | -2 | 0.21 | 0.1 | -0.02 |
| | 06_SLS2 | 60 | -6 | -2 | 0.24 | 0.2 | -0.02 |
| | 07_SLS3 | 57 | -6 | -1 | 0.22 | 0.3 | -0.01 |
| | 08_SLS4 | 58 | -5 | 0 | 0.22 | 0.3 | -0.01 |
| | | | | [MPa] | 0.35 | -0.7 | -0.02 |

Resistenza a flessione

| | | N [kN] | M [kNm] | V [kN] | CS_M |
|-----|---------|--------|---------|--------|--------------|
| SLU | 09_SLU1 | 83 | -13 | -6 | 28.40 |
| | 10_SLU2 | 106 | -15 | -7 | 25.38 |
| | 11_SLU3 | 88 | -10 | -2 | 35.99 |
| | 12_SLU4 | 88 | -10 | -2 | 36.62 |
| | | | | | 25.38 |

Resistenza a taglio

| | | | | |
|-------------|-----|----------------|------|--|
| | | ctg θ | 2.50 | $1.0 \leq \dots \leq 2.5$ |
| ϕ [mm] | 12 | V_{Rcd} [kN] | 1054 | $0.9 b_w d \alpha_c f'_{cd} ctg / (1 + ctg^2)$ |
| s_1 [mm] | 400 | V_{Rsd} [kN] | 266 | $A_s / s f_{yd} 0.9 d ctg$ |
| s_2 [mm] | 400 | V_R [kN] | 266 | $\min(V_{Rcd}, V_{Rsd})$ |
| | | V_E [kN] | 7 | CS_V 38.14 |

Spalle: Relazione di calcolo

| | | | | | |
|----------|---------|----------|------------|------|------------|
| COMMESSA | LOTTO | CODIFICA | DOCUMENTO | REV. | FOGLIO |
| IF26 | 12 E ZZ | CL | VI0204 001 | A | 144 di 158 |

Le verifiche sono riferite alla sezione d'angolo con il paraghiaia.

| | | | | | |
|---------------------------------|---------------|----------|---------------|------|----------------|
| muro andatore interno superiore | H | 500 | elem. | B5-1 | modello |
| arm. orizzontali | tesa | fi18/100 | direz. | 1-1 | FINALE |
| | compr. | fi18/200 | | | |

Verifica tensioni in esercizio

| Combo | | N [kN] | M [kNm] | V [kN] | σ_{cls} | σ_{acc} | |
|----------|---------|--------|---------|--------|----------------|----------------|--------------------------|
| SLE-rara | 01_SLE1 | -166 | 6 | 13 | 0.00 | -78.4 | |
| | 02_SLE2 | -244 | 6 | 13 | 0.00 | -108.4 | |
| | 03_SLE3 | -144 | 7 | 10 | 0.00 | -72.1 | |
| | 04_SLE4 | -143 | 7 | 10 | 0.00 | -72.3 | |
| SLE-freq | 05_SLS1 | -125 | 4 | 10 | 0.00 | -58.2 | $\sigma_{traz,el}$ -0.33 |
| | 06_SLS2 | -171 | 4 | 10 | 0.00 | -76.2 | -0.42 |
| | 07_SLS3 | -128 | 6 | 9 | 0.00 | -62.7 | -0.37 |
| | 08_SLS4 | -128 | 6 | 9 | 0.00 | -62.9 | -0.37 |
| | | | | [MPa] | 0.00 | -108.4 | -0.42 |

Resistenza a flessione

| | | N [kN] | M [kNm] | V [kN] | CS_M |
|-----|---------|--------|---------|--------|-------------|
| SLU | 09_SLU1 | -247 | 8 | 18 | 19.59 |
| | 10_SLU2 | -359 | 8 | 18 | 17.35 |
| | 11_SLU3 | -214 | 10 | 14 | 16.87 |
| | 12_SLU4 | -214 | 10 | 14 | 16.43 |
| SLV | 13_SLV1 | -537 | -11 | -23 | 25.94 |
| | 14_SLV2 | -193 | -51 | -103 | 7.03 |
| | 15_SLV3 | -528 | -12 | -24 | 24.37 |
| | 16_SLV4 | -183 | -52 | -105 | 6.96 |
| | | | | | 6.96 |

Resistenza a taglio

| | | | | |
|-------------|-----|----------------|------|--|
| | | ctg θ | 2.50 | $1.0 \leq \dots \leq 2.5$ |
| ϕ [mm] | 12 | V_{Rcd} [kN] | 1061 | $0.9 b_w d \alpha_c f'_{cd} ctg / (1 + ctg^2)$ |
| s_1 [mm] | 400 | V_{Rsd} [kN] | 268 | $A_s / s f_{yd} 0.9 d ctg$ |
| s_2 [mm] | 400 | V_R [kN] | 268 | $\min(V_{Rcd}, V_{Rsd})$ |
| | | V_E [kN] | 105 | CS_V 2.57 |

Spalle: Relazione di calcolo

| | | | | | |
|----------|---------|----------|------------|------|------------|
| COMMESSA | LOTTO | CODIFICA | DOCUMENTO | REV. | FOGLIO |
| IF26 | 12 E ZZ | CL | VI0204 001 | A | 145 di 158 |

| | | | | | |
|---------------------------------|---------------|----------|---------------|------|----------------|
| muro andatore interno superiore | H | 500 | elem. | B5-1 | modello |
| | tesa | fi18/100 | direz. | 1-1 | INIZIALE |
| arm. orizzontali | compr. | fi18/200 | | | |

Verifica tensioni in esercizio

| Combo | N [kN] | M [kNm] | V [kN] | σ_{cls} | σ_{acc} | | |
|-----------------|---------|---------|--------|----------------|----------------|--------------|--------------------|
| SLE-rara | 01_SLE1 | -57 | -28 | -64 | 0.80 | -39.8 | |
| | 02_SLE2 | -140 | -32 | -65 | 0.65 | -61.7 | |
| | 03_SLE3 | -23 | -24 | -63 | 0.75 | -29.1 | |
| | 04_SLE4 | -22 | -24 | -63 | 0.75 | -28.9 | $\sigma_{traz,el}$ |
| SLE-freq | 05_SLS1 | -29 | -20 | -49 | 0.62 | -26.7 | -0.45 |
| | 06_SLS2 | -79 | -23 | -49 | 0.57 | -39.7 | -0.59 |
| | 07_SLS3 | -18 | -22 | -56 | 0.68 | -25.8 | -0.46 |
| | 08_SLS4 | -18 | -21 | -56 | 0.68 | -25.5 | -0.46 |
| | | | [MPa] | 0.80 | -61.7 | -0.59 | |

Resistenza a flessione

| | N [kN] | M [kNm] | V [kN] | CS_M | |
|------------|---------|---------|--------|-------------|-------|
| SLU | 09_SLU1 | -95 | -42 | -96 | 8.89 |
| | 10_SLU2 | -215 | -49 | -96 | 7.19 |
| | 11_SLU3 | -44 | -37 | -93 | 10.43 |
| | 12_SLU4 | -43 | -37 | -93 | 10.49 |
| | | | | 7.19 | |

Resistenza a taglio

| | | | | |
|-------------|--------------------------------|-----------------------------|-----------------|--|
| | ctg θ | 2.50 | 1.0 ≤ ... ≤ 2.5 | |
| ϕ [mm] | 12 | V_{Rcd} [kN] | 1061 | $0.9 b_w d \alpha_c f'_{cd} ctg / (1 + ctg^2)$ |
| s_1 [mm] | 400 | V_{Rsd} [kN] | 268 | $A_s / s f_{yd} 0.9 d ctg$ |
| s_2 [mm] | 400 | V_R [kN] | 268 | min (V _{Rcd} , V _{Rsd}) |
| | | V_E [kN] | 96 | CS_V 2.79 |

Spalle: Relazione di calcolo

| | | | | | |
|----------|---------|----------|------------|------|------------|
| COMMESSA | LOTTO | CODIFICA | DOCUMENTO | REV. | FOGLIO |
| IF26 | 12 E ZZ | CL | VI0204 001 | A | 146 di 158 |

11.5.7 Plinto

Le verifiche sono riferite all'intradosso sotto il muro frontale.

| | | | | | |
|--------------------|---------------|----------|---------------|-------|----------------|
| plinto | H | 1500 | elem. | F23-3 | modello |
| | tesa | fi24/100 | direz. | 2-2 | FINALE |
| arm. longitudinali | compr. | fi24/200 | | | |

Verifica tensioni in esercizio

| Combo | | N [kN] | M [kNm] | V [kN] | σ_{cls} | σ_{acc} | |
|----------|---------|--------|---------|--------|----------------|----------------|--------------------|
| SLE-rara | 01_SLE1 | -66 | 904 | 994 | 3.32 | -158.6 | |
| | 02_SLE2 | -44 | 977 | 1107 | 3.61 | -168.8 | |
| | 03_SLE3 | -39 | 724 | 813 | 2.67 | -125.7 | |
| | 04_SLE4 | -41 | 730 | 819 | 2.69 | -126.7 | $\sigma_{traz,el}$ |
| SLE-freq | 05_SLS1 | -73 | 790 | 859 | 2.90 | -140.1 | -1.82 |
| | 06_SLS2 | -60 | 834 | 927 | 3.07 | -146.2 | -1.91 |
| | 07_SLS3 | -52 | 711 | 788 | 2.61 | -124.6 | -1.63 |
| | 08_SLS4 | -53 | 715 | 792 | 2.63 | -125.4 | -1.64 |
| [MPa] | | | | | 3.61 | -168.8 | -1.91 |

Resistenza a flessione

| | | N [kN] | M [kNm] | V [kN] | CS_M |
|-----|---------|--------|---------|--------|-------------|
| SLU | 09_SLU1 | -97 | 1302 | 1432 | 1.80 |
| | 10_SLU2 | -65 | 1409 | 1596 | 1.68 |
| | 11_SLU3 | -58 | 1041 | 1169 | 2.28 |
| | 12_SLU4 | -60 | 1048 | 1176 | 2.26 |
| SLV | 13_SLV1 | 249 | 1016 | 1459 | 2.54 |
| | 14_SLV2 | 127 | 622 | 829 | 4.01 |
| | 15_SLV3 | 273 | 947 | 1393 | 2.74 |
| | 16_SLV4 | 151 | 554 | 764 | 4.54 |
| | | | | | 1.68 |

Resistenza a taglio

| | | | | |
|-------------|-----|----------------|------|--|
| | | ctg θ | 2.50 | $1.0 \leq \dots \leq 2.5$ |
| ϕ [mm] | 18 | V_{Rcd} [kN] | 3516 | $0.9 b_w d \alpha_c f'_{cd} ctg / (1 + ctg^2)$ |
| s_1 [mm] | 400 | V_{Rsd} [kN] | 2000 | $A_s / s f_{yd} 0.9 d ctg$ |
| s_2 [mm] | 400 | V_R [kN] | 2000 | $\min (V_{Rcd}, V_{Rsd})$ |
| | | V_E [kN] | 1596 | CS_V 1.25 |

Spalle: Relazione di calcolo

| | | | | | |
|----------|---------|----------|------------|------|------------|
| COMMESSA | LOTTO | CODIFICA | DOCUMENTO | REV. | FOGLIO |
| IF26 | 12 E ZZ | CL | VI0204 001 | A | 147 di 158 |

| | | | | | |
|--------------------|---------------|----------|---------------|-------|----------------|
| plinto | H | 1500 | elem. | F23-3 | modello |
| | tesa | fi24/100 | direz. | 2-2 | |
| arm. longitudinali | compr. | fi24/200 | | | |

Verifica tensioni in esercizio

| Combo | | N [kN] | M [kNm] | V [kN] | σ_{cls} | σ_{acc} | |
|----------|---------|--------|---------|--------|----------------|----------------|--------------------|
| SLE-rara | 01_SLE1 | 30 | 609 | 717 | 2.29 | -99.5 | |
| | 02_SLE2 | 65 | 680 | 846 | 2.57 | -108.0 | |
| | 03_SLE3 | 5 | 688 | 779 | 2.56 | -115.3 | |
| | 04_SLE4 | 2 | 699 | 790 | 2.61 | -117.5 | $\sigma_{traz,el}$ |
| SLE-freq | 05_SLS1 | 0 | 582 | 662 | 2.16 | -97.9 | -1.31 |
| | 06_SLS2 | 20 | 624 | 740 | 2.34 | -103.0 | -1.39 |
| | 07_SLS3 | -11 | 670 | 750 | 2.49 | -113.8 | -1.51 |
| | 08_SLS4 | -13 | 679 | 759 | 2.52 | -115.6 | -1.54 |
| | | | | [MPa] | 2.61 | -117.5 | -1.54 |

Resistenza a flessione

| | | N [kN] | M [kNm] | V [kN] | CS_M |
|-----|---------|--------|---------|--------|-------------|
| SLU | 09_SLU1 | 36 | 891 | 1046 | 2.73 |
| | 10_SLU2 | 86 | 994 | 1233 | 2.49 |
| | 11_SLU3 | -1 | 1005 | 1135 | 2.40 |
| | 12_SLU4 | -5 | 1021 | 1152 | 2.36 |
| | | | | | 2.36 |

Resistenza a taglio

| | | | | |
|-------------|-----|----------------|------|--|
| | | ctg θ | 2.50 | $1.0 \leq \dots \leq 2.5$ |
| ϕ [mm] | 18 | V_{Rcd} [kN] | 3516 | $0.9 b_w d \alpha_c f'_{cd} ctg / (1 + ctg^2)$ |
| s_1 [mm] | 400 | V_{Rsd} [kN] | 2000 | $A_s / s f_{yd} 0.9 d ctg$ |
| s_2 [mm] | 400 | V_R [kN] | 2000 | $\min(V_{Rcd}, V_{Rsd})$ |
| | | V_E [kN] | 1233 | CS_V 1.62 |

Spalle: Relazione di calcolo

| | | | | | |
|----------|---------|----------|------------|------|------------|
| COMMESSA | LOTTO | CODIFICA | DOCUMENTO | REV. | FOGLIO |
| IF26 | 12 E ZZ | CL | VI0204 001 | A | 148 di 158 |

Le verifiche sono riferite all'intradosso sotto il muro andatore.

| | | | | | |
|------------------|---------------|----------|---------------|-------|----------------|
| plinto | H | 1500 | elem. | F8-33 | modello |
| | tesa | fi24/100 | direz. | 1-1 | FINALE |
| arm. trasversali | compr. | fi24/200 | | | |

Verifica tensioni in esercizio

| | Combo | N [kN] | M [kNm] | V [kN] | σ_{cls} | σ_{acc} | |
|----------|---------|--------|---------|--------|----------------|----------------|--------------------|
| SLE-rara | 01_SLE1 | -138 | 43 | 270 | 0.00 | -44.6 | |
| | 02_SLE2 | -122 | 44 | 276 | 0.00 | -41.2 | |
| | 03_SLE3 | -145 | 35 | 267 | 0.00 | -43.5 | |
| | 04_SLE4 | -146 | 36 | 269 | 0.00 | -43.8 | |
| SLE-freq | 05_SLS1 | -119 | 51 | 234 | 0.00 | -43.0 | $\sigma_{traz,el}$ |
| | 06_SLS2 | -110 | 51 | 238 | 0.00 | -41.0 | -0.20 |
| | 07_SLS3 | -136 | 42 | 249 | 0.00 | -43.8 | -0.19 |
| | 08_SLS4 | -136 | 43 | 250 | 0.00 | -44.1 | -0.19 |
| | | | | [MPa] | 0.00 | -44.6 | -0.20 |

Resistenza a flessione

| | | N [kN] | M [kNm] | V [kN] | CS_M |
|-----|---------|--------|---------|--------|--------------|
| SLU | 09_SLU1 | -205 | 63 | 390 | 17.09 |
| | 10_SLU2 | -182 | 64 | 398 | 17.16 |
| | 11_SLU3 | -216 | 51 | 386 | 21.06 |
| | 12_SLU4 | -217 | 52 | 388 | 20.69 |
| SLV | 13_SLV1 | 59 | -20 | 290 | 124.05 |
| | 14_SLV2 | -61 | -113 | 275 | 21.07 |
| | 15_SLV3 | 65 | -35 | 258 | 69.36 |
| | 16_SLV4 | -55 | -128 | 244 | 18.53 |
| | | | | | 17.09 |

Resistenza a taglio

| | | | | |
|-------------|-----|----------------|------|--|
| | | ctg θ | 2.50 | $1.0 \leq \dots \leq 2.5$ |
| ϕ [mm] | 16 | V_{Rcd} [kN] | 3516 | $0.9 b_w d \alpha_c f'_{cd} ctg / (1 + ctg^2)$ |
| s_1 [mm] | 400 | V_{Rsd} [kN] | 1580 | $A_s / s f_{yd} 0.9 d ctg$ |
| s_2 [mm] | 400 | V_R [kN] | 1580 | $\min(V_{Rcd}, V_{Rsd})$ |
| | | V_E [kN] | 398 | CS_V 3.97 |

Spalle: Relazione di calcolo

| | | | | | |
|----------|---------|----------|------------|------|------------|
| COMMESSA | LOTTO | CODIFICA | DOCUMENTO | REV. | FOGLIO |
| IF26 | 12 E ZZ | CL | VI0204 001 | A | 149 di 158 |

Le verifiche sono riferite all'intradosso sotto il muro andatore interno.

| | | | | | |
|------------------|---------------|----------|---------------|-------|----------------|
| plinto interno | H | 1500 | elem. | F5-25 | modello |
| | tesa | fi24/100 | direz. | 1-1 | FINALE |
| arm. trasversali | compr. | fi24/200 | | | |

Verifica tensioni in esercizio

| Combo | | N [kN] | M [kNm] | V [kN] | σ_{cls} | σ_{acc} | |
|----------|---------|--------|---------|--------|----------------|----------------|--------------------------|
| SLE-rara | 01_SLE1 | -295 | -92 | 180 | 0.00 | -47.6 | |
| | 02_SLE2 | -261 | -106 | 216 | 0.00 | -46.2 | |
| | 03_SLE3 | -275 | -95 | 174 | 0.00 | -45.9 | |
| | 04_SLE4 | -279 | -95 | 173 | 0.00 | -46.3 | |
| SLE-freq | 05_SLS1 | -264 | -74 | 147 | 0.00 | -41.3 | $\sigma_{traz,el}$ -0.32 |
| | 06_SLS2 | -244 | -82 | 169 | 0.00 | -40.4 | -0.33 |
| | 07_SLS3 | -264 | -84 | 159 | 0.00 | -42.9 | -0.35 |
| | 08_SLS4 | -266 | -84 | 159 | 0.00 | -43.1 | -0.35 |
| | | | | [MPa] | 0.00 | -47.6 | -0.35 |

Resistenza a flessione

| | | N [kN] | M [kNm] | V [kN] | CS_M |
|-----|---------|--------|---------|--------|-------------|
| SLU | 09_SLU1 | -418 | -132 | 271 | 16.14 |
| | 10_SLU2 | -369 | -152 | 323 | 14.27 |
| | 11_SLU3 | -389 | -136 | 262 | 15.82 |
| | 12_SLU4 | -394 | -136 | 261 | 15.82 |
| SLV | 13_SLV1 | 17 | -233 | 395 | 10.39 |
| | 14_SLV2 | -320 | -251 | 163 | 8.74 |
| | 15_SLV3 | 38 | -223 | 375 | 10.95 |
| | 16_SLV4 | -299 | -241 | 143 | 9.19 |
| | | | | | 8.74 |

Resistenza a taglio

| | | | | |
|-------------|-----|----------------|------|--|
| | | ctg θ | 2.50 | $1.0 \leq \dots \leq 2.5$ |
| ϕ [mm] | 16 | V_{Rcd} [kN] | 3516 | $0.9 b_w d \alpha_c f'_{cd} ctg / (1 + ctg^2)$ |
| s_1 [mm] | 400 | V_{Rsd} [kN] | 1580 | $A_s / s f_{yd} 0.9 d ctg$ |
| s_2 [mm] | 400 | V_R [kN] | 1580 | $\min(V_{Rcd}, V_{Rsd})$ |
| | | V_E [kN] | 395 | CS_V 4.00 |

Spalle: Relazione di calcolo

| | | | | | |
|----------|---------|----------|------------|------|------------|
| COMMESSA | LOTTO | CODIFICA | DOCUMENTO | REV. | FOGLIO |
| IF26 | 12 E ZZ | CL | VI0204 001 | A | 150 di 158 |

| | | | | | |
|------------------|---------------|----------|---------------|-------|----------------|
| plinto interno | H | 1500 | elem. | F5-25 | modello |
| | tesa | fi24/100 | direz. | 1-1 | |
| arm. trasversali | compr. | fi24/200 | | | |

Verifica tensioni in esercizio

| Combo | | N [kN] | M [kNm] | V [kN] | σ_{cls} | σ_{acc} | |
|----------|---------|--------|---------|--------|----------------|----------------|--------------------|
| SLE-rara | 01_SLE1 | -212 | -170 | 277 | 0.30 | -51.2 | |
| | 02_SLE2 | -206 | -168 | 323 | 0.30 | -50.0 | |
| | 03_SLE3 | -212 | -189 | 271 | 0.39 | -54.1 | |
| | 04_SLE4 | -212 | -190 | 271 | 0.39 | -54.3 | $\sigma_{traz,el}$ |
| SLE-freq | 05_SLS1 | -180 | -138 | 230 | 0.21 | -42.4 | -0.42 |
| | 06_SLS2 | -177 | -136 | 258 | 0.21 | -41.7 | -0.41 |
| | 07_SLS3 | -197 | -164 | 249 | 0.30 | -48.5 | -0.49 |
| | 08_SLS4 | -197 | -165 | 249 | 0.31 | -48.6 | -0.49 |
| | | | | [MPa] | 0.39 | -54.3 | -0.49 |

Resistenza a flessione

| | | N [kN] | M [kNm] | V [kN] | CS_M |
|-----|---------|--------|---------|--------|-------------|
| SLU | 09_SLU1 | -315 | -233 | 409 | 9.45 |
| | 10_SLU2 | -307 | -229 | 475 | 9.64 |
| | 11_SLU3 | -314 | -260 | 400 | 8.46 |
| | 12_SLU4 | -314 | -261 | 400 | 8.42 |
| | | | | | 8.42 |

Resistenza a taglio

| | | | | | |
|-------------|-----|----------------|------|--|-------------|
| | | ctg θ | 2.50 | $1.0 \leq \dots \leq 2.5$ | |
| ϕ [mm] | 16 | V_{Rcd} [kN] | 3516 | $0.9 b_w d \alpha_c f'_{cd} ctg / (1 + ctg^2)$ | |
| s_1 [mm] | 400 | V_{Rsd} [kN] | 1580 | $A_s / s f_{yd} 0.9 d ctg$ | |
| s_2 [mm] | 400 | V_R [kN] | 1580 | $\min(V_{Rcd}, V_{Rsd})$ | |
| | | V_E [kN] | 475 | CS_V | 3.33 |

| | | | | | | |
|---|--|------------------|------------------|----------------|-------------------------|-----------|
|    | ITINERARIO NAPOLI – BARI RADDOPPIO TRATTA CANCELLO-BENEVENTO II LOTTO FUNZIONALE FRASSO TELESINO – VITULANO 1° LOTTO FUNZIONALE FRASSO TELESINO – TELESE PROGETTO ESECUTIVO | | | | | |
| | Spalle: Relazione di calcolo | COMMESSA IF26 | LOTTO 12 E ZZ | CODIFICA CL | DOCUMENTO VI0204 001 | REV. A |

11.6 Palificata

Le sollecitazioni agenti nei pali di fondazione, sono state dedotte dal modello di calcolo e corrispondono, con ragionevole approssimazione, a quanto si otterrebbe mediante una ripartizione rigida delle azioni globali.

Il valore del momento flettente agente alla testa del palo (valore massimo) viene calcolato sulla base di quanto indicato nell'elaborato progettuale IF26.0.1.E.ZZ.CL.VI.02.0.3.002.A - Relazione geotecnica di calcolo delle fondazioni.

| | | |
|----------|------|---|
| D | 1.2 | m |
| α | 2.18 | - |

11.6.1 Reazioni globali fase finale

Le massime azioni agenti in testa ai pali sono:

| SL | Combo | Max N [kN] | Min N [kN] | Max T [kN] |
|------------|---------|------------|------------|------------|
| SLE | 01_SLE1 | 3243.0 | 2046.9 | 439.8 |
| | 02_SLE2 | 3493.1 | 1863.1 | 551.1 |
| | 03_SLE3 | 2960.1 | 1816.9 | 405.3 |
| | 04_SLE4 | 3000.1 | 1818.5 | 405.3 |
| SLS | 05_SLS1 | 2749.0 | 1962.3 | 355.1 |
| | 06_SLS2 | 2910.6 | 1852.0 | 422.7 |
| | 07_SLS3 | 2748.0 | 1841.9 | 367.6 |
| | 08_SLS4 | 2779.9 | 1843.2 | 367.6 |
| SLU | 09_SLU1 | 4524.7 | 2954.5 | 641.2 |
| | 10_SLU2 | 4900.7 | 2688.1 | 804.3 |
| | 11_SLU3 | 4114.6 | 2619.1 | 592.3 |
| | 12_SLU4 | 4172.6 | 2621.3 | 592.3 |
| SLV | 13_SLV1 | 4499.6 | -93.4 | 1489.0 |
| | 14_SLV2 | 3567.1 | 789.1 | 877.3 |
| | 15_SLV3 | 4309.6 | -413.3 | 1489.0 |
| | 16_SLV4 | 3377.0 | 469.1 | 877.4 |
| GEO | 17_GEO1 | 3663.2 | 2371.5 | 554.4 |
| | 18_GEO2 | 3987.7 | 2141.8 | 694.9 |
| | 19_GEO3 | 3309.6 | 2082.1 | 512.2 |
| | 20_GEO4 | 3359.6 | 2084.0 | 512.2 |

Il taglio riportato è già la combinazione vettoriale dei tagli agenti nelle due direzioni.

| | | | | | | | | | | | | | |
|---|---|----------|------------|----------|------------|------|--------|------|---------|----|------------|---|------------|
|    | ITINERARIO NAPOLI – BARI RADDOPPIO TRATTA CANCELLO-BENEVENTO II LOTTO FUNZIONALE FRASSO TELESINO – VITULANO 1° LOTTO FUNZIONALE FRASSO TELESINO – TELESE PROGETTO ESECUTIVO | | | | | | | | | | | | |
| Spalle: Relazione di calcolo | <table border="1"> <tr> <td>COMMESSA</td> <td>LOTTO</td> <td>CODIFICA</td> <td>DOCUMENTO</td> <td>REV.</td> <td>FOGLIO</td> </tr> <tr> <td>IF26</td> <td>12 E ZZ</td> <td>CL</td> <td>VI0204 001</td> <td>A</td> <td>152 di 158</td> </tr> </table> | COMMESSA | LOTTO | CODIFICA | DOCUMENTO | REV. | FOGLIO | IF26 | 12 E ZZ | CL | VI0204 001 | A | 152 di 158 |
| COMMESSA | LOTTO | CODIFICA | DOCUMENTO | REV. | FOGLIO | | | | | | | | |
| IF26 | 12 E ZZ | CL | VI0204 001 | A | 152 di 158 | | | | | | | | |

11.6.2 Reazioni globali modello di prima fase

Le massime azioni agenti in testa ai pali sono:

| SL | Combo | Max N [kN] | Min N [kN] | Max T [kN] |
|------------|---------|------------|------------|------------|
| SLE | 01_SLE1 | 2579.4 | 1503.4 | 430.8 |
| | 02_SLE2 | 2912.5 | 1204.1 | 592.0 |
| | 03_SLE3 | 2980.6 | 1671.7 | 393.6 |
| | 04_SLE4 | 3020.5 | 1687.3 | 393.6 |
| SLS | 05_SLS1 | 2293.9 | 1576.3 | 345.8 |
| | 06_SLS2 | 2493.8 | 1396.7 | 442.8 |
| | 07_SLS3 | 2721.9 | 1710.0 | 354.2 |
| | 08_SLS4 | 2753.8 | 1722.5 | 354.3 |
| SLU | 09_SLU1 | 3535.2 | 2213.5 | 641.4 |
| | 10_SLU2 | 4018.2 | 1779.4 | 875.7 |
| | 11_SLU3 | 4116.5 | 2455.4 | 575.8 |
| | 12_SLU4 | 4174.3 | 2478.0 | 575.8 |
| GEO | 17_GEO1 | 2829.9 | 1748.6 | 554.3 |
| | 18_GEO2 | 3246.3 | 1374.4 | 756.3 |
| | 19_GEO3 | 3331.0 | 1956.9 | 497.8 |
| | 20_GEO4 | 3380.9 | 1976.4 | 497.8 |

Il taglio riportato è già la combinazione vettoriale dei tagli agenti nelle due direzioni.

Nel seguito del paragrafo si eseguiranno le verifiche strutturali dei pali unicamente in fase finale, essendo le sollecitazioni più critiche in tale fase.

Spalle: Relazione di calcolo

| COMMESSA | LOTTO | CODIFICA | DOCUMENTO | REV. | FOGLIO |
|----------|---------|----------|------------|------|------------|
| IF26 | 12 E ZZ | CL | VI0204 001 | A | 153 di 158 |

11.6.3 Verifiche strutturali pali di fondazione

| <u>GEOMETRIA DELLA SEZIONE</u> | | |
|--|---------|-----------------|
| Diametro del palo = | 1200 | mm |
| Copriferro netto c = | 60 | mm |
| Classe di resistenza calcestruzzo = | C25/30 | Mpa |
| Classe di resistenza delle barre = | B450C | MPa |
| <u>ARMATURA PER I PRIMI 10 Ø</u> | | |
| <i>1° strato di armatura longitudinale</i> | | |
| Numero barre long. | 30 | - |
| Diametro barre long. | 30 | mm |
| Copriferro baricentrico arm. long. c' = | 89 | mm |
| <i>2° strato di armatura longitudinale</i> | | |
| Numero barre long. | 30 | - |
| Diametro barre long. | 30 | mm |
| Copriferro baricentrico arm. long. c' = | 144 | mm |
| <i>Armatura trasversale</i> | | |
| Diametro barre trasv. | 14 | mm |
| Passo arm. trasv. | 150 | mm |
| Diametro corona esterna = | 1066 | mm |
| <u>VERIFICA ARMATURA MINIMA LONG.</u> | | |
| $\rho_{min} =$ | 1.00% | |
| $A_c =$ | 1130973 | mm ² |
| $A_{s,min} =$ | 11310 | mm ² |
| Armatura long. tot $A_{sd,tot} =$ | 42412 | mm ² |
| $\rho_l =$ | 3.75% | |
| | ok | |

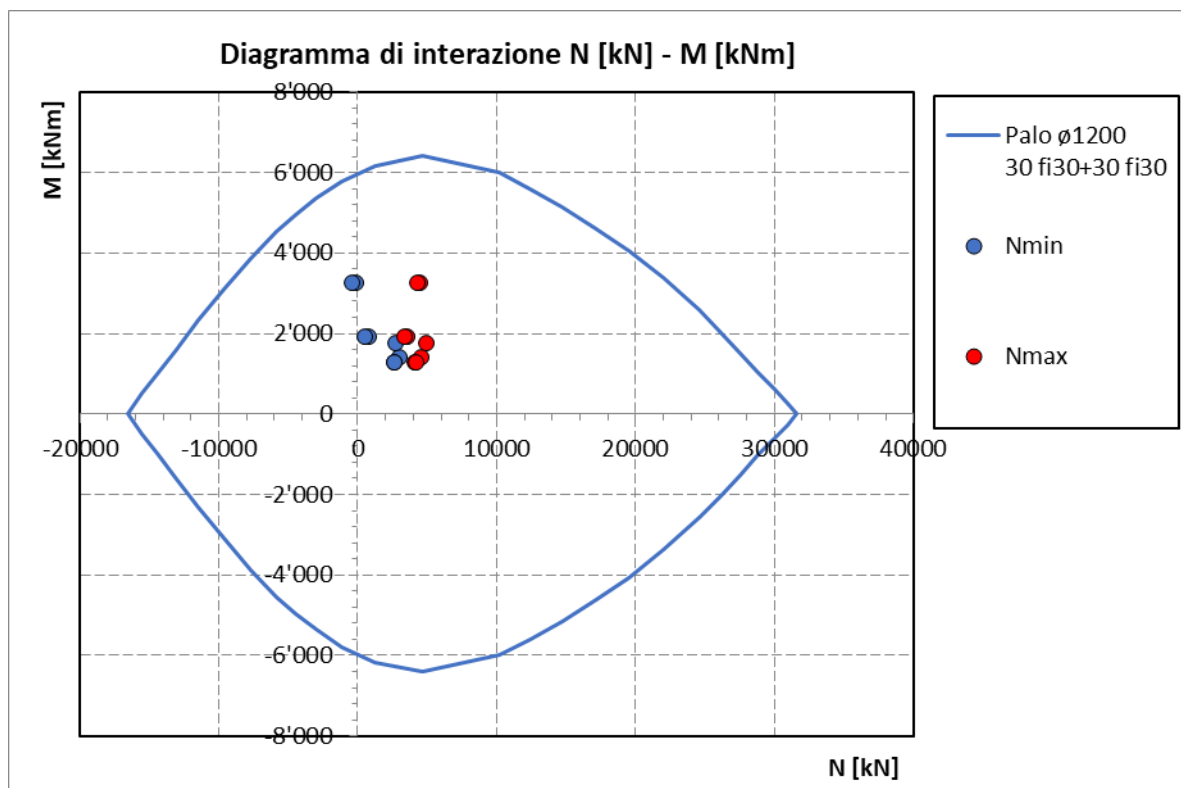
Spalle: Relazione di calcolo

| COMMESSA | LOTTO | CODIFICA | DOCUMENTO | REV. | FOGLIO |
|----------|---------|----------|------------|------|------------|
| IF26 | 12 E ZZ | CL | VI0204 001 | A | 154 di 158 |

11.6.3.1 Verifiche allo SLU

Presso-flessione

Sono riportate a seguire le verifiche SLU della sezione di sommità del palo maggiormente sollecitato, espresse in forma sintetica mediante il diagramma di interazione N – M.



La verifica è soddisfatta in quanto le coppie N-M delle sollecitazioni agenti nella sezione di verifica sono interne al dominio di resistenza per ogni condizione di carico indagata.

Spalle: Relazione di calcolo

| | | | | | |
|----------|---------|----------|------------|------|------------|
| COMMESSA | LOTTO | CODIFICA | DOCUMENTO | REV. | FOGLIO |
| IF26 | 12 E ZZ | CL | VI0204 001 | A | 155 di 158 |

Taglio

| Verifica a taglio per sezioni circolari armate a taglio (D.M. 14/01/2008) | | | |
|---|---------------------|----------|---------------------|
| classe cls | R_{ck} | 30 | N/mm ² |
| resist. Caratteristica cilindrica | f_{ck} | 25 | N/mm ² |
| | f_{cd} | 14 | N/mm ² |
| diametro | Φ | 1200 | mm |
| Area sezione | A | 1130973 | mm ² |
| copriferro | c | 80 | mm |
| Area sezione rettangolare equivalente | A_{eq} | 941544 | mm ² |
| altezza utile equivalente | d | 931 | mm |
| larghezza equivalente | b_w | 1011 | mm |
| altezza equivalente | h_{eq} | 1118 | mm |
| sforzo assiale dovuto ai carichi o precompressione | N | 0 | N |
| | σ_{cp} | 0.000 | N/mm ² |
| | α_c | 1.00 | |
| Acciaio | f_{yk} | 450 | N/mm ² |
| B450C | f_{yd} | 391 | N/mm ² |
| diametro staffe (spille) | \varnothing_w | 14 | mm |
| Area staffa (spilla) | A_{\varnothing_w} | 154 | mm ² |
| 0.9 d | z | 838 | mm |
| passo spirale | s_w | 150 | mm |
| | n° bracci | 2 | |
| angolo di inclinazione biella compressa | θ | 21.8 | ° |
| deve essere compreso tra 1 e 2.5 | $\cot(\theta)$ | 2.50 | |
| angolo di inclinazione armatura rispetto asse palo | α | 90 | ° |
| | $\cot(\alpha)$ | 0.00 | |
| | A_{s_w} / s_w | 2.05 | mm ² /mm |
| Taglio resistente per "taglio trazione" | V_{Rsd} | 1682 | kN |
| Taglio resistente per "taglio compressione" | V_{Rcd} | 2061 | kN |
| taglio sollecitante | V_{Ed} | 1489 | kN |
| fattore di sicurezza per GR (par. 7.9.5.2.2) | γ_{Rd} | 1 | |
| taglio resistente | V_{Rd} | 1682 | kN |
| | V_{Ed} | < | V_{Rd} |
| | | verifica | |
| | FS | 1.13 | |

Spalle: Relazione di calcolo

| | | | | | |
|----------|---------|----------|------------|------|------------|
| COMMESSA | LOTTO | CODIFICA | DOCUMENTO | REV. | FOGLIO |
| IF26 | 12 E ZZ | CL | VI0204 001 | A | 156 di 158 |

11.6.3.2 Verifiche allo SLE

Tensioni

La verifica SLE di tipo tensionale si effettua controllando che le massime tensioni normali agenti nella sezione risultino inferiori ai seguenti valori limite:

per le combinazioni SLE-RAR:

- tensione limite nel calcestruzzo: $\sigma_c = 0.55 f_{ck}$
- tensione limite nelle barre: $\sigma_s = 0.75 f_{yk}$

per le combinazioni SLE-QPE:

- tensione limite nel calcestruzzo: $\sigma_c = 0.40 f_{ck}$

04_SLE4

| | | |
|-----|------|-----|
| Rck | 30 | MPa |
| fck | 24.9 | MPa |
| fyk | 450 | MPa |

| | | | | | | | |
|------------|------|-----|---|------------|--------|-----|------|
| σ_c | -4.5 | MPa | < | 0.55 fck = | -13.70 | MPa | VERO |
| σ_s | 37 | MPa | < | 0.75 fyk = | 337.5 | MPa | VERO |

| | | |
|---|-----|----|
| x | 717 | mm |
|---|-----|----|

Le verifiche sono soddisfatte.

Spalle: Relazione di calcolo

| | | | | | |
|----------|---------|----------|------------|------|------------|
| COMMESSA | LOTTO | CODIFICA | DOCUMENTO | REV. | FOGLIO |
| IF26 | 12 E ZZ | CL | VI0204 001 | A | 157 di 158 |

Fessurazione

La verifica SLE a fessurazione si effettua controllando che il massimo valore di apertura delle fessure risulti inferiore ai seguenti valori limite:

per le combinazioni SLE-RAR:

- apertura fessure limite: $w_{lim} = w_1 = 0.30 \text{ mm}$

| | | INPUT | | | OUTPUT | | |
|--|---|-------------------|-------|-----------------|---------------------------------|----------|----|
| | | R_{ck} | 30 | Mpa | diff. def. armature-clc | | |
| | dimensione | h | 1200 | mm | $\epsilon_{sm} - \epsilon_{cm}$ | 1.08E-04 | - |
| | pos. baric. 1° strato | c_1 | 87 | mm | distanza max fessure | | |
| | diametro barre 1° strato | ϕ_1 | 30 | mm | $S_{r,max}$ | 414 | mm |
| | numero barre 1° strato | n_1 | 7.904 | | ampiezza fessure: | | |
| | pos. baric. 2° strato | c_2 | 138 | mm | w_k | 0.045 | mm |
| | diametro barre 2° strato | ϕ_2 | 30 | mm | w_{lim} | 0.300 | mm |
| | numero barre 2° strato | n_2 | 7.904 | | La verifica è soddisfatta. | | |
| | distanza lembo compresso-lembo teso della sezione | d | 1088 | mm | | | |
| | | b_{eff} | 127 | mm | | | |
| | posizione asse neutro da lembo compresso | x | 717 | mm | | | |
| | Tensione massima barre 1° strato | $\sigma_{s,max1}$ | 37 | Mpa | | | |
| | Tensione massima barre 2° strato | $\sigma_{s,max2}$ | 37 | Mpa | | | |
| | altezza efficace | $h_{c,eff}$ | 161 | mm | | | |
| | area efficace relativamente ad una singola barre | $A_{c,eff}$ | 20369 | mm ² | | | |
| | percentuale di armatura relativa a $A_{c,eff}$ | $\rho_{p,eff}$ | 0.069 | | | | |
| | (0.6 carichi brevi; 0.4 lunga durata) | k_1 | 0.6 | | | | |
| | (0.8 barre ad. migliorata; 1.6 liscie) | k_1 | 0.8 | | | | |
| | (0.5 per flessione; 1 trazione) | k_2 | 0.5 | | | | |
| | | k_3 | 3.4 | | | | |
| | | k_4 | 0.425 | | | | |

Spalle: Relazione di calcolo

| COMMESSA | LOTTO | CODIFICA | DOCUMENTO | REV. | FOGLIO |
|----------|---------|----------|------------|------|------------|
| IF26 | 12 E ZZ | CL | VI0204 001 | A | 158 di 158 |

12. INCIDENZE

| | |
|---------------|-----------|
| Muri andatori | 90 kg/mc |
| Muro frontale | 70 kg/mc |
| Paraghiaia | 100 kg/mc |
| Plinto | 90 kg/mc |
| Pali | 200 kg/mc |